



**VODOHOSPODÁRSKA BILANCIA
KVALITY PODZEMNEJ VODY SR V ROKU 2021**

**SLOVENSKÝ HYDROMETEOROLOGICKÝ ÚSTAV
BRATISLAVA 2022**



**VODOHOSPODÁRSKA BILANCIA
KVALITY PODZEMNEJ VODY SR V ROKU 2021**

**SLOVENSKÝ HYDROMETEOROLOGICKÝ ÚSTAV
BRATISLAVA 2022**

OBSAH

| | |
|--|-----------|
| 1. ÚVOD | 5 |
| 2. SPÔSOB BILANČNÉHO HODNOTENIA KVALITY PODZEMNÝCH VÔD | 6 |
| 3. HODNOTENIE BILANČNÉHO STAVU KVALITY PODZEMNÝCH VÔD V JEDNOTLIVÝCH HYDROGEOLOGICKÝCH RAJÓNOCH | 8 |
| 4. CELKOVÉ HODNOTENIE BILANČNÉHO STAVU KVALITY PODZEMNÝCH VÔD | 9 |
| 4.1 HODNOTENIE BILANČNÉHO STAVU KVALITY PODZEMNÝCH VÔD V POROVNANÍ S ROKOM 2020 | 9 |
| 4.2 HODNOTENIE KVALITY PODZEMNÝCH VÔD V ROKU 2021 | 13 |
| 4.3 VYPÚŠŤANIE ODPADOVEJ VODY DO PODZEMNEJ VODY | 22 |
| 5. ZÁVER | 25 |
| 6. TABUĽKOVÁ PRÍLOHA | 26 |
| 7. MAPOVÁ PRÍLOHA | 54 |
| 8. AKTUALIZÁCIA HODNOTENIA VHB KVALITY PODZEMNEJ VODY | 59 |
| 8.1 NÁVRH AKTUALIZÁCIE HODNOTENIA VHB KVALITY PZV | 60 |

ZOZNAM OBRÁZKOV

| | | |
|---------|---|----|
| OBR. 1 | POROVNANIE BILANČNÝCH STAVOV V ROKU 2020 A 2021 PRE NH_4^+ | 9 |
| OBR. 2 | POROVNANIE BILANČNÝCH STAVOV V ROKU 2020 A 2021 PRE NO_3^- | 9 |
| OBR. 3 | POROVNANIE BILANČNÝCH STAVOV V ROKU 2020 A 2021 PRE CHSK_{MN} | 9 |
| OBR. 4 | POROVNANIE BILANČNÝCH STAVOV V ROKU 2020 A 2021 PRE VODIVOSŤ | 10 |
| OBR. 5 | POROVNANIE BILANČNÝCH STAVOV V ROKU 2020 A 2021 PRE Cl^- | 10 |
| OBR. 6 | POROVNANIE BILANČNÝCH STAVOV V ROKU 2020 A 2021 PRE SO_4^{2-} | 10 |
| OBR. 7 | POROVNANIE BILANČNÝCH STAVOV V ROKU 2020 A 2021 PRE TOC | 10 |
| OBR. 8 | POROVNANIE BILANČNÝCH STAVOV V ROKU 2020 A 2021 PRE AS | 11 |
| OBR. 9 | PASÍVNY A NAPÄTÝ BILANČNÝ STAV PRE NH_4^+ | 14 |
| OBR. 10 | PASÍVNY A NAPÄTÝ BILANČNÝ STAV PRE NO_3^- | 15 |
| OBR. 11 | PASÍVNY A NAPÄTÝ BILANČNÝ STAV PRE CHSK_{MN} | 16 |
| OBR. 12 | PASÍVNY A NAPÄTÝ BILANČNÝ STAV PRE VODIVOSŤ | 17 |
| OBR. 13 | PASÍVNY A NAPÄTÝ BILANČNÝ STAV PRE Cl^- | 18 |
| OBR. 14 | PASÍVNY A NAPÄTÝ BILANČNÝ STAV PRE SO_4^{2-} | 19 |
| OBR. 15 | PASÍVNY A NAPÄTÝ BILANČNÝ STAV PRE TOC | 20 |
| OBR. 16 | PASÍVNY A NAPÄTÝ BILANČNÝ STAV PRE AS | 21 |

ZOZNAM MÁP

| | |
|--|----|
| BILANČNÝ STAV KVALITY PODZEMNÝCH VÔD NA SLOVENSKU V ROKU 2020 | 65 |
| BILANČNÝ STAV KVALITY PODZEMNÝCH VÔD NA SLOVENSKU V ROKU 2021 | 66 |
| ZMENA BILANČNÉHO STAVU KVALITY PODZEMNÝCH VÔD NA SLOVENSKU V ROKU 2021 V POROVNANÍ S ROKOM 2020 | 67 |
| POZOROVACIE OBJEKTY KVALITY PODZEMNÝCH VÔD V HYDROGEOLOGICKÝCH RAJÓNOCH A KVARTÉRNÝCH ÚTVAROK NA SLOVENSKU V ROKU 2021 | 91 |
| POZOROVACIE OBJEKTY KVALITY PODZEMNÝCH VÔD V HYDROGEOLOGICKÝCH RAJÓNOCH A PREDKVARTÉRNÝCH ÚTVAROK NA SLOVENSKU V ROKU 2021 | 92 |

1. ÚVOD

Potreba spracovania vodohospodárskej bilancie kvality pre podzemné vody vyplýva zo súčasnej platnej legislatívy Slovenskej republiky a Európskej únie:

- Zákon č. 364/2004 Z.z. v znení neskorších predpisov o vodách a o zmene zákona Národnej rady SR č. 372/1990 Zb. o priestupkoch v znení neskorších predpisov („vodný zákon“),
- Vyhláška Ministerstva pôdohospodárstva, životného prostredia a regionálneho rozvoja SR č. 418/2010 Z. z. o vykonaní niektorých ustanovení vodného zákona
- Smernica 2000/60/ES Európskeho parlamentu a rady.

Na základe uvedenej legislatívy sa rozhodlo, že od roku 2005 SHMÚ bude každoročne publikovať bilančné spracovanie údajov kvality podzemných vôd v správe: „Kvalitatívna vodohospodárska bilancia podzemných vôd SR“.

V roku 2004 bol pripravený „Metodický návrh spracovania Kvalitatívnej vodohospodárskej bilancie kvality podzemnej vody za uplynulý rok“, vychádzajúci z požiadaviek VHB. Návrh vychádzal z dovtedajších skúseností z bilančného hodnotenia kvality povrchových vôd a bol spracovaný v súlade s kvantitatívnym hodnotením podzemných vôd v hydrogeologických rajónoch. Do roku 2003 boli v správe VHB, v časti Hodnotenie kvality podzemných vôd SR, použité výsledky zo správy Kvalita podzemných vôd na Slovensku.

Vodohospodárska bilancia kvality podzemnej vody (ďalej „VHB kvality PzV“) za rok 2021 bola spracovaná v zmysle Vyhlášky MPŽPaRR SR č. 418/2010 Z.z. o vykonaní niektorých ustanovení vodného zákona. V zmysle tejto vyhlášky § 19 odseku 6 d) obsahuje VHB kvality PzV za uplynulý rok kvalitatívne hodnotenie podzemnej vody za uplynulý rok a zmeny v porovnaní s predchádzajúcim hodnotením.

Cieľom spracovania VHB kvality PzV je:

- zabezpečiť požiadavky zákona a s ním súvisiacich predpisov, týkajúcich sa vodohospodárskej bilancie,
- zabezpečiť spracovanie informácií, ktoré budú potrebné pre podávanie správ Európskej komisii ohľadne plnenia smerníc Európskej Únie,
- zabezpečiť spracovanie údajov vo forme, v ktorej ich bude možné efektívne využívať orgánmi štátnej vodnej správy pri ich rozhodovacej činnosti.

VHB kvality PzV v roku 2021 obsahuje zhodnotenie stavu kvality podzemných vôd SR v rámci 141 hydrogeologických rajónov a porovnanie s hodnotením za rok 2020. Bilančné hodnotenie bolo spracované pre 481 pozorovacích objektov na Slovensku v 8 ukazovateľoch kvality podzemnej vody. Od roku 2021 bol výber ukazovateľov, v ktorých sa hodnotí bilančný stav, zmenený a rozšírený. Výber ukazovateľov je zmeneným a rozšíreným o ukazovatele, ktoré spôsobovali zlý chemický stav alebo predstavovali riziko pre útvary podzemných vôd.

Pri spracovaní vodohospodárskej bilancie kvality podzemnej vody za rok 2021 sa vychádzalo z hodnotenia kvality podzemných vôd formou porovnania s medznými, resp. najvyššími medznými koncentráciami definovanými Vyhláškou Ministerstva zdravotníctva SR č. 247/2017 Z.z., ktorou sa ustanovujú podrobnosti o kvalite pitnej vody, kontrole kvality pitnej vody, programe monitorovania a manažmente rizík pri zásobovaní pitnou vodou (tab. 2.1).

2. SPÔSOB BILANČNÉHO HODNOTENIA KVALITY PODZEMNÝCH VÔD

Pri kvalitatívnom bilancovaní sa vychádza z hodnotenia kvality podzemných vôd podľa Vyhlášky MZ SR č. 247/2017 Z.z., ktorou sa ustanovujú podrobnosti o kvalite pitnej vody, kontrole kvality pitnej vody, programe monitorovania a manažmente rizík pri zásobovaní pitnou vodou.

Výber ukazovateľov, v ktorých sa vykonáva bilančné hodnotenie, bol od roku 2021 rozšírený o ukazovatele, ktoré spôsobovali zlý chemický stav alebo predstavovali riziko pre útvary podzemných vôd.

Bilančné hodnotenie sa vykonáva v 8 ukazovateľoch kvality vody:

NH₄⁺, NO₃⁻, CHSK_{Mn}, vodivosť, Cl⁻, SO₄²⁻, TOC, As

Bilančný stav (BS) je vyjadrený ako pomer hodnoty prípustného znečistenia (C_{príp.} – limitná hodnota. tab. 1) k hodnote skutočného znečistenia (C_{skut.} – nameraná hodnota) vyjadreného ako charakteristická hodnota ukazovateľa kvality vody.

$$BS = C_{príp.} / C_{skut.}$$

Bilančný stav je hodnotený 3 stupňami: A – priaznivý BS ≥ 1.1
B – napätý 0.9 < BS < 1.1
C – pasívny 0.9 ≥ BS

Výsledný bilančný stav v rajóne je daný objektom s ukazovateľom s najnepriaznivejším vypočítaným pomerom (najnižším pomerom).

Tab. 2.1: Limitné hodnoty pre pozorované ukazovatele uvádzané vo Vyhláške MZ SR. č. 247/2017 Z.z.

| Ukazovateľ | Jednotka | Limit uvádzaný vo Vyhláške MZ SR č. 247/2017 Z.z. | Druh limitu |
|--|-------------------------------|---|-------------|
| Amónne ióny | NH ₄ ⁺ | mg.l ⁻¹ | MH |
| Dusičnany | NO ₃ ⁻ | mg.l ⁻¹ | NMH |
| Chemická spotreba O ₂ manganistanom | CHSK _{Mn} | mg.l ⁻¹ | MH |
| Vodivosť | EK | mS/m | MH |
| Chloridy | Cl ⁻ | mg.l ⁻¹ | MH |
| Sírany | SO ₄ ²⁻ | mg.l ⁻¹ | MH |
| Celkový organický uhlík | TOC | mg.l ⁻¹ | MH |
| Arzén | As | µg.l ⁻¹ | NMH |

Vysvetlivky k tabuľke 1:

- **medzná hodnota (MH):** hodnota ukazovateľa kvality pitnej vody, ktorej prekročením stráca voda vyhovujúcu kvalitu v ukazovateli, v ktorom bola prekročená.
- **najvyššia medzná hodnota (NMH):** hodnota ukazovateľa kvality pitnej vody s prahovým účinkom, ktorej prekročenie vylučuje použitie vody ako pitnej.

Podkladom na hodnotenie roku 2021 bolo 481 bilančne hodnotených pozorovacích objektov štátnej hydrologickej siete monitorovania kvality podzemných vôd. Z toho odber vzoriek v 397 objektoch na území Slovenska mimo Žitného ostrova bol uskutočnený 1 až 4 krát v jarnom a jesennom období. Na území Žitného ostrova sa nachádza 38 viacúrovňových piezometrických vrtov, v ktorých sa pozorujú 1 až 3 úrovne (tab. 2.2) s frekvenciou odberov 2 a 4 krát ročne. Každá úroveň bola hodnotená samostatne (84 úrovni), to znamená, že v roku 2021 bolo celkovo hodnotených 481 odberových miest vrátane úrovni.

Tab. 2.2: Počet úrovní v piezometrických vrtoch na území Žitného ostrova

| počet objektov | počet úrovní |
|----------------|--------------|
| 18 objektov | 3 úrovne |
| 10 objektov | 2 úrovne |
| 10 objektov | 1 úroveň |

Chemické analýzy vybraných ukazovateľov vykonávali akreditované geoanalytické laboratóriá Štátneho geologického ústavu Dionýza Štúra (ŠGÚDŠ) v Spišskej Novej Vsi. Spracovaných bolo 831 analýz na Slovensku a 248 analýz na území Žitného ostrova. Z nameraných hodnôt bol vypočítaný ročný priemer, ktorý sa použil pre výpočet bilančného stavu. Ak hodnota niektorého ukazovateľa nedosiahla LOQ použitej analytickej metódy (tab. 2.3), počítalo sa s polovičnou hodnotou LOQ.

Tab. 2.3: Prehľad použitých analytických metód ŠGÚDŠ s LOQ v roku 2021

| Názov ukazovateľa | Skratka | Jednotka | Metóda stanovenia | Norma | LOQ* |
|--|-------------------------------|--------------------|-------------------------|--------------------|------|
| Dusičnany | NO ₃ ⁻ | mg/l | iónová chromatografia | STN EN ISO 10304-1 | 1 |
| Amónne ióny | NH ₄ ⁺ | mg/l | spektrofotometria | STN ISO 7150-1 | 0.01 |
| Chemická spotreba O ₂ manganistanom | CHSK _{Mn} | mg/l | volumetria | STN EN ISO 8467 | 0.5 |
| Vodivosť | EK | mS/m | elektrometria | STN EN 27888 | - |
| Chloridy | Cl ⁻ | mg.l ⁻¹ | iónová chromatografia | STN EN ISO 10304-1 | 1 |
| Sírany | SO ₄ ²⁻ | mg.l ⁻¹ | iónová chromatografia | STN EN ISO 10304-1 | 2 |
| Celkový organický uhlík | TOC | mg.l ⁻¹ | vysokoteplotná oxidácia | STN EN 1484 | 0.5 |
| Arzén | As | µg.l ⁻¹ | ICP-MS | STN EN ISO 17294-2 | 0.5 |

*LOQ – limit kvantifikácie je stanovený násobok limitu detekcie pri hodnote koncentrácie stanovovaného ukazovateľa, ktorý možno určiť s prijateľnou presnosťou a precíznosťou.

3. HODNOTENIE BILANČNÉHO STAVU KVALITY PODZEMNÝCH VÔD V JEDNOTLIVÝCH HYDROGEOLOGICKÝCH RAJÓNOCH

Prehľad výsledkov kvalitatívnej bilancie za rok 2021 v porovnaní s rokom 2020 v hydrogeologických rajónoch je uvedený v bilančných tabuľkách v tabuľkovej prílohe.

V bilančných tabuľkách za jednotlivé hydrogeologické rajóny sú uvedené čísla a lokality objektov štátnej hydrologickej siete monitorovania kvality podzemných vôd, ktoré sa v príslušnom rajóne nachádzajú, ako aj hodnotenie bilančného stavu (A – priaznivý, B – napätý, C - pasívny) v rokoch 2020 a 2021 vo všetkých vybraných ukazovateľoch (NH_4^+ , NO_3^- , CHSK_{Mn} , vodivosť, Cl^- , SO_4^{2-} , TOC, As). V stĺpci „bil. stav“ je uvedený najnepriaznivejší (najnižší) vypočítaný pomer a stĺpec „ukazovateľ“ predstavuje najnepriaznivejší ukazovateľ, ktorý určuje pasívny alebo napätý bilančný stav rajónu. V prípade, že v niektorom objekte nebola odobratá vzorka podzemnej vody, príslušný riadok v bilančnej tabuľke je prázdny.

Ak sa v hydrogeologickom rajóne nenachádza žiaden objekt štátnej hydrologickej siete monitorovania kvality podzemných vôd, bilančná tabuľka nie je uvedená.

4. CELKOVÉ HODNOTENIE BILANČNÉHO STAVU KVALITY PODZEMNÝCH VÔD

4.1 Hodnotenie bilančného stavu kvality podzemných vôd v porovnaní s rokom 2020

Celkovo bolo v roku 2021 v rámci 122 hodnotených rajónov 143 objektov štátnej hydrologickej siete monitorovania kvality podzemných vôd s pasívnou (107) alebo napätou bilanciou (36), v roku 2020 to bolo v rámci 122 hodnotených rajónov 148 objektov, z toho 108 s pasívnou a 40 s napätou bilanciou. Porovnanie percentuálneho podielu jednotlivých ukazovateľov v oboch rokoch je uvedený na obrázkoch 1-6:

Obr. 1: Porovnanie bilančných stavov v roku 2020 a 2021 pre NH_4^+ :



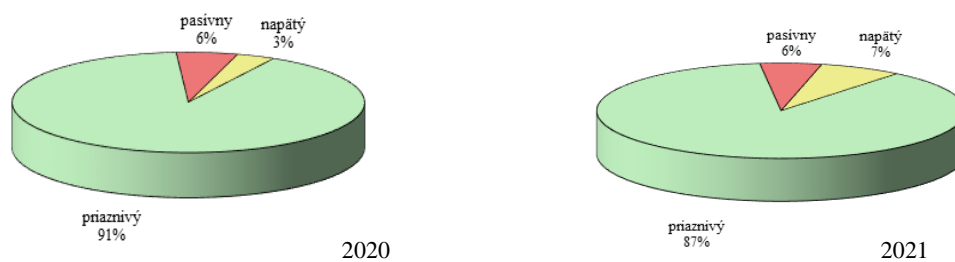
Obr. 2: Porovnanie bilančných stavov v roku 2020 a 2021 pre NO_3^- :



Obr. 3: Porovnanie bilančných stavov v roku 2020 a 2021 pre CHSK_{Mn} :



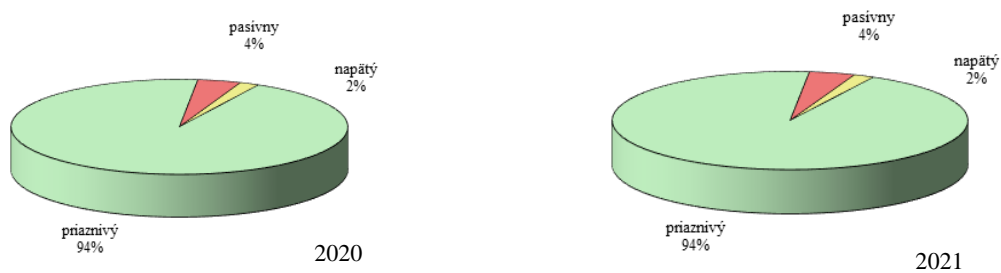
Obr. 4: Porovnanie bilančných stavov v roku 2020 a 2021 pre vodivosť:



Obr. 5: Porovnanie bilančných stavov v roku 2020 a 2021 pre Cl:



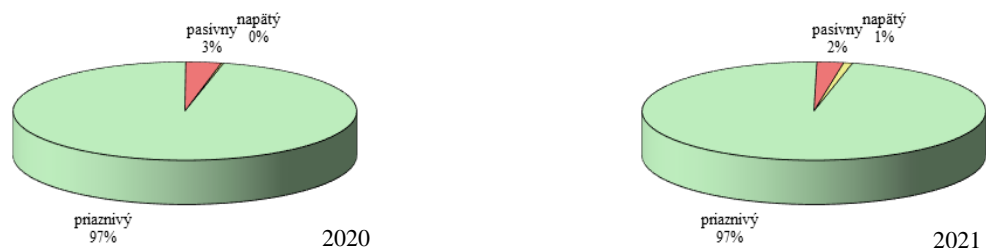
Obr. 6: Porovnanie bilančných stavov v roku 2020 a 2021 pre SO₄²⁻:



Obr. 7: Porovnanie bilančných stavov v roku 2020 a 2021 pre TOC:



Obr. 8: Porovnanie bilančných stavov v roku 2020 a 2021 pre As:



Z uvedených porovnaní bilančných stavov v rokoch 2020 a 2021 konštatujeme percentuálne zvýšenie priaznivého bilančného stavu pre ukazovatele CHSK_{Mn} a NH_4^+ (pri ukazovateli NH_4^+ zároveň aj zvýšenie pasívneho bilančného stavu). Naopak mierne zníženie priaznivého bilančného stavu spojené so zvýšením napätého bilančného stavu nastalo pri ukazovateli vodivosť. Mierne zvýšenie pasívneho bilančného stavu pozorujeme pri ukazovateľoch NO_3^- a TOC. Žiadne zmeny bilančných stavov nenastali pri ukazovateľoch Cl^- a SO_4^{2-} .

K zmenám bilančného stavu v roku 2021 porovnaním s rokom 2020 došlo v 45 pozorovacích objektoch: v 25 objektoch sa zlepšil bilančný stav a v 20 objektoch sa bilančný stav zhoršil. Podrobnejšie sú údaje o všetkých zmenách bilančných stavov spracované v tab. 4.1.

Tab. 4.1: Miesta odberov so zmenou bilančného stavu kvality podzemných vôd v roku 2021 v porovnaní s rokom 2020

| rajón | č. objektu | lokality | 2020 | 2021 | zmena spôsobená ukazovateľmi |
|---------|------------|-----------------------------|---------------|---------------|------------------------------|
| Q 004 | 201690 | MORAVSKY SVATY JAN - SEKULE | C - pasívny | B - napätý | TOC |
| NQ 005 | 2790 | MALACKY KOZANEK | C - pasívny | B - napätý | As |
| QN 006 | 7099 | PLAVECKY PETER | C - pasívny | A - priaznivý | CHSK_{Mn} |
| Q-G 009 | 611990 | VAVRISOVO | B - napätý | A - priaznivý | TOC |
| PQ 028 | 42690 | RAKOVA - ZAPAD | C - pasívny | B - napätý | TOC |
| Q-P 033 | 61499 | JAZERNICA | B - napätý | A - priaznivý | NO_3^- |
| Q-P 033 | 246090 | PRIBOVCE- BENICE | B - napätý | A - priaznivý | NO_3^- |
| Q-P 033 | 610690 | DUBOVE | B - napätý | C - pasívny | TOC |
| QN 037 | 19590 | PUCHOV | B - napätý | A - priaznivý | NO_3^- |
| QN 037 | 217890 | DOLNE KOCKOVCE | B - napätý | C - pasívny | NO_3^- |
| Q 048 | 14290 | DRAHOVCE | A - priaznivý | B - napätý | NO_3^- , vodivosť |
| Q 051 | 71390 | VAJNORY-STRKOVISKO | B - napätý | A - priaznivý | vodivosť |
| Q 051 | 603491 | JAROVCE | C - pasívny | B - napätý | vodivosť, SO_4^{2-} |
| Q 052 | 601293 | VLKY | C - pasívny | B - napätý | As |
| Q 052 | 733695 | VRAKUN | A - priaznivý | C - pasívny | NH_4^+ |
| N 058 | 22690 | BAJC | C - pasívny | A - priaznivý | As |
| Q 060 | 59490 | HRONSKE KOSIHY | C - pasívny | B - napätý | As |
| MP 066 | 26690 | HRADISTE -SEVER | B - napätý | C - pasívny | NH_4^+ |
| QN 067 | 25690 | NOVAKY - SEVER | B - napätý | A - priaznivý | TOC |
| NQ 071 | 27590 | OSTRATICE | C - pasívny | A - priaznivý | NH_4^+ |
| NQ 071 | 28290 | TOPOLCANY | B - napätý | A - priaznivý | vodivosť |

| rajón | č. objektu | lokalita | 2020 | 2021 | zmena spôsobená ukazovateľmi |
|---------|------------|-------------------------------|---------------|---------------|---|
| NQ 071 | 114099 | VELKE DRZKOVCE | B - napätý | A - priaznivý | NO ₃ ⁻ |
| NQ 073 | 35790 | DYCKA | B - napätý | C - pasívny | NH ₄ ⁺ , TOC |
| Q 074 | 12790 | MOSTOVA | A - priaznivý | B - napätý | TOC |
| Q 074 | 211990 | GALANTA | B - napätý | C - pasívny | vodivosť |
| Q-G 075 | 89690 | BREZNO | C - pasívny | B - napätý | NO ₃ ⁻ , TOC |
| MG 077 | 130999 | MOSTENICA - KYSLA | B - napätý | A - priaznivý | SO ₄ ²⁻ |
| NQ 090 | 85590 | VELKE DRAVCE - FIL.PUSTA | A - priaznivý | B - napätý | TOC |
| Q 091 | 81490 | SELESTANY - SLOVENSKE DARMOTY | B - napätý | C - pasívny | NO ₃ ⁻ |
| Q 091 | 84390 | VELKA NAD IPLOM | B - napätý | A - priaznivý | NH ₄ ⁺ |
| V 094 | 620690 | HONTIANSKE TESARE | A - priaznivý | B - napätý | TOC |
| Q-M 097 | 314190 | LUBISA | C - pasívny | A - priaznivý | TOC |
| QN 103 | 133990 | CICAROVCE | B - napätý | C - pasívny | NH ₄ ⁺ |
| Q 108 | 117090 | STRAZSKE | A - priaznivý | B - napätý | NO ₃ ⁻ |
| Q 108 | 123190 | MICHALOVCE - MEDOV | A - priaznivý | C - pasívny | NO ₃ ⁻ |
| Q 108 | 318290 | NACINA VES | A - priaznivý | B - napätý | CHSK _{Mn} |
| VN 111 | 229299 | LUCINA | A - priaznivý | B - napätý | TOC |
| N-G 113 | 522690 | LADMOVCE | C - pasívny | B - napätý | vodivosť, SO ₄ ²⁻ |
| Q 114 | 337090 | BORSA | B - napätý | C - pasívny | NO ₃ ⁻ |
| P 119 | 99490 | KEZMAROK | B - napätý | A - priaznivý | As |
| NQ 123 | 311890 | PRESOV | B - napätý | A - priaznivý | NH ₄ ⁺ |
| Q 125 | 308090 | SENA | B - napätý | C - pasívny | NH ₄ ⁺ |
| G 127 | 94090 | JELSAVA | C - pasívny | A - priaznivý | CHSK _{Mn} , TOC |
| Q 132 | 292190 | LENARTOVCE | A - priaznivý | C - pasívny | CHSK _{Mn} |
| PQ 141 | 137690 | HNIEZDNE | A - priaznivý | B - napätý | vodivosť |

Z uvedeného hodnotenia zmien bilančných stavov sú zaujímavé nasledovné výraznejšie zmeny:

* pozorovacie objekty so zmenou pasívneho bilančného (C) stavu na priaznivý (A)

| rajón | č. objektu | lokalita | 2020 | 2021 | zmena spôsobená ukazovateľmi |
|---------|------------|----------------|-------------|---------------|------------------------------|
| QN 006 | 7099 | PLAVECKÝ PETER | C - pasívny | A - priaznivý | CHSK _{Mn} |
| N 058 | 22690 | BAJC | C - pasívny | A - priaznivý | As |
| NQ 071 | 27590 | OSTRATICE | C - pasívny | A - priaznivý | NH ₄ ⁺ |
| Q-M 097 | 314190 | LUBISA | C - pasívny | A - priaznivý | TOC |
| G 127 | 94090 | JELSAVA | C - pasívny | A - priaznivý | CHSK _{Mn} , TOC |

* pozorovacie objekty so zmenou priaznivého bilančného stavu (A) na pasívny (C)

| rajón | č. objektu | lokalita | 2020 | 2021 | zmena spôsobená ukazovateľmi |
|-------|------------|--------------------|---------------|-------------|------------------------------|
| Q 052 | 733695 | VRAKUN | A - priaznivý | C - pasívny | NH ₄ ⁺ |
| Q 108 | 123190 | MICHALOVCE - MEDOV | A - priaznivý | C - pasívny | NO ₃ ⁻ |
| Q 132 | 292190 | LENARTOVCE | A - priaznivý | C - pasívny | CHSK _{Mn} |

Zmeny uvedené v tabuľke č. 4.1 sú graficky znázornené na mape „Zmena bilančného stavu kvality podzemných vôd na Slovensku v roku 2021 v porovnaní s rokom 2020“, ktorá je uvedená v mapovej prílohe. Modrou farbou je znázornené zlepšenie bilančného stavu, ružovou farbou zhoršenie bilančného stavu a sivou farbou sú znázornené rajóny bez zmeny bilančného stavu v porovnaní s predchádzajúcim rokom. Farebné rozlíšenie názvu rajónu súvisí s jeho bilančným stavom v aktuálnom roku: zelená farba – priaznivý bilančný stav, oranžová farba – napätý bilančný stav, červená farba – pasívny bilančný stav.

Bilančný stav kvality podzemných vôd v roku 2021 ostáva nezmenený v porovnaní s rokom 2020 v 104 rajónoch. Tento nezmenený bilančný stav bol pozorovaný ako priaznivý v 52 rajónoch, napätý v 1 rajóne a pasívny v 51 hydrogeologických rajónoch.

4.2 Hodnotenie kvality podzemných vôd v roku 2021

V rámci VHB kvality PzV za rok 2021 bolo spracovaných 141 hydrogeologických rajónov. Z toho hodnotených bolo 122 rajónov a v 19 rajónoch zatiaľ nebola monitorovaná kvalita podzemných vôd. V 39 rajónoch sa nachádza 1 objekt, v 26 rajónoch sa nachádzajú 2 objekty a v 57 rajónoch sa nachádza 3 a viac objektov štátnej hydrologickej siete monitorovania kvality podzemných vôd.

Bilančné hodnotenie sa od roku 2021 vyhodnocuje v týchto ukazovateľoch kvality vody: NH_4^+ , NO_3^- , CHSK_{Mn} , vodivosť, Cl^- , SO_4^{2-} , TOC, As.

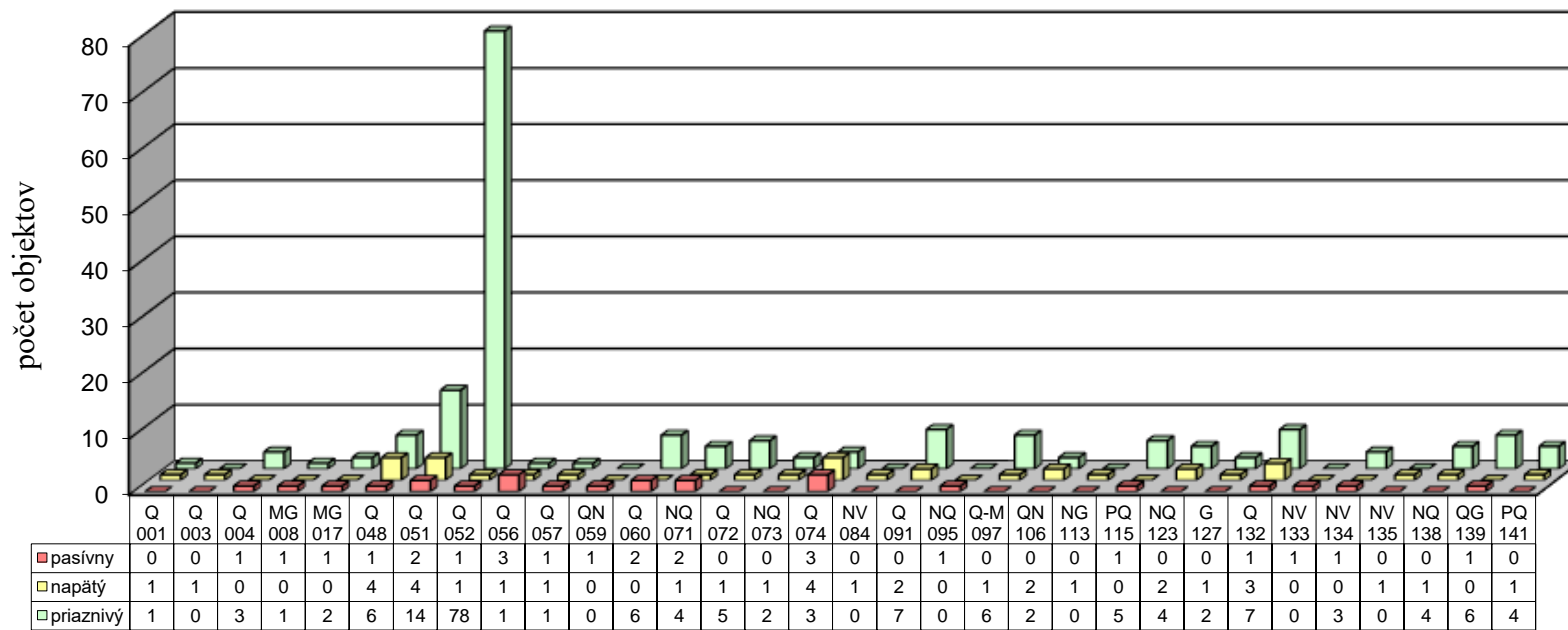
V hodnotenom období 2021 z celkového počtu 141 hydrogeologických rajónov Slovenska bol na základe bilančného spracovania hodnotený bilančný stav ako priaznivý v 58 rajónoch, napätý v 7 rajónoch a pasívny v 57 rajónoch. Bilančne nebolo vyhodnotených 19 rajónov.

V mapovej prílohe sa nachádza mapa bilančného stavu kvality podzemných vôd na Slovensku v roku 2020 a mapa bilančného stavu kvality podzemných vôd na Slovensku v roku 2021, kde sú farebne rozlíšené rajóny s bilančným stavom priaznivým (zelená farba), napätým (žltá farba) a pasívnym (červená farba) a rajóny, ktoré neboli hodnotené (biela farba).

Na obrázkoch 7-11 sa nachádzajú grafy znázorňujúce počty objektov v rajónoch s nepriaznivým (t.j. pasívnym a napätým) bilančným stavom pre jednotlivé ukazovatele. Pod označením hydrogeologického rajónu sa nachádza počet objektov, v ktorých bilančný stav sledovaného ukazovateľa v roku 2021 bol pasívny, napätý a priaznivý.

Obr. 7:

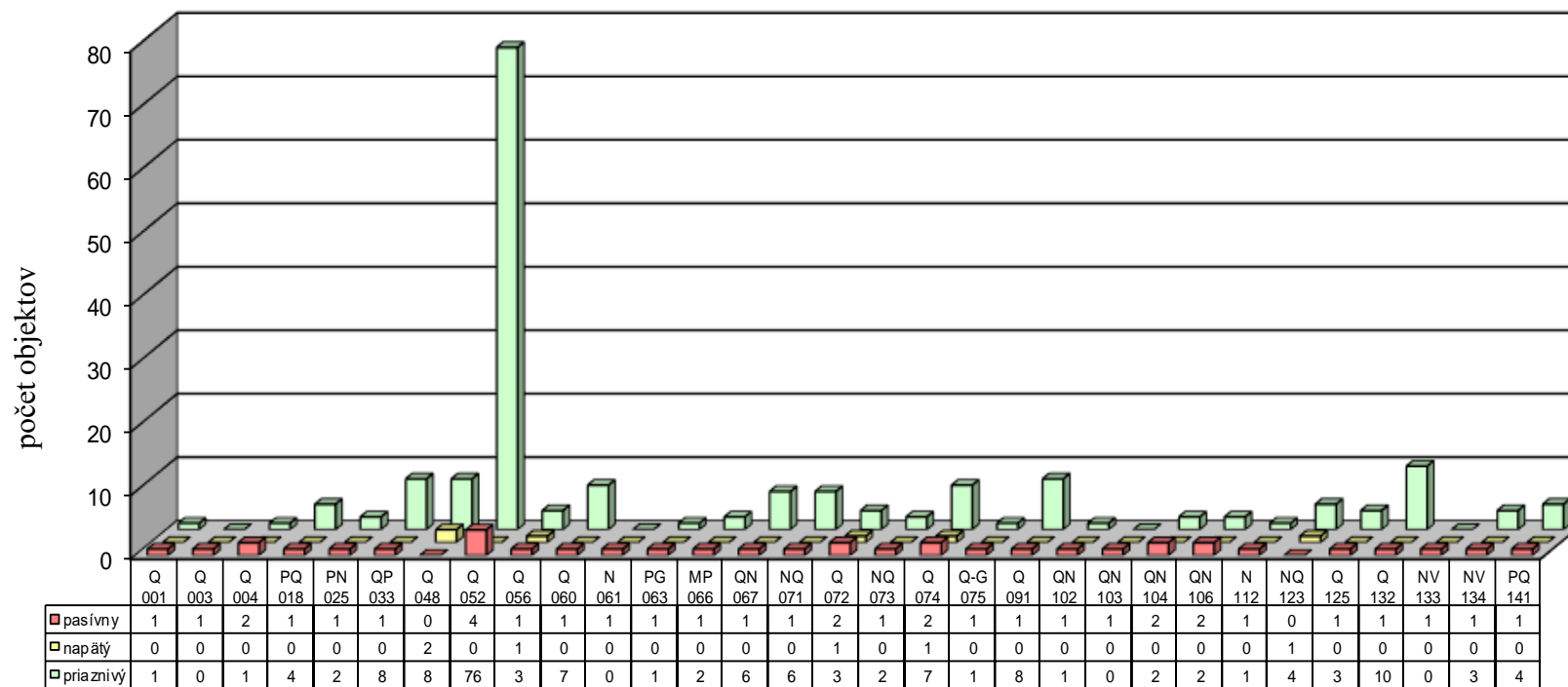
Pasívny a napätý bilančný stav pre vodivosť



HG rajón

Obr. 8:

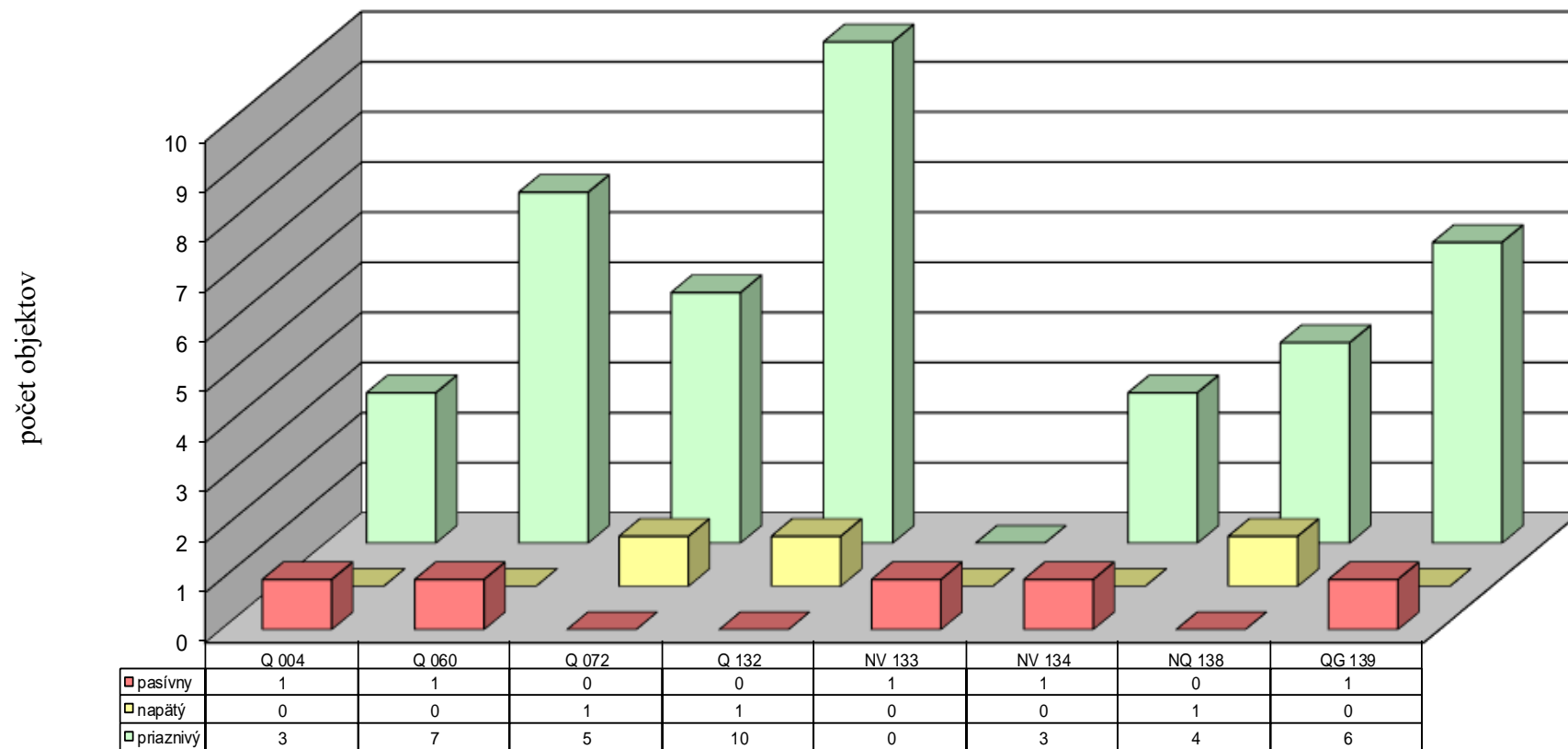
Pasívny a napätý bilančný stav pre NH₄⁺



HG rajón

Obr. 9:

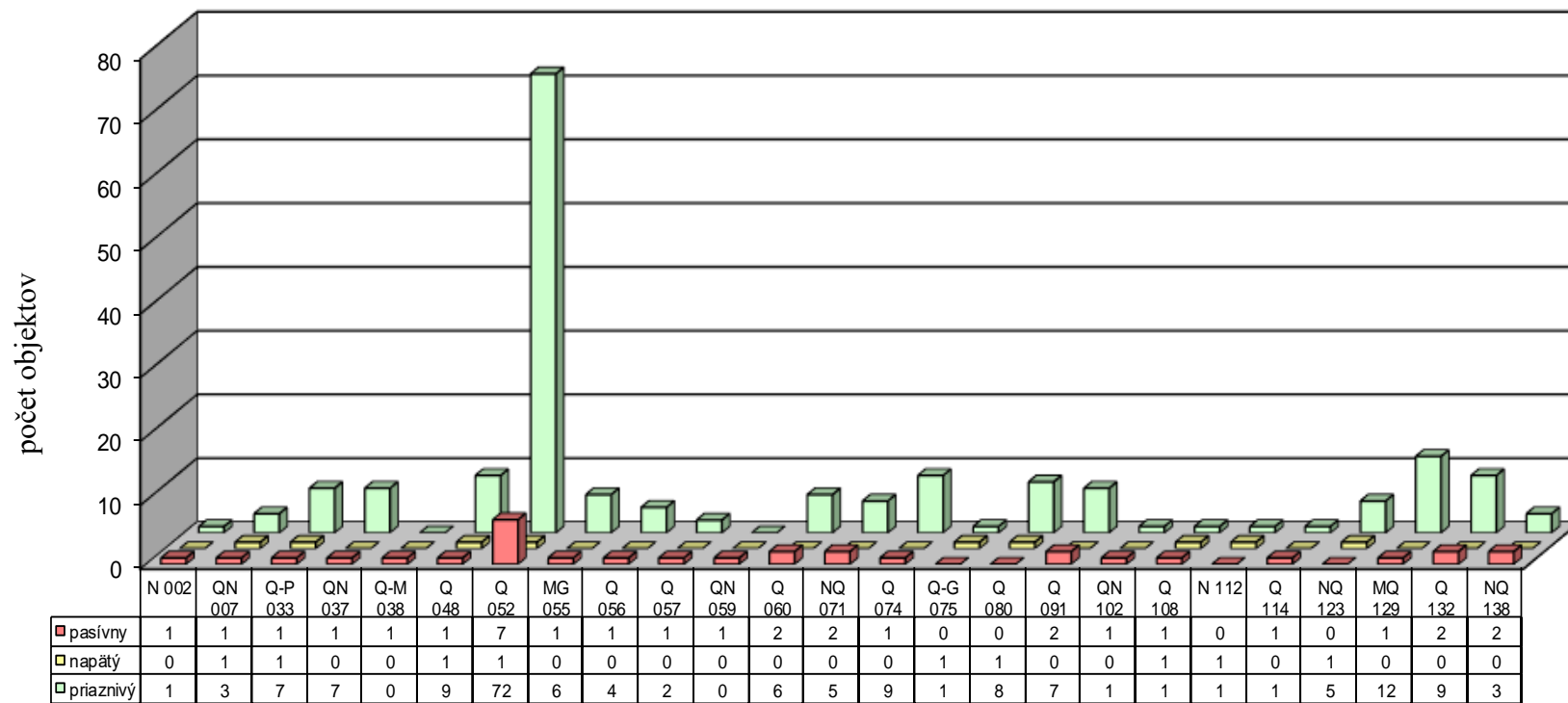
Pasívny a napätý bilančný stav pre CI



HG rajón

Obr. 10:

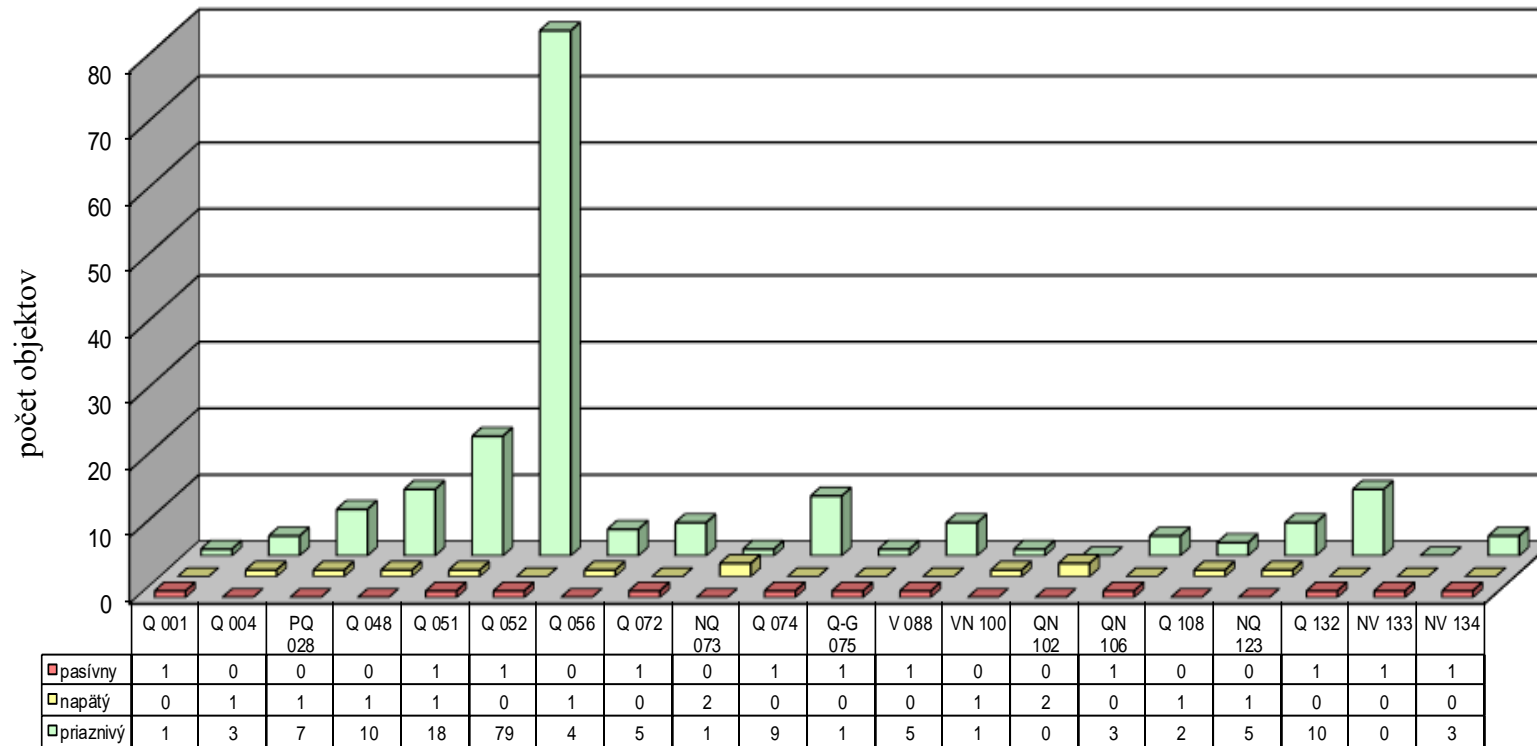
Pasívny a napätý bilančný stav pre NO₃⁻



HG rajón

Obr. 11:

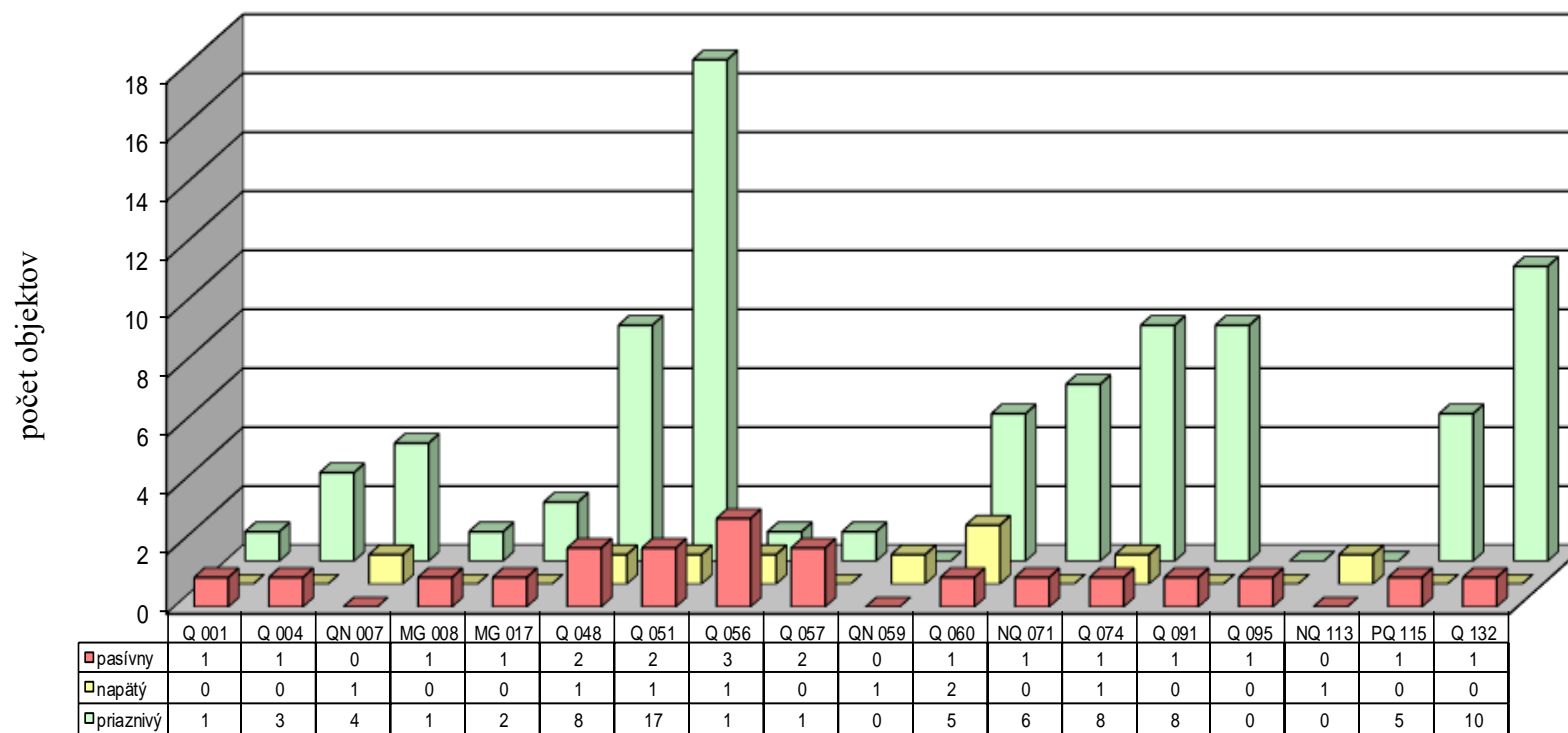
Pasívny a napätý bilančný stav pre CHSK_{Mn}



HG rajón

Obr. 12:

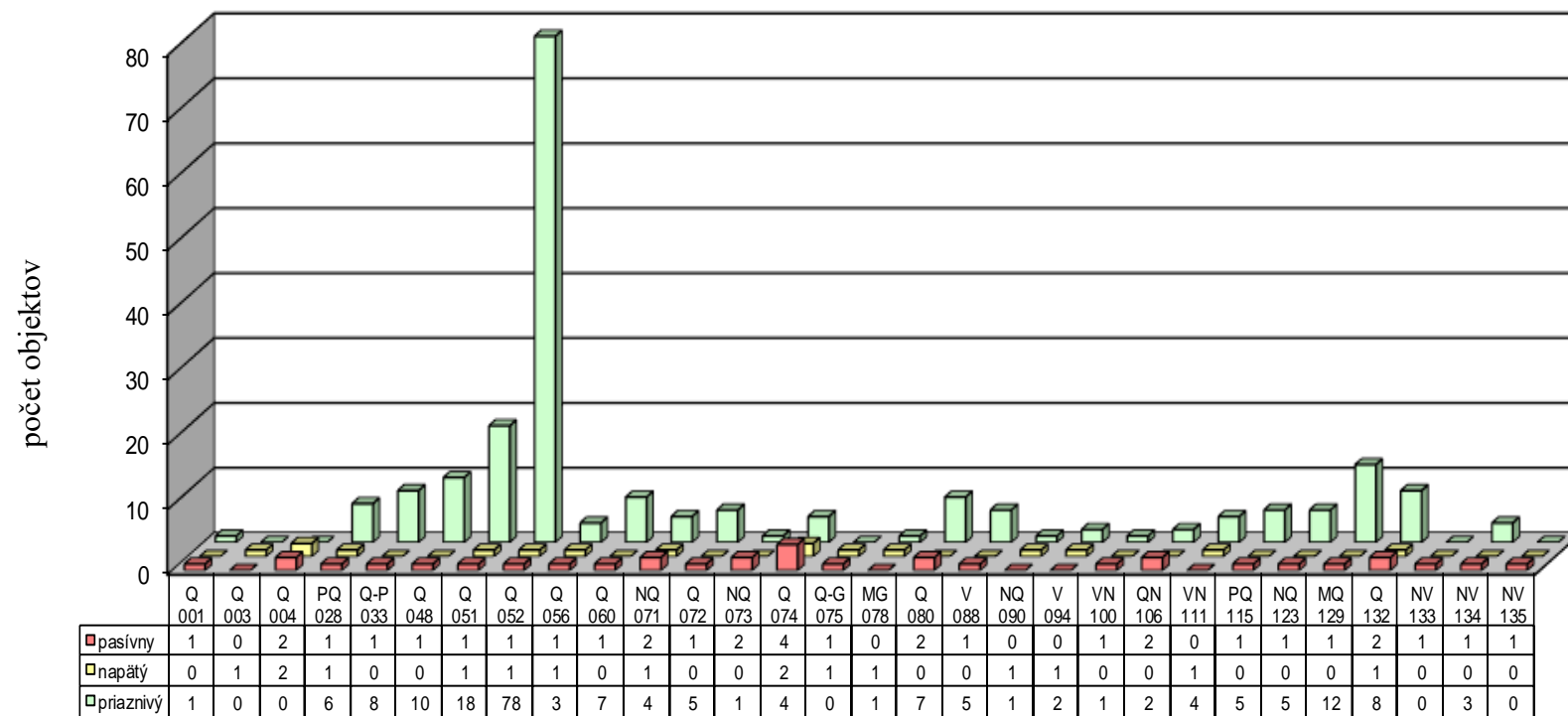
Pasívny a napätý bilančný stav pre SO₄²⁻



HG rajón

Obr. 13:

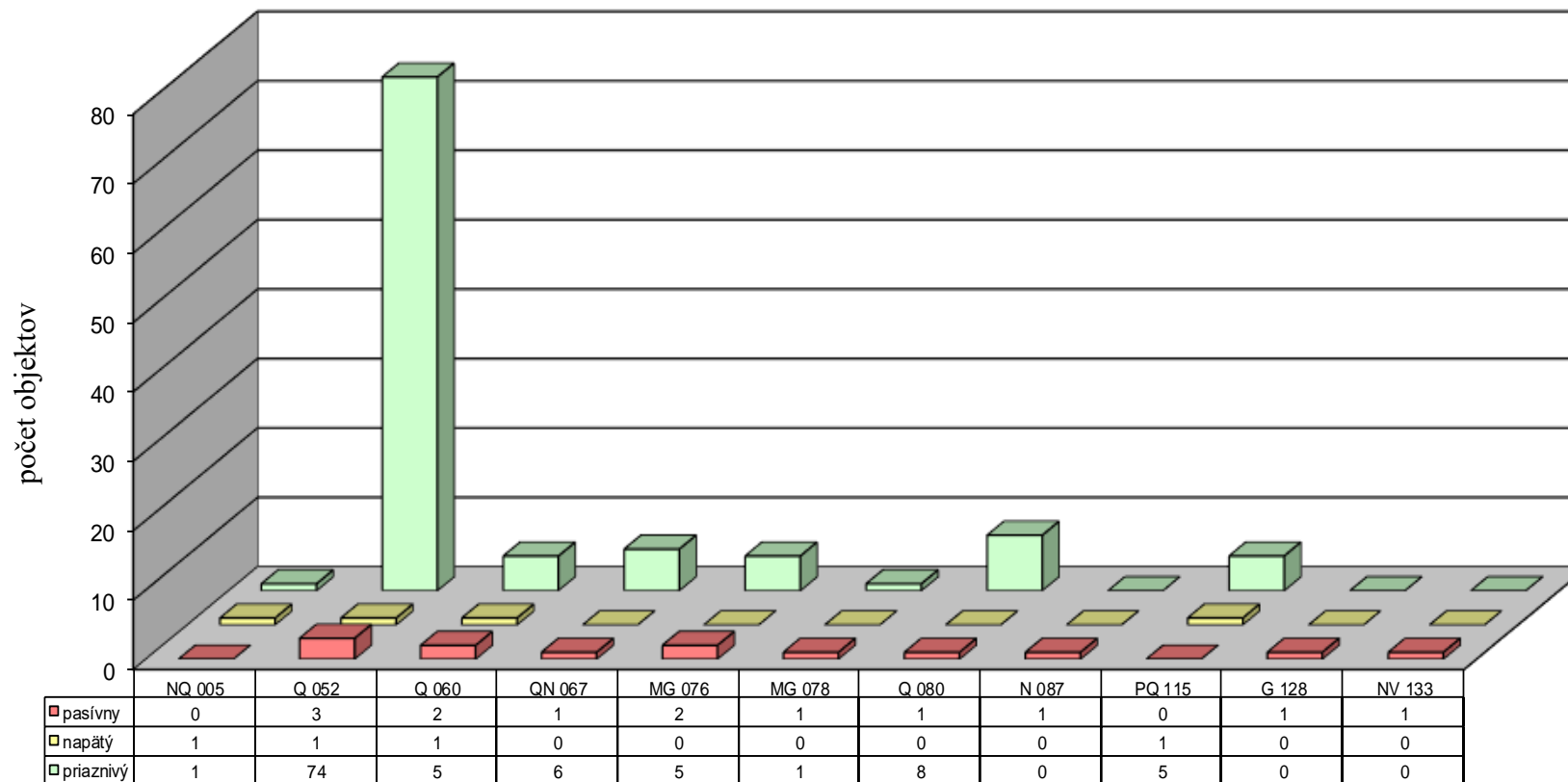
Pasívny a napätý bilančný stav pre TOC



HG rajón

Obr. 14:

Pasívny a napätý bilančný stav pre As



HG rajón

4.3 Vypúšťanie odpadovej vody do podzemnej vody

Na základe nahlasovaných údajov podľa vodného zákona v znení neskorších predpisov podľa § 6 (6) ten, kto vypúšťa odpadové vody alebo osobitné vody do povrchových vôd alebo podzemných vôd v množstve nad 10 000 m³ ročne alebo nad 1 000 m³ mesačne z domácnosti a ten, kto produkuje a vypúšťa odpadové vody, osobitné vody alebo geotermálne vody do povrchových vôd alebo podzemných vôd na základe povolenia podľa § 21 ods. 1 písm. c), je povinný oznamovať údaje o týchto vypúšťaných vodách a údaje určené v povolení podľa § 21 ods. 2 písm. d) raz ročne poverenej osobe, ktorá ich poskytne správcovi vodohospodársky významných vodných tokov. Tieto údaje boli získané zo súhrnnej evidencie o vodách spracovávanej na SHMÚ (ďalej SEoV). Údaje o vypúšťaní nedisponujú lokalizáciou (súradnicovým systémom), preto nie je možné ich lokalizovať mapovo.

V roku 2021 bolo nahlásených 60 vypúšťaní odpadovej vody do podzemnej vody. V porovnaní s predchádzajúcim rokom 10 prevádzok pribudlo a 6 prevádzok z roku 2020 v roku 2021 nenahlásilo vypúšťanie odpadových vôd do podzemných. Jednotlivé prevádzky, ktoré vypúšťajú odpadovú vodu do podzemnej vody, sú zaznamenané v tabuľke 4.3. Sumárne bolo v roku 2021 vypustených 21,30 l.s⁻¹ odpadovej vody do podzemnej vody, oproti roku 2020 to predstavuje pokles o 3,08 l.s⁻¹. Percentuálny podiel vypúšťanej odpadovej vody k odberom predstavuje v hodnotenom roku 0,20 %, čo je zanedbateľné %.

Tab. 4.3: Zoznam prevádzok a množstvo vypúšťania odpadovej vody do podzemnej vody

| Názov prevádzky | Mesto prevádzky | Množstvo vypúšťanej OV rok 2020 (l. s ⁻¹) | Množstvo vypúšťanej OV rok 2021 (l. s ⁻¹) |
|---|----------------------|---|---|
| Danucem Slovensko a.s. | Turňa nad Bodvou | - | 0.0896 |
| Obec Pukanec | Pukanec | 0.0250 | 0.0224 |
| Obec Zborov nad Bystricou | Zborov nad Bystricou | 0.0027 | 0.0027 |
| Obec Veľká Čalomija | Veľká Čalomija | 0.0267 | 0.0281 |
| Obec Dargov | Dargov | 0.0288 | 0.0290 |
| Obec Dargov | Dargov | 0.0297 | 0.0272 |
| Obec Ladomerská Vieska | Žiar nad Hronom | 0.7763 | - |
| Milan Bursa PREELMO GUM | Liptovská Teplá | 0.0073 | - |
| Radovan ŠIMO | Považský Chlmec | 0.0028 | 0.0015 |
| Anna Uhrinová | Kláštor pod Znievom | 0.0155 | 0.0155 |
| G a T spol. s r.o. | Martin | - | 2.9750 |
| Ministerstvo obrany SR, Agentúra správy majetku | Sklené | 0.0116 | 0.2570 |
| DOSS - dom sociálnych služieb | Kráľovský Chlmec | 0.0206 | - |
| TRANSPETROL, a. s. | Šahy | 0.0094 | 0.0104 |
| Shell Slovakia s.r.o. | Tomášovce | - | 0.0268 |
| Železnice Slovenskej republiky | Žilina | 0.0001 | 0.0002 |
| ILKA s.r.o. | Veľký Grob | 5.8711 | - |
| Tatry mountain resorts, a.s. | Liptovský Mikuláš | 0.0087 | 0.0000 |
| Tatry mountain resorts, a.s. | Rovná Hola | 0.0118 | 0.0000 |
| GLOBUS spol. s r.o. | Zvolen | 0.0235 | 0.0201 |
| Slovenská banská s.r.o. | Hodruša - Hámre | 0.0531 | 0.0560 |
| Slovenská banská s.r.o. | Hodruša - Hámre | 0.0165 | 0.0172 |
| BRA-VUR, a.s. | Vrútky | 6.7671 | 5.3425 |
| Slovenské magnezitové závody, akciová spoločnosť, Jelšava | Jelšava | - | 0.1383 |
| Detská psychiatrická liečebňa n.o. Hraň | Hraň | 0.0727 | 0.0788 |
| F.A.P. | Sebechleby | 0.0017 | 0.0018 |
| Slovenské elektrárne a.s. | Jaslovské Bohunice | 0.0000 | 0.0095 |

| Názov prevádzky | Mesto prevádzky | Množstvo vypúšťanej OV rok 2020 (l. s ⁻¹) | Množstvo vypúšťanej OV rok 2021 (l. s ⁻¹) |
|--|-----------------------|---|---|
| Slovenské elektrárne a.s. | Jaslovské Bohunice | 0.0000 | 0.0000 |
| Slovenské elektrárne a.s. | Jaslovské Bohunice | 0.0000 | 0.0000 |
| Slovenské elektrárne a.s. | Jaslovské Bohunice | 0.0152 | 0.0111 |
| Slovenské elektrárne a.s. | Jaslovské Bohunice | - | 0.0000 |
| Slovenské elektrárne a.s. | Jaslovské Bohunice | - | 0.0000 |
| Slovenská elektrizačná prenosová sústava, a.s. | Stupava | 0.0075 | 0.0048 |
| Potôčky SK, s.r.o. | Dolná Krupá | 0.5965 | 0.6697 |
| Národná diaľničná spoločnosť a.s. | Voznica | 0.0101 | 0.0080 |
| Badinotti Slovakia, s.r.o | Brzotín | 0.7094 | 0.7142 |
| LB MINERALS SK,s.r.o | Drienovec | - | 0.0015 |
| Nafta a.s. | Lozorno | 0.0055 | 0.0055 |
| Towercom, a.s. | Zlatá Baňa | 0.0017 | 0.0029 |
| Towercom, a.s. | Kremnica | 0.0026 | 0.0017 |
| Towercom, a.s. | Šumiac | 0.0001 | 0.0002 |
| Towercom, a.s. | Rimavská Sobota | 0.0004 | 0.0000 |
| STATON, s.r.o. | Turany | 0.4957 | 0.5010 |
| METRANS /Danubia/, a.s. | Haniska pri Košiciach | 0.0018 | 0.0016 |
| ŽIARCE, a.s. | Pavčina Lehota | 0.0067 | 0.0046 |
| OLAS, s.r.o. | Považský Chlmec | - | 0.0000 |
| SOMPRA, s.r.o. | Nová Bystrica | 0.0032 | - |
| GAMOTA, a.s. | Malé Straciny | 0.0168 | 0.0165 |
| PolyStar, s r.o. | Nové Zámky | 0.0290 | 0.0655 |
| EUROVIA - Kameňolomy s.r.o. | Krupina | 0.0062 | - |
| VSK MINERAL s.r.o. | Horná Štubňa | 0.0005 | 0.0006 |
| BULK TRANSSHIPMENT SLOVAKIA a.s. | Čierna nad Tisou | 0.0046 | 0.0052 |
| BULK TRANSSHIPMENT SLOVAKIA a.s. | Čierna nad Tisou | 0.0118 | 0.0132 |
| CHYŽBET SK, s.r.o. | Turany | 0.8775 | 0.8869 |
| AKAtech Immobilien s.r.o. | Hlohovec | 6.3484 | 7.6158 |
| TIMAJ s. r. o. | Bojnice | 0.0186 | 0.0176 |
| FED-oil, s.r.o. | Spišský Štvrtok | 0.0045 | 0.0046 |
| LK Consulting SK s. r. o. | Prievidza | - | 0.0160 |
| FARMA FÉNIX, s.r.o. | Ludrová | 0.0103 | 0.0087 |
| PREFA invest,a.s. | Sučany | 1.2541 | 1.4715 |
| TSR Slovakia, s.r.o. | Bytča | 0.0130 | 0.0088 |
| CITY STONE DESIGN S.R.O. | Geča | 0.0732 | 0.0103 |
| Röchling Automotive Slovakia s. r. o. | Kočovce | 0.0669 | 0.0684 |
| VOMS SK, s. r. o. | Rajecké Teplice | 0.0042 | 0.0059 |
| VOMS SK, s. r. o. | Námestovo | 0.0010 | 0.0048 |
| BURSA - GUM s. r. o. | Liptovská Teplá | - | 0.0073 |
| Sumárne vypúšťanie | | 24.3799 | 21.3039 |

Vývoj počtu vypúšťania a množstva vypúšťania je zaznamenaný v tab. 4.4. Najvyšší počet nahlásených vypúšťaní (60) odpadovej vody do podzemnej vody je v roku 2021. V roku 2020 je najväčšie aj množstvo vypúšťanej odpadovej vody do podzemnej vody (24,38 l.s⁻¹). Najmenej prevádzok, ktoré vypúšťali odpadovú vodu do podzemnej vody bolo v roku 2011 (4 prevádzky) a v rokoch 2012 - 2013 (5 prevádzok). Najmenej vypustenej odpadovej vody (7,10 l.s⁻¹) bolo v roku 2013. Percentuálny podiel vypúšťania k odberom sa pohybuje od 0,068 % - 0,230 %, čo je zanedbateľné percento z hľadiska kvantity ako aj množstva vypúšťania (tab. č.4.4).

Tab. 4.4 Vývoj počtu a množstva vypúšťania do PzV za obdobie 2011 – 2021

| hodnotený rok | 2011 | 2012 | 2013 | 2014 | 2015 | 2016 | 2017 | 2018 | 2019 | 2020 | 2021 |
|-------------------------------------|-------|-------|-------|-------|-------|-------|-------|-------|-------|-------|-------|
| počet vypúšťaní | 4 | 5 | 5 | 9 | 22 | 25 | 36 | 39 | 53 | 56 | 60 |
| vypúšťanie do PzV/l.s ⁻¹ | 10,24 | 9,07 | 7,10 | 15,68 | 12,48 | 22,83 | 16,87 | 21,92 | 20,46 | 24,38 | 21,30 |
| podiel vypúšťania k odberom/% | 0,097 | 0,085 | 0,068 | 0,154 | 0,121 | 0,223 | 0,159 | 0,204 | 0,190 | 0,230 | 0,200 |

Z hľadiska nahlasovaných ukazovateľov odpadových vôd podľa vodného zákona do SeOV tieto ukazovatele nevstupujú do hodnotenia bilančného stavu kvality podzemných vôd. Z hľadiska bilancie kvality pzv sú tieto vypúšťania do podzemných vôd zanedbateľné.

5. ZÁVER

V roku 2021 sa kvalita podzemných vôd hodnotila v 481 pozorovacích objektoch podľa Vyhlášky MZ SR č. 247/2017 Z.z., ktorou sa ustanovujú podrobnosti o kvalite pitnej vody, kontrole kvality pitnej vody, programe monitorovania a manažmente rizík pri zásobovaní pitnou a Nariadenia vlády SR č. 496/2010 Z.z., ktorým sa mení a dopĺňa Nariadenie vlády SR č. 354/2006 Z.z., ktorým sa ustanovujú požiadavky na vodu určenú na ľudskú spotrebu a kontrolu kvality vody určenej na ľudskú spotrebu. Bilančný stav podzemných vôd za roky 2020 a 2021 bol vypočítaný pre ukazovatele NH_4^+ , NO_3^- , CHSK_{Mn} , vodivosť, Cl^- , SO_4^{2-} , TOC, As.

V hodnotenom období 2021 z celkového počtu 141 hydrogeologických rajónov Slovenska bol na základe bilančného spracovania hodnotený bilančný stav ako priaznivý v 58 rajónoch, napätý v 7 rajónoch a pasívny v 57 rajónoch. Bilančne nebolo vyhodnotených 19 rajónov, v ktorých v roku 2021 nebola monitorovaná kvalita podzemných vôd. Ukazovatele spôsobujúce napätý alebo pasívny bilančný stav sa podieľali v poradí: TOC v 42 objektoch, vodivosť v 41 objektoch, NO_3^- v 40 objektoch, NH_4^+ v 38 objektoch, SO_4^{2-} v 23 objektoch, As v 17 objektoch, CHSK_{Mn} v 13 objektoch a Cl^- v 5 objektoch.

6. TABULKOVÁ PRÍLOHA

Q – 001 Kwartér Moravy po Brodsképlocha: 106.7 km²

| č. objektu | lokalita | rok | NH ₄ ⁺ | NO ₃ ⁻ | CHSK _{Mn} | vodivosť | Cl ⁻ | SO ₄ ²⁻ | TOC | As | bil.stav | ukazovateľ |
|------------|----------|------|------------------------------|------------------------------|--------------------|----------|-----------------|-------------------------------|--------|---------|----------|--|
| 200290 | HOLIC | 2020 | 0,11 C | 54,34 A | 12 A | 0,96 B | 2,02 A | 1,37 A | 1,71 A | 17,39 A | C | NH ₄ ⁺ |
| | | 2021 | 0,23 C | 100 A | 4,8 A | 1,01 B | 2,04 A | 1,44 A | 1,5 A | 40 A | C | NH ₄ ⁺ |
| 700590 | BRODSKE | 2020 | 3,84 A | 8,88 A | 0,87 C | 1 B | 1,47 A | 2,29 A | 0,22 C | 7,69 A | C | CHSK _{Mn} , TOC |
| | | 2021 | 2 A | 5,84 A | 0,22 C | 0,74 C | 1,87 A | 0,72 C | 0,08 C | 5,26 A | C | CHSK _{Mn} , SO ₄ ²⁻ , TOC |

N – 002 Neogén Chvojnickej pahorkatinyplocha: 367.3 km²

| č. objektu | lokalita | rok | NH ₄ ⁺ | NO ₃ ⁻ | CHSK _{Mn} | vodivosť | Cl ⁻ | SO ₄ ²⁻ | TOC | As | bil.stav | ukazovateľ |
|------------|-----------|------|------------------------------|------------------------------|--------------------|----------|-----------------|-------------------------------|--------|------|----------|------------------------------|
| 399 | RADOSOVCE | 2020 | 16,66 A | 2,11 A | 5 A | 1,1 A | 3,68 A | 1,83 A | 2,14 A | 20 A | A | |
| | | 2021 | 100 A | 1,88 A | 3,33 A | 1,23 A | 3,73 A | 1,83 A | 1,87 A | 40 A | A | |
| 599 | SKALICA | 2020 | 25 A | 0,35 C | 12 A | 1,44 A | 6,81 A | 2,73 A | 3,33 A | 40 A | C | NO ₃ ⁻ |
| | | 2021 | 100 A | 0,33 C | 12 A | 1,36 A | 7 A | 2,52 A | 3,75 A | 40 A | C | NO ₃ ⁻ |

Q – 003 Kwartér Myjavyplocha: 49.8 km²

| č. objektu | lokalita | rok | NH ₄ ⁺ | NO ₃ ⁻ | CHSK _{Mn} | vodivosť | Cl ⁻ | SO ₄ ²⁻ | TOC | As | bil.stav | ukazovateľ |
|------------|------------------|------|------------------------------|------------------------------|--------------------|----------|-----------------|-------------------------------|--------|---------|----------|------------------------------|
| 8190 | SENICA N/MYJAVOU | 2020 | 0,31 C | 64,93 A | 2 A | 1,04 B | 4,86 A | 2,54 A | 1,03 B | 16,66 A | C | NH ₄ ⁺ |
| | | 2021 | 0,26 C | 50,76 A | 1,39 A | 1,05 B | 4,44 A | 2,1 A | 0,96 B | 26,66 A | C | NH ₄ ⁺ |

Q – 004 Kwartér Moravy od Brodského po Vysokú pri Moraveplocha: 160.2 km²

| č. objektu | lokalita | rok | NH ₄ ⁺ | NO ₃ ⁻ | CHSK _{Mn} | vodivosť | Cl ⁻ | SO ₄ ²⁻ | TOC | As | bil.stav | ukazovateľ |
|------------|-----------------------------|------|------------------------------|------------------------------|--------------------|----------|-----------------|-------------------------------|--------|---------|----------|---|
| 201690 | MORAVSKÝ SVATÝ JAN - SEKULE | 2020 | 0,76 C | 66,22 A | 1,46 A | 2,02 A | 10,86 A | 5,12 A | 1,15 A | 26,66 A | C | NH ₄ ⁺ |
| | | 2021 | 1,17 A | 100 A | 1,42 A | 2,09 A | 10,68 A | 5,05 A | 0,98 B | 40 A | B | TOC |
| 209090 | ZAHORSKA VES | 2020 | 0,93 B | 100 A | 1,66 A | 0,51 C | 0,92 B | 0,37 C | 0,8 C | 9,09 A | C | vodivosť, SO ₄ ²⁻ , TOC |
| | | 2021 | 1,29 A | 100 A | 1,5 A | 0,51 C | 0,86 C | 0,34 C | 0,74 C | 6,66 A | C | vodivosť, Cl ⁻ , SO ₄ ²⁻ , TOC |
| 209590 | GAJARY | 2020 | 0,63 C | 100 A | 2,4 A | 1,56 A | 6,02 A | 2,13 A | 1,39 A | 40 A | C | NH ₄ ⁺ |
| | | 2021 | 0,59 C | 100 A | 1,81 A | 1,56 A | 6,34 A | 2,31 A | 1,09 B | 40 A | C | NH ₄ ⁺ |
| 500190 | KUTY | 2020 | 0,23 C | 100 A | 1,36 A | 2,5 A | 12,13 A | 250 A | 1 B | 40 A | C | NH ₄ ⁺ |
| | | 2021 | 0,27 C | 100 A | 0,93 B | 2,45 A | 13,88 A | 37,87 A | 0,9 C | 40 A | C | NH ₄ ⁺ , TOC |

NQ – 005 Neogén centrálnej časti Borskej nížinyplocha: 431.0 km²

| č. objektu | lokalita | rok | NH ₄ ⁺ | NO ₃ ⁻ | CHSK _{Mn} | vodivosť | Cl ⁻ | SO ₄ ²⁻ | TOC | As | bil.stav | ukazovateľ |
|------------|-----------------|------|------------------------------|------------------------------|--------------------|----------|-----------------|-------------------------------|--------|--------|----------|------------|
| 2790 | MALACKY KOZANEK | 2020 | 1,92 A | 100 A | 12 A | 2,44 A | 10,37 A | 5,31 A | 15 A | 0,88 C | C | As |
| | | 2021 | 3,33 A | 100 A | 12 A | 2,65 A | 6,61 A | 4,64 A | 7,5 A | 1,09 B | B | As |
| 7490 | BILKOVE HUMENCE | 2020 | 12,5 A | 12,19 A | 3,75 A | 2,51 A | 115,2 A | 15,15 A | 3,33 A | 40 A | A | |
| | | 2021 | 25 A | 100 A | 2,72 A | 2,64 A | 160,25 A | 12,56 A | 2,5 A | 40 A | A | |

QN – 006 Kwartér a neogén SV časti Borskej nížinyplocha: 134.3 km²

| č. objektu | lokalita | rok | NH ₄ ⁺ | NO ₃ ⁻ | CHSK _{Mn} | vodivosť | Cl ⁻ | SO ₄ ²⁻ | TOC | As | bil.stav | ukazovateľ |
|------------|------------------|------|------------------------------|------------------------------|--------------------|----------|-----------------|-------------------------------|--------|---------|----------|--------------------|
| 7099 | PLAVECKY PETER | 2020 | 25 A | 13,12 A | 0,78 C | 6,27 A | 96,89 A | 6,63 A | 1,76 A | 40 A | C | CHSK _{Mn} |
| | | 2021 | 6,25 A | 12,1 A | 2,5 A | 6,29 A | 100,8 A | 6 A | 1,66 A | 40 A | A | |
| 207390 | PLAVECKY MIKULAS | 2020 | 10 A | 2,25 A | 2,22 A | 1,17 A | 3,16 A | 4,99 A | 1,25 A | 15,38 A | A | |
| | | 2021 | 12,5 A | 11,09 A | 2,4 A | 1,37 A | 8,02 A | 3,98 A | 1,2 A | 13,33 A | A | |

QN – 007 Kwartér a neogén J a JV časti Borskej nížinyplocha: 386.0 km²

| č. objektu | lokality | rok | NH ₄ ⁺ | NO ₃ ⁻ | CHSK _{Mn} | vodivosť | Cl ⁻ | SO ₄ ²⁻ | TOC | As | hl.stav | ukazovateľ |
|------------|-------------------|------|------------------------------|------------------------------|--------------------|----------|-----------------|-------------------------------|--------|---------|---------|-------------------------------|
| 3190 | DEVINSKE JAZERO | 2020 | 10 A | 3,4 A | 3,42 A | 2,25 A | 12,34 A | 4,69 A | 2,85 A | 26,66 A | A | |
| | | 2021 | 5,26 A | 6,37 A | 2,6 A | 2,24 A | 10,06 A | 5,64 A | 1,71 A | 4,54 A | A | |
| 3290 | STUPAVA | 2020 | 25 A | 1,04 B | 4,8 A | 1,14 A | 4,95 A | 1,76 A | 1,87 A | 3,07 A | B | NO ₃ ⁻ |
| | | 2021 | 10 A | 1,02 B | 4,28 A | 1,2 A | 5,3 A | 1,81 A | 1,81 A | 2,77 A | B | NO ₃ ⁻ |
| 6990 | SOLOSNICA | 2020 | 11,11 A | 0,78 C | 7,05 A | 1,54 A | 15,57 A | 4,29 A | 6 A | 40 A | C | NO ₃ ⁻ |
| | | 2021 | 20 A | 0,85 C | 3,75 A | 1,52 A | 17,3 A | 4,46 A | 4,28 A | 40 A | C | NO ₃ ⁻ |
| 206790 | PERNEK | 2020 | 11,11 A | 10,09 A | 12 A | 3,82 A | 29,01 A | 4,85 A | 6 A | 40 A | A | |
| | | 2021 | 25 A | 4,21 A | 7,05 A | 3,62 A | 70,52 A | 4,78 A | 4,28 A | 40 A | A | |
| 209490 | VYSOKA PRI MORAVE | 2020 | 9,09 A | 2,98 A | 6,31 A | 1,2 A | 3,81 A | 0,99 B | 3,15 A | 40 A | B | SO ₄ ²⁻ |
| | | 2021 | 11,11 A | 4,11 A | 5,71 A | 1,22 A | 4,11 A | 1 B | 2,4 A | 40 A | B | SO ₄ ²⁻ |

MG – 008 Kryštalinikum a mezozoikum JZ časti Malých Karpátplocha: 123.9 km²

| č. objektu | lokality | rok | NH ₄ ⁺ | NO ₃ ⁻ | CHSK _{Mn} | vodivosť | Cl ⁻ | SO ₄ ²⁻ | TOC | As | hl.stav | ukazovateľ |
|------------|------------------|------|------------------------------|------------------------------|--------------------|----------|-----------------|-------------------------------|---------|---------|---------|---|
| 14399 | BORINKA-PROPADLE | 2020 | 8,33 A | 4 A | 3,58 A | 2,8 A | 210,52 A | 3,64 A | 3,87 A | 18,18 A | A | |
| | | 2021 | 12,5 A | 4,28 A | 7,5 A | 2,57 A | 208,33 A | 3,03 A | 4,8 A | 25 A | A | |
| 554199 | PERNEK | 2020 | 2,04 A | 44,44 A | 12 A | 0,87 C | 41,1 A | 0,35 C | 48 A | 40 A | C | vodivosť, SO ₄ ²⁻ |
| | | 2021 | 2,46 A | 100 A | 3,58 A | 0,89 C | 42,19 A | 0,35 C | 14,11 A | 40 A | C | vodivosť, SO ₄ ²⁻ |

QG – 009 Kryštalinikum Západných Tatier a kvartér východnej časti Liptovskej kotlinyplocha: 454.3 km²

| č. objektu | lokality | rok | NH ₄ ⁺ | NO ₃ ⁻ | CHSK _{Mn} | vodivosť | Cl ⁻ | SO ₄ ²⁻ | TOC | As | hl.stav | ukazovateľ |
|------------|-----------|------|------------------------------|------------------------------|--------------------|----------|-----------------|-------------------------------|--------|---------|---------|------------|
| 34690 | VAVRISOVO | 2020 | 11,11 A | 1,96 A | 5,21 A | 7,64 A | 40 A | 26,04 A | 5 A | 40 A | A | |
| | | 2021 | 25 A | 1,96 A | 12 A | 7,71 A | 43,66 A | 24,23 A | 4,61 A | 40 A | A | |
| 611199 | HRDOVO | 2020 | 16,66 A | 38,16 A | 12 A | 28,47 A | 500 A | 68,11 A | 15 A | 10 A | A | |
| | | 2021 | 16,66 A | 32,46 A | 12 A | 24,08 A | 500 A | 40,84 A | 7,5 A | 10 A | A | |
| 611990 | VAVRISOVO | 2020 | 2,22 A | 2,54 A | 1,48 A | 6,12 A | 60,38 A | 20,83 A | 1,03 B | 17,39 A | B | TOC |
| | | 2021 | 11,11 A | 2,07 A | 3,52 A | 5,8 A | 47,52 A | 15,52 A | 2,4 A | 40 A | A | |

M – 010 Mezozoikum chočského príkrovu SV svahov Nízkyh Tatier a Kozích chrbtovplocha: 229.8 km²

| č. objektu | lokality | rok | NH ₄ ⁺ | NO ₃ ⁻ | CHSK _{Mn} | vodivosť | Cl ⁻ | SO ₄ ²⁻ | TOC | As | hl.stav | ukazovateľ |
|------------|--------------------------------|------|------------------------------|------------------------------|--------------------|----------|-----------------|-------------------------------|--------|--------|---------|------------|
| 31099 | SVARIN | 2020 | 14,28 A | 12,63 A | 3,15 A | 4,21 A | 285,71 A | 14,51 A | 3,15 A | 40 A | A | |
| | | 2021 | 19,04 A | 11,45 A | 5,1 A | 4,32 A | 303,95 A | 14,47 A | 2,66 A | 32 A | A | |
| 35299 | LIPT. JAN - PRI STANIS. JAS. 1 | 2020 | 18,18 A | 9,59 A | 4,89 A | 3,7 A | 500 A | 21,18 A | 5 A | 40 A | A | |
| | | 2021 | 14,81 A | 10,21 A | 9,6 A | 3,68 A | 294,11 A | 21,97 A | 3,87 A | 25,8 A | A | |

MG – 011 Paleozoikum a mezozoikum-melafýrová séria SV svahov N. Tatier a kozích chrbtovplocha: 162.2 km²

| č. objektu | lokality | rok | NH ₄ ⁺ | NO ₃ ⁻ | CHSK _{Mn} | vodivosť | Cl ⁻ | SO ₄ ²⁻ | TOC | As | hl.stav | ukazovateľ |
|------------|---------------------------|------|------------------------------|------------------------------|--------------------|----------|-----------------|-------------------------------|--------|------|---------|------------|
| 32999 | VYSNA SUNAVA, ZEMSKA C. 1 | 2020 | 22,22 A | 11,54 A | 8,88 A | 2,41 A | 75,24 A | 5,68 A | 6,31 A | 40 A | A | |
| | | 2021 | 25 A | 12,99 A | 12 A | 2,45 A | 77,82 A | 5,86 A | 4,28 A | 40 A | A | |

MG – 012 Mezozoikum série Veľkého Boku – západná a stredná časť a príahle kryštalinikum SV svahov Nízkyh Tatierplocha: 116.2 km²

| č. objektu | lokality | rok | NH ₄ ⁺ | NO ₃ ⁻ | CHSK _{Mn} | vodivosť | Cl ⁻ | SO ₄ ²⁻ | TOC | As | hl.stav | ukazovateľ |
|------------|------------|------|------------------------------|------------------------------|--------------------|----------|-----------------|-------------------------------|---------|--------|---------|------------|
| 31499 | MALUZINA | 2020 | 22,22 A | 12,47 A | 12 A | 7,06 A | 500 A | 28,08 A | 20 A | 40 A | A | |
| | | 2021 | 40 A | 15,18 A | 12 A | 7,41 A | 500 A | 26,89 A | 7,5 A | 40 A | A | |
| 32899 | VYSNA BOCA | 2020 | 22,22 A | 17,95 A | 12 A | 11,83 A | 500 A | 43,95 A | 30 A | 5,19 A | A | |
| | | 2021 | 40 A | 19,45 A | 12 A | 10,63 A | 400 A | 44,32 A | 17,14 A | 4,59 A | A | |

MG – 013 Mezozoikum série Veľkého Boku – V časť a príľahlé kryštalinikum SV svahov Nízkyh Tatier

plocha: 97.1 km²

| č. objektu | lokalita | rok | NH ₄ ⁺ | NO ₃ ⁻ | CHSK _{Mn} | vodivosť | Cl ⁻ | SO ₄ ²⁻ | TOC | As | hl.stav | ukazovateľ |
|------------|---------------|------|------------------------------|------------------------------|--------------------|----------|-----------------|-------------------------------|-------|------|---------|------------|
| 30399 | LIPT.TEPLICKA | 2020 | 20 A | 8,87 A | 12 A | 4,32 A | 500 A | 30,21 A | 15 A | 40 A | A | |
| | | 2021 | 36,36 A | 9,37 A | 12 A | 4,13 A | 500 A | 32,78 A | 7,5 A | 40 A | A | |

MG – 014 Mezozoikum a príľahlé kryštalinikum Západných Tatier v povodí Oravy

plocha: 86.3 km²

| č. objektu | lokalita | rok | NH ₄ ⁺ | NO ₃ ⁻ | CHSK _{Mn} | vodivosť | Cl ⁻ | SO ₄ ²⁻ | TOC | As | hl.stav | ukazovateľ |
|------------|----------|------|------------------------------|------------------------------|--------------------|----------|-----------------|-------------------------------|--------|---------|---------|------------|
| 523190 | ZUBEREC | 2020 | 16,66 A | 9,52 A | 6,66 A | 9,05 A | 185,87 A | 30,7 A | 10,9 A | 11,42 A | A | |
| | | 2021 | 11,11 A | 9,97 A | 9,6 A | 9,5 A | 253,16 A | 26,86 A | 7,05 A | 12,12 A | A | |

M – 015 Mezozoikum východnej časti Chočských vrchov

plocha: 94.6 km²

QP – 016 Paleogén a kvartér západnej a strednej časti Liptovskej kotliny

plocha: 346.6 km²

| č. objektu | lokalita | rok | NH ₄ ⁺ | NO ₃ ⁻ | CHSK _{Mn} | vodivosť | Cl ⁻ | SO ₄ ²⁻ | TOC | As | hl.stav | ukazovateľ |
|------------|-------------------------|------|------------------------------|------------------------------|--------------------|----------|-----------------|-------------------------------|--------|---------|---------|------------|
| 37499 | PROSIEK - PROSIEC. DOL. | 2020 | 50 A | 9,12 A | 12 A | 3,06 A | 227,27 A | 16,44 A | 3,75 A | 16,66 A | A | |
| | | 2021 | 50 A | 8,46 A | 3 A | 3,45 A | 500 A | 17,98 A | 2,72 A | 40 A | A | |
| 40999 | LAZISKO | 2020 | 25 A | 6,77 A | 3,33 A | 3,46 A | 500 A | 20,49 A | 2,3 A | 40 A | A | |
| | | 2021 | 25 A | 6,75 A | 2,5 A | 3,66 A | 500 A | 21,36 A | 1,87 A | 40 A | A | |
| 248690 | LIPT.MIKULAS-PALUDZKA | 2020 | 20 A | 1,49 A | 4,8 A | 1,62 A | 6 A | 7,19 A | 2,85 A | 9,52 A | A | |
| | | 2021 | 33,33 A | 2 A | 7,05 A | 1,73 A | 6,29 A | 7,63 A | 2,72 A | 10,52 A | A | |

MG – 017 Mezozoikum a kryštalinikum SZ svahov Nízkyh Tatier

plocha: 294.1 km²

| č. objektu | lokalita | rok | NH ₄ ⁺ | NO ₃ ⁻ | CHSK _{Mn} | vodivosť | Cl ⁻ | SO ₄ ²⁻ | TOC | As | hl.stav | ukazovateľ |
|------------|---------------------------|------|------------------------------|------------------------------|--------------------|----------|-----------------|-------------------------------|--------|---------|---------|---|
| 40299 | DEMANOVSKA DOLINA - ZADNA | 2020 | 16,66 A | 15,84 A | 7,74 A | 26,86 A | 500 A | 52,21 A | 12 A | 13,33 A | A | |
| | | 2021 | 16 A | 18,93 A | 12 A | 27,23 A | 500 A | 50,27 A | 8 A | 12,9 A | A | |
| 41499 | PART. LUPCA | 2020 | 20 A | 10,27 A | 5,71 A | 0,61 C | 68,35 A | 0,2 C | 4,61 A | 40 A | C | vodivosť, SO ₄ ²⁻ |
| | | 2021 | 22,22 A | 12,21 A | 9,6 A | 0,61 C | 72,78 A | 0,21 C | 3,42 A | 25,8 A | C | vodivosť, SO ₄ ²⁻ |
| 43599 | LUDROVA - MOCIDLA | 2020 | 22,22 A | 8,96 A | 7,27 A | 1,95 A | 151,51 A | 4,82 A | 8,57 A | 11,42 A | A | |
| | | 2021 | 13,79 A | 8,43 A | 12 A | 1,97 A | 175,13 A | 4,85 A | 5,71 A | 10,81 A | A | |

PQ – 018 Paleogén Oravskej vrchoviny. Skorušiny a časti Oravskej Magury

plocha: 591.0 km²

| č. objektu | lokalita | rok | NH ₄ ⁺ | NO ₃ ⁻ | CHSK _{Mn} | vodivosť | Cl ⁻ | SO ₄ ²⁻ | TOC | As | hl.stav | ukazovateľ |
|------------|-----------------------|------|------------------------------|------------------------------|--------------------|----------|-----------------|-------------------------------|--------|---------|---------|------------------------------|
| 43190 | LIESEK | 2020 | 50 A | 2,15 A | 12 A | 1,22 A | 4,78 A | 5,24 A | 1,87 A | 12,5 A | A | |
| | | 2021 | 25 A | 2,84 A | 3 A | 1,1 A | 1,89 A | 3,79 A | 2,3 A | 12,5 A | A | |
| 43490 | PODBIEL | 2020 | 8,33 A | 1,28 A | 4 A | 1,82 A | 12,01 A | 8,6 A | 2,14 A | 15,38 A | A | |
| | | 2021 | 25 A | 1,37 A | 2 A | 1,89 A | 12,62 A | 9,17 A | 1,87 A | 18,18 A | A | |
| 242990 | VELICNA | 2020 | 10 A | 1,18 A | 2,6 A | 1,35 A | 4,92 A | 6,66 A | 1,62 A | 20 A | A | |
| | | 2021 | 25 A | 1,8 A | 1,3 A | 1,69 A | 6,58 A | 5,97 A | 2,14 A | 26,66 A | A | |
| 243590 | PARNICA | 2020 | 14,28 A | 1,21 A | 7,05 A | 1,37 A | 8,46 A | 11,31 A | 2,5 A | 40 A | A | |
| | | 2021 | 25 A | 1,34 A | 2,72 A | 1,37 A | 8,51 A | 12,01 A | 2,14 A | 40 A | A | |
| 521190 | ORAV.BIELY POTOK P-11 | 2020 | 0,53 C | 100 A | 12 A | 3,58 A | 500 A | 8,36 A | 30 A | 40 A | C | NH ₄ ⁺ |
| | | 2021 | 0,54 C | 100 A | 12 A | 3,72 A | 500 A | 10,33 A | 10 A | 40 A | C | NH ₄ ⁺ |

M – 019 Mezozoikum západnej časti Chočských vrchovplocha: 142.4 km²

| č. objektu | lokalita | rok | NH ₄ ⁺ | NO ₃ ⁻ | CHSK _{5in} | vodivosť | Cl ⁻ | SO ₄ ²⁻ | TOC | As | bil.stav | ukazovateľ |
|------------|----------|------|------------------------------|------------------------------|---------------------|----------|-----------------|-------------------------------|--------|------|----------|------------|
| 41799 | LUCKY | 2020 | 22,22 A | 5,62 A | 12 A | 3,44 A | 248,75 A | 13,08 A | 10,9 A | 40 A | A | |
| | | 2021 | 20 A | 6,05 A | 12 A | 3,49 A | 354,6 A | 12,78 A | 6,31 A | 40 A | A | |

M – 020 Mezozoikum S časti Veľkej Fatryplocha: 184.4 km²**G – 021 Kryštalínikum Veľkej Fatry**plocha: 64.3 km²**M – 022 Mezozoikum Veľkej Fatry v oblasti medzi Smrekovicou a Ploskou**plocha: 154.0 km²

| č. objektu | lokalita | rok | NH ₄ ⁺ | NO ₃ ⁻ | CHSK _{5in} | vodivosť | Cl ⁻ | SO ₄ ²⁻ | TOC | As | bil.stav | ukazovateľ |
|------------|-----------------|------|------------------------------|------------------------------|---------------------|----------|-----------------|-------------------------------|--------|------|----------|------------|
| 67599 | NECPALY - LASCE | 2020 | 20 A | 8,81 A | 12 A | 2,49 A | 500 A | 5,34 A | 5,71 A | 40 A | A | |
| | | 2021 | 57,14 A | 9,74 A | 9,6 A | 2,52 A | 500 A | 5,32 A | 3,87 A | 40 A | A | |

M – 023 Mezozoikum chočského príkrovu JZ časti Veľkej Fatryplocha: 228.3 km²

| č. objektu | lokalita | rok | NH ₄ ⁺ | NO ₃ ⁻ | CHSK _{5in} | vodivosť | Cl ⁻ | SO ₄ ²⁻ | TOC | As | bil.stav | ukazovateľ |
|------------|---------------------|------|------------------------------|------------------------------|---------------------|----------|-----------------|-------------------------------|--------|------|----------|------------|
| 67499 | BLATNICA | 2020 | 15,38 A | 7,87 A | 9,6 A | 3,18 A | 500 A | 22,98 A | 4,13 A | 40 A | A | |
| | | 2021 | 36,36 A | 8,4 A | 4,36 A | 3,22 A | 500 A | 21,45 A | 2,92 A | 40 A | A | |
| 132599 | HARMANEC - ZALAMANA | 2020 | 23,52 A | 8,27 A | 3,63 A | 3,5 A | 500 A | 43,1 A | 2,92 A | 40 A | A | |
| | | 2021 | 17,39 A | 11,14 A | 4,61 A | 3,44 A | 500 A | 39,74 A | 2,55 A | 40 A | A | |

M – 024 Mezozoikum Veľkej Fatry a Nízkych Tatier medzi Ploskou a v okolí Donovalovplocha: 203.1 km²

| č. objektu | lokalita | rok | NH ₄ ⁺ | NO ₃ ⁻ | CHSK _{5in} | vodivosť | Cl ⁻ | SO ₄ ²⁻ | TOC | As | bil.stav | ukazovateľ |
|------------|-------------------------------|------|------------------------------|------------------------------|---------------------|----------|-----------------|-------------------------------|---------|------|----------|------------|
| 38299 | L.REVUCE | 2020 | 15,38 A | 9,85 A | 8,88 A | 3,03 A | 500 A | 11,07 A | 4,44 A | 40 A | A | |
| | | 2021 | 26,66 A | 10,25 A | 5,71 A | 2,95 A | 500 A | 10,24 A | 3,52 A | 40 A | A | |
| 127999 | MOTYCKY,pr.GEN. CUNDERLIKA | 2020 | 25 A | 10,5 A | 12 A | 2,45 A | 46,21 A | 4,21 A | 13,33 A | 40 A | A | |
| | | 2021 | 14,28 A | 11,96 A | 12 A | 2,47 A | 60,82 A | 4,36 A | 6,66 A | 40 A | A | |

PN – 025 Paleogén povodia Bielej Oravy a neogén Oravskej kotlinyplocha: 800.9 km²

| č. objektu | lokalita | rok | NH ₄ ⁺ | NO ₃ ⁻ | CHSK _{5in} | vodivosť | Cl ⁻ | SO ₄ ²⁻ | TOC | As | bil.stav | ukazovateľ |
|------------|------------------------|------|------------------------------|------------------------------|---------------------|----------|-----------------|-------------------------------|--------|--------|----------|------------------------------|
| 45299 | NAMESTOVO-pr.JEDLICNIK | 2020 | 1,85 A | 7,96 A | 12 A | 3,56 A | 142,85 A | 8,92 A | 6 A | 40 A | A | |
| | | 2021 | 25 A | 7,59 A | 12 A | 3,6 A | 166,66 A | 8,22 A | 4,28 A | 40 A | A | |
| 45799 | HLADOVKA | 2020 | 50 A | 1,94 A | 12 A | 3,09 A | 28,66 A | 27,23 A | 7,5 A | 40 A | A | |
| | | 2021 | 25 A | 1,93 A | 12 A | 3,16 A | 30,48 A | 23,36 A | 10 A | 40 A | A | |
| 514490 | BOBROV | 2020 | 0,05 C | 100 A | 5 A | 3,23 A | 500 A | 100 A | 4,28 A | 5,26 A | C | NH ₄ ⁺ |
| | | 2021 | 0,05 C | 100 A | 4,28 A | 3,32 A | 500 A | 56,3 A | 3,33 A | 3,22 A | C | NH ₄ ⁺ |

MP – 026 Mezozoikum bradlového pásma a paleogén v povodí Varínkyplocha: 169.2 km²

| č. objektu | lokalita | rok | NH ₄ ⁺ | NO ₃ ⁻ | CHSK _{5in} | vodivosť | Cl ⁻ | SO ₄ ²⁻ | TOC | As | bil.stav | ukazovateľ |
|------------|----------|------|------------------------------|------------------------------|---------------------|----------|-----------------|-------------------------------|-------|------|----------|------------|
| 34790 | ZLIEN | 2020 | 25 A | 3,08 A | 12 A | 1,91 A | 53,07 A | 11,41 A | 5 A | 40 A | A | |
| | | 2021 | 50 A | 6,26 A | 3,75 A | 2,36 A | 500 A | 24,5 A | 2,3 A | 40 A | A | |

MG – 027 Mezozoikum a kryštalinikum Krivánskej Fatryplocha: 244.5 km²

| č. objektu | lokality | rok | NH ₄ ⁺ | NO ₃ ⁻ | CHSK _{in} | vodivosť | Cl ⁻ | SO ₄ ²⁻ | TOC | As | bil.stav | ukazovateľ |
|------------|-------------------|------|------------------------------|------------------------------|--------------------|----------|-----------------|-------------------------------|--------|--------|----------|------------|
| 68099 | BELA - PRI VARINE | 2020 | 18,18 A | 14,15 A | 12 A | 3,98 A | 178,89 A | 7,68 A | 8,57 A | 7,14 A | A | |
| | | 2021 | 16 A | 16,57 A | 8,27 A | 3,99 A | 500 A | 8,7 A | 5 A | 6,34 A | A | |

PQ – 028 Paleogén a kvartér povodia Kysuceplocha: 994.4 km²

| č. objektu | lokality | rok | NH ₄ ⁺ | NO ₃ ⁻ | CHSK _{in} | vodivosť | Cl ⁻ | SO ₄ ²⁻ | TOC | As | bil.stav | ukazovateľ |
|------------|--------------------|------|------------------------------|------------------------------|--------------------|----------|-----------------|-------------------------------|--------|---------|----------|--------------------------|
| 41190 | BRODNO | 2020 | 16,66 A | 1,63 A | 12 A | 1,48 A | 4,41 A | 9,15 A | 6 A | 40 A | A | |
| | | 2021 | 40 A | 1,63 A | 7,05 A | 1,34 A | 3,29 A | 8,97 A | 5,45 A | 40 A | A | |
| 41690 | DUNAJOV | 2020 | 8,33 A | 40,32 A | 2,92 A | 2,76 A | 29,76 A | 27,88 A | 1,5 A | 40 A | A | |
| | | 2021 | 14,28 A | 38,61 A | 2,3 A | 2,52 A | 27,17 A | 23,25 A | 1,93 A | 40 A | A | |
| 42090 | KRASNO NAD KYSUCOU | 2020 | 25 A | 13,85 A | 6,31 A | 2,17 A | 16,89 A | 11,33 A | 2,85 A | 40 A | A | |
| | | 2021 | 28,57 A | 23,58 A | 7,05 A | 2,37 A | 18,24 A | 12,65 A | 2,6 A | 40 A | A | |
| 42190 | CADCA | 2020 | 16,66 A | 3,46 A | 4,8 A | 1,35 A | 2,26 A | 7,2 A | 3 A | 26,66 A | A | |
| | | 2021 | 25 A | 3,66 A | 5,71 A | 1,45 A | 1,69 A | 6,93 A | 4,61 A | 21,05 A | A | |
| 42390 | CIERNE | 2020 | 16,66 A | 32,89 A | 3,75 A | 2,94 A | 12,37 A | 10,91 A | 2 A | 40 A | A | |
| | | 2021 | 7,69 A | 100 A | 2,3 A | 3,28 A | 19,3 A | 12,28 A | 1,93 A | 40 A | A | |
| 42690 | RAKOVA - ZAPAD | 2020 | 2,17 A | 100 A | 0,58 C | 3,03 A | 17,61 A | 14,24 A | 0,65 C | 5,12 A | C | CHSK _{Mn} , TOC |
| | | 2021 | 1,61 A | 100 A | 1,17 A | 2,19 A | 8,75 A | 5,78 A | 0,92 B | 2,19 A | B | TOC |
| 241490 | KYSUCKE NOVE MESTO | 2020 | 25 A | 3,97 A | 12 A | 1,72 A | 40,22 A | 5,8 A | 3,33 A | 40 A | A | |
| | | 2021 | 25 A | 4,97 A | 6,31 A | 1,76 A | 49,6 A | 6,39 A | 3,33 A | 40 A | A | |
| 242790 | PODVYSOKA | 2020 | 3,33 A | 35,46 A | 0,53 C | 2,67 A | 500 A | 21 A | 0,81 C | 14,28 A | C | CHSK _{Mn} , TOC |
| | | 2021 | 25 A | 49,01 A | 0,93 B | 3,13 A | 500 A | 20,83 A | 0,81 C | 20 A | C | TOC |

QP – 029 Paleogén a kvartér časti Žilinskej kotliny a V okraja Súľovských vrchovplocha: 227.7 km²

| č. objektu | lokality | rok | NH ₄ ⁺ | NO ₃ ⁻ | CHSK _{in} | vodivosť | Cl ⁻ | SO ₄ ²⁻ | TOC | As | bil.stav | ukazovateľ |
|------------|--------------------|------|------------------------------|------------------------------|--------------------|----------|-----------------|-------------------------------|--------|---------|----------|------------|
| 31690 | ZILINA | 2020 | 14,28 A | 1,63 A | 12 A | 1,37 A | 3,73 A | 5,63 A | 7,5 A | 10,52 A | A | |
| | | 2021 | 20 A | 1,72 A | 12 A | 1,49 A | 4,73 A | 4,96 A | 5 A | 10 A | A | |
| 32190 | MOJS | 2020 | 16,66 A | 3,02 A | 12 A | 2,04 A | 29,76 A | 10,61 A | 5 A | 11,76 A | A | |
| | | 2021 | 50 A | 2,36 A | 12 A | 1,99 A | 33,99 A | 9,52 A | 3,75 A | 11,11 A | A | |
| 32990 | KRASNANY | 2020 | 3,12 A | 2,15 A | 12 A | 1,53 A | 7,19 A | 14,57 A | 4,61 A | 26,66 A | A | |
| | | 2021 | 18,18 A | 2,07 A | 7,05 A | 1,49 A | 7,48 A | 14,88 A | 3,15 A | 26,66 A | A | |
| 231990 | TEPLICKA NAD VAHOM | 2020 | 16,66 A | 2,24 A | 12 A | 1,44 A | 7,14 A | 9,22 A | 6,66 A | 40 A | A | |
| | | 2021 | 33,33 A | 2,14 A | 12 A | 1,41 A | 6,45 A | 8,15 A | 4 A | 40 A | A | |

MG – 030 Kryštalinikum a mezozoikum SZ svahov Lúčanskej Fatryplocha: 78.2 km²

| č. objektu | lokality | rok | NH ₄ ⁺ | NO ₃ ⁻ | CHSK _{in} | vodivosť | Cl ⁻ | SO ₄ ²⁻ | TOC | As | bil.stav | ukazovateľ |
|------------|----------|------|------------------------------|------------------------------|--------------------|----------|-----------------|-------------------------------|--------|------|----------|------------|
| 79599 | KUNERAD | 2020 | 20 A | 6,4 A | 4,28 A | 15,06 A | 500 A | 25,08 A | 8 A | 40 A | A | |
| | | 2021 | 21,05 A | 6,3 A | 7,05 A | 15,14 A | 500 A | 22,83 A | 4,61 A | 40 A | A | |

MG – 031 Kryštalinikum a mezozoikum SV časti Lúčanskej Fatryplocha: 84.6 km²**M – 032 Mezozoikum J časti Lúčanskej Fatry**plocha: 212.5 km²

| č. objektu | lokality | rok | NH ₄ ⁺ | NO ₃ ⁻ | CHSK _{in} | vodivosť | Cl ⁻ | SO ₄ ²⁻ | TOC | As | bil.stav | ukazovateľ |
|------------|------------------------|------|------------------------------|------------------------------|--------------------|----------|-----------------|-------------------------------|--------|------|----------|------------|
| 64299 | KLASTOR POD ZNIEVOM | 2020 | 12,5 A | 7,76 A | 12 A | 2,6 A | 202,42 A | 15,72 A | 2,85 A | 40 A | A | |
| | | 2021 | 9,09 A | 10,01 A | 1,79 A | 2,57 A | 108,22 A | 15,47 A | 2,6 A | 40 A | A | |
| 77799 | RAJECKA LESNA | 2020 | 12,5 A | 13,86 A | 7,27 A | 2,85 A | 500 A | 6,03 A | 5,71 A | 40 A | A | |
| | | 2021 | 23,52 A | 15,71 A | 12 A | 2,82 A | 500 A | 5,37 A | 5 A | 40 A | A | |
| 77999 | KAMENNA PORUBA - HORNY | 2020 | 22,22 A | 8,82 A | 7,74 A | 2,67 A | 400 A | 14,64 A | 5 A | 40 A | A | |
| | | 2021 | 22,22 A | 11,11 A | 12 A | 2,78 A | 500 A | 13,07 A | 3,87 A | 40 A | A | |

Q-P – 033 Paleogén. neogén a kvartér Turčianskej kotlinyplocha: 437.7 km²

| č. objektu | lokality | rok | NH ₄ ⁺ | NO ₃ ⁻ | CHSK _{tot} | vodivosť | Cl ⁻ | SO ₄ ²⁻ | TOC | As | bil.stav | ukazovateľ |
|------------|---------------------|------|------------------------------|------------------------------|---------------------|----------|-----------------|-------------------------------|--------|---------|----------|---|
| 45890 | KOSTANY | 2020 | 11,11 A | 6,28 A | 8 A | 2,36 A | 54,64 A | 6,6 A | 5,45 A | 40 A | A | |
| | | 2021 | 25 A | 2,71 A | 8 A | 2,37 A | 88,96 A | 7,38 A | 2,85 A | 40 A | A | |
| 46390 | KLASTOR POD ZNIEVOM | 2020 | 10 A | 3,75 A | 6,31 A | 2,33 A | 72,25 A | 15,24 A | 12 A | 40 A | A | |
| | | 2021 | 25 A | 4,69 A | 12 A | 2,21 A | 85,91 A | 15,52 A | 4 A | 40 A | A | |
| 46690 | IVANCINA | 2020 | 16,66 A | 0,96 B | 8 A | 1,73 A | 6,23 A | 8,54 A | 3,52 A | 40 A | B | NO ₃ ⁻ |
| | | 2021 | 66,66 A | 0,96 B | 7,05 A | 1,69 A | 6,87 A | 10,98 A | 2,85 A | 40 A | B | NO ₃ ⁻ |
| 46790 | BLAZOVCE | 2020 | 20 A | 5,14 A | 5,71 A | 1,89 A | 16,83 A | 9 A | 2,6 A | 40 A | A | |
| | | 2021 | 50 A | 6,19 A | 5,21 A | 1,78 A | 16,89 A | 8,66 A | 2,72 A | 40 A | A | |
| 61499 | JAZERNICA | 2020 | 10 A | 0,97 B | 4,28 A | 1,7 A | 17,24 A | 8,86 A | 2,5 A | 40 A | B | NO ₃ ⁻ |
| | | 2021 | 12,5 A | 1,2 A | 2,67 A | 1,74 A | 18,24 A | 192,3 A | 1,57 A | 40 A | A | |
| 245590 | MARTIN - PRIEKOPA | 2020 | 20 A | 1,69 A | 12 A | 1,15 A | 1,81 A | 6,69 A | 4,28 A | 13,33 A | A | |
| | | 2021 | 25 A | 2,48 A | 7,05 A | 1,29 A | 2,34 A | 6,32 A | 3,33 A | 26,66 A | A | |
| 246090 | PRIBOVCE- BENICE | 2020 | 25 A | 1,06 B | 5,21 A | 1,86 A | 39,65 A | 4,47 A | 5,45 A | 26,66 A | B | NO ₃ ⁻ |
| | | 2021 | 16,66 A | 1,76 A | 3,42 A | 1,94 A | 45,08 A | 4,88 A | 4,61 A | 26,66 A | A | |
| 246290 | LEZIACHOV | 2020 | 0,54 C | 0,88 C | 5,21 A | 1,43 A | 8,83 A | 8,68 A | 4,28 A | 6,66 A | C | NH ₄ ⁺ , NO ₃ ⁻ |
| | | 2021 | 0,21 C | 0,65 C | 12 A | 1,36 A | 9,7 A | 8,56 A | 3 A | 5,88 A | C | NH ₄ ⁺ , NO ₃ ⁻ |
| 610690 | DUBOVE | 2020 | 1,4 A | 100 A | 1,17 A | 2,95 A | 30,3 A | 13,77 A | 1,03 B | 9,52 A | B | TOC |
| | | 2021 | 3,22 A | 100 A | 1,71 A | 2,86 A | 30,52 A | 13,73 A | 0,54 C | 9,09 A | C | TOC |

MP – 034 Paleogén a mezozoikum bradlového pásma Súľovských vrchov a Podmanínskej pahorkatinyplocha: 228.0 km²

| č. objektu | lokality | rok | NH ₄ ⁺ | NO ₃ ⁻ | CHSK _{tot} | vodivosť | Cl ⁻ | SO ₄ ²⁻ | TOC | As | bil.stav | ukazovateľ |
|------------|----------------|------|------------------------------|------------------------------|---------------------|----------|-----------------|-------------------------------|-------|--------|----------|------------|
| 80999 | POVAZSKA TEPLA | 2020 | 25 A | 19,6 A | 12 A | 2,28 A | 62,5 A | 11,96 A | 15 A | 12,5 A | A | |
| | | 2021 | 50 A | 14,79 A | 12 A | 2,36 A | 65,1 A | 12,37 A | 7,5 A | 12,5 A | A | |

M – 035 Mezozoikum S časti Strážovských vrchovplocha: 257.3 km²

| č. objektu | lokality | rok | NH ₄ ⁺ | NO ₃ ⁻ | CHSK _{tot} | vodivosť | Cl ⁻ | SO ₄ ²⁻ | TOC | As | bil.stav | ukazovateľ |
|------------|---------------------------|------|------------------------------|------------------------------|---------------------|----------|-----------------|-------------------------------|--------|------|----------|------------|
| 81899 | DOM.LEHOTA-MLYN NA BARIN. | 2020 | 18,18 A | 8,68 A | 8,88 A | 2,81 A | 268,81 A | 27,28 A | 8 A | 40 A | A | |
| | | 2021 | 18,18 A | 8,61 A | 7,5 A | 2,83 A | 373,13 A | 22,37 A | 5,21 A | 40 A | A | |
| 88199 | PRUZINA-BYKY | 2020 | 16,66 A | 6,76 A | 4,52 A | 3,05 A | 500 A | 28,51 A | 3,15 A | 40 A | A | |
| | | 2021 | 18,18 A | 7,07 A | 7,74 A | 3,09 A | 500 A | 24,44 A | 2,66 A | 40 A | A | |
| 89099 | MOJTIN-UHLISKA C.1 | 2020 | 22,22 A | 4 A | 8 A | 2,13 A | 34,83 A | 19,37 A | 4,8 A | 40 A | A | |
| | | 2021 | 16,66 A | 4,38 A | 12 A | 2,15 A | 44,64 A | 17 A | 3,87 A | 40 A | A | |

M – 036 Mezozoikum SZ časti Strážovských vrchovplocha: 167.6 km²**QN – 037 Kvartér a neogén Iľavskej kotliny**plocha: 137.5 km²

| č. objektu | lokality | rok | NH ₄ ⁺ | NO ₃ ⁻ | CHSK _{tot} | vodivosť | Cl ⁻ | SO ₄ ²⁻ | TOC | As | bil.stav | ukazovateľ |
|------------|---------------------|------|------------------------------|------------------------------|---------------------|----------|-----------------|-------------------------------|--------|---------|----------|------------------------------|
| 16590 | KLUCOVE | 2020 | 40 A | 1,65 A | 12 A | 1,53 A | 9,67 A | 6,11 A | 6 A | 10,81 A | A | |
| | | 2021 | 25 A | 1,14 A | 12 A | 1,42 A | 9,1 A | 5,44 A | 3,75 A | 40 A | A | |
| 16690 | DUBNICA NAD VAHOM | 2020 | 40 A | 1,81 A | 12 A | 1,47 A | 10,41 A | 5,54 A | 10 A | 40 A | A | |
| | | 2021 | 100 A | 1,86 A | 12 A | 1,45 A | 8,23 A | 5,23 A | 4,61 A | 40 A | A | |
| 17090 | PRILES | 2020 | 40 A | 1,6 A | 12 A | 1,66 A | 11,11 A | 5,97 A | 15 A | 40 A | A | |
| | | 2021 | 20 A | 1,86 A | 12 A | 1,73 A | 13,33 A | 6,03 A | 5,45 A | 40 A | A | |
| 18990 | SAVCINA | 2020 | 40 A | 3,11 A | 12 A | 2,01 A | 23,04 A | 10,79 A | 4,61 A | 40 A | A | |
| | | 2021 | 16,66 A | 5,12 A | 12 A | 2,16 A | 22,87 A | 11,28 A | 4 A | 40 A | A | |
| 19490 | DOBRA PRAMEN-JAZERO | 2020 | 33,33 A | 2,71 A | 12 A | 1,68 A | 14,28 A | 3,58 A | 20 A | 18,18 A | A | |
| | | 2021 | 20 A | 2,86 A | 12 A | 1,68 A | 13,77 A | 3,78 A | 6 A | 16,66 A | A | |
| 19590 | PUCHOV | 2020 | 25 A | 0,96 B | 7,05 A | 1,46 A | 5,47 A | 7,4 A | 4,28 A | 23,52 A | B | NO ₃ ⁻ |
| | | 2021 | 16,66 A | 1,19 A | 12 A | 1,51 A | 9,09 A | 5,5 A | 2,85 A | 15,38 A | A | |
| 217190 | HOROVCE | 2020 | 40 A | 1,97 A | 12 A | 1,65 A | 9,86 A | 5,85 A | 8,57 A | 40 A | A | |
| | | 2021 | 14,28 A | 1,76 A | 12 A | 1,68 A | 9,84 A | 5,88 A | 5 A | 40 A | A | |
| 217890 | DOLNE KOCKOVCE | 2020 | 28,57 A | 0,91 B | 12 A | 1,21 A | 5,64 A | 5 A | 3,15 A | 7,69 A | B | NO ₃ ⁻ |
| | | 2021 | 16,66 A | 0,85 C | 4,61 A | 1,26 A | 5,61 A | 5,35 A | 2,3 A | 9,52 A | C | NO ₃ ⁻ |

Q-M – 038 Kvartér Trenčianskej kotliny a príľahlé mezozoikum Trenčianskej vrchovinyplocha: 108.5 km²

| č. objektu | lokality | rok | NH ₄ ⁺ | NO ₃ ⁻ | CHSK _{5m} | vodivosť | Cl ⁻ | SO ₄ ²⁻ | TOC | As | bil.stav | ukazovateľ |
|------------|----------------|------|------------------------------|------------------------------|--------------------|----------|-----------------|-------------------------------|-----|------|----------|------------------------------|
| 16090 | VELKE BIEROVCE | 2020 | 40 A | 0,77 C | 12 A | 1,32 A | 6,75 A | 3,24 A | 6 A | 40 A | C | NO ₃ ⁻ |
| | | 2021 | 8,33 A | 0,82 C | 12 A | 1,25 A | 6,64 A | 2,77 A | 3 A | 40 A | C | NO ₃ ⁻ |

Q – 039 Kvartér Bytčianskej kotlinyplocha: 50.1 km²

| č. objektu | lokality | rok | NH ₄ ⁺ | NO ₃ ⁻ | CHSK _{5m} | vodivosť | Cl ⁻ | SO ₄ ²⁻ | TOC | As | bil.stav | ukazovateľ |
|------------|----------|------|------------------------------|------------------------------|--------------------|----------|-----------------|-------------------------------|--------|---------|----------|------------|
| 217990 | HRABOVE | 2020 | 25 A | 25,44 A | 3,15 A | 1,73 A | 11,8 A | 10,37 A | 1,93 A | 20 A | A | |
| | | 2021 | 28,57 A | 19,23 A | 1,42 A | 1,73 A | 12,34 A | 7,49 A | 1,87 A | 16,66 A | A | |
| 218090 | BYTCA | 2020 | 20 A | 42,19 A | 2,72 A | 1,74 A | 40,03 A | 11,44 A | 1,46 A | 40 A | A | |
| | | 2021 | 20 A | 50 A | 2,6 A | 2,04 A | 48,35 A | 14,57 A | 1,46 A | 40 A | A | |

PM – 040 Paleogén a mezozoikum bradlového pásma Javorníkov a SV časti Bielych Karpátplocha: 866.9 km²

| č. objektu | lokality | rok | NH ₄ ⁺ | NO ₃ ⁻ | CHSK _{5m} | vodivosť | Cl ⁻ | SO ₄ ²⁻ | TOC | As | bil.stav | ukazovateľ |
|------------|----------|------|------------------------------|------------------------------|--------------------|----------|-----------------|-------------------------------|--------|------|----------|------------|
| 83799 | IHRISTE | 2020 | 50 A | 22,12 A | 12 A | 1,88 A | 134,4 A | 8,41 A | 4,28 A | 40 A | A | |
| | | 2021 | 25 A | 23,8 A | 12 A | 1,96 A | 141,24 A | 7,78 A | 3,33 A | 40 A | A | |
| 86599 | C.KAMEN | 2020 | 50 A | 7,42 A | 12 A | 3,29 A | 167,78 A | 18,79 A | 3,33 A | 40 A | A | |
| | | 2021 | 50 A | 8,18 A | 12 A | 3,33 A | 238,09 A | 17,36 A | 3,33 A | 40 A | A | |

PM – 041 Paleogén a mezozoikum bradlového pásma povodia Vláryplocha: 57.9 km²**PM – 042 Paleogén a mezozoikum bradlového pásma V časti Bielych Karpát a S časti Myjavskej pahorkatiny**plocha: 407.9 km²**PM – 043 Paleogén a mezozoikum bradlového pásma Z časti Bielych Karpát**plocha: 255.4 km²

| č. objektu | lokality | rok | NH ₄ ⁺ | NO ₃ ⁻ | CHSK _{5m} | vodivosť | Cl ⁻ | SO ₄ ²⁻ | TOC | As | bil.stav | ukazovateľ |
|------------|--------------|------|------------------------------|------------------------------|--------------------|----------|-----------------|-------------------------------|--------|------|----------|------------|
| 2399 | STARA MYJAVA | 2020 | 50 A | 5,18 A | 12 A | 2,42 A | 168,91 A | 10,33 A | 10 A | 40 A | A | |
| | | 2021 | 100 A | 5,28 A | 12 A | 2,41 A | 183,82 A | 9,92 A | 5 A | 40 A | A | |
| 5099 | VRBOVCE | 2020 | 25 A | 16,5 A | 12 A | 2,09 A | 119,04 A | 6,21 A | 4,28 A | 40 A | A | |
| | | 2021 | 12,5 A | 23,92 A | 12 A | 2,14 A | 160,25 A | 6,73 A | 2,5 A | 40 A | A | |
| 5299 | SOBOTISTE | 2020 | 4,54 A | 9,61 A | 12 A | 2,11 A | 53,41 A | 5,85 A | 6 A | 40 A | A | |
| | | 2021 | 25 A | 8,99 A | 6 A | 2,09 A | 66,84 A | 6,03 A | 2,5 A | 40 A | A | |

N-M – 044 Neogén až krieda Myjavskej pahorkatiny JZ od bradlového pásmaplocha: 242.7 km²

| č. objektu | lokality | rok | NH ₄ ⁺ | NO ₃ ⁻ | CHSK _{5m} | vodivosť | Cl ⁻ | SO ₄ ²⁻ | TOC | As | bil.stav | ukazovateľ |
|------------|----------------|------|------------------------------|------------------------------|--------------------|----------|-----------------|-------------------------------|--------|------|----------|------------|
| 3399 | BREZ.P.BRADLOM | 2020 | 50 A | 6,03 A | 12 A | 2,11 A | 33,28 A | 6,83 A | 6 A | 40 A | A | |
| | | 2021 | 100 A | 10,98 A | 6 A | 2,05 A | 89,92 A | 5,09 A | 2,3 A | 40 A | A | |
| 95699 | LUBINA | 2020 | 25 A | 3,75 A | 12 A | 1,77 A | 17,85 A | 7,24 A | 4,28 A | 40 A | A | |
| | | 2021 | 100 A | 3,49 A | 12 A | 1,82 A | 16,33 A | 6,92 A | 3,33 A | 40 A | A | |
| 99899 | VADOVCE | 2020 | 12,5 A | 1,87 A | 12 A | 1,71 A | 15,33 A | 5,56 A | 6 A | 40 A | A | |
| | | 2021 | 50 A | 1,86 A | 12 A | 1,79 A | 15,92 A | 5,45 A | 5 A | 40 A | A | |

M – 045 Mezozoikum Čachtických Karpát a časti Bielokarpatského podhoriaplocha: 77.2 km²

| č. objektu | lokalita | rok | NH ₄ ⁺ | NO ₃ ⁻ | CHSK _{5ln} | vodivosť | Cl ⁻ | SO ₄ ²⁻ | TOC | As | bil.stav | ukazovateľ |
|------------|----------|------|------------------------------|------------------------------|---------------------|----------|-----------------|-------------------------------|--------|---------|----------|------------|
| 13290 | CAHTICE | 2020 | 15,38 A | 4,49 A | 12 A | 1,97 A | 31,19 A | 10,62 A | 30 A | 21,62 A | A | |
| | | 2021 | 30,76 A | 4,72 A | 12 A | 2 A | 33,87 A | 10,98 A | 8,57 A | 29,62 A | A | |

MG – 046 Mezozoikum a paleozoikum SZ časti Považského Inovcaplocha: 140.8 km²

| č. objektu | lokalita | rok | NH ₄ ⁺ | NO ₃ ⁻ | CHSK _{5ln} | vodivosť | Cl ⁻ | SO ₄ ²⁻ | TOC | As | bil.stav | ukazovateľ |
|------------|----------|------|------------------------------|------------------------------|---------------------|----------|-----------------|-------------------------------|--------|---------|----------|------------|
| 514890 | SELEC | 2020 | 14,28 A | 4,6 A | 8,88 A | 2,75 A | 29,36 A | 15,74 A | 12 A | 11,42 A | A | |
| | | 2021 | 22,22 A | 4,69 A | 9,6 A | 2,77 A | 31,1 A | 16,39 A | 5,71 A | 13,33 A | A | |

MG – 047 Mezozoikum strednej a južnej časti Považského Inovcaplocha: 194.3 km²

| č. objektu | lokalita | rok | NH ₄ ⁺ | NO ₃ ⁻ | CHSK _{5ln} | vodivosť | Cl ⁻ | SO ₄ ²⁻ | TOC | As | bil.stav | ukazovateľ |
|------------|-------------------|------|------------------------------|------------------------------|---------------------|----------|-----------------|-------------------------------|--------|---------|----------|------------|
| 98099 | LUKA N/VAHOM | 2020 | 16 A | 10,7 A | 7,27 A | 2,28 A | 168,63 A | 15,87 A | 3,87 A | 40 A | A | |
| | | 2021 | 19,04 A | 9,54 A | 12 A | 2,32 A | 187,26 A | 14,57 A | 3 A | 32 A | A | |
| 98999 | BANKA - VAPENISTE | 2020 | 25 A | 2,75 A | 8,88 A | 1,71 A | 34,72 A | 6,24 A | 8,57 A | 12,9 A | A | |
| | | 2021 | 6,66 A | 2,58 A | 6,85 A | 1,7 A | 30,55 A | 5,98 A | 4,61 A | 12,12 A | A | |

Q – 048 Kvartér Váhu v Podunajskej nížine S od čiar Šaľa - Galantaplocha: 539.6 km²

| č. objektu | lokalita | rok | NH ₄ ⁺ | NO ₃ ⁻ | CHSK _{5ln} | vodivosť | Cl ⁻ | SO ₄ ²⁻ | TOC | As | bil.stav | ukazovateľ |
|------------|------------------------|------|------------------------------|------------------------------|---------------------|----------|-----------------|-------------------------------|--------|---------|----------|--|
| 13390 | KOCURICE | 2020 | 4,16 A | 100 A | 12 A | 1 B | 4,25 A | 0,8 C | 1,71 A | 26,66 A | C | SO ₄ ²⁻ |
| | | 2021 | 2,85 A | 14,79 A | 1 B | 0,96 B | 4,32 A | 0,83 C | 1,36 A | 40 A | C | SO ₄ ²⁻ |
| 14090 | DOLNE VODERADY | 2020 | 11,11 A | 4,47 A | 12 A | 2,03 A | 16,66 A | 6,48 A | 7,5 A | 40 A | A | |
| | | 2021 | 11,11 A | 1,69 A | 2,6 A | 1,82 A | 12,01 A | 6,15 A | 2,72 A | 40 A | A | |
| 14290 | DRAHOVCE | 2020 | 12,5 A | 1,42 A | 12 A | 1,1 A | 3,7 A | 1,61 A | 4 A | 21,05 A | A | |
| | | 2021 | 25 A | 0,9 B | 10,9 A | 1,09 B | 3,7 A | 1,63 A | 3,33 A | 40 A | B | NO ₃ ⁻ , vodivosť |
| 14390 | MALY OSTROV - ORVISTE | 2020 | 2,43 A | 100 A | 6,31 A | 1,09 B | 6,57 A | 1,02 B | 2,4 A | 40 A | B | vodivosť, SO ₄ ²⁻ |
| | | 2021 | 5,26 A | 56,17 A | 6,31 A | 1,09 B | 6,59 A | 1,03 B | 2 A | 40 A | B | vodivosť, SO ₄ ²⁻ |
| 18590 | POVAZANY | 2020 | 22,22 A | 1,61 A | 12 A | 1,72 A | 13,02 A | 4,67 A | 20 A | 40 A | A | |
| | | 2021 | 16,66 A | 1,14 A | 2,79 A | 1,54 A | 9 A | 3,7 A | 6 A | 40 A | A | |
| 20790 | BRESTOVANY | 2020 | 0,52 C | 100 A | 2,14 A | 0,98 B | 1,59 A | 0,68 C | 0,89 C | 40 A | C | NH ₄ ⁺ , SO ₄ ²⁻ , TOC |
| | | 2021 | 0,94 B | 100 A | 1,36 A | 0,86 C | 1,47 A | 0,58 C | 0,78 C | 40 A | C | vodivosť, SO ₄ ²⁻ , TOC |
| 22190 | SOPORNA-STRKOVEC | 2020 | 5,88 A | 100 A | 7,05 A | 1,18 A | 6,41 A | 1,16 A | 2,5 A | 6,06 A | A | |
| | | 2021 | 6,66 A | 100 A | 1,57 A | 1,16 A | 6,33 A | 1,11 A | 2,14 A | 8 A | A | |
| 214490 | MORAVANY | 2020 | 11,11 A | 6,79 A | 12 A | 1,39 A | 14 A | 2,44 A | 4 A | 40 A | A | |
| | | 2021 | 11,11 A | 4,27 A | 12 A | 1,38 A | 12,56 A | 2,86 A | 2,6 A | 40 A | A | |
| 215290 | NOVE MESTO NAD VAHOM | 2020 | 1,08 B | 100 A | 6,31 A | 2,22 A | 15,24 A | 26,49 A | 2,6 A | 40 A | B | NH ₄ ⁺ |
| | | 2021 | 0,92 B | 63,29 A | 4 A | 2,34 A | 15,38 A | 15,92 A | 2,5 A | 40 A | B | NH ₄ ⁺ |
| 220890 | SULEKOVO | 2020 | 40 A | 0,88 C | 12 A | 1 B | 4,97 A | 1,36 A | 2,22 A | 40 A | C | NO ₃ ⁻ |
| | | 2021 | 33,33 A | 0,74 C | 5,45 A | 0,98 B | 4,63 A | 1,25 A | 1,93 A | 40 A | C | NO ₃ ⁻ |
| 531490 | NOVE MESTO N/VAH. M-14 | 2020 | 12,5 A | 3,96 A | 12 A | 1,21 A | 4,34 A | 3,57 A | 4,28 A | 40 A | A | |
| | | 2021 | 25 A | 3,9 A | 12 A | 1,28 A | 4,5 A | 3,63 A | 3 A | 40 A | A | |

N – 049 Neogén Trnavskej pahorkatinyplocha: 453.1 km²

| č. objektu | lokalita | rok | NH ₄ ⁺ | NO ₃ ⁻ | CHSK _{5ln} | vodivosť | Cl ⁻ | SO ₄ ²⁻ | TOC | As | bil.stav | ukazovateľ |
|------------|---------------------------|------|------------------------------|------------------------------|---------------------|----------|-----------------|-------------------------------|--------|------|----------|------------|
| 6290 | NIZNA - HUC-10/1 | 2020 | 12,5 A | 7,49 A | 12 A | 1,66 A | 10,82 A | 13,88 A | 10 A | 40 A | A | |
| | | 2021 | 12,5 A | 8,99 A | 12 A | 1,64 A | 7,1 A | 8,47 A | 3,75 A | 40 A | A | |
| 501090 | CHORVATSKY GROB - HUC-1/1 | 2020 | 16,66 A | 100 A | 12 A | 1,86 A | 53,99 A | 250 A | 3,75 A | 20 A | A | |
| | | 2021 | 12,5 A | 11,46 A | 12 A | 1,88 A | 500 A | 72,25 A | 5 A | 20 A | A | |

QN – 050 Kwartér Trnavskej pahorkatinyplocha: 480.3 km²

| č. objektu | lokality | rok | NH ₄ ⁺ | NO ₃ ⁻ | CHSK _{Mn} | vodivosť | Cl ⁻ | SO ₄ ²⁻ | TOC | As | bil.stav | ukazovateľ |
|------------|------------------|------|------------------------------|------------------------------|--------------------|----------|-----------------|-------------------------------|-------|--------|----------|------------|
| 4590 | ZLKOVCE RATKOVCE | 2020 | 1,28 A | 100 A | 4,28 A | 1,58 A | 12,95 A | 20,16 A | 2,5 A | 6,66 A | A | |
| | | 2021 | 16,66 A | 3,54 A | 1,5 A | 1,65 A | 12,62 A | 6,36 A | 3 A | 40 A | A | |

Q – 051 Kwartér západného okraja Podunajskej rovinyplocha: 254.8 km²

| č. objektu | lokality | rok | NH ₄ ⁺ | NO ₃ ⁻ | CHSK _{Mn} | vodivosť | Cl ⁻ | SO ₄ ²⁻ | TOC | As | bil.stav | ukazovateľ |
|------------|--------------------------|------|------------------------------|------------------------------|--------------------|----------|-----------------|-------------------------------|--------|---------|----------|--|
| 71390 | VAJNORY-STRKOVISKO | 2020 | 25 A | 3,84 A | 2,14 A | 1,08 B | 3,66 A | 2,24 A | 1,5 A | 11,76 A | B | vodivosť |
| | | 2021 | 11,11 A | 5,47 A | 2,72 A | 1,2 A | 2,92 A | 2,16 A | 1,53 A | 21,05 A | A | |
| 71690 | BA - RUZINOVSKA ULICA | 2020 | 33,33 A | 1,98 A | 3,52 A | 0,94 B | 1,16 A | 3,3 A | 3,52 A | 7,69 A | B | vodivosť |
| | | 2021 | 25 A | 2,35 A | 5,71 A | 0,96 B | 1,25 A | 3,49 A | 3,15 A | 26,66 A | B | vodivosť |
| 210890 | ZALESIE | 2020 | 20 A | 5,12 A | 4,28 A | 1,85 A | 8,01 A | 3,89 A | 2,85 A | 26,66 A | A | |
| | | 2021 | 22,22 A | 5,82 A | 5,71 A | 1,89 A | 9,09 A | 3,96 A | 2,85 A | 40 A | A | |
| 270390 | SPRINCLOV MAJER | 2020 | 3,22 A | 100 A | 1,3 A | 1,83 A | 9,17 A | 3,82 A | 0,95 B | 1,53 A | A | |
| | | 2021 | 3,44 A | 100 A | 1,05 B | 1,87 A | 9,39 A | 3,4 A | 0,92 B | 3,44 A | A | |
| 270790 | BA - ZA DYNAMITKOU | 2020 | 1,72 A | 32,67 A | 0,57 C | 1 B | 2,37 A | 0,43 C | 0,46 C | 7,69 A | C | CHSK _{Mn} , SO ₄ ²⁻ , TOC |
| | | 2021 | 1,92 A | 66,66 A | 0,65 C | 0,68 C | 2,29 A | 0,46 C | 0,49 C | 13,33 A | C | CHSK _{Mn} , vodivosť, SO ₄ ²⁻ , TOC |
| 272690 | BA - PALENISKO | 2020 | 33,33 A | 11,08 A | 5,71 A | 1,49 A | 6,84 A | 4,14 A | 3,75 A | 26,66 A | A | |
| | | 2021 | 40 A | 8,71 A | 5 A | 1,48 A | 6,38 A | 3,85 A | 3 A | 40 A | A | |
| 273190 | BA - VRAKUNA | 2020 | 6,25 A | 3,8 A | 6,31 A | 1,03 B | 2,14 A | 2,9 A | 3,33 A | 12,9 A | B | vodivosť |
| | | 2021 | 25 A | 2,88 A | 4,61 A | 1,06 B | 2,14 A | 2,94 A | 3 A | 40 A | B | vodivosť |
| 279490 | BA - PETRZALKA - COLNICA | 2020 | 33,33 A | 8,43 A | 12 A | 1,17 A | 3,93 A | 2,03 A | 6 A | 17,39 A | A | |
| | | 2021 | 40 A | 11,53 A | 8 A | 1,17 A | 3,86 A | 1,98 A | 4 A | 40 A | A | |
| 344990 | BA - RUZINOV | 2020 | 33,33 A | 5,5 A | 3,15 A | 1,3 A | 3 A | 6,86 A | 2 A | 8,69 A | A | |
| | | 2021 | 33,33 A | 3,25 A | 3,75 A | 1,31 A | 3,11 A | 8,01 A | 1,71 A | 12,5 A | A | |
| 601691 | ROVINKA | 2020 | 13,33 A | 4,62 A | 12 A | 2,06 A | 12,17 A | 4,48 A | 9,23 A | 13,79 A | A | |
| | | 2021 | 50 A | 6,94 A | 8,27 A | 2,15 A | 11,94 A | 4,7 A | 2,79 A | 32 A | A | |
| 601692 | ROVINKA | 2020 | 14,28 A | 4,18 A | 12 A | 1,89 A | 11,31 A | 4,69 A | 10 A | 19,51 A | A | |
| | | 2021 | 33,33 A | 6,04 A | 12 A | 2,17 A | 11,86 A | 5,3 A | 5 A | 14,54 A | A | |
| 603491 | JAROVCE | 2020 | 18,18 A | 7,38 A | 12 A | 1,01 B | 3,56 A | 0,88 C | 3,87 A | 20 A | C | SO ₄ ²⁻ |
| | | 2021 | 66,66 A | 7,76 A | 9,6 A | 1,07 B | 3,95 A | 1,01 B | 3,52 A | 32 A | B | vodivosť, SO ₄ ²⁻ |
| 603492 | JAROVCE | 2020 | 18,18 A | 3,31 A | 6,66 A | 0,8 C | 2,44 A | 0,73 C | 3 A | 12,9 A | C | vodivosť, SO ₄ ²⁻ |
| | | 2021 | 50 A | 6,04 A | 8,88 A | 0,83 C | 2,94 A | 0,72 C | 2,66 A | 32 A | C | vodivosť, SO ₄ ²⁻ |
| 712590 | BA - PETRZALKA | 2020 | 1,13 A | 2,55 A | 3,87 A | 0,95 B | 3,72 A | 1,13 A | 3,15 A | 17,39 A | B | vodivosť |
| | | 2021 | 22,22 A | 2,65 A | 3,75 A | 1,04 B | 3,62 A | 1,14 A | 2,22 A | 40 A | B | vodivosť |
| 716690 | PETRZALKA | 2020 | 20 A | 10,5 A | 12 A | 1,02 B | 2,27 A | 3,1 A | 5,45 A | 16 A | A | |
| | | 2021 | 12,5 A | 7,18 A | 12 A | 1,12 A | 2 A | 2,86 A | 3,52 A | 40 A | A | |
| 720090 | PODUNAJSKÉ BISKUPICE | 2020 | 28,57 A | 1,61 A | 5,6 A | 1,34 A | 2,85 A | 4,32 A | 4,61 A | 20 A | A | |
| | | 2021 | 12,5 A | 3,32 A | 12 A | 1,83 A | 5,42 A | 6,58 A | 4,28 A | 26,66 A | A | |
| 720190 | BRATISLAVA - VĽCIE HRDLO | 2020 | 4,76 A | 100 A | 1,66 A | 2,15 A | 4,7 A | 7,47 A | 2,14 A | 11,11 A | A | |
| | | 2021 | 5,88 A | 100 A | 1,81 A | 2,18 A | 5,67 A | 7,21 A | 3,15 A | 14,81 A | A | |
| 721591 | MALINOVO | 2020 | 25 A | 4 A | 12 A | 1,92 A | 9,43 A | 5,74 A | 7,5 A | 40 A | A | |
| | | 2021 | 33,33 A | 2,36 A | 8 A | 1,9 A | 9,8 A | 5,65 A | 4,61 A | 40 A | A | |
| 721592 | MALINOVO | 2020 | 25 A | 5,73 A | 12 A | 2,09 A | 10,12 A | 6,13 A | 8,57 A | 40 A | A | |
| | | 2021 | 33,33 A | 5,74 A | 12 A | 2,05 A | 9,94 A | 5,86 A | 5 A | 40 A | A | |
| 721593 | MALINOVO | 2020 | 25 A | 5 A | 12 A | 1,97 A | 9,46 A | 2,2 A | 10 A | 15,38 A | A | |
| | | 2021 | 33,33 A | 4,89 A | 8 A | 1,94 A | 9,38 A | 2,13 A | 5 A | 23,52 A | A | |

Q – 052 Kwartér JZ časti Podunajskej rovinyplocha: 1897.8 km²

| č. objektu | lokality | rok | NH ₄ ⁺ | NO ₃ ⁻ | CHSK _{Mn} | vodivosť | Cl ⁻ | SO ₄ ²⁻ | TOC | As | bil.stav | ukazovateľ |
|------------|----------------------------|------|------------------------------|------------------------------|--------------------|----------|-----------------|-------------------------------|--------|---------|----------|------------------------------|
| 66790 | BAKA | 2020 | 11,11 A | 3,07 A | 6,31 A | 2,07 A | 10,54 A | 6,25 A | 7,5 A | 10,52 A | A | |
| | | 2021 | 10 A | 3,92 A | 5,21 A | 2,11 A | 11,11 A | 6,49 A | 5 A | 23,52 A | A | |
| 69490 | KALINKOVO | 2020 | 20 A | 60,97 A | 7,05 A | 2,62 A | 13,33 A | 11,82 A | 4,28 A | 40 A | A | |
| | | 2021 | 50 A | 100 A | 4,61 A | 2,63 A | 13,73 A | 13,22 A | 4 A | 40 A | A | |
| 69590 | MILOSLAVOV - ALZBETIN DVOR | 2020 | 20 A | 2,97 A | 12 A | 2,04 A | 10,39 A | 4,2 A | 12 A | 40 A | A | |
| | | 2021 | 20 A | 2,55 A | 12 A | 2,05 A | 10,52 A | 4,4 A | 6,66 A | 40 A | A | |
| 72990 | CUNOVO | 2020 | 66,66 A | 0,69 C | 7,05 A | 1,1 A | 4,04 A | 1,3 A | 4,28 A | 16 A | C | NO ₃ ⁻ |
| | | 2021 | 100 A | 0,72 C | 8 A | 1,12 A | 3,86 A | 1,28 A | 3,75 A | 40 A | C | NO ₃ ⁻ |
| 204790 | BLATNE | 2020 | 33,33 A | 0,67 C | 6,31 A | 1,51 A | 8,41 A | 9,72 A | 3,75 A | 9,09 A | C | NO ₃ ⁻ |
| | | 2021 | 28,57 A | 0,55 C | 12 A | 1,42 A | 7,64 A | 5,95 A | 3,75 A | 9,52 A | C | NO ₃ ⁻ |

| č. objektu | lokality | rok | NH ₄ ⁺ | NO ₃ ⁻ | CHSK _{Mn} | vodivosť | Cl ⁻ | SO ₄ ²⁻ | TOC | As | bil.stav | ukazovateľ |
|------------|----------------------------|------|------------------------------|------------------------------|--------------------|----------|-----------------|-------------------------------|--------|---------|----------|---|
| 260290 | KOMARNO | 2020 | 40 A | 0,5 C | 1,46 A | 0,74 C | 5,81 A | 3,24 A | 0,63 C | 1,16 A | C | NO ₃ ⁻ , vodivosť, TOC NO ₃ ⁻ , CHSK _{Mn} , vodivosť, TOC, As |
| | | 2021 | 40 A | 0,48 C | 0,15 C | 0,77 C | 5,84 A | 2,55 A | 0,9 C | 0,79 C | C | |
| 260490 | KOMARNO | 2020 | 25 A | 3,93 A | 12 A | 1,58 A | 12,13 A | 3,13 A | 3,33 A | 40 A | A | |
| | | 2021 | 20 A | 4,78 A | 1,66 A | 1,66 A | 12,34 A | 3,99 A | 3 A | 40 A | A | |
| 261190 | KAMENICNA - PIESKY | 2020 | 1,61 A | 46,29 A | 2,79 A | 1,31 A | 11,79 A | 2,32 A | 1,57 A | 4,08 A | A | |
| | | 2021 | 1,72 A | 100 A | 4,8 A | 1,37 A | 12,85 A | 2,54 A | 1,53 A | 4,65 A | A | |
| 264290 | OKOC - ASZOD | 2020 | 1,96 A | 59,17 A | 1,37 A | 1,85 A | 18,79 A | 3,46 A | 1,13 A | 12,5 A | A | |
| | | 2021 | 1,96 A | 100 A | 2,79 A | 1,89 A | 19,15 A | 3,53 A | 1,09 B | 12,5 A | A | |
| 264791 | KLIZSKA NEMA | 2020 | 2,89 A | 100 A | 2,73 A | 1,66 A | 54,31 A | 8,37 A | 1,93 A | 40 A | A | |
| | | 2021 | 2,94 A | 100 A | 2,14 A | 1,66 A | 60,2 A | 8,77 A | 1,79 A | 40 A | A | |
| 264792 | KLIZSKA NEMA | 2020 | 2,46 A | 80 A | 2,48 A | 1,15 A | 9,19 A | 1,63 A | 1,2 A | 8,88 A | A | |
| | | 2021 | 2,19 A | 100 A | 1,93 A | 1,14 A | 8,81 A | 1,55 A | 1,13 A | 6,45 A | A | |
| 600491 | VELKY MEDER | 2020 | 7,69 A | 100 A | 12 A | 2,99 A | 37,48 A | 8,35 A | 10 A | 40 A | A | |
| | | 2021 | 7,4 A | 100 A | 5,45 A | 2,98 A | 39,6 A | 8,38 A | 6 A | 40 A | A | |
| 600492 | VELKY MEDER | 2020 | 9,09 A | 100 A | 12 A | 2,34 A | 15,4 A | 4,49 A | 5,45 A | 8,69 A | A | |
| | | 2021 | 8,69 A | 100 A | 12 A | 2,31 A | 15,17 A | 4,41 A | 4,44 A | 9,75 A | A | |
| 600493 | VELKY MEDER | 2020 | 0,68 C | 5,72 A | 6,21 A | 1,44 A | 4,32 A | 3,12 A | 3,42 A | 32 A | C | NH ₄ ⁺ |
| | | 2021 | 0,55 C | 5,8 A | 5,1 A | 1,39 A | 4,06 A | 3,04 A | 2,79 A | 40 A | C | NH ₄ ⁺ |
| 600691 | DVORNIKY NA OSTROVE | 2020 | 20 A | 3,61 A | 12 A | 2,35 A | 14,97 A | 4,49 A | 24 A | 20 A | A | |
| | | 2021 | 100 A | 3,63 A | 12 A | 2,35 A | 14,83 A | 4,28 A | 8,57 A | 26,66 A | A | |
| 600692 | DVORNIKY NA OSTROVE | 2020 | 16,66 A | 2,7 A | 12 A | 2,01 A | 10,82 A | 3,28 A | 10 A | 40 A | A | |
| | | 2021 | 40 A | 2,68 A | 12 A | 2,01 A | 10,82 A | 3,16 A | 10 A | 40 A | A | |
| 600693 | DVORNIKY NA OSTROVE | 2020 | 12,5 A | 16 A | 6,12 A | 1,61 A | 7,55 A | 1,73 A | 3,15 A | 40 A | A | |
| | | 2021 | 25 A | 17,98 A | 4 A | 1,56 A | 7,03 A | 1,49 A | 3 A | 40 A | A | |
| 601092 | DOBROHOST | 2020 | 11,11 A | 100 A | 12 A | 3,02 A | 14,3 A | 19,15 A | 5 A | 40 A | A | |
| | | 2021 | 22,22 A | 100 A | 9,6 A | 3,07 A | 14,64 A | 19,2 A | 6,31 A | 40 A | A | |
| 601095 | DOBROHOST | 2020 | 12,5 A | 42,01 A | 12 A | 2,67 A | 13,33 A | 9,33 A | 5,71 A | 40 A | A | |
| | | 2021 | 18,18 A | 41,49 A | 8,88 A | 2,66 A | 13,38 A | 9,87 A | 5,45 A | 40 A | A | |
| 601096 | DOBROHOST | 2020 | 4,16 A | 29,58 A | 12 A | 2,29 A | 12,26 A | 12,25 A | 5,45 A | 26,66 A | A | |
| | | 2021 | 7,14 A | 38,31 A | 12 A | 2,24 A | 12,18 A | 12,25 A | 4,28 A | 21,62 A | A | |
| 601191 | OLDZA | 2020 | 7,4 A | 4,11 A | 12 A | 2,73 A | 45,82 A | 8,04 A | 40 A | 32 A | A | |
| | | 2021 | 19,04 A | 4,24 A | 12 A | 2,71 A | 46,94 A | 7,88 A | 15 A | 40 A | A | |
| 601192 | OLDZA | 2020 | 22,22 A | 0,69 C | 12 A | 1,24 A | 4,79 A | 1,69 A | 5 A | 23,52 A | C | NO ₃ ⁻ |
| | | 2021 | 19,04 A | 0,74 C | 4,21 A | 1,24 A | 4,88 A | 1,75 A | 4,44 A | 40 A | C | NO ₃ ⁻ |
| 601195 | OLDZA | 2020 | 23,52 A | 0,4 C | 9,52 A | 1,14 A | 5,1 A | 1,88 A | 4 A | 22,22 A | C | NO ₃ ⁻ |
| | | 2021 | 19,04 A | 0,41 C | 6,85 A | 1,17 A | 5,16 A | 1,9 A | 3,52 A | 32 A | C | NO ₃ ⁻ |
| 601291 | VLKY | 2020 | 18,18 A | 55,71 A | 12 A | 2,46 A | 10,58 A | 8,22 A | 5,45 A | 27,58 A | A | |
| | | 2021 | 26,66 A | 37,03 A | 8,88 A | 2,47 A | 10,74 A | 8,03 A | 4,61 A | 32 A | A | |
| 601292 | VLKY | 2020 | 20 A | 62,89 A | 8,27 A | 2,47 A | 10,49 A | 8,71 A | 4,28 A | 12,9 A | A | |
| | | 2021 | 19,04 A | 100 A | 9,6 A | 2,47 A | 10,66 A | 8,59 A | 3,42 A | 19,51 A | A | |
| 601293 | VLKY | 2020 | 22,22 A | 18,99 A | 12 A | 2,34 A | 11,11 A | 8,59 A | 3,87 A | 0,88 C | C | As |
| | | 2021 | 28,57 A | 59,34 A | 9,6 A | 2,34 A | 11,16 A | 8,66 A | 3 A | 0,93 B | B | As |
| 601391 | KALINKOVO | 2020 | 0,44 C | 100 A | 1,85 A | 2,82 A | 13,44 A | 23,11 A | 1,55 A | 0,28 C | C | NH ₄ ⁺ , As |
| | | 2021 | 0,43 C | 100 A | 1,26 A | 2,71 A | 12,93 A | 21,2 A | 1,27 A | 0,29 C | C | NH ₄ ⁺ , As |
| 601392 | KALINKOVO | 2020 | 14,28 A | 10,08 A | 7,74 A | 2,94 A | 13,71 A | 9,27 A | 6 A | 40 A | A | |
| | | 2021 | 10,52 A | 8,2 A | 9,6 A | 2,91 A | 13,6 A | 8,43 A | 4,8 A | 40 A | A | |
| 601393 | KALINKOVO | 2020 | 18,18 A | 8,21 A | 7,94 A | 2,93 A | 13,6 A | 9,05 A | 5,71 A | 27,58 A | A | |
| | | 2021 | 11,76 A | 7,55 A | 7,74 A | 2,79 A | 13,94 A | 10,46 A | 5,71 A | 40 A | A | |
| 601591 | DUNAJSKA LUZNA - KOSARISKA | 2020 | 12,5 A | 18,55 A | 9,23 A | 2,26 A | 11,53 A | 4,88 A | 8 A | 40 A | A | |
| | | 2021 | 23,52 A | 21,29 A | 12 A | 2,24 A | 11,77 A | 4,91 A | 6,31 A | 40 A | A | |
| 601592 | DUNAJSKA LUZNA - KOSARISKA | 2020 | 6,66 A | 22,57 A | 5,76 A | 3,09 A | 11,28 A | 6,33 A | 7,05 A | 40 A | A | |
| | | 2021 | 11,76 A | 18,48 A | 6,31 A | 2,38 A | 11,58 A | 4,97 A | 7,05 A | 40 A | A | |
| 601593 | DUNAJSKA LUZNA - KOSARISKA | 2020 | 10 A | 10,22 A | 8,05 A | 2,1 A | 10,37 A | 4,19 A | 9,6 A | 40 A | A | |
| | | 2021 | 18,18 A | 11,14 A | 5,85 A | 2,26 A | 10,72 A | 4,44 A | 8 A | 40 A | A | |
| 602891 | RUSOVCE - MOKRAD | 2020 | 15,38 A | 6,47 A | 12 A | 2,98 A | 14,45 A | 9,15 A | 6,66 A | 40 A | A | |
| | | 2021 | 30,76 A | 6,57 A | 8,27 A | 3 A | 14,79 A | 8,96 A | 6 A | 40 A | A | |
| 602892 | RUSOVCE - MOKRAD | 2020 | 16,66 A | 6,31 A | 12 A | 3,05 A | 14,1 A | 9,15 A | 8 A | 40 A | A | |
| | | 2021 | 36,36 A | 6,68 A | 7,74 A | 3,04 A | 14,97 A | 9,12 A | 5,45 A | 40 A | A | |
| 602893 | RUSOVCE - MOKRAD | 2020 | 13,33 A | 6,57 A | 12 A | 3,03 A | 14,38 A | 9,23 A | 8 A | 32 A | A | |
| | | 2021 | 44,44 A | 6,58 A | 12 A | 2,91 A | 14,64 A | 9,04 A | 5,21 A | 40 A | A | |
| 602991 | RUSOVCE | 2020 | 16,66 A | 6,03 A | 8,63 A | 2,97 A | 14,24 A | 8,84 A | 15 A | 32 A | A | |
| | | 2021 | 12,5 A | 6,27 A | 12 A | 2,98 A | 14,28 A | 9,21 A | 7,05 A | 40 A | A | |
| 602992 | RUSOVCE | 2020 | 15,38 A | 6,49 A | 8,45 A | 2,96 A | 13,9 A | 9,1 A | 12 A | 32 A | A | |
| | | 2021 | 15,38 A | 6,83 A | 7,5 A | 2,99 A | 14,24 A | 9,02 A | 7,5 A | 40 A | A | |
| 602993 | RUSOVCE | 2020 | 20 A | 6,93 A | 8,82 A | 2,77 A | 14,16 A | 9,32 A | 15 A | 17,39 A | A | |
| | | 2021 | 16,66 A | 7,09 A | 12 A | 2,68 A | 14,49 A | 8,97 A | 6,31 A | 19,04 A | A | |
| 603091 | CUNOVO | 2020 | 14,28 A | 6,47 A | 7,94 A | 3,04 A | 13,67 A | 9,04 A | 9,23 A | 23,52 A | A | |
| | | 2021 | 13,79 A | 6,58 A | 5,85 A | 3,03 A | 14,24 A | 8,88 A | 5,45 A | 20,51 A | A | |
| 603092 | CUNOVO | 2020 | 16,66 A | 6,61 A | 8,63 A | 3,09 A | 14,59 A | 9,05 A | 4,44 A | 40 A | A | |
| | | 2021 | 17,39 A | 6 A | 7,74 A | 2,97 A | 13,66 A | 8,62 A | 3,75 A | 40 A | A | |
| 603093 | CUNOVO | 2020 | 25 A | 6,82 A | 7,59 A | 3,1 A | 15,84 A | 9,65 A | 3,63 A | 40 A | A | |
| | | 2021 | 21,05 A | 5,73 A | 4,06 A | 2,74 A | 12,28 A | 8,51 A | 3,52 A | 40 A | A | |
| 603191 | JELKA | 2020 | 16,66 A | 2,86 A | 12 A | 1,64 A | 5,77 A | 2,31 A | 6 A | 20 A | A | |
| | | 2021 | 33,33 A | 3,37 A | 12 A | 1,67 A | 6,03 A | 2,35 A | 4,61 A | 26,66 A | A | |
| 603192 | JELKA | 2020 | 20 A | 2,9 A | 12 A | 1,65 A | 5,66 A | 2,23 A | 7,5 A | 40 A | A | |
| | | 2021 | 40 A | 3,43 A | 12 A | 1,68 A | 6 A | 2,3 A | 4,61 A | 40 A | A | |

| č. objektu | lokalita | rok | NH ₄ ⁺ | NO ₃ ⁻ | CHSK _{tot} | vodivosť | Cl ⁻ | SO ₄ ²⁻ | TOC | As | bil.stav | ukazovateľ |
|------------|---------------------|------|------------------------------|------------------------------|---------------------|----------|-----------------|-------------------------------|--------|---------|----------|-----------------------------------|
| 603291 | GABCIKOVO | 2020 | 25 A | 63,09 A | 12 A | 2,02 A | 13,1 A | 3,68 A | 5 A | 18,18 A | A | |
| | | 2021 | 23,52 A | 36,03 A | 5,85 A | 2,07 A | 13,51 A | 3,83 A | 4,13 A | 26,66 A | A | |
| 603292 | GABCIKOVO | 2020 | 16,66 A | 22,47 A | 7,79 A | 1,99 A | 12,9 A | 3,77 A | 5,45 A | 40 A | A | |
| | | 2021 | 25 A | 23,98 A | 5 A | 2,02 A | 13,42 A | 3,8 A | 4,44 A | 40 A | A | |
| 603391 | MLIECANY | 2020 | 18,18 A | 4,22 A | 12 A | 2,01 A | 10,72 A | 2,99 A | 12 A | 29,62 A | A | |
| | | 2021 | 16,66 A | 4,05 A | 7,27 A | 1,98 A | 10,52 A | 2,91 A | 8 A | 32 A | A | |
| 603392 | MLIECANY | 2020 | 18,18 A | 2,56 A | 12 A | 1,57 A | 7,94 A | 2,14 A | 5,45 A | 27,58 A | A | |
| | | 2021 | 14,28 A | 2,1 A | 5,45 A | 1,61 A | 7,79 A | 2,07 A | 5 A | 29,62 A | A | |
| 605990 | CALOVEC - KAMENICNA | 2020 | 1,72 A | 100 A | 1,98 A | 1,16 A | 3 A | 1,27 A | 1,07 B | 40 A | A | |
| | | 2021 | 1,63 A | 100 A | 2,3 A | 1,61 A | 3,41 A | 1,79 A | 1,17 A | 40 A | A | |
| 724191 | KVETOSLAVOV | 2020 | 16,66 A | 100 A | 12 A | 2,62 A | 13,66 A | 11,46 A | 4 A | 40 A | A | |
| | | 2021 | 28,57 A | 66,66 A | 12 A | 2,62 A | 13,96 A | 11,9 A | 6 A | 40 A | A | |
| 724192 | KVETOSLAVOV | 2020 | 16,66 A | 15,33 A | 12 A | 2,4 A | 11,65 A | 9,2 A | 8,57 A | 40 A | A | |
| | | 2021 | 40 A | 18,58 A | 12 A | 2,39 A | 12,16 A | 9,61 A | 6 A | 40 A | A | |
| 724590 | SAMORIN | 2020 | 14,28 A | 6,92 A | 12 A | 2,19 A | 12,43 A | 7,55 A | 15 A | 40 A | A | |
| | | 2021 | 66,66 A | 8,58 A | 7,05 A | 2,28 A | 12,78 A | 8,09 A | 4,28 A | 40 A | A | |
| 725491 | HORNA POTON | 2020 | 12,5 A | 0,96 B | 12 A | 1,54 A | 7,57 A | 2,27 A | 12 A | 20 A | B | NO ₃ ⁻ |
| | | 2021 | 100 A | 0,98 B | 12 A | 1,56 A | 7,75 A | 2,24 A | 4,61 A | 26,66 A | B | NO ₃ ⁻ |
| 725492 | HORNA POTON | 2020 | 14,28 A | 0,61 C | 7,59 A | 1,27 A | 5,35 A | 1,52 A | 7,5 A | 20 A | C | NO ₃ ⁻ |
| | | 2021 | 28,57 A | 0,68 C | 12 A | 1,29 A | 5,61 A | 1,56 A | 4,28 A | 23,52 A | C | NO ₃ ⁻ |
| 725493 | HORNA POTON | 2020 | 10 A | 0,67 C | 12 A | 1,24 A | 5,26 A | 1,54 A | 7,5 A | 16,66 A | C | NO ₃ ⁻ |
| | | 2021 | 66,66 A | 0,71 C | 12 A | 1,28 A | 5,34 A | 1,54 A | 9,23 A | 40 A | C | NO ₃ ⁻ |
| 726591 | SAMORIN - MLIECNO | 2020 | 10 A | 79,36 A | 9,09 A | 2,62 A | 13,6 A | 15,29 A | 10 A | 40 A | A | |
| | | 2021 | 21,05 A | 100 A | 12 A | 2,63 A | 13,69 A | 14,7 A | 5,21 A | 32 A | A | |
| 726592 | SAMORIN - MLIECNO | 2020 | 25 A | 14,02 A | 9,3 A | 2,37 A | 12,13 A | 6,95 A | 15 A | 32 A | A | |
| | | 2021 | 17,39 A | 13,77 A | 9,6 A | 2,42 A | 12,56 A | 7,41 A | 7,05 A | 40 A | A | |
| 726593 | SAMORIN - MLIECNO | 2020 | 36,36 A | 24,69 A | 8,45 A | 2,18 A | 12,42 A | 7,03 A | 8 A | 40 A | A | |
| | | 2021 | 18,18 A | 30,12 A | 7,5 A | 2,3 A | 12,43 A | 6,66 A | 4,28 A | 29,62 A | A | |
| 727491 | VOJKA | 2020 | 20 A | 25,51 A | 12 A | 1,98 A | 12,31 A | 4,48 A | 6 A | 40 A | A | |
| | | 2021 | 50 A | 16,33 A | 12 A | 1,93 A | 12,78 A | 5,02 A | 4,28 A | 40 A | A | |
| 727492 | VOJKA | 2020 | 12,5 A | 5,8 A | 12 A | 1,91 A | 9,96 A | 3,83 A | 10 A | 18,18 A | A | |
| | | 2021 | 66,66 A | 7,08 A | 12 A | 2 A | 10,43 A | 4,4 A | 6,66 A | 23,52 A | A | |
| 727493 | VOJKA | 2020 | 16,66 A | 15,45 A | 12 A | 2,6 A | 13,12 A | 8,29 A | 12 A | 26,66 A | A | |
| | | 2021 | 40 A | 19,8 A | 5,71 A | 2,54 A | 13,44 A | 8,21 A | 10 A | 40 A | A | |
| 727791 | ROHOVCE - STRKOVEC | 2020 | 9,09 A | 16,1 A | 12 A | 2,45 A | 12,19 A | 6,26 A | 4,61 A | 40 A | A | |
| | | 2021 | 12,5 A | 16,69 A | 12 A | 2,49 A | 12,4 A | 6,29 A | 8,57 A | 40 A | A | |
| 727793 | ROHOVCE - STRKOVEC | 2020 | 12,5 A | 10,78 A | 12 A | 2,18 A | 10,5 A | 4,45 A | 7,5 A | 40 A | A | |
| | | 2021 | 20 A | 11,91 A | 12 A | 2,22 A | 10,82 A | 4,5 A | 8,57 A | 40 A | A | |
| 727794 | ROHOVCE - STRKOVEC | 2020 | 11,11 A | 5,83 A | 12 A | 1,81 A | 8,15 A | 2,65 A | 4 A | 40 A | A | |
| | | 2021 | 16,66 A | 7,34 A | 12 A | 1,82 A | 8,43 A | 2,58 A | 4,61 A | 40 A | A | |
| 729391 | VELKE BLAHOVO | 2020 | 0,4 C | 100 A | 1,67 A | 2,06 A | 9,61 A | 16,23 A | 1,22 A | 0,76 C | C | NH ₄ ⁺ , As |
| | | 2021 | 0,41 C | 100 A | 1,81 A | 2 A | 8,62 A | 9,1 A | 1,17 A | 0,78 C | C | NH ₄ ⁺ , As |
| 729394 | VELKE BLAHOVO | 2020 | 10 A | 1,76 A | 12 A | 1,84 A | 10,24 A | 3,19 A | 12 A | 20 A | A | |
| | | 2021 | 40 A | 1,73 A | 12 A | 1,89 A | 10,72 A | 3,31 A | 6,66 A | 21,05 A | A | |
| 729492 | ORECHOVA POTON | 2020 | 13,33 A | 1,61 A | 7,4 A | 1,64 A | 8,22 A | 2,23 A | 8,57 A | 40 A | A | |
| | | 2021 | 40 A | 1,69 A | 12 A | 1,64 A | 8,65 A | 2,31 A | 6 A | 40 A | A | |
| 729493 | ORECHOVA POTON | 2020 | 28,57 A | 1,64 A | 6,66 A | 1,59 A | 7,81 A | 2 A | 12 A | 26,66 A | A | |
| | | 2021 | 40 A | 1,74 A | 5,45 A | 1,61 A | 8,44 A | 2,14 A | 7,5 A | 26,66 A | A | |
| 731291 | KOSTOLNE - KRACANY | 2020 | 16,66 A | 64,1 A | 12 A | 2,71 A | 12,69 A | 7,11 A | 4,28 A | 40 A | A | |
| | | 2021 | 33,33 A | 2,04 A | 5,71 A | 1,52 A | 6,51 A | 1,94 A | 4,61 A | 40 A | A | |
| 731292 | KOSTOLNE - KRACANY | 2020 | 16,66 A | 2,57 A | 12 A | 1,61 A | 6,68 A | 2,11 A | 5 A | 40 A | A | |
| | | 2021 | 25 A | 2,14 A | 5,71 A | 1,58 A | 6,9 A | 2,14 A | 5,45 A | 40 A | A | |
| 731890 | HORNY BAR | 2020 | 16,66 A | 3,96 A | 12 A | 1,77 A | 7,58 A | 2,58 A | 6,66 A | 40 A | A | |
| | | 2021 | 18,18 A | 4,46 A | 4,13 A | 1,75 A | 7,57 A | 2,59 A | 2,6 A | 40 A | A | |
| 733691 | VRAKUN | 2020 | 12,5 A | 24,44 A | 12 A | 3,51 A | 53,47 A | 11,96 A | 40 A | 20 A | A | |
| | | 2021 | 12,5 A | 26,04 A | 12 A | 3,53 A | 56,68 A | 11,79 A | 12 A | 21,05 A | A | |
| 733693 | VRAKUN | 2020 | 11,11 A | 28,65 A | 12 A | 2,84 A | 24,15 A | 6,21 A | 8 A | 11,76 A | A | |
| | | 2021 | 11,11 A | 30,03 A | 12 A | 2,85 A | 24,21 A | 6,03 A | 8,57 A | 11,11 A | A | |
| 733695 | VRAKUN | 2020 | 2,38 A | 100 A | 12 A | 2,14 A | 9,92 A | 2,51 A | 5 A | 1,76 A | A | |
| | | 2021 | 0,83 C | 100 A | 12 A | 2,09 A | 10,33 A | 2,36 A | 4 A | 1,9 A | C | NH ₄ ⁺ |
| 736591 | PALKOVICOVO - SAP | 2020 | 3,22 A | 100 A | 3,84 A | 2,9 A | 14,74 A | 6,38 A | 2,6 A | 40 A | A | |
| | | 2021 | 1,88 A | 100 A | 2,3 A | 2,91 A | 15,01 A | 6,18 A | 2,5 A | 40 A | A | |
| 736592 | PALKOVICOVO - SAP | 2020 | 1,72 A | 100 A | 4,05 A | 2,64 A | 13,58 A | 5,98 A | 2,3 A | 40 A | A | |
| | | 2021 | 1,69 A | 100 A | 3 A | 2,65 A | 13,85 A | 5,8 A | 2 A | 40 A | A | |
| 736593 | PALKOVICOVO - SAP | 2020 | 1,25 A | 66,22 A | 3,68 A | 1,92 A | 11,31 A | 3,49 A | 2,22 A | 40 A | A | |
| | | 2021 | 1,21 A | 100 A | 2,3 A | 1,98 A | 11,52 A | 3,6 A | 1,87 A | 40 A | A | |
| 736691 | KLUCOVEC | 2020 | 3,44 A | 100 A | 12 A | 3,68 A | 92,59 A | 20,92 A | 20 A | 40 A | A | |
| | | 2021 | 3,7 A | 100 A | 3,63 A | 3,68 A | 103,3 A | 21,18 A | 10 A | 40 A | A | |
| 736692 | KLUCOVEC | 2020 | 1,51 A | 100 A | 3,75 A | 2,08 A | 11,23 A | 49,06 A | 1,81 A | 8 A | A | |
| | | 2021 | 1,58 A | 100 A | 1,71 A | 2,07 A | 10,54 A | 29,81 A | 2 A | 10 A | A | |
| 736693 | KLUCOVEC | 2020 | 3,84 A | 100 A | 12 A | 3,2 A | 56,68 A | 15,24 A | 20 A | 5,12 A | A | |
| | | 2021 | 4,16 A | 100 A | 12 A | 3,39 A | 76,92 A | 16,55 A | 7,5 A | 5,55 A | A | |
| 738191 | ZLATNA NA OSTROVE | 2020 | 1,81 A | 66,66 A | 5,71 A | 0,96 B | 5,18 A | 1,31 A | 2 A | 2,4 A | B | vodivosť |
| | | 2021 | 3,7 A | 61,72 A | 3 A | 0,96 B | 4,99 A | 1,21 A | 2 A | 2,4 A | B | vodivosť |

MN – 053 Mezozoikum S časti Pezinských Karpát a Brezovských Karpátplocha: 340.8 km²

| č. objektu | lokalita | rok | NH ₄ ⁺ | NO ₃ ⁻ | CHSK _{tot} | vodivosť | Cl ⁻ | SO ₄ ²⁻ | TOC | As | bil.stav | ukazovateľ |
|------------|----------------|------|------------------------------|------------------------------|---------------------|----------|-----------------|-------------------------------|---------|---------|----------|------------|
| 4399 | JABLONICA | 2020 | 19,04 A | 6,37 A | 12 A | 1,71 A | 54,22 A | 6,32 A | 13,33 A | 40 A | A | |
| | | 2021 | 15,38 A | 7,82 A | 9,6 A | 1,98 A | 59,31 A | 6,3 A | 6,31 A | 40 A | A | |
| 8199 | PLAV.PODHRADIE | 2020 | 8,69 A | 1,83 A | 6 A | 2,4 A | 135,13 A | 14,3 A | 3,75 A | 26,66 A | A | |
| | | 2021 | 15,38 A | 2,05 A | 8,88 A | 2,38 A | 109,05 A | 12,31 A | 3,63 A | 26,66 A | A | |
| 23199 | CHTELNICA | 2020 | 16 A | 3,11 A | 12 A | 1,75 A | 106,26 A | 7,69 A | 4,61 A | 26,66 A | A | |
| | | 2021 | 19,04 A | 3,17 A | 8,88 A | 1,78 A | 124,06 A | 7,59 A | 3,42 A | 25 A | A | |

M – 054 Mezozoikum krížňanského príkrovu Malých Karpátplocha: 35.2 km²

| č. objektu | lokalita | rok | NH ₄ ⁺ | NO ₃ ⁻ | CHSK _{tot} | vodivosť | Cl ⁻ | SO ₄ ²⁻ | TOC | As | bil.stav | ukazovateľ |
|------------|---------------|------|------------------------------|------------------------------|---------------------|----------|-----------------|-------------------------------|---------|------|----------|------------|
| 24399 | HORNE ORESANY | 2020 | 14,81 A | 4,02 A | 12 A | 1,79 A | 106,04 A | 2,77 A | 26,66 A | 40 A | A | |
| | | 2021 | 21,05 A | 4,5 A | 8,88 A | 1,84 A | 122,1 A | 2,76 A | 8,57 A | 40 A | A | |

MG – 055 Kryštalínikum a mezozoikum JV časti Pezinských Karpátplocha: 318.3 km²

| č. objektu | lokalita | rok | NH ₄ ⁺ | NO ₃ ⁻ | CHSK _{tot} | vodivosť | Cl ⁻ | SO ₄ ²⁻ | TOC | As | bil.stav | ukazovateľ |
|------------|------------------------|------|------------------------------|------------------------------|---------------------|----------|-----------------|-------------------------------|--------|---------|----------|------------------------------|
| 20799 | JUR PRI BRAT | 2020 | 16,66 A | 6,95 A | 3,42 A | 13,51 A | 156,25 A | 13,35 A | 1,87 A | 19,51 A | A | |
| | | 2021 | 22,22 A | 8,71 A | 2,4 A | 13,85 A | 173,01 A | 12,33 A | 1,87 A | 40 A | A | |
| 21599 | ZELEZNA STUDNICKA | 2020 | 8 A | 2,07 A | 5,21 A | 4,35 A | 58,24 A | 5,08 A | 2,6 A | 15,38 A | A | |
| | | 2021 | 18,18 A | 2,3 A | 8,88 A | 4,24 A | 55,77 A | 4,59 A | 2,92 A | 14,81 A | A | |
| 21699 | RACA-ZBOJNICKA | 2020 | 12,5 A | 3,99 A | 4,89 A | 11,95 A | 159,74 A | 11,86 A | 1,53 A | 12,5 A | A | |
| | | 2021 | 25 A | 4,59 A | 2,1 A | 10,22 A | 167,78 A | 10,82 A | 1,42 A | 40 A | A | |
| 23099 | EZINOK - KNAZOVE DIERY | 2020 | 15,38 A | 6,26 A | 12 A | 2,22 A | 16,2 A | 2,15 A | 8,57 A | 11,76 A | A | |
| | | 2021 | 23,52 A | 6,83 A | 5,21 A | 2,17 A | 14,77 A | 2,05 A | 5,71 A | 12,12 A | A | |
| 24499 | DOLANY | 2020 | 12,82 A | 1,81 A | 8,27 A | 2,1 A | 108,22 A | 5,79 A | 7,5 A | 40 A | A | |
| | | 2021 | 20 A | 1,89 A | 8,27 A | 2,22 A | 130,89 A | 5,59 A | 4,8 A | 40 A | A | |
| 144590 | BA - GASTANOVY HAJIK | 2020 | 33,33 A | 1,53 A | 2,85 A | 1,31 A | 3,01 A | 3,45 A | 1,33 A | 12,5 A | A | |
| | | 2021 | 100 A | 1,75 A | 3,15 A | 1,35 A | 2,78 A | 3,49 A | 1,27 A | 23,52 A | A | |
| 402290 | BRATISLAVA | 2020 | 25 A | 0,57 C | 8,33 A | 1,27 A | 4,28 A | 2,88 A | 3,75 A | 14,28 A | C | NO ₃ ⁻ |
| | | 2021 | 25 A | 0,55 C | 12 A | 1,27 A | 3,91 A | 2,68 A | 3 A | 40 A | C | NO ₃ ⁻ |

Q – 056 Kwartér Dunaja v úseku Komárno - Chľabaplocha: 168.3 km²

| č. objektu | lokalita | rok | NH ₄ ⁺ | NO ₃ ⁻ | CHSK _{tot} | vodivosť | Cl ⁻ | SO ₄ ²⁻ | TOC | As | bil.stav | ukazovateľ |
|------------|------------------|------|------------------------------|------------------------------|---------------------|----------|-----------------|-------------------------------|--------|---------|----------|--|
| 52990 | IZA - BOKROS | 2020 | 0,49 C | 100 A | 1,93 A | 0,92 B | 4,31 A | 0,91 B | 1,93 A | 40 A | C | NH ₄ ⁺ |
| | | 2021 | 0,53 C | 44,84 A | 0,98 B | 0,91 B | 4,79 A | 1,03 B | 1,62 A | 26,66 A | C | NH ₄ ⁺ |
| 86990 | CHLABA-USTIE | 2020 | 25 A | 1,22 A | 7,05 A | 1,58 A | 12,65 A | 3,21 A | 3,75 A | 9,09 A | A | |
| | | 2021 | 40 A | 2,23 A | 8 A | 1,62 A | 10,57 A | 3,09 A | 2,85 A | 10 A | A | |
| 251490 | MUZLA - KENDELES | 2020 | 6,66 A | 0,67 C | 2,5 A | 0,44 C | 2,22 A | 0,22 C | 0,59 C | 11,11 A | C | NO ₃ ⁻ , vodivosť, SO ₄ ²⁻ , TOC |
| | | 2021 | 7,69 A | 0,81 C | 1,87 A | 0,46 C | 2,66 A | 0,25 C | 0,71 C | 19,04 A | C | NO ₃ ⁻ , vodivosť, SO ₄ ²⁻ , TOC |
| 602390 | IZA | 2020 | 1,09 B | 33,33 A | 2,72 A | 0,3 C | 1,56 A | 0,34 C | 1,15 A | 11,11 A | C | vodivosť, SO ₄ ²⁻ |
| | | 2021 | 0,99 B | 100 A | 2,85 A | 0,55 C | 1,73 A | 0,38 C | 1,05 B | 19,04 A | C | vodivosť, SO ₄ ²⁻ |
| 602690 | KRAVANY | 2020 | 20 A | 9,48 A | 8 A | 0,76 C | 2,11 A | 0,58 C | 3 A | 18,18 A | C | vodivosť, SO ₄ ²⁻ |
| | | 2021 | 3,03 A | 8,27 A | 5,45 A | 0,77 C | 2,12 A | 0,59 C | 2,4 A | 21,05 A | C | vodivosť, SO ₄ ²⁻ |

Q – 057 Kwartér dunajských terás na úpäti Hronskej pahorkatinyplocha: 196,70 km²

| č. objektu | lokalita | rok | NH ₄ ⁺ | NO ₃ ⁻ | CHSK _{tot} | vodivosť | Cl ⁻ | SO ₄ ²⁻ | TOC | As | bil.stav | ukazovateľ |
|------------|----------|------|------------------------------|------------------------------|---------------------|----------|-----------------|-------------------------------|--------|---------|----------|---|
| 28199 | MUZLA | 2020 | 25 A | 0,56 C | 12 A | 1,27 A | 5,61 A | 2,11 A | 2,5 A | 40 A | C | NO ₃ ⁻ |
| | | 2021 | 16,66 A | 0,49 C | 5 A | 1,22 A | 5,17 A | 1,98 A | 2,72 A | 40 A | C | NO ₃ ⁻ |
| 53190 | CHOTIN | 2020 | 25 A | 2,19 A | 6,31 A | 0,85 C | 2,5 A | 0,85 C | 1,93 A | 16,66 A | C | vodivosť, SO ₄ ²⁻ |
| | | 2021 | 11,11 A | 2,23 A | 4,28 A | 0,9 B | 2,69 A | 0,87 C | 1,87 A | 21,05 A | C | SO ₄ ²⁻ |
| 602490 | MOCA | 2020 | 12,5 A | 9,28 A | 8 A | 0,86 C | 3,57 A | 0,68 C | 2,3 A | 40 A | C | vodivosť, SO ₄ ²⁻ |
| | | 2021 | 9,09 A | 22,32 A | 6,31 A | 0,89 C | 3,75 A | 0,67 C | 2,14 A | 40 A | C | vodivosť, SO ₄ ²⁻ |

N – 058 Neogén Hronskej pahorkatinyplocha: 1061,40 km²

| č. objektu | lokalita | rok | NH ₄ ⁺ | NO ₃ ⁻ | CHSK _{5m} | vodivosť | Cl ⁻ | SO ₄ ²⁻ | TOC | As | bil.stav | ukazovateľ |
|------------|----------|------|------------------------------|------------------------------|--------------------|----------|-----------------|-------------------------------|--------|--------|----------|------------|
| 22690 | BAJC | 2020 | 5 A | 100 A | 3,75 A | 1,15 A | 4,23 A | 1,43 A | 1,57 A | 0,88 C | C | As |
| | | 2021 | 7,14 A | 100 A | 1,5 A | 1,11 A | 3,78 A | 1,24 A | 1,15 A | 1,44 A | A | |

QN – 059 Kvartér hronských terás v Podunajskej nížineplocha: 365,20 km²

| č. objektu | lokalita | rok | NH ₄ ⁺ | NO ₃ ⁻ | CHSK _{5m} | vodivosť | Cl ⁻ | SO ₄ ²⁻ | TOC | As | bil.stav | ukazovateľ |
|------------|------------|------|------------------------------|------------------------------|--------------------|----------|-----------------|-------------------------------|--------|--------|----------|---|
| 57190 | ZELIEZOVCE | 2020 | 33,33 A | 0,49 C | 3,33 A | 0,85 C | 2,69 A | 1,11 A | 1,57 A | 5 A | C | NO ₃ ⁻ , vodivosť |
| | | 2021 | 16,66 A | 0,52 C | 5,71 A | 0,87 C | 2,89 A | 1,07 B | 1,42 A | 6,89 A | C | NO ₃ ⁻ , vodivosť |

Q – 060 Kvartér nivy Hrona v Podunajskej nížineplocha: 279,2 km²

| č. objektu | lokalita | rok | NH ₄ ⁺ | NO ₃ ⁻ | CHSK _{5m} | vodivosť | Cl ⁻ | SO ₄ ²⁻ | TOC | As | bil.stav | ukazovateľ |
|------------|----------------------------|------|------------------------------|------------------------------|--------------------|----------|-----------------|-------------------------------|--------|--------|----------|--|
| 50690 | STUROVO | 2020 | 16,66 A | 0,36 C | 6,31 A | 0,68 C | 2,29 A | 0,93 B | 1,5 A | 6,66 A | C | NO ₃ ⁻ , vodivosť |
| | | 2021 | 8,33 A | 0,39 C | 4,8 A | 0,76 C | 2,58 A | 1,03 B | 1,57 A | 8 A | C | NO ₃ ⁻ , vodivosť |
| 56090 | BINA | 2020 | 0,81 C | 29,94 A | 2,4 A | 0,44 C | 0,75 C | 0,38 C | 0,51 C | 0,36 C | C | NH ₄ ⁺ , vodivosť, Cl ⁻ , SO ₄ ²⁻ , TOC, As |
| | | 2021 | 0,88 C | 100 A | 1,79 A | 0,44 C | 0,77 C | 0,37 C | 0,56 C | 0,51 C | C | NH ₄ ⁺ , vodivosť, Cl ⁻ , SO ₄ ²⁻ , TOC, As |
| 56990 | SALOV - DOMASA | 2020 | 1,44 A | 47,16 A | 6,31 A | 1,18 A | 3,22 A | 1,02 B | 1,42 A | 0,18 C | C | As |
| | | 2021 | 1,75 A | 100 A | 3 A | 1,17 A | 3,2 A | 1,03 B | 1,53 A | 0,35 C | C | As |
| 58590 | LEVICE - MAJER GENA | 2020 | 28,57 A | 3,11 A | 12 A | 1,73 A | 6,78 A | 7,18 A | 5,45 A | 1,66 A | A | |
| | | 2021 | 33,33 A | 2,07 A | 6,31 A | 1,35 A | 4,15 A | 5,16 A | 3,63 A | 1,73 A | A | |
| 58790 | KALNICA | 2020 | 20 A | 0,7 C | 6,31 A | 1,45 A | 6,17 A | 2,28 A | 4,28 A | 7,69 A | C | NO ₃ ⁻ |
| | | 2021 | 40 A | 0,81 C | 12 A | 1,5 A | 6,68 A | 2,36 A | 3,33 A | 9,09 A | C | NO ₃ ⁻ |
| 59490 | HRONSKE KOSIHY | 2020 | 20 A | 1,11 A | 3 A | 1,34 A | 6,95 A | 2,83 A | 2,06 A | 0,68 C | C | As |
| | | 2021 | 40 A | 1,16 A | 7,05 A | 1,31 A | 7,63 A | 2,53 A | 2,4 A | 0,98 B | B | As |
| 59790 | VELKE KOZMALOVCE - STANICA | 2020 | 33,33 A | 1,71 A | 3,33 A | 1,39 A | 17,12 A | 4,26 A | 2,22 A | 1,7 A | A | |
| | | 2021 | 40 A | 1,73 A | 3,75 A | 1,41 A | 14,74 A | 3,53 A | 1,53 A | 1,66 A | A | |
| 259190 | STARÝ TEKOV | 2020 | 50 A | 4,25 A | 3 A | 1,52 A | 10,59 A | 1,51 A | 2 A | 3,77 A | A | |
| | | 2021 | 25 A | 4,78 A | 4,28 A | 1,5 A | 11,06 A | 1,5 A | 1,71 A | 4,65 A | A | |

N – 061 Neogén strednej a J časti Ipeľskej pahorkatinyplocha: 310,5 km²

| č. objektu | lokalita | rok | NH ₄ ⁺ | NO ₃ ⁻ | CHSK _{5m} | vodivosť | Cl ⁻ | SO ₄ ²⁻ | TOC | As | bil.stav | ukazovateľ |
|------------|----------|------|------------------------------|------------------------------|--------------------|----------|-----------------|-------------------------------|-----|------|----------|------------------------------|
| 503890 | KUBANOVO | 2020 | 0,69 C | 100 A | 12 A | 1,44 A | 37,36 A | 5,61 A | 5 A | 40 A | C | NH ₄ ⁺ |
| | | 2021 | 0,34 C | 100 A | 12 A | 1,45 A | 40,19 A | 5,1 A | 5 A | 20 A | C | NH ₄ ⁺ |

N – 062 Neogén Bátovskej pahorkatiny a Čajkovskej zníženyplocha: 98,7 km²**P-G – 063 Kryštalinikum, mezozoikum a paleogén JZ časti pohoria Žiar a Handlovskej kotliny**plocha: 79,2 km²

| č. objektu | lokalita | rok | NH ₄ ⁺ | NO ₃ ⁻ | CHSK _{5m} | vodivosť | Cl ⁻ | SO ₄ ²⁻ | TOC | As | bil.stav | ukazovateľ |
|------------|------------|------|------------------------------|------------------------------|--------------------|----------|-----------------|-------------------------------|--------|---------|----------|------------------------------|
| 114599 | RAZTOCNO | 2020 | 33,33 A | 7,02 A | 12 A | 2,52 A | 166,94 A | 13,9 A | 12 A | 11,11 A | A | |
| | | 2021 | 28,57 A | 8,15 A | 6,15 A | 2,51 A | 196,07 A | 12,95 A | 5,71 A | 12,5 A | A | |
| 514390 | MALA CAUSA | 2020 | 0,25 C | 74,62 A | 6,31 A | 1,29 A | 192,3 A | 2,73 A | 3,87 A | 40 A | C | NH ₄ ⁺ |
| | | 2021 | 0,21 C | 41,58 A | 5,45 A | 1,3 A | 97,84 A | 2,64 A | 3,24 A | 40 A | C | NH ₄ ⁺ |

M – 064 Mezozoikum S časti pohoria Žiarplocha: 52,6 km²

P-G – 065 Mezozoikum, kryštalinikum a paleogén V časti Strážovských vrchovplocha: 278,6 km²

| č. objektu | lokality | rok | NH ₄ ⁺ | NO ₃ ⁻ | CHSK _{tot} | vodivosť | Cl ⁻ | SO ₄ ²⁻ | TOC | As | bil.stav | ukazovateľ |
|------------|----------|------|------------------------------|------------------------------|---------------------|----------|-----------------|-------------------------------|--------|--------|----------|------------|
| 113699 | DLZIN | 2020 | 25 A | 13,54 A | 7,05 A | 4,44 A | 178,25 A | 11,61 A | 3,87 A | 3,13 A | A | |
| | | 2021 | 16,66 A | 11,72 A | 8,88 A | 4,4 A | 152,2 A | 9,57 A | 3,24 A | 2,97 A | A | |

MP – 066 Mezozoikum a paleogén J časti Strážovských vrchovplocha: 428,0 km²

| č. objektu | lokality | rok | NH ₄ ⁺ | NO ₃ ⁻ | CHSK _{tot} | vodivosť | Cl ⁻ | SO ₄ ²⁻ | TOC | As | bil.stav | ukazovateľ |
|------------|--------------------------------|------|------------------------------|------------------------------|---------------------|----------|-----------------|-------------------------------|--------|------|----------|------------------------------|
| 26690 | HRADISTE -SEVER | 2020 | 0,93 B | 7,57 A | 6,31 A | 1,63 A | 12,59 A | 13,77 A | 4 A | 40 A | B | NH ₄ ⁺ |
| | | 2021 | 0,77 C | 10,31 A | 6,31 A | 1,58 A | 12,43 A | 12,31 A | 2,5 A | 40 A | C | |
| 108199 | NITR.SUCANY- PODVRATNA DOL. | 2020 | 25 A | 11,46 A | 8,27 A | 2,45 A | 187,26 A | 13,96 A | 3,52 A | 40 A | A | |
| | | 2021 | 22,22 A | 13,76 A | 6,48 A | 2,44 A | 234,19 A | 13,51 A | 3 A | 40 A | A | |
| 110199 | DOLNE MOTESICE - JAZERO | 2020 | 20 A | 7,38 A | 8,88 A | 2,1 A | 61,34 A | 19,37 A | 15 A | 32 A | A | |
| | | 2021 | 22,22 A | 6,87 A | 3,75 A | 2,12 A | 60,45 A | 19,01 A | 5,71 A | 32 A | A | |

QN – 067 Neogén a kvartér Hornonitrianskej kotlinyplocha: 170,4 km²

| č. objektu | lokality | rok | NH ₄ ⁺ | NO ₃ ⁻ | CHSK _{tot} | vodivosť | Cl ⁻ | SO ₄ ²⁻ | TOC | As | bil.stav | ukazovateľ |
|------------|---------------------|------|------------------------------|------------------------------|---------------------|----------|-----------------|-------------------------------|--------|---------|----------|-----------------------------------|
| 25690 | NOVAKY - SEVER | 2020 | 16,66 A | 2,27 A | 1,96 A | 2,1 A | 6,88 A | 3,21 A | 1,09 B | 13,33 A | B | TOC |
| | | 2021 | 7,14 A | 2,15 A | 2,6 A | 1,94 A | 5,92 A | 3,06 A | 1,46 A | 40 A | A | |
| 25890 | BYSTRICANY | 2020 | 11,11 A | 2,25 A | 2,66 A | 1,63 A | 8,25 A | 3,62 A | 1,53 A | 4,54 A | A | |
| | | 2021 | 11,11 A | 2,37 A | 2,92 A | 1,72 A | 8,57 A | 4,02 A | 1,27 A | 3,22 A | A | |
| 225290 | PRIEVIDZA - NECPALY | 2020 | 25 A | 5,72 A | 12 A | 1,85 A | 9,07 A | 7,22 A | 6,66 A | 15,38 A | A | |
| | | 2021 | 9,09 A | 5,18 A | 8 A | 1,76 A | 8,16 A | 6,75 A | 4,28 A | 40 A | A | |
| 225390 | PRIEVIDZA - LETISKO | 2020 | 0,71 C | 51,02 A | 1,53 A | 1,45 A | 2,62 A | 11,54 A | 2,3 A | 0,81 C | C | NH ₄ ⁺ , As |
| | | 2021 | 0,71 C | 38,31 A | 3 A | 1,46 A | 4,47 A | 9,78 A | 1,87 A | 0,35 C | C | |
| 225790 | NOVAKY | 2020 | 7,14 A | 5,89 A | 2,7 A | 1,39 A | 7,49 A | 4,38 A | 1,27 A | 6,25 A | A | |
| | | 2021 | 3,33 A | 19,01 A | 2,5 A | 1,39 A | 8,05 A | 4,92 A | 1,25 A | 5,71 A | A | |
| 226490 | NITRIANSKE SUCANY | 2020 | 12,5 A | 2,29 A | 12 A | 1,14 A | 1,81 A | 6,25 A | 5 A | 16,66 A | A | |
| | | 2021 | 12,5 A | 2,32 A | 12 A | 1,19 A | 1,81 A | 6,18 A | 4,28 A | 7,69 A | A | |
| 514590 | NITRIANSKE PRAVNO | 2020 | 1,61 A | 100 A | 12 A | 1,39 A | 34,53 A | 1,34 A | 60 A | 40 A | A | |
| | | 2021 | 1,66 A | 100 A | 12 A | 1,43 A | 39,12 A | 1,26 A | 15 A | 40 A | A | |

GM – 068 Kryštalinikum a mezozoikum V časti Považského Inovcaplocha: 153,7 km²

| č. objektu | lokality | rok | NH ₄ ⁺ | NO ₃ ⁻ | CHSK _{tot} | vodivosť | Cl ⁻ | SO ₄ ²⁻ | TOC | As | bil.stav | ukazovateľ |
|------------|----------|------|------------------------------|------------------------------|---------------------|----------|-----------------|-------------------------------|--------|------|----------|------------|
| 115999 | ZAVADA | 2020 | 15,38 A | 3,63 A | 6,85 A | 2,18 A | 96,15 A | 12,36 A | 3 A | 40 A | A | |
| | | 2021 | 23,52 A | 3,84 A | 6,66 A | 2,13 A | 119,61 A | 11,96 A | 2,35 A | 40 A | A | |

MG – 069 Mezozoikum a paleozoikum SV časti Tribčaplocha: 223,5 km²

| č. objektu | lokality | rok | NH ₄ ⁺ | NO ₃ ⁻ | CHSK _{tot} | vodivosť | Cl ⁻ | SO ₄ ²⁻ | TOC | As | bil.stav | ukazovateľ |
|------------|---------------------|------|------------------------------|------------------------------|---------------------|----------|-----------------|-------------------------------|--------|---------|----------|------------|
| 113499 | BRODZANY | 2020 | 23,52 A | 5,91 A | 5,85 A | 1,69 A | 66,09 A | 5,64 A | 2,92 A | 12,9 A | A | |
| | | 2021 | 50 A | 8,67 A | 5 A | 1,66 A | 75,41 A | 4,96 A | 2,44 A | 13,79 A | A | |
| 140899 | VELKE POLE - STUDNA | 2020 | 20 A | 2,34 A | 7,05 A | 1,54 A | 25,58 A | 2,08 A | 7,5 A | 26,66 A | A | |
| | | 2021 | 66,66 A | 2,33 A | 12 A | 1,54 A | 24,63 A | 1,97 A | 4,61 A | 40 A | A | |

MG – 070 Kryštalinikum a mezozoikum J a strednej časti Tribčaplocha: 351,9 km²

| č. objektu | lokality | rok | NH ₄ ⁺ | NO ₃ ⁻ | CHSK _{tot} | vodivosť | Cl ⁻ | SO ₄ ²⁻ | TOC | As | bil.stav | ukazovateľ |
|------------|-------------------|------|------------------------------|------------------------------|---------------------|----------|-----------------|-------------------------------|--------|---------|----------|------------|
| 108999 | TOPOLCANY - SADOK | 2020 | 16 A | 10,53 A | 8,27 A | 1,84 A | 85,54 A | 3,58 A | 48 A | 9,09 A | A | |
| | | 2021 | 50 A | 12,37 A | 7,27 A | 1,9 A | 91,82 A | 3,57 A | 12 A | 8,69 A | A | |
| 116299 | PODHORANY | 2020 | 21,05 A | 1,6 A | 8,27 A | 1,72 A | 15,19 A | 4,36 A | 3,52 A | 10,81 A | A | |
| | | 2021 | 50 A | 1,59 A | 5 A | 1,72 A | 17,48 A | 4,5 A | 3,15 A | 12,12 A | A | |

NQ – 071 Neogén Nitrianskej pahorkatinyplocha: 1577,0 km²

| č. objektu | lokalita | rok | NH ₄ ⁺ | NO ₃ ⁻ | CHSK _{Mn} | vodivosť | Cl ⁻ | SO ₄ ²⁻ | TOC | As | bil.stav | ukazovateľ |
|------------|-------------------|------|------------------------------|------------------------------|--------------------|----------|-----------------|-------------------------------|--------|---------|----------|--|
| 27590 | OSTRATICE | 2020 | 0,72 C | 100 A | 2,4 A | 1,05 B | 3,63 A | 3,02 A | 1,53 A | 1,25 A | C | NH ₄ ⁺ |
| | | 2021 | 1,66 A | 3,69 A | 2,4 A | 1,15 A | 4,12 A | 3,39 A | 1,3 A | 3,33 A | A | |
| 28290 | TOPOLCANY | 2020 | 10 A | 0,91 B | 5,21 A | 0,97 B | 2,49 A | 2,46 A | 2,4 A | 4,54 A | B | vodivosť |
| | | 2021 | 16,66 A | 1,26 A | 4,61 A | 1,1 A | 2,98 A | 2,9 A | 2,14 A | 3,92 A | A | |
| 28590 | NITRIANSKA STREDA | 2020 | 4 A | 100 A | 12 A | 1,54 A | 6,73 A | 2,35 A | 4,28 A | 40 A | A | |
| | | 2021 | 5,26 A | 100 A | 12 A | 1,62 A | 6,95 A | 2,65 A | 3,15 A | 26,66 A | A | |
| 30990 | RASTISLAVICE | 2020 | 16,66 A | 0,15 C | 12 A | 0,57 C | 1,95 A | 1,05 B | 0,93 B | 16,66 A | C | NO ₃ ⁻ , vodivosť |
| | | 2021 | 25 A | 0,78 C | 2,72 A | 0,85 C | 1,86 A | 1,83 A | 0,66 C | 40 A | C | NO ₃ ⁻ , vodivosť, TOC |
| 114099 | VELKE DRZKOVCE | 2020 | 16,66 A | 0,9 B | 12 A | 1,96 A | 7,86 A | 16,66 A | 15 A | 5,26 A | B | NO ₃ ⁻ |
| | | 2021 | 16,66 A | 1,55 A | 12 A | 1,99 A | 11,46 A | 13,08 A | 6 A | 9,09 A | A | |
| 222090 | SALA-MOCENOK | 2020 | 7,14 A | 0,18 C | 2,72 A | 0,63 C | 1,96 A | 0,91 B | 1,66 A | 20 A | C | NO ₃ ⁻ , vodivosť |
| | | 2021 | 7,14 A | 0,13 C | 2,3 A | 0,53 C | 1,31 A | 0,59 C | 0,63 C | 16,66 A | C | NO ₃ ⁻ , vodivosť |
| 229690 | DRAZOVCE | 2020 | 0,49 C | 100 A | 3 A | 1,02 B | 3,43 A | 1,34 A | 1,76 A | 12,5 A | C | NH ₄ ⁺ |
| | | 2021 | 0,48 C | 100 A | 6,66 A | 0,94 B | 2,4 A | 1,18 A | 0,98 B | 12,9 A | C | NH ₄ ⁺ |

Q – 072 Kwartér Nitry od mesta Nitra po Nové Zámkyplocha: 376,42 km²

| č. objektu | lokalita | rok | NH ₄ ⁺ | NO ₃ ⁻ | CHSK _{Mn} | vodivosť | Cl ⁻ | SO ₄ ²⁻ | TOC | As | bil.stav | ukazovateľ |
|------------|-------------------|------|------------------------------|------------------------------|--------------------|----------|-----------------|-------------------------------|--------|---------|----------|---|
| 30290 | DOLNE KRISKANY | 2020 | 3,84 A | 22,57 A | 2,14 A | 1,55 A | 7,46 A | 2,67 A | 1,46 A | 19,04 A | A | |
| | | 2021 | 5,88 A | 8,32 A | 4,8 A | 1,49 A | 6,33 A | 2,33 A | 1,62 A | 13,79 A | A | |
| 30490 | IVANKA PRI NITRE | 2020 | 0,81 C | 100 A | 4,44 A | 0,92 B | 1,78 A | 1,14 A | 1,62 A | 12,5 A | C | NH ₄ ⁺ |
| | | 2021 | 0,84 C | 100 A | 5,45 A | 0,93 B | 1,88 A | 1,3 A | 1,5 A | 21,05 A | C | NH ₄ ⁺ |
| 36490 | ULANY NAD ZITAVOU | 2020 | 0,46 C | 100 A | 0,86 C | 1,11 A | 4 A | 1,12 A | 0,6 C | 3,7 A | C | NH ₄ ⁺ , CHSK _{Mn} , TOC |
| | | 2021 | 1,07 B | 100 A | 0,8 C | 1,14 A | 4,26 A | 1,16 A | 0,62 C | 11,11 A | C | CHSK _{Mn} , TOC |
| 37990 | NOVE ZAMKY-JUH | 2020 | 2,5 A | 100 A | 5,71 A | 1,25 A | 3,71 A | 1,15 A | 1,62 A | 14,81 A | A | |
| | | 2021 | 2,77 A | 100 A | 3,75 A | 1,23 A | 3,9 A | 1,16 A | 1,42 A | 12,5 A | A | |
| 602190 | BANOV | 2020 | 0,13 C | 100 A | 5,21 A | 1,14 A | 0,82 C | 127,55 A | 3,52 A | 26,66 A | C | NH ₄ ⁺ , Cl ⁻ |
| | | 2021 | 0,11 C | 100 A | 1,87 A | 1,28 A | 0,93 B | 84,03 A | 2,4 A | 23,52 A | C | NH ₄ ⁺ |
| 602290 | SURANY | 2020 | 1,2 A | 100 A | 5,71 A | 2,29 A | 3,86 A | 139,27 A | 2,14 A | 40 A | A | |
| | | 2021 | 2,32 A | 100 A | 1,13 A | 2,24 A | 4,06 A | 158,22 A | 1,62 A | 40 A | A | |

NQ – 073 Neogén Žitavskej pahorkatinyplocha: 369,8 km²

| č. objektu | lokalita | rok | NH ₄ ⁺ | NO ₃ ⁻ | CHSK _{Mn} | vodivosť | Cl ⁻ | SO ₄ ²⁻ | TOC | As | bil.stav | ukazovateľ |
|------------|----------------------|------|------------------------------|------------------------------|--------------------|----------|-----------------|-------------------------------|--------|---------|----------|------------------------------------|
| 35390 | ZLATE MORAVCE | 2020 | 8,33 A | 4 A | 12 A | 1,94 A | 4,84 A | 6,85 A | 6,66 A | 21,05 A | A | |
| | | 2021 | 5,88 A | 7,63 A | 4,61 A | 1,95 A | 6,58 A | 3,38 A | 1,81 A | 21,05 A | A | |
| 35790 | DYCKA | 2020 | 2,56 A | 15,15 A | 2,22 A | 1,21 A | 21,36 A | 3,27 A | 0,95 B | 6,06 A | B | TOC |
| | | 2021 | 0,39 C | 3,69 A | 0,92 B | 1,26 A | 12,31 A | 3,46 A | 0,64 C | 2,81 A | C | NH ₄ ⁺ , TOC |
| 235690 | NOVA VES NAD ZITAVOU | 2020 | 1,36 A | 0,75 C | 0,93 B | 0,95 B | 5,88 A | 2,1 A | 0,44 C | 9,52 A | C | NO ₃ ⁻ , TOC |
| | | 2021 | 1,31 A | 1,22 A | 0,98 B | 0,97 B | 8,63 A | 2,45 A | 0,45 C | 6,89 A | C | TOC |

Q – 074 Kwartér medziriečia Podunajskej rovinyplocha: 848,8 km²

| č. objektu | lokalita | rok | NH ₄ ⁺ | NO ₃ ⁻ | CHSK _{Mn} | vodivosť | Cl ⁻ | SO ₄ ²⁻ | TOC | As | bil.stav | ukazovateľ |
|------------|--------------------|------|------------------------------|------------------------------|--------------------|----------|-----------------|-------------------------------|--------|---------|----------|--|
| 12790 | MOSTOVA | 2020 | 7,14 A | 4,52 A | 2,4 A | 1,17 A | 4,88 A | 1,57 A | 1,53 A | 15,38 A | A | |
| | | 2021 | 8,33 A | 3 A | 1,66 A | 1,1 A | 4,78 A | 1,39 A | 0,93 B | 10,52 A | B | TOC |
| 12890 | KRALOV BROD | 2020 | 1,49 A | 100 A | 2,3 A | 1,06 B | 3,46 A | 1,34 A | 1,22 A | 2,59 A | B | vodivosť |
| | | 2021 | 1,69 A | 100 A | 2,4 A | 1,07 B | 2,83 A | 1,25 A | 1,09 B | 1,9 A | B | vodivosť, TOC |
| 12990 | DIAKOVCE | 2020 | 9,09 A | 0,19 C | 2,14 A | 0,74 C | 5 A | 1,28 A | 1,07 B | 18,18 A | C | NO ₃ ⁻ , vodivosť |
| | | 2021 | 11,11 A | 0,18 C | 1,66 A | 0,73 C | 5,13 A | 1,24 A | 0,72 C | 15,38 A | C | NO ₃ ⁻ , vodivosť, TOC |
| 23590 | SALA | 2020 | 0,46 C | 100 A | 1,62 A | 0,63 C | 1,48 A | 0,52 C | 1,05 B | 4,87 A | C | NH ₄ ⁺ , vodivosť, SO ₄ ²⁻ |
| | | 2021 | 0,08 C | 100 A | 2,4 A | 0,98 B | 1,68 A | 0,98 B | 0,85 C | 17,39 A | C | NH ₄ ⁺ , TOC |
| 25090 | NESVADY | 2020 | 1,04 B | 40,16 A | 2 A | 0,85 C | 1,93 A | 0,92 B | 1 B | 16,66 A | C | vodivosť |
| | | 2021 | 0,54 C | 100 A | 3,33 A | 0,99 B | 2,25 A | 1,18 A | 0,75 C | 10,52 A | C | NH ₄ ⁺ , TOC |
| 38690 | HURBANOVO-MALY VEK | 2020 | 14,28 A | 1,14 A | 4 A | 1,27 A | 4,67 A | 5,08 A | 2,14 A | 3,84 A | A | |
| | | 2021 | 40 A | 2,2 A | 1,71 A | 1,36 A | 6 A | 3,44 A | 1,57 A | 5,71 A | A | |
| 211990 | GALANTA | 2020 | 4,16 A | 100 A | 2,85 A | 0,95 B | 1,93 A | 1,87 A | 2,14 A | 5,4 A | B | vodivosť |
| | | 2021 | 2,63 A | 100 A | 5,21 A | 0,79 C | 1,28 A | 1,5 A | 1,57 A | 4,34 A | C | vodivosť |

| č. objektu | lokalita | rok | NH ₄ ⁺ | NO ₃ ⁻ | CHSK _{tot} | vodivosť | Cl ⁻ | SO ₄ ²⁻ | TOC | As | bil.stav | ukazovateľ |
|------------|---------------------------|------|------------------------------|------------------------------|---------------------|----------|-----------------|-------------------------------|--------|---------|----------|---|
| 224490 | VRBOVA N/V - VELKY KINDES | 2020 | 9,09 A | 2,7 A | 6,31 A | 1,08 B | 7,02 A | 1,62 A | 3,15 A | 40 A | B | vodivosť |
| | | 2021 | 11,11 A | 1,47 A | 8 A | 1,08 B | 7,57 A | 1,7 A | 2,06 A | 40 A | B | vodivosť |
| 237490 | PALARIKOVO | 2020 | 0,84 C | 100 A | 0,66 C | 0,76 C | 6,06 A | 0,5 C | 0,42 C | 17,39 A | C | NH ₄ ⁺ , CHSK _{Mn} , vodivosť, SO ₄ ²⁻ , TOC |
| | | 2021 | 1,05 B | 100 A | 0,41 C | 0,77 C | 6,36 A | 0,53 C | 0,43 C | 10,52 A | C | CHSK _{Mn} , vodivosť, SO ₄ ²⁻ , TOC |
| 253890 | KOMARNO - KOMOCIN | 2020 | 2 A | 100 A | 3,52 A | 1,3 A | 5,93 A | 2,05 A | 2,3 A | 40 A | A | |
| | | 2021 | 5,55 A | 100 A | 2,3 A | 1,37 A | 6,64 A | 2,11 A | 2,4 A | 26,66 A | A | |

Q-G – 075 Paleozoikum a mladšie útvary časti povodia horného Hrona po Piesok

plocha: 704,2 km²

| č. objektu | lokalita | rok | NH ₄ ⁺ | NO ₃ ⁻ | CHSK _{tot} | vodivosť | Cl ⁻ | SO ₄ ²⁻ | TOC | As | bil.stav | ukazovateľ |
|------------|---------------|------|------------------------------|------------------------------|---------------------|----------|-----------------|-------------------------------|--------|--------|----------|---|
| 89690 | BREZNO | 2020 | 16,66 A | 0,88 C | 1,66 A | 1,7 A | 3,27 A | 4,13 A | 1,05 B | 4,76 A | C | NO ₃ ⁻ |
| | | 2021 | 16,66 A | 1,07 B | 1,53 A | 1,78 A | 3,83 A | 4,95 A | 0,96 B | 3,92 A | B | NO ₃ ⁻ , TOC |
| 89890 | POLOMKA-HAMOR | 2020 | 0,63 C | 43,29 A | 0,4 C | 1,95 A | 260,41 A | 14,74 A | 0,29 C | 2,43 A | C | NH ₄ ⁺ , CHSK _{Mn} , TOC |
| | | 2021 | 0,86 C | 42,91 A | 0,31 C | 2,16 A | 500 A | 23,92 A | 0,46 C | 2,27 A | C | NH ₄ ⁺ , CHSK _{Mn} , TOC |

MG – 076 Kryštalinikum a mezozoikum JZ svahov Nízkyh Tatier

plocha: 384,5 km²

| č. objektu | lokalita | rok | NH ₄ ⁺ | NO ₃ ⁻ | CHSK _{tot} | vodivosť | Cl ⁻ | SO ₄ ²⁻ | TOC | As | bil.stav | ukazovateľ |
|------------|-----------------------------|------|------------------------------|------------------------------|---------------------|----------|-----------------|-------------------------------|--------|--------|----------|------------|
| 122699 | VALASKA - VYVIERACKA | 2020 | 21,05 A | 8,45 A | 6,85 A | 3,34 A | 89,12 A | 14,08 A | 5 A | 8,88 A | A | |
| | | 2021 | 10 A | 9,18 A | 7,74 A | 3,19 A | 91,74 A | 14,59 A | 5 A | 9,52 A | A | |
| 126199 | MEDZIBROD - TRSTIE | 2020 | 12,5 A | 8,41 A | 12 A | 2,42 A | 263,15 A | 13,92 A | 12 A | 40 A | A | |
| | | 2021 | 25 A | 10,15 A | 9,6 A | 2,39 A | 400 A | 14,32 A | 5,71 A | 40 A | A | |
| 130699 | MYTO POD DUMBIEROM | 2020 | 18,18 A | 15,42 A | 12 A | 5,56 A | 11,52 A | 15,67 A | 7,05 A | 1,71 A | A | |
| | | 2021 | 30,76 A | 17,74 A | 3,28 A | 5,31 A | 11,7 A | 13,17 A | 6 A | 1,68 A | A | |
| 130799 | JASENIE | 2020 | 10 A | 11,6 A | 12 A | 10,26 A | 500 A | 19,68 A | 30 A | 0,59 C | C | As |
| | | 2021 | 100 A | 12,85 A | 4,28 A | 10,33 A | 500 A | 17,73 A | 15 A | 0,56 C | C | As |
| 131199 | DOLNA LEHOTA-UHLISTE | 2020 | 15,38 A | 30,3 A | 2,47 A | 12,2 A | 500 A | 29,2 A | 5 A | 8,69 A | A | |
| | | 2021 | 23,52 A | 28,2 A | 3,52 A | 11,65 A | 500 A | 29,79 A | 4,8 A | 7,54 A | A | |
| 132899 | BRUSNO | 2020 | 20 A | 7,48 A | 12 A | 3,55 A | 69,06 A | 14,99 A | 12 A | 0,23 C | C | As |
| | | 2021 | 13,33 A | 8,74 A | 8,88 A | 3,94 A | 133,15 A | 15,87 A | 4,8 A | 0,2 C | C | As |
| 450190 | DUBOVA - ZAMOSTIE - NEMECKA | 2020 | 18,18 A | 9,22 A | 8,88 A | 2,75 A | 63,97 A | 11,27 A | 15 A | 7,84 A | A | |
| | | 2021 | 26,66 A | 10,26 A | 12 A | 2,73 A | 67,75 A | 11,28 A | 7,5 A | 8 A | A | |

MG – 077 Mezozoikum a paleozoikum Starohorských vrchov a S časti Zvolenskej kotliny

plocha: 187,7 km²

| č. objektu | lokalita | rok | NH ₄ ⁺ | NO ₃ ⁻ | CHSK _{tot} | vodivosť | Cl ⁻ | SO ₄ ²⁻ | TOC | As | bil.stav | ukazovateľ |
|------------|----------------------|------|------------------------------|------------------------------|---------------------|----------|-----------------|-------------------------------|--------|------|----------|-------------------------------|
| 130999 | MOSTENICA - KYSLA | 2020 | 16,66 A | 11,64 A | 4,36 A | 1,57 A | 500 A | 0,98 B | 4,61 A | 40 A | B | SO ₄ ²⁻ |
| | | 2021 | 21,05 A | 11,59 A | 4,89 A | 1,63 A | 315,45 A | 1,1 A | 4,13 A | 40 A | A | |
| 132199 | BALAZE,pr.PODKALISTE | 2020 | 15,38 A | 10,87 A | 12 A | 5,5 A | 500 A | 28,2 A | 20 A | 40 A | A | |
| | | 2021 | 18,18 A | 12,17 A | 12 A | 5,55 A | 500 A | 28,61 A | 8 A | 40 A | A | |
| 538290 | LUCATIN | 2020 | 12,5 A | 54,94 A | 12 A | 1,87 A | 253,16 A | 8,2 A | 8,57 A | 40 A | A | |
| | | 2021 | 17,39 A | 100 A | 12 A | 1,75 A | 211,86 A | 8,49 A | 4,61 A | 40 A | A | |

MG – 078 Mezozoikum a predmezozoické útvary SV časti Zvolenskej kotliny a SZ časti Veporských vrchov

plocha: 248,4 km²

| č. objektu | lokalita | rok | NH ₄ ⁺ | NO ₃ ⁻ | CHSK _{tot} | vodivosť | Cl ⁻ | SO ₄ ²⁻ | TOC | As | bil.stav | ukazovateľ |
|------------|-------------------------|------|------------------------------|------------------------------|---------------------|----------|-----------------|-------------------------------|--------|---------|----------|------------|
| 122199 | OSRBLIE - TEPLICA | 2020 | 16,66 A | 7,96 A | 2,03 A | 3,88 A | 213,67 A | 19,01 A | 2,4 A | 14,28 A | A | |
| | | 2021 | 12,5 A | 10,14 A | 5,21 A | 3,89 A | 500 A | 24,03 A | 7,5 A | 16,66 A | A | |
| 620490 | BANSKA BYSTRICA-SALKOVA | 2020 | 10 A | 100 A | 1,76 A | 1,81 A | 26,17 A | 10,63 A | 1,03 B | 0,65 C | C | As |
| | | 2021 | 8,33 A | 100 A | 1,87 A | 1,88 A | 35,26 A | 13,73 A | 1 B | 0,87 C | C | As |

MP – 079 Mezozoikum Kremnických vrchov a západnej časti Zvolenskej kotliny

plocha: 60,5 km²

| č. objektu | lokalita | rok | NH ₄ ⁺ | NO ₃ ⁻ | CHSK _{tot} | vodivosť | Cl ⁻ | SO ₄ ²⁻ | TOC | As | bil.stav | ukazovateľ |
|------------|----------|------|------------------------------|------------------------------|---------------------|----------|-----------------|-------------------------------|--------|--------|----------|------------|
| 128799 | KRALIKY | 2020 | 12,5 A | 17,12 A | 12 A | 5,12 A | 189,39 A | 14,61 A | 4,28 A | 4 A | A | |
| | | 2021 | 16,66 A | 15,77 A | 12 A | 5,45 A | 500 A | 14,61 A | 3,75 A | 3,12 A | A | |

Q – 080 Kvartér nivy Hrona a Slatiny od Slovenskej Ľupče po Tlmačeplocha: 80.5 km²

| č. objektu | lokality | rok | NH ₄ ⁺ | NO ₃ ⁻ | CHSK _{5m} | vodivosť | Cl ⁻ | SO ₄ ²⁻ | TOC | As | bil.stav | ukazovateľ |
|------------|---------------------------|------|------------------------------|------------------------------|--------------------|----------|-----------------|-------------------------------|--------|---------|----------|---|
| 76290 | LOVCA | 2020 | 6,66 A | 23,25 A | 5,21 A | 1,82 A | 3,29 A | 4,69 A | 3,33 A | 1,98 A | A | |
| | | 2021 | 5,88 A | 100 A | 8 A | 1,8 A | 3,04 A | 4,39 A | 3,15 A | 1,94 A | A | |
| 76790 | DOLNA ZDANA - HLINIK N.H. | 2020 | 20 A | 1,76 A | 3,15 A | 1,17 A | 5,65 A | 3,98 A | 1,39 A | 4,54 A | A | |
| | | 2021 | 40 A | 5,37 A | 2,5 A | 1,2 A | 5,43 A | 4,55 A | 1,42 A | 5,55 A | A | |
| 77990 | RUDNO NAD HRONOM | 2020 | 11,11 A | 50,25 A | 0,85 C | 2,09 A | 18,28 A | 6,61 A | 0,58 C | 2,89 A | C | CHSK _{Mn} , TOC |
| | | 2021 | 14,28 A | 44,24 A | 1,13 A | 2,12 A | 14,8 A | 7,4 A | 0,76 C | 2,81 A | C | TOC |
| 78590 | TEKOVSKA BREZNICA | 2020 | 11,11 A | 55,55 A | 4,61 A | 1,86 A | 27,88 A | 6,41 A | 2,5 A | 7,4 A | A | |
| | | 2021 | 13,33 A | 66,66 A | 4,28 A | 1,99 A | 31,6 A | 7,59 A | 2,22 A | 17,39 A | A | |
| 78990 | KOZAROVCE - ZA MLYNOM | 2020 | 33,33 A | 0,96 B | 4,28 A | 1,08 B | 4,53 A | 2 A | 2,4 A | 1,9 A | B | NO ₃ ⁻ , vodivosť |
| | | 2021 | 40 A | 0,97 B | 12 A | 1,14 A | 5,41 A | 2,35 A | 2,5 A | 2,1 A | B | NO ₃ ⁻ |
| 88890 | BANSKA BYSTRICA-MAJER | 2020 | 25 A | 3,03 A | 6,31 A | 1,67 A | 18,86 A | 8,27 A | 3,75 A | 7,14 A | A | |
| | | 2021 | 28,57 A | 6,47 A | 3,52 A | 1,63 A | 18,18 A | 8,92 A | 2,72 A | 7,14 A | A | |
| 90090 | KREMnickKA | 2020 | 14,28 A | 8,51 A | 2,92 A | 1,58 A | 5,25 A | 6,62 A | 2,85 A | 9,09 A | A | |
| | | 2021 | 33,33 A | 13,14 A | 12 A | 1,81 A | 7,5 A | 8,96 A | 6 A | 10 A | A | |
| 286190 | SASOVSKÉ PODHRADIE | 2020 | 2,94 A | 51,28 A | 2,4 A | 1,49 A | 8,96 A | 3,26 A | 0,93 B | 0,82 C | C | As |
| | | 2021 | 3,7 A | 100 A | 1,57 A | 1,36 A | 6,72 A | 3,02 A | 0,66 C | 0,86 C | C | TOC, As |
| 286690 | SLIAC | 2020 | 14,28 A | 6,48 A | 3,52 A | 1,79 A | 11,54 A | 2,48 A | 1,46 A | 4,34 A | A | |
| | | 2021 | 14,28 A | 6,48 A | 2,4 A | 1,84 A | 10 A | 3,64 A | 1,17 A | 3,77 A | A | |

NQ – 081 Neogén Zvolenskej kotliny - západná časťplocha: 21.6 km²**V – 082 Neovulkanity Kremnických vrchov**plocha: 502.1 km²

| č. objektu | lokality | rok | NH ₄ ⁺ | NO ₃ ⁻ | CHSK _{5m} | vodivosť | Cl ⁻ | SO ₄ ²⁻ | TOC | As | bil.stav | ukazovateľ |
|------------|-----------------|------|------------------------------|------------------------------|--------------------|----------|-----------------|-------------------------------|--------|---------|----------|------------|
| 46990 | TURCEK - KV-15A | 2020 | 12,5 A | 9,36 A | 12 A | 13,06 A | 500 A | 28,18 A | 60 A | 40 A | A | |
| | | 2021 | 16,66 A | 9,74 A | 12 A | 13,46 A | 500 A | 24,5 A | 15 A | 16,66 A | A | |
| 106399 | HANDLOVA REMATA | 2020 | 8,33 A | 14,24 A | 12 A | 5,65 A | 200 A | 8,86 A | 7,5 A | 20 A | A | |
| | | 2021 | 8,33 A | 14,7 A | 5 A | 5,38 A | 500 A | 9,32 A | 4,28 A | 40 A | A | |
| 129299 | KORDIKY | 2020 | 25 A | 9,67 A | 12 A | 17,36 A | 500 A | 36,81 A | 15 A | 40 A | A | |
| | | 2021 | 100 A | 10,91 A | 12 A | 17,4 A | 500 A | 34,29 A | 7,5 A | 40 A | A | |
| 138699 | HORNA VES | 2020 | 10 A | 100 A | 12 A | 9,14 A | 167,78 A | 5,55 A | 10 A | 7,69 A | A | |
| | | 2021 | 12,5 A | 26,73 A | 12 A | 10,88 A | 178,57 A | 6,23 A | 4,28 A | 14,28 A | A | |

V – 083 Neovulkanity pohoria Poľany a časti Zvolenskej kotlinyplocha: 267.6 km²

| č. objektu | lokality | rok | NH ₄ ⁺ | NO ₃ ⁻ | CHSK _{5m} | vodivosť | Cl ⁻ | SO ₄ ²⁻ | TOC | As | bil.stav | ukazovateľ |
|------------|------------------------|------|------------------------------|------------------------------|--------------------|----------|-----------------|-------------------------------|-------|------|----------|------------|
| 511690 | DETVA - KOSTOLNA VN-16 | 2020 | 25 A | 7,32 A | 12 A | 5,29 A | 83,61 A | 18,24 A | 7,5 A | 40 A | A | |
| | | 2021 | 50 A | 8,41 A | 12 A | 5,45 A | 101,62 A | 16,55 A | 7,5 A | 40 A | A | |

NV – 084 Neogén Zvolenskej kotliny - východná časťplocha: 159.4 km²

| č. objektu | lokality | rok | NH ₄ ⁺ | NO ₃ ⁻ | CHSK _{5m} | vodivosť | Cl ⁻ | SO ₄ ²⁻ | TOC | As | bil.stav | ukazovateľ |
|------------|----------|------|------------------------------|------------------------------|--------------------|----------|-----------------|-------------------------------|--------|--------|----------|------------|
| 75390 | ZVOLEN | 2020 | 10 A | 1,63 A | 6 A | 1,08 B | 1,59 A | 4,71 A | 3,75 A | 5 A | B | vodivosť |
| | | 2021 | 16,66 A | 1,42 A | 5 A | 1,05 B | 1,47 A | 4,52 A | 3,33 A | 4,54 A | B | vodivosť |

G – 085 Kryštalinikum Detvianskej kotliny a Sihlianskej planiny v povodí Slatinyplocha: 107.1 km²**V – 086 Neovulkanity pohorí Vtáčnik a Pohronský Inovec**plocha: 622.4 km²

| č. objektu | lokality | rok | NH ₄ ⁺ | NO ₃ ⁻ | CHSK _{5m} | vodivosť | Cl ⁻ | SO ₄ ²⁻ | TOC | As | bil.stav | ukazovateľ |
|------------|--------------------------|------|------------------------------|------------------------------|--------------------|----------|-----------------|-------------------------------|------|--------|----------|------------|
| 513890 | LEHOTA POD VTACNIK.VN-38 | 2020 | 8,33 A | 19,76 A | 12 A | 9,05 A | 500 A | 92,59 A | 60 A | 3,12 A | A | |
| | | 2021 | 25 A | 11,44 A | 12 A | 10,77 A | 500 A | 33,51 A | 10 A | 5,88 A | A | |

N – 087 Neogén Žiarskej kotlinyplocha: 75.7 km²

| č. objektu | lokality | rok | NH ₄ ⁺ | NO ₃ ⁻ | CHSK _{tot} | vodivosť | Cl ⁻ | SO ₄ ²⁻ | TOC | As | bil.stav | ukazovateľ |
|------------|-----------------|------|------------------------------|------------------------------|---------------------|----------|-----------------|-------------------------------|-------|--------|----------|------------|
| 554490 | ZIAR NAD HRONOM | 2020 | 6,25 A | 100 A | 12 A | 2,16 A | 16,77 A | 16,89 A | 15 A | 0,04 C | C | As |
| | | 2021 | 100 A | 100 A | 7,5 A | 2,14 A | 15,33 A | 16,23 A | 7,5 A | 0,04 C | C | As |

V – 088 Neovulkanity S svahov Štiavnických vrchov a Javoriaplocha: 1003.2 km²

| č. objektu | lokality | rok | NH ₄ ⁺ | NO ₃ ⁻ | CHSK _{tot} | vodivosť | Cl ⁻ | SO ₄ ²⁻ | TOC | As | bil.stav | ukazovateľ |
|------------|-----------------------------|------|------------------------------|------------------------------|---------------------|----------|-----------------|-------------------------------|--------|---------|----------|--------------------------|
| 87290 | DOBRA NIVA | 2020 | 10 A | 11,9 A | 12 A | 3,89 A | 113,63 A | 27,41 A | 60 A | 20 A | A | |
| | | 2021 | 50 A | 11,99 A | 12 A | 3,98 A | 102,04 A | 17,73 A | 60 A | 40 A | A | |
| 87390 | PODZAMCOK | 2020 | 12,5 A | 12,01 A | 12 A | 5,14 A | 102,45 A | 40,06 A | 60 A | 14,28 A | A | |
| | | 2021 | 100 A | 12,22 A | 12 A | 5,29 A | 89,6 A | 32,76 A | 15 A | 16,66 A | A | |
| 139499 | PODHORIE | 2020 | 16,66 A | 6,88 A | 6 A | 2,4 A | 177,3 A | 5,1 A | 15 A | 5 A | A | |
| | | 2021 | 100 A | 9,17 A | 12 A | 2,39 A | 213,67 A | 4,96 A | 7,5 A | 4,54 A | A | |
| 142399 | BREHY | 2020 | 12,5 A | 17,36 A | 6 A | 3,48 A | 250 A | 3,61 A | 60 A | 40 A | A | |
| | | 2021 | 50 A | 19,68 A | 12 A | 3,38 A | 242,71 A | 3,21 A | 7,5 A | 20 A | A | |
| 145899 | PUKANEC, pr. ERGI STOLNA | 2020 | 16,66 A | 100 A | 12 A | 2,68 A | 200 A | 2,01 A | 30 A | 40 A | A | |
| | | 2021 | 50 A | 100 A | 12 A | 2,68 A | 225,22 A | 2,19 A | 15 A | 40 A | A | |
| 539290 | NOVA DEDINA-GONDOVO | 2020 | 1,47 A | 100 A | 1,11 A | 3,23 A | 154,32 A | 13,22 A | 0,9 C | 5,55 A | C | TOC |
| | | 2021 | 7,14 A | 100 A | 0,88 C | 3,27 A | 500 A | 12,56 A | 0,69 C | 6,25 A | C | CHSK _{Mn} , TOC |

GN – 089 Kryštalinikum Revúckej vrchoviny a Stolických vrchov v povodí Ipľaplocha: 522.5 km²**NQ – 090 Neogén Lučenskej kotliny**plocha: 303.8 km²

| č. objektu | lokality | rok | NH ₄ ⁺ | NO ₃ ⁻ | CHSK _{tot} | vodivosť | Cl ⁻ | SO ₄ ²⁻ | TOC | As | bil.stav | ukazovateľ |
|------------|-----------------------------|------|------------------------------|------------------------------|---------------------|----------|-----------------|-------------------------------|--------|---------|----------|------------|
| 85590 | VELKE DRAVCE - FIL.PUSTA | 2020 | 3,44 A | 63,29 A | 2,22 A | 1,42 A | 4,57 A | 1,92 A | 1,17 A | 11,11 A | A | |
| | | 2021 | 4,16 A | 64,1 A | 1,33 A | 1,46 A | 4,5 A | 1,93 A | 1 B | 11,11 A | B | TOC |
| 284990 | TOMASOVCE | 2020 | 25 A | 18,86 A | 12 A | 3,04 A | 8,77 A | 8,18 A | 8,57 A | 18,18 A | A | |
| | | 2021 | 28,57 A | 17,45 A | 8 A | 2,95 A | 7,4 A | 7,73 A | 5,45 A | 26,66 A | A | |

Q – 091 Kwartér Ipľaplocha: 194.3 km²

| č. objektu | lokality | rok | NH ₄ ⁺ | NO ₃ ⁻ | CHSK _{tot} | vodivosť | Cl ⁻ | SO ₄ ²⁻ | TOC | As | bil.stav | ukazovateľ |
|------------|----------------------------------|------|------------------------------|------------------------------|---------------------|----------|-----------------|-------------------------------|--------|---------|----------|-------------------------------|
| 80190 | MALE KOSIHY | 2020 | 2,08 A | 25,31 A | 3,75 A | 0,9 B | 6,83 A | 0,52 C | 1,42 A | 11,76 A | C | SO ₄ ²⁻ |
| | | 2021 | 8,33 A | 21,55 A | 3,15 A | 1,01 B | 6,18 A | 0,64 C | 1,39 A | 40 A | C | SO ₄ ²⁻ |
| 80590 | VYSKOVCE NAD IPLOM | 2020 | 7,14 A | 13,19 A | 2,3 A | 1,57 A | 15,57 A | 1,6 A | 1,5 A | 14,28 A | A | |
| | | 2021 | 18,18 A | 15,33 A | 3 A | 1,69 A | 18,45 A | 1,78 A | 1,3 A | 15,38 A | A | |
| 81490 | SELESTANY - SLOVENSKE DARMOTY | 2020 | 1,01 B | 6,77 A | 2,3 A | 1,14 A | 6,15 A | 1,83 A | 1,27 A | 5,4 A | B | NH ₄ ⁺ |
| | | 2021 | 1,42 A | 0,65 C | 2,6 A | 1,02 B | 7,64 A | 1,6 A | 1,22 A | 6,06 A | C | NO ₃ ⁻ |
| 83490 | KOVACOVCE | 2020 | 33,33 A | 0,65 C | 5,71 A | 1,56 A | 12,22 A | 2,55 A | 3,15 A | 16,66 A | C | NO ₃ ⁻ |
| | | 2021 | 40 A | 0,6 C | 12 A | 1,6 A | 13,85 A | 2,97 A | 2,14 A | 26,66 A | C | NO ₃ ⁻ |
| 84390 | VELKA NAD IPLOM | 2020 | 1,02 B | 100 A | 2,22 A | 1,81 A | 6,2 A | 1,75 A | 1,57 A | 23,52 A | B | NH ₄ ⁺ |
| | | 2021 | 1,19 A | 100 A | 1,76 A | 1,67 A | 5,8 A | 1,5 A | 1,46 A | 40 A | A | |
| 85090 | HOLISA | 2020 | 1,2 A | 46,29 A | 2,4 A | 1,78 A | 6,71 A | 1,21 A | 1,87 A | 3,44 A | A | |
| | | 2021 | 1,66 A | 6,28 A | 1,36 A | 1,56 A | 5,61 A | 1,13 A | 1,5 A | 40 A | A | |
| 158499 | VELKA VES N IPLOM,pr.CURGO | 2020 | 50 A | 2,31 A | 12 A | 1,43 A | 5,96 A | 3,91 A | 4,28 A | 40 A | A | |
| | | 2021 | 16,66 A | 2,17 A | 6 A | 1,43 A | 5,86 A | 3,62 A | 3,33 A | 40 A | A | |
| 281190 | KOSIHY NAD IPLOM | 2020 | 9,09 A | 6,42 A | 3 A | 1,11 A | 5,03 A | 1,24 A | 1,76 A | 5,88 A | A | |
| | | 2021 | 16,66 A | 11,08 A | 7,05 A | 1,13 A | 5,14 A | 1,25 A | 1,57 A | 7,14 A | A | |
| 284590 | MIKUSOVCE | 2020 | 0,64 C | 53,19 A | 3,42 A | 1,93 A | 7,86 A | 1,61 A | 1,46 A | 11,76 A | C | NH ₄ ⁺ |
| | | 2021 | 0,58 C | 53,76 A | 2,03 A | 2,25 A | 8,1 A | 2,28 A | 1,36 A | 13,33 A | C | NH ₄ ⁺ |

NV – 092 Neogén západnej časti Cerovej vrchovinyplocha: 224.1 km²

| č. objektu | lokalita | rok | NH ₄ ⁺ | NO ₃ ⁻ | CHSK _{5m} | vodivosť | Cl ⁻ | SO ₄ ²⁻ | TOC | As | bil.stav | ukazovateľ |
|------------|----------|------|------------------------------|------------------------------|--------------------|----------|-----------------|-------------------------------|--------|------|----------|------------|
| 150899 | RADZOVCE | 2020 | 25 A | 1,16 A | 12 A | 2,3 A | 12,01 A | 7,57 A | 3,75 A | 40 A | A | |
| | | 2021 | 25 A | 1,16 A | 12 A | 2,34 A | 12,07 A | 5,96 A | 3,75 A | 40 A | A | |

V – 093 Neovulkanity J svahov Štiavnických vrchov a Javoriaplocha: 290.0 km²**V – 094 Neovulkanity Krupinskej planiny, Ostrôžok a Pôtorskej pahorkatiny**plocha: 1430.7 km²

| č. objektu | lokalita | rok | NH ₄ ⁺ | NO ₃ ⁻ | CHSK _{5m} | vodivosť | Cl ⁻ | SO ₄ ²⁻ | TOC | As | bil.stav | ukazovateľ |
|------------|-------------------|------|------------------------------|------------------------------|--------------------|----------|-----------------|-------------------------------|--------|---------|----------|------------|
| 157799 | SENOHRAD | 2020 | 25 A | 5,77 A | 12 A | 6,06 A | 54,7 A | 31,68 A | 60 A | 20 A | A | |
| | | 2021 | 25 A | 5,31 A | 12 A | 6,39 A | 56,43 A | 21,73 A | 5 A | 16,66 A | A | |
| 512290 | MEDOVARCE VN-22 | 2020 | 10 A | 100 A | 12 A | 3,58 A | 116,27 A | 30,75 A | 30 A | 1,49 A | A | |
| | | 2021 | 7,14 A | 100 A | 12 A | 3,62 A | 133,68 A | 26,23 A | 10 A | 1,35 A | A | |
| 620690 | HONTIANSKE TESARE | 2020 | 10 A | 100 A | 6 A | 3,99 A | 81,16 A | 20 A | 1,11 A | 16,66 A | A | |
| | | 2021 | 16,66 A | 100 A | 5 A | 4,57 A | 105,48 A | 27,02 A | 1 B | 40 A | B | TOC |

NQ – 095 Neogén Ipeľskej kotlinyplocha: 368.5 km²

| č. objektu | lokalita | rok | NH ₄ ⁺ | NO ₃ ⁻ | CHSK _{5m} | vodivosť | Cl ⁻ | SO ₄ ²⁻ | TOC | As | bil.stav | ukazovateľ |
|------------|----------|------|------------------------------|------------------------------|--------------------|----------|-----------------|-------------------------------|-------|---------|----------|---|
| 157599 | CEBOVCE | 2020 | 2,63 A | 100 A | 3,33 A | 0,8 C | 2,61 A | 0,83 C | 1,2 A | 14,28 A | C | vodivosť, SO ₄ ²⁻ |
| | | 2021 | 2,94 A | 100 A | 12 A | 0,8 C | 2,65 A | 0,73 C | 1,3 A | 40 A | C | vodivosť, SO ₄ ²⁻ |

V – 096 Neovulkanity Burdyplocha: 28.2 km²**Q-M – 097 Paleogén a kvartér povodia Laborca po Brekov a mezozoikum Humenských vrchov**plocha: 1230.3 km²

| č. objektu | lokalita | rok | NH ₄ ⁺ | NO ₃ ⁻ | CHSK _{5m} | vodivosť | Cl ⁻ | SO ₄ ²⁻ | TOC | As | bil.stav | ukazovateľ |
|------------|----------------------------|------|------------------------------|------------------------------|--------------------|----------|-----------------|-------------------------------|--------|---------|----------|---------------------------|
| 113890 | VYSNE CABINY - KRASNÝ BROD | 2020 | 9,09 A | 66,66 A | 12 A | 0,9 B | 1,01 B | 10,22 A | 2,6 A | 4,16 A | B | vodivosť, Cl ⁻ |
| | | 2021 | 18,18 A | 35,21 A | 8 A | 1,05 B | 1,2 A | 11,41 A | 2 A | 8,69 A | B | vodivosť |
| 133690 | ROVNE | 2020 | 66,66 A | 4,45 A | 12 A | 2,37 A | 36,33 A | 7,94 A | 4,28 A | 23,52 A | A | |
| | | 2021 | 14,28 A | 4,34 A | 12 A | 2,28 A | 33,31 A | 8,54 A | 2,85 A | 40 A | A | |
| 135090 | KOSKOVCE | 2020 | 1,4 A | 41,15 A | 4,13 A | 1,52 A | 66,22 A | 1,57 A | 3 A | 18,18 A | A | |
| | | 2021 | 2,27 A | 54,94 A | 12 A | 1,65 A | 75,41 A | 2,41 A | 2,5 A | 40 A | A | |
| 160799 | CUKALOVCE | 2020 | 50 A | 3,18 A | 12 A | 1,98 A | 39,12 A | 8,27 A | 3,75 A | 40 A | A | |
| | | 2021 | 25 A | 3,87 A | 12 A | 2,1 A | 54,11 A | 8,71 A | 4,28 A | 40 A | A | |
| 314190 | LUBISA | 2020 | 40 A | 3,83 A | 1,3 A | 1,73 A | 8,14 A | 5 A | 0,9 C | 21,05 A | C | TOC |
| | | 2021 | 16,66 A | 10,85 A | 1,93 A | 1,94 A | 10,34 A | 6,04 A | 1,2 A | 23,52 A | A | |
| 314390 | BREKOV | 2020 | 8,33 A | 47,61 A | 2,5 A | 1,62 A | 4,49 A | 4,8 A | 2,22 A | 15,38 A | A | |
| | | 2021 | 6,25 A | 32,89 A | 2,6 A | 1,57 A | 4,03 A | 4,98 A | 1,81 A | 15,38 A | A | |
| 314890 | DLHE N/ CIROCHOU | 2020 | 20 A | 8,48 A | 1,46 A | 2,43 A | 10,43 A | 8,21 A | 1,22 A | 16,66 A | A | |
| | | 2021 | 14,28 A | 8,19 A | 2,72 A | 2,64 A | 12,07 A | 8,65 A | 1,87 A | 40 A | A | |

P – 098 Paleogén povodia Uhuplocha: 394.9 km²

| č. objektu | lokalita | rok | NH ₄ ⁺ | NO ₃ ⁻ | CHSK _{5m} | vodivosť | Cl ⁻ | SO ₄ ²⁻ | TOC | As | bil.stav | ukazovateľ |
|------------|---------------------------|------|------------------------------|------------------------------|--------------------|----------|-----------------|-------------------------------|--------|------|----------|------------|
| 165599 | RUSKA BYSTRA - POD DIELOM | 2020 | 16,66 A | 10,7 A | 12 A | 4,19 A | 54,34 A | 11,96 A | 7,5 A | 40 A | A | |
| | | 2021 | 25 A | 9,54 A | 12 A | 5 A | 97,27 A | 13,36 A | 3,33 A | 20 A | A | |

VN – 100 Neovulkanity Vihorlatských vrchovplocha: 535.7 km²

| č. objektu | lokalita | rok | NH ₄ ⁺ | NO ₃ ⁻ | CHSK _{Min} | vodivosť | Cl ⁻ | SO ₄ ²⁻ | TOC | As | bil.stav | ukazovateľ |
|------------|-----------------------|------|------------------------------|------------------------------|---------------------|----------|-----------------|-------------------------------|--------|---------|----------|---------------------|
| 169599 | PORUBKA - MOCIDLA | 2020 | 12,5 A | 20,32 A | 0,81 C | 7,38 A | 233,64 A | 66,84 A | 3,75 A | 40 A | C | CHSK _{Min} |
| | | 2021 | 25 A | 15,97 A | 0,93 B | 15,96 A | 500 A | 22,72 A | 0,76 C | 16,66 A | C | TOC |
| 522790 | PORUBA POD VIHORLATOM | 2020 | 25 A | 8,13 A | 12 A | 4,8 A | 247,52 A | 54,22 A | 60 A | 8,33 A | A | |
| | | 2021 | 50 A | 8,27 A | 12 A | 4,9 A | 500 A | 40,78 A | 10 A | 7,14 A | A | |

NQ – 101 Neogén Východoslovenskej nížiny medzi Laborcom a Čiernou vodouplocha: 231.5 km²

| č. objektu | lokalita | rok | NH ₄ ⁺ | NO ₃ ⁻ | CHSK _{Min} | vodivosť | Cl ⁻ | SO ₄ ²⁻ | TOC | As | bil.stav | ukazovateľ |
|------------|----------|------|------------------------------|------------------------------|---------------------|----------|-----------------|-------------------------------|------|---------|----------|------------|
| 124090 | JOVSA | 2020 | 4,54 A | 100 A | 12 A | 4,12 A | 114,67 A | 250 A | 60 A | 14,28 A | A | |
| | | 2021 | 4,54 A | 100 A | 12 A | 4,2 A | 114,15 A | 250 A | 10 A | 40 A | A | |

QN – 102 Kvartér SV časti Východoslovenskej nížiny pod Vihorlatom a Popričnýmplocha: 166.2 km²

| č. objektu | lokalita | rok | NH ₄ ⁺ | NO ₃ ⁻ | CHSK _{Min} | vodivosť | Cl ⁻ | SO ₄ ²⁻ | TOC | As | bil.stav | ukazovateľ |
|------------|-----------------|------|------------------------------|------------------------------|---------------------|----------|-----------------|-------------------------------|--------|---------|----------|------------------------------|
| 125190 | BLATNA POLIANKA | 2020 | 0,51 C | 42,37 A | 3,87 A | 1,36 A | 2,84 A | 250 A | 1,93 A | 5,26 A | C | NH ₄ ⁺ |
| | | 2021 | 0,48 C | 100 A | 1,07 B | 1,38 A | 2,98 A | 250 A | 1,66 A | 3,57 A | C | NH ₄ ⁺ |
| 324290 | UBREZ | 2020 | 9,09 A | 0,62 C | 4 A | 1,63 A | 4,48 A | 3,36 A | 2,06 A | 14,28 A | C | NO ₃ ⁻ |
| | | 2021 | 18,18 A | 0,68 C | 1,03 B | 1,8 A | 6,23 A | 3,63 A | 1,39 A | 14,28 A | C | NO ₃ ⁻ |

QN – 103 Kvartér dolnej časti tokov Uh. Laborec. Ondava a pravej strany Latoriceplocha: 350.1 km²

| č. objektu | lokalita | rok | NH ₄ ⁺ | NO ₃ ⁻ | CHSK _{Min} | vodivosť | Cl ⁻ | SO ₄ ²⁻ | TOC | As | bil.stav | ukazovateľ |
|------------|-----------|------|------------------------------|------------------------------|---------------------|----------|-----------------|-------------------------------|--------|---------|----------|------------------------------|
| 133990 | CICAROVCE | 2020 | 0,99 B | 100 A | 12 A | 2,93 A | 37,62 A | 250 A | 4,28 A | 3,38 A | B | NH ₄ ⁺ |
| | | 2021 | 0,24 C | 33,33 A | 7,05 A | 2,69 A | 19,3 A | 4,03 A | 2,4 A | 23,52 A | C | NH ₄ ⁺ |

QN – 104 Kvartér JV časti Východoslovenskej nížinyplocha: 379.2 km²

| č. objektu | lokalita | rok | NH ₄ ⁺ | NO ₃ ⁻ | CHSK _{Min} | vodivosť | Cl ⁻ | SO ₄ ²⁻ | TOC | As | bil.stav | ukazovateľ |
|------------|----------------|------|------------------------------|------------------------------|---------------------|----------|-----------------|-------------------------------|--------|--------|----------|------------------------------|
| 120290 | VELKY HORES | 2020 | 0,49 C | 54,34 A | 2 A | 1,97 A | 7,29 A | 233,64 A | 1,2 A | 5,12 A | C | NH ₄ ⁺ |
| | | 2021 | 0,52 C | 52,91 A | 1,42 A | 1,86 A | 6,04 A | 42,37 A | 1,11 A | 6,25 A | C | NH ₄ ⁺ |
| 120490 | POLANY | 2020 | 3,84 A | 18,38 A | 2,35 A | 1,5 A | 2,85 A | 4,43 A | 1,87 A | 40 A | A | |
| | | 2021 | 4,16 A | 4,18 A | 2,72 A | 1,44 A | 3,03 A | 3,84 A | 1,57 A | 40 A | A | |
| 120990 | BOTANY-KOLONIA | 2020 | 1,29 A | 29,85 A | 12 A | 2,18 A | 10,68 A | 8,71 A | 4 A | 40 A | A | |
| | | 2021 | 1,25 A | 16,5 A | 3,75 A | 2,03 A | 12,5 A | 7,73 A | 3 A | 40 A | A | |
| 503290 | BACKA N-32 | 2020 | 0,52 C | 100 A | 1,66 A | 2,43 A | 19,37 A | 250 A | 1,5 A | 8,33 A | C | NH ₄ ⁺ |
| | | 2021 | 0,44 C | 44,24 A | 2,72 A | 2,4 A | 21,73 A | 250 A | 1,42 A | 2,85 A | C | NH ₄ ⁺ |

PQ – 105 Paleogén povodia Ondavy po Kučínplocha: 1241.4 km²

| č. objektu | lokalita | rok | NH ₄ ⁺ | NO ₃ ⁻ | CHSK _{Min} | vodivosť | Cl ⁻ | SO ₄ ²⁻ | TOC | As | bil.stav | ukazovateľ |
|------------|-----------------------|------|------------------------------|------------------------------|---------------------|----------|-----------------|-------------------------------|--------|------|----------|------------|
| 137990 | MINOVCE | 2020 | 20 A | 19,64 A | 12 A | 1,81 A | 22,02 A | 3,33 A | 3,75 A | 40 A | A | |
| | | 2021 | 6,06 A | 16,77 A | 12 A | 1,93 A | 26,09 A | 3,78 A | 2,6 A | 40 A | A | |
| 172999 | BUKOVCE | 2020 | 16,66 A | 4,69 A | 12 A | 2,12 A | 166,66 A | 10,35 A | 15 A | 40 A | A | |
| | | 2021 | 20 A | 4,88 A | 12 A | 2,18 A | 187,26 A | 9,19 A | 5 A | 40 A | A | |
| 173599 | BELEJOVCE - PASTIVNIK | 2020 | 25 A | 7,78 A | 12 A | 2,96 A | 65,96 A | 8,59 A | 15 A | 40 A | A | |
| | | 2021 | 25 A | 7,33 A | 12 A | 3,1 A | 77,16 A | 9,29 A | 10 A | 40 A | A | |
| 173999 | JASENOVCE | 2020 | 16,66 A | 5,44 A | 12 A | 1,67 A | 121,95 A | 4,59 A | 5 A | 40 A | A | |
| | | 2021 | 16,66 A | 5,15 A | 6 A | 1,7 A | 100,8 A | 4,15 A | 2 A | 40 A | A | |
| 334590 | STROCIN | 2020 | 33,33 A | 3,06 A | 12 A | 1,94 A | 5,74 A | 9,72 A | 4 A | 40 A | A | |
| | | 2021 | 28,57 A | 4,23 A | 12 A | 1,69 A | 4,24 A | 9,12 A | 4 A | 40 A | A | |
| 334690 | STROPKOV-SITNIK | 2020 | 16,66 A | 9,06 A | 5,21 A | 1,88 A | 22,72 A | 3,79 A | 2,6 A | 40 A | A | |
| | | 2021 | 40 A | 8,05 A | 12 A | 1,58 A | 21,45 A | 3,84 A | 3 A | 40 A | A | |

QN – 106 Kvartér Ondavy a Tople od Slovenskej Kajne po Trebišovplocha: 248.4 km²

| č. objektu | lokality | rok | NH ₄ ⁺ | NO ₃ ⁻ | CHSK _{Mn} | vodivosť | Cl ⁻ | SO ₄ ²⁻ | TOC | As | bil.stav | ukazovateľ |
|------------|------------------------------|------|------------------------------|------------------------------|--------------------|----------|-----------------|-------------------------------|--------|---------|----------|---|
| 115690 | VRANOV NAD TOPLOU - HENCOVCE | 2020 | 0,45 C | 24,39 A | 1,42 A | 1,03 B | 10,2 A | 9,92 A | 1,01 B | 3,92 A | C | NH ₄ ⁺ |
| | | 2021 | 0,5 C | 25,64 A | 1,93 A | 1,01 B | 10,68 A | 9,2 A | 0,86 C | 2,81 A | C | NH ₄ ⁺ , TOC |
| 116390 | HRIADKY | 2020 | 1,92 A | 35,46 A | 7,05 A | 0,98 B | 1,76 A | 2,13 A | 1,81 A | 2,43 A | B | vodivosť |
| | | 2021 | 1,75 A | 100 A | 1,3 A | 0,99 B | 1,81 A | 2,02 A | 1,57 A | 2,85 A | B | vodivosť |
| 327790 | TREBISOV-OLSINA | 2020 | 0,36 C | 44,84 A | 0,8 C | 1,31 A | 75,64 A | 250 A | 0,44 C | 2,24 A | C | NH ₄ ⁺ , CHSK _{Mn} , TOC |
| | | 2021 | 0,46 C | 100 A | 0,41 C | 1,34 A | 86,2 A | 148,36 A | 0,41 C | 2,4 A | C | NH ₄ ⁺ , CHSK _{Mn} , TOC |
| 630490 | SACUROV | 2020 | 40 A | 1,53 A | 4 A | 1,56 A | 4,28 A | 2,22 A | 2,4 A | 13,33 A | A | |
| | | 2021 | 22,22 A | 1,44 A | 12 A | 1,87 A | 12,56 A | 2,46 A | 2,6 A | 23,52 A | A | |

N – 107 Neogén Pozdišovského chrbta a Malčickej tabuleplocha: 174.2 km²**Q – 108 Kvartér Laborca od Strážskeho po Stretavu**plocha: 204.2 km²

| č. objektu | lokality | rok | NH ₄ ⁺ | NO ₃ ⁻ | CHSK _{Mn} | vodivosť | Cl ⁻ | SO ₄ ²⁻ | TOC | As | bil.stav | ukazovateľ |
|------------|--------------------|------|------------------------------|------------------------------|--------------------|----------|-----------------|-------------------------------|--------|---------|----------|------------------------------|
| 117090 | STRAZSKE | 2020 | 28,57 A | 1,66 A | 4,28 A | 1,42 A | 6,67 A | 3,46 A | 2,72 A | 26,66 A | A | |
| | | 2021 | 28,57 A | 1 B | 4,28 A | 1,18 A | 5,73 A | 2,31 A | 1,66 A | 40 A | B | NO ₃ ⁻ |
| 123190 | MICHALOVCE - MEDOV | 2020 | 9,09 A | 3,64 A | 7,05 A | 1,22 A | 9,17 A | 1,32 A | 2,6 A | 40 A | A | |
| | | 2021 | 5,88 A | 0,46 C | 4,28 A | 1,2 A | 10,54 A | 1,46 A | 2,06 A | 40 A | C | NO ₃ ⁻ |
| 318290 | NACINA VES | 2020 | 1,21 A | 44,84 A | 5,71 A | 1,29 A | 3,76 A | 2,26 A | 2,22 A | 3,7 A | A | |
| | | 2021 | 1,28 A | 100 A | 1,09 B | 1,26 A | 3,5 A | 2,13 A | 1,93 A | 3,33 A | B | CHSK _{Mn} |

P – 109 Paleogén Čergovaplocha: 593.8 km²

| č. objektu | lokality | rok | NH ₄ ⁺ | NO ₃ ⁻ | CHSK _{Mn} | vodivosť | Cl ⁻ | SO ₄ ²⁻ | TOC | As | bil.stav | ukazovateľ |
|------------|------------|------|------------------------------|------------------------------|--------------------|----------|-----------------|-------------------------------|--------|------|----------|------------|
| 184699 | KRIVE | 2020 | 7,14 A | 9,24 A | 12 A | 2,87 A | 76,21 A | 9,29 A | 15 A | 40 A | A | |
| | | 2021 | 50 A | 10,79 A | 30 A | 2,98 A | 81,69 A | 7,98 A | 6 A | 40 A | A | |
| 226999 | JAKUBOVANY | 2020 | 8,33 A | 5,15 A | 12 A | 1,88 A | 83,33 A | 5,12 A | 4,28 A | 40 A | A | |
| | | 2021 | 100 A | 4,71 A | 12 A | 1,87 A | 79,87 A | 4,63 A | 3 A | 40 A | A | |

PQ – 110 Paleogén Nízkych Beskýd v povodí Topleplocha: 952.9 km²

| č. objektu | lokality | rok | NH ₄ ⁺ | NO ₃ ⁻ | CHSK _{Mn} | vodivosť | Cl ⁻ | SO ₄ ²⁻ | TOC | As | bil.stav | ukazovateľ |
|------------|----------|------|------------------------------|------------------------------|--------------------|----------|-----------------|-------------------------------|--------|---------|----------|------------|
| 131190 | KOMAROV | 2020 | 16,66 A | 100 A | 3,15 A | 1,91 A | 78,61 A | 9,45 A | 2,4 A | 23,52 A | A | |
| | | 2021 | 28,57 A | 52,91 A | 2,6 A | 1,73 A | 81,56 A | 9,14 A | 2 A | 40 A | A | |
| 131390 | DUBINNE | 2020 | 25 A | 60,6 A | 5 A | 1,33 A | 9,96 A | 4,38 A | 1,53 A | 26,66 A | A | |
| | | 2021 | 40 A | 15,74 A | 4,61 A | 1,41 A | 12,01 A | 5,95 A | 1,53 A | 40 A | A | |
| 135990 | MARHAN | 2020 | 40 A | 30,58 A | 5,21 A | 1,21 A | 9,72 A | 4,01 A | 1,62 A | 40 A | A | |
| | | 2021 | 66,66 A | 28,01 A | 5,21 A | 1,23 A | 11,65 A | 3,21 A | 1,36 A | 40 A | A | |

VN – 111 Neovulkanity Slanských vrchovplocha: 794.9 km²

| č. objektu | lokality | rok | NH ₄ ⁺ | NO ₃ ⁻ | CHSK _{Mn} | vodivosť | Cl ⁻ | SO ₄ ²⁻ | TOC | As | bil.stav | ukazovateľ |
|------------|------------------------|------|------------------------------|------------------------------|--------------------|----------|-----------------|-------------------------------|--------|---------|----------|------------|
| 177799 | HERMANOVCE N/T | 2020 | 25 A | 8,46 A | 12 A | 8,12 A | 147,92 A | 11,73 A | 4,28 A | 9,09 A | A | |
| | | 2021 | 100 A | 8,19 A | 6 A | 9,13 A | 138,88 A | 10,63 A | 2,72 A | 11,11 A | A | |
| 182199 | SLANSKA HUTA | 2020 | 25 A | 5,06 A | 12 A | 8,46 A | 126,9 A | 13,02 A | 5 A | 20 A | A | |
| | | 2021 | 100 A | 5,13 A | 12 A | 8,77 A | 128,86 A | 10,72 A | 3,75 A | 16,66 A | A | |
| 228799 | KOS.KLECENOV | 2020 | 25 A | 20 A | 12 A | 4,08 A | 35,91 A | 10,08 A | 30 A | 6,66 A | A | |
| | | 2021 | 25 A | 21,18 A | 12 A | 3,28 A | 8,25 A | 9,84 A | 4,28 A | 6,66 A | A | |
| 229199 | NIZNA MYSLA - KOSCELEK | 2020 | 12,5 A | 32,25 A | 12 A | 3,75 A | 130,89 A | 16,44 A | 60 A | 2,12 A | A | |
| | | 2021 | 50 A | 40 A | 12 A | 3,85 A | 142,04 A | 12,31 A | 15 A | 2,22 A | A | |
| 229299 | LUCINA | 2020 | 16,66 A | 10,82 A | 3 A | 11,7 A | 165,56 A | 15,06 A | 1,5 A | 16,66 A | A | |
| | | 2021 | 100 A | 12,43 A | 1,57 A | 12,74 A | 166,66 A | 12,07 A | 1 B | 12,5 A | B | TOC |

N – 112 Neogén západnej časti Východoslovenskej nížinyplocha: 448.4 km²

| č. objektu | lokality | rok | NH ₄ ⁺ | NO ₃ ⁻ | CHSK _{5in} | vodivosť | Cl ⁻ | SO ₄ ²⁻ | TOC | As | bil.stav | ukazovateľ |
|------------|----------|------|------------------------------|------------------------------|---------------------|----------|-----------------|-------------------------------|--------|------|----------|------------------------------|
| 184899 | CAKLOV | 2020 | 25 A | 1,01 B | 12 A | 2,08 A | 3,84 A | 5,82 A | 7,5 A | 20 A | B | NO ₃ ⁻ |
| | | 2021 | 100 A | 0,98 B | 12 A | 2,22 A | 4,2 A | 4,26 A | 4,28 A | 40 A | B | NO ₃ ⁻ |
| 513190 | BACKOV | 2020 | 0,52 C | 100 A | 12 A | 1,73 A | 82,5 A | 15,82 A | 6 A | 40 A | C | NH ₄ ⁺ |
| | | 2021 | 0,6 C | 100 A | 12 A | 1,72 A | 89,92 A | 13,81 A | 4,28 A | 40 A | C | NH ₄ ⁺ |

NG – 113 Paleozoikum a mladšie horniny Zemplínskych vrchovplocha: 99.7 km²

| č. objektu | lokality | rok | NH ₄ ⁺ | NO ₃ ⁻ | CHSK _{5in} | vodivosť | Cl ⁻ | SO ₄ ²⁻ | TOC | As | bil.stav | ukazovateľ |
|------------|----------|------|------------------------------|------------------------------|---------------------|----------|-----------------|-------------------------------|--------|--------|----------|---|
| 522690 | LADMOVCE | 2020 | 9,09 A | 30,86 A | 6,31 A | 0,94 B | 25,06 A | 0,83 C | 8,57 A | 4 A | C | SO ₄ ²⁻ |
| | | 2021 | 10,52 A | 21,03 A | 12 A | 1 B | 25,14 A | 0,91 B | 4,13 A | 7,54 A | B | vodivosť, SO ₄ ²⁻ |

Q – 114 Kvartér dolného toku Roňavyplocha: 25.8 km²

| č. objektu | lokality | rok | NH ₄ ⁺ | NO ₃ ⁻ | CHSK _{5in} | vodivosť | Cl ⁻ | SO ₄ ²⁻ | TOC | As | bil.stav | ukazovateľ |
|------------|----------------------|------|------------------------------|------------------------------|---------------------|----------|-----------------|-------------------------------|--------|---------|----------|------------------------------|
| 121690 | SLOVENSKE NOVE MESTO | 2020 | 16,66 A | 1,19 A | 12 A | 1,84 A | 4,36 A | 3,47 A | 5 A | 1,31 A | A | |
| | | 2021 | 25 A | 1,22 A | 12 A | 1,6 A | 2,54 A | 3,77 A | 3,33 A | 1,33 A | A | |
| 337090 | BORSA | 2020 | 11,11 A | 0,94 B | 12 A | 1,14 A | 2,27 A | 2,62 A | 5 A | 16,66 A | B | NO ₃ ⁻ |
| | | 2021 | 9,09 A | 0,83 C | 12 A | 1,12 A | 2,15 A | 2,72 A | 3,33 A | 23,52 A | C | NO ₃ ⁻ |

PQ – 115 Paleogén Hornádskej a časti Popradskej kotlinyplocha: 608.7 km²**MG – 116 Mezozoikum Slovenského raja a Havraních vrchov s príľahlým paleozoikom**plocha: 280.9 km²

| č. objektu | lokality | rok | NH ₄ ⁺ | NO ₃ ⁻ | CHSK _{5in} | vodivosť | Cl ⁻ | SO ₄ ²⁻ | TOC | As | bil.stav | ukazovateľ |
|------------|-------------|------|------------------------------|------------------------------|---------------------|----------|-----------------|-------------------------------|--------|---------|----------|------------|
| 211799 | SMIZANY | 2020 | 25 A | 13,37 A | 5 A | 2,15 A | 242,13 A | 2,32 A | 2,66 A | 22,85 A | A | |
| | | 2021 | 50 A | 14,3 A | 5,45 A | 2,19 A | 500 A | 2,26 A | 2,79 A | 19,51 A | A | |
| 215499 | D.LAD.JASK. | 2020 | 40 A | 6,21 A | 7,74 A | 3,18 A | 223,71 A | 5,68 A | 5,71 A | 40 A | A | |
| | | 2021 | 23,52 A | 6,55 A | 6,31 A | 3,12 A | 303,03 A | 5,32 A | 4,61 A | 40 A | A | |

MG – 117 Mezozoikum Galmusa s príľahlým paleozoikomplocha: 110.0 km²

| č. objektu | lokality | rok | NH ₄ ⁺ | NO ₃ ⁻ | CHSK _{5in} | vodivosť | Cl ⁻ | SO ₄ ²⁻ | TOC | As | bil.stav | ukazovateľ |
|------------|-------------------------|------|------------------------------|------------------------------|---------------------|----------|-----------------|-------------------------------|--------|---------|----------|------------|
| 210799 | SPISSKE VLACHY - U JANA | 2020 | 16,66 A | 9,03 A | 6,85 A | 2 A | 219,78 A | 2,2 A | 3,07 A | 40 A | A | |
| | | 2021 | 14,28 A | 10,02 A | 8,88 A | 2,27 A | 500 A | 3,2 A | 2,55 A | 29,62 A | A | |

G – 118 Paleozoikum Slovenského rudohoria v povodí Hornáduplocha: 791.7 km²

| č. objektu | lokality | rok | NH ₄ ⁺ | NO ₃ ⁻ | CHSK _{5in} | vodivosť | Cl ⁻ | SO ₄ ²⁻ | TOC | As | bil.stav | ukazovateľ |
|------------|----------------------|------|------------------------------|------------------------------|---------------------|----------|-----------------|-------------------------------|--------|--------|----------|------------|
| 216399 | UHORNA - POD JAVOROM | 2020 | 14,28 A | 14,77 A | 12 A | 16,75 A | 219,29 A | 22,23 A | 20 A | 40 A | A | |
| | | 2021 | 14,28 A | 14,14 A | 12 A | 17,48 A | 500 A | 24,22 A | 7,5 A | 40 A | A | |
| 223099 | OPATKA | 2020 | 20 A | 9,71 A | 12 A | 2,52 A | 500 A | 15,89 A | 7,05 A | 40 A | A | |
| | | 2021 | 22,22 A | 10,03 A | 12 A | 2,58 A | 500 A | 16,86 A | 4,28 A | 40 A | A | |
| 322390 | KOLINOVCE | 2020 | 14,28 A | 4,44 A | 6 A | 1,55 A | 2,2 A | 6,21 A | 4 A | 3,7 A | A | |
| | | 2021 | 14,28 A | 4 A | 7,05 A | 1,59 A | 2,15 A | 5,51 A | 2,6 A | 4,87 A | A | |
| 553690 | NALEPKOVO K-36 | 2020 | 14,28 A | 8,34 A | 12 A | 23,14 A | 500 A | 34,48 A | 24 A | 40 A | A | |
| | | 2021 | 13,79 A | 10,35 A | 1,45 A | 25,18 A | 500 A | 43,27 A | 8 A | 40 A | A | |

P – 119 Paleogén Levočských vrchovplocha: 734.8 km²

| č. objektu | lokality | rok | NH ₄ ⁺ | NO ₃ ⁻ | CHSK _{Mn} | vodivosť | Cl ⁻ | SO ₄ ²⁻ | TOC | As | bil.stav | ukazovateľ |
|------------|--------------------------|------|------------------------------|------------------------------|--------------------|----------|-----------------|-------------------------------|--------|--------|----------|------------|
| 99490 | KEZMAROK | 2020 | 1,28 A | 100 A | 3 A | 1,26 A | 4,44 A | 2,55 A | 1,5 A | 1,07 B | B | As |
| | | 2021 | 4,16 A | 100 A | 2,72 A | 1,24 A | 5,25 A | 1,83 A | 1,15 A | 1,35 A | A | |
| 234799 | TICHY POTOK - BUJACIAREN | 2020 | 25 A | 4,16 A | 12 A | 3,9 A | 168,91 A | 8,33 A | 5 A | 40 A | A | |
| | | 2021 | 25 A | 2,71 A | 2,5 A | 5,14 A | 148,8 A | 9,36 A | 1,3 A | 40 A | A | |
| 243099 | IHLANY - ZIMNA STUDNA | 2020 | 16,66 A | 15,72 A | 6 A | 3,79 A | 500 A | 9,19 A | 3,75 A | 40 A | A | |
| | | 2021 | 25 A | 13,19 A | 12 A | 4,52 A | 500 A | 10,68 A | 3,33 A | 40 A | A | |

QP – 120 Paleogén Spišsko-šarišského medzihoria. Bachurne a Šarišskej vrchoviny v povodí Torysyplocha: 292.8 km²

| č. objektu | lokality | rok | NH ₄ ⁺ | NO ₃ ⁻ | CHSK _{Mn} | vodivosť | Cl ⁻ | SO ₄ ²⁻ | TOC | As | bil.stav | ukazovateľ |
|------------|-----------|------|------------------------------|------------------------------|--------------------|----------|-----------------|-------------------------------|--------|------|----------|------------|
| 306390 | ROZKOVANY | 2020 | 40 A | 2,12 A | 12 A | 1,58 A | 14,24 A | 5,51 A | 8,57 A | 40 A | A | |
| | | 2021 | 25 A | 1,88 A | 12 A | 1,64 A | 24 A | 6,31 A | 4,61 A | 40 A | A | |

MG – 121 Mezozoikum a paleozoikum Braniskaplocha: 121.2 km²**P – 122 Paleogén povodia Svinky**plocha: 286.3 km²**NQ – 123 Neogén východnej časti Košickej kotliny**plocha: 437.5 km²

| č. objektu | lokality | rok | NH ₄ ⁺ | NO ₃ ⁻ | CHSK _{Mn} | vodivosť | Cl ⁻ | SO ₄ ²⁻ | TOC | As | bil.stav | ukazovateľ |
|------------|-------------------|------|------------------------------|------------------------------|--------------------|----------|-----------------|-------------------------------|--------|---------|----------|--|
| 103090 | KOSICKA POLIANKA | 2020 | - | - | - | - | - | - | - | - | - | |
| | | 2021 | 5,55 A | 100 A | 1,07 B | 1,12 A | 4,57 A | 1,5 A | 1,66 A | 8,33 A | B | CHSK _{Mn} |
| 103490 | ROZHANOVCE | 2020 | 1,47 A | 0,55 C | 1,57 A | 0,8 C | 5,12 A | 2,07 A | 0,75 C | 2,35 A | C | NO ₃ ⁻ , vodivosť, TOC |
| | | 2021 | 1,36 A | 0,9 B | 1,66 A | 0,98 B | 6,66 A | 2,94 A | 0,88 C | 2,73 A | C | TOC |
| 104490 | LEMESANY-CHABZANY | 2020 | 1,72 A | 66,66 A | 4,61 A | 0,95 B | 4,19 A | 1,35 A | 1,5 A | 1,19 A | B | vodivosť |
| | | 2021 | 2,04 A | 100 A | 2,72 A | 0,98 B | 4,43 A | 1,85 A | 1,53 A | 1,39 A | B | vodivosť |
| 126290 | PRESOV-HANISKA | 2020 | 20 A | 1,84 A | 1,73 A | 1,36 A | 4,42 A | 1,68 A | 1,42 A | 10,52 A | A | |
| | | 2021 | 14,28 A | 2,35 A | 7,05 A | 1,45 A | 5,27 A | 1,81 A | 2 A | 19,04 A | A | |
| 227399 | KOSICKE OLSANY | 2020 | 7,14 A | 1,77 A | 12 A | 1,64 A | 9,96 A | 4,58 A | 7,5 A | 7,14 A | A | |
| | | 2021 | 25 A | 1,61 A | 12 A | 1,69 A | 9,8 A | 4,35 A | 5 A | 7,69 A | A | |
| 311890 | PRESOV | 2020 | 1,08 B | 1,21 A | 12 A | 1,25 A | 4,82 A | 3,23 A | 4,28 A | 23,52 A | B | NH ₄ ⁺ |
| | | 2021 | 1,16 A | 1,15 A | 7,05 A | 1,18 A | 4,08 A | 3,23 A | 2,85 A | 40 A | A | |

MG – 124 Mezozoikum a kryštalinikum Čiernej horyplocha: 264.0 km²

| č. objektu | lokality | rok | NH ₄ ⁺ | NO ₃ ⁻ | CHSK _{Mn} | vodivosť | Cl ⁻ | SO ₄ ²⁻ | TOC | As | bil.stav | ukazovateľ |
|------------|-------------------------------|------|------------------------------|------------------------------|--------------------|----------|-----------------|-------------------------------|--------|---------|----------|------------|
| 122790 | DRUZSTEVNA - P.H. - M. VIESKA | 2020 | 16,66 A | 8,35 A | 12 A | 1,72 A | 39,27 A | 5,8 A | 10 A | 40 A | A | |
| | | 2021 | 25 A | 7,77 A | 12 A | 1,73 A | 34,38 A | 4,97 A | 5 A | 40 A | A | |
| 223199 | MIKLUSOVCE - POD OBISLANKOU | 2020 | 16,66 A | 18,45 A | 5 A | 3,62 A | 116,82 A | 8,31 A | 2,4 A | 20 A | A | |
| | | 2021 | 28,57 A | 17,98 A | 3,38 A | 3,52 A | 130,2 A | 7,62 A | 1,84 A | 20,51 A | A | |
| 322490 | VELKA LODINA | 2020 | 14,28 A | 10,47 A | 12 A | 2,25 A | 310,55 A | 9,82 A | 8,57 A | 40 A | A | |
| | | 2021 | 25 A | 6,29 A | 4,44 A | 2,3 A | 224,21 A | 8,66 A | 4 A | 40 A | A | |

Q – 125 Kwartér Hornádu v Košickej kotlineplocha: 201.5 km²

| č. objektu | lokality | rok | NH ₄ ⁺ | NO ₃ ⁻ | CHSK _{Min} | vodivosť | Cl ⁻ | SO ₄ ²⁻ | TOC | As | bil.stav | ukazovateľ |
|------------|---------------------|------|------------------------------|------------------------------|---------------------|----------|-----------------|-------------------------------|--------|---------|----------|------------------------------|
| 107890 | CANA | 2020 | 25 A | 1,13 A | 4,28 A | 1,29 A | 4,62 A | 3,4 A | 2,5 A | 6,25 A | A | |
| | | 2021 | - | - | - | - | - | - | - | - | - | - |
| 107990 | TRSTENE PRI HORNADE | 2020 | 3,57 A | 42,01 A | 3 A | 1,79 A | 13,81 A | 4,94 A | 3,33 A | 1,44 A | A | |
| | | 2021 | 4,34 A | 61,72 A | 5 A | 1,78 A | 13,77 A | 4,44 A | 2,3 A | 3,57 A | A | |
| 112290 | KOSICE-KRASNA | 2020 | 11,11 A | 1,55 A | 12 A | 1,56 A | 6,38 A | 3,95 A | 5,45 A | 13,33 A | A | |
| | | 2021 | 40 A | 1,19 A | 8 A | 1,42 A | 4,79 A | 3,7 A | 3,52 A | 15,38 A | A | |
| 302890 | KOSICE pod /KRASNA/ | 2020 | 16,66 A | 2,24 A | 6,31 A | 2 A | 17,12 A | 5,35 A | 6 A | 13,33 A | A | |
| | | 2021 | 25 A | 1,26 A | 12 A | 1,9 A | 15,15 A | 4,28 A | 4,28 A | 12,5 A | A | |
| 308090 | SENA | 2020 | 0,96 B | 60,24 A | 5,71 A | 1,98 A | 11,36 A | 4,85 A | 2,5 A | 14,28 A | B | NH ₄ ⁺ |
| | | 2021 | 0,59 C | 66,22 A | 2,6 A | 2,03 A | 14,16 A | 5,03 A | 2,3 A | 1,88 A | C | NH ₄ ⁺ |

M – 126 Mezozoikum Muránskej planiny a V časti Heľpianskeho podolia a príľahlé kryštalinikumplocha: 310.9 km²

| č. objektu | lokality | rok | NH ₄ ⁺ | NO ₃ ⁻ | CHSK _{Min} | vodivosť | Cl ⁻ | SO ₄ ²⁻ | TOC | As | bil.stav | ukazovateľ |
|------------|--------------------|------|------------------------------|------------------------------|---------------------|----------|-----------------|-------------------------------|--------|---------|----------|------------|
| 120499 | SUMIAC | 2020 | 25 A | 12,97 A | 6,31 A | 5,14 A | 244,49 A | 7,46 A | 8,57 A | 13,33 A | A | |
| | | 2021 | 14,28 A | 15,79 A | 8,88 A | 4,88 A | 500 A | 6,82 A | 6,31 A | 13,79 A | A | |
| 190799 | MURAN - POD HRADOM | 2020 | 25 A | 9,88 A | 1,62 A | 3,46 A | 500 A | 40,96 A | 1,44 A | 32 A | A | |
| | | 2021 | 28,57 A | 6,6 A | 2,18 A | 3,41 A | 500 A | 42,15 A | 1,69 A | 40 A | A | |
| 195299 | TISOVEC | 2020 | 26,66 A | 5,5 A | 7,74 A | 2,73 A | 500 A | 18,93 A | 5,21 A | 40 A | A | |
| | | 2021 | 12,12 A | 5,9 A | 8,88 A | 2,73 A | 500 A | 17,54 A | 5 A | 40 A | A | |

G – 127 Kryštalinikum Stolických vrchov a Revúckej vrchoviny v povodí Slanejplocha: 780.9 km²

| č. objektu | lokality | rok | NH ₄ ⁺ | NO ₃ ⁻ | CHSK _{Min} | vodivosť | Cl ⁻ | SO ₄ ²⁻ | TOC | As | bil.stav | ukazovateľ |
|------------|----------|------|------------------------------|------------------------------|---------------------|----------|-----------------|-------------------------------|--------|---------|----------|---------------------------|
| 93890 | REVUCA | 2020 | 33,33 A | 2,42 A | 5,21 A | 2,27 A | 106,83 A | 10,06 A | 3,15 A | 40 A | A | |
| | | 2021 | - | - | - | - | - | - | - | - | - | - |
| 93790 | REVUCA | 2020 | - | - | - | - | - | - | - | - | - | |
| | | 2021 | 11,11 A | 5,31 A | 1,87 A | 2,55 A | 107,99 A | 9,19 A | 2,85 A | 40 A | A | |
| 94090 | JELSAVA | 2020 | 12,5 A | 9,14 A | 0,72 C | 1,03 B | 15,92 A | 6,67 A | 0,73 C | 2,46 A | C | CHSK _{Min} , TOC |
| | | 2021 | 15,38 A | 11,45 A | 1,3 A | 1,11 A | 13,77 A | 7,49 A | 1,33 A | 4,08 A | A | |
| 197399 | KLENOVEC | 2020 | 8,33 A | 19,68 A | 12 A | 15,52 A | 500 A | 16,55 A | 5 A | 16,66 A | A | |
| | | 2021 | 50 A | 23,92 A | 12 A | 17,05 A | 242,71 A | 14,7 A | 2,72 A | 10 A | A | |

G – 128 Paleozoikum Revúckej vrchoviny a Volovských vrchov v povodí Slanejplocha: 531.7 km²

| č. objektu | lokality | rok | NH ₄ ⁺ | NO ₃ ⁻ | CHSK _{Min} | vodivosť | Cl ⁻ | SO ₄ ²⁻ | TOC | As | bil.stav | ukazovateľ |
|------------|----------|------|------------------------------|------------------------------|---------------------|----------|-----------------|-------------------------------|--------|--------|----------|------------|
| 90390 | BETLIAR | 2020 | 1,72 A | 100 A | 2,85 A | 4,25 A | 12,22 A | 12,91 A | 3,52 A | 0,22 C | C | As |
| | | 2021 | 1,78 A | 100 A | 1,62 A | 4,17 A | 11,7 A | 11,73 A | 1,33 A | 0,18 C | C | As |

MQ – 129 Mezozoikum centrálnej a východnej časti Slovenského krasuplocha: 648.6 km²

| č. objektu | lokality | rok | NH ₄ ⁺ | NO ₃ ⁻ | CHSK _{Min} | vodivosť | Cl ⁻ | SO ₄ ²⁻ | TOC | As | bil.stav | ukazovateľ |
|------------|--------------------------------|------|------------------------------|------------------------------|---------------------|----------|-----------------|-------------------------------|--------|---------|----------|------------|
| 90490 | ROZNAVA | 2020 | 14,28 A | 6,45 A | 12 A | 2,76 A | 71,32 A | 15,92 A | 3,33 A | 21,05 A | A | |
| | | 2021 | 8,33 A | 4,2 A | 4,44 A | 2,73 A | 58,68 A | 16,83 A | 2,4 A | 15,38 A | A | |
| 92390 | SLAVEC | 2020 | 20 A | 3,83 A | 12 A | 1,69 A | 5,44 A | 10,89 A | 4,28 A | 26,66 A | A | |
| | | 2021 | 16,66 A | 4,73 A | 8 A | 1,67 A | 5,26 A | 10,63 A | 4,28 A | 40 A | A | |
| 93590 | PASKOVA | 2020 | 9,09 A | 28,81 A | 1,42 A | 1,81 A | 5,3 A | 3,83 A | 0,78 C | 11,76 A | C | TOC |
| | | 2021 | 14,28 A | 16,72 A | 1,53 A | 1,96 A | 6,06 A | 5,12 A | 0,9 C | 13,33 A | C | TOC |
| 94390 | SIVETICE | 2020 | 6,25 A | 100 A | 4,28 A | 1,79 A | 18,31 A | 2,72 A | 2,6 A | 2 A | A | |
| | | 2021 | 6,25 A | 66,66 A | 2,06 A | 1,81 A | 17,66 A | 2,85 A | 2,4 A | 2,19 A | A | |
| 125890 | JABLONOV NAD TURNOU/HRUSOV/ | 2020 | 5,55 A | 7,44 A | 2,4 A | 1,44 A | 30,67 A | 7,78 A | 1,42 A | 40 A | A | |
| | | 2021 | 4,34 A | 28,81 A | 2,85 A | 1,54 A | 31,96 A | 8,15 A | 1,36 A | 40 A | A | |
| 130590 | TURNA NAD BODOU | 2020 | 16,66 A | 5,54 A | 12 A | 2,56 A | 80,9 A | 4,69 A | 12 A | 14,28 A | A | |
| | | 2021 | 15,38 A | 5,23 A | 12 A | 2,53 A | 81,3 A | 5,01 A | 6 A | 19,04 A | A | |
| 186499 | SLAVEC | 2020 | 21,05 A | 17,95 A | 7,27 A | 2,37 A | 400 A | 17,73 A | 4,8 A | 40 A | A | |
| | | 2021 | 15,38 A | 15,02 A | 6,48 A | 2,32 A | 313,47 A | 17,21 A | 3,75 A | 40 A | A | |
| 201799 | DRIENOVEC-HLAVNY | 2020 | 30,76 A | 2,73 A | 12 A | 2,41 A | 25,84 A | 8,64 A | 10 A | 16,66 A | A | |
| | | 2021 | 28,57 A | 2,85 A | 9,6 A | 2,47 A | 27,3 A | 8,81 A | 6,66 A | 21,62 A | A | |

| č. objektu | lokality | rok | NH ₄ ⁺ | NO ₃ ⁻ | CHSK _{Mn} | vodivosť | Cl ⁻ | SO ₄ ²⁻ | TOC | As | bil.stav | ukazovateľ |
|------------|-------------------------|------|------------------------------|------------------------------|--------------------|----------|-----------------|-------------------------------|--------|---------|----------|------------------------------|
| 203899 | HRHOV-VELKA HLAVA | 2020 | 50 A | 10,06 A | 12 A | 2,3 A | 160,25 A | 8,77 A | 6 A | 40 A | A | |
| | | 2021 | 10 A | 12,62 A | 12 A | 2,28 A | 168,91 A | 7,78 A | 6 A | 40 A | A | |
| 205899 | TURNIANSKE PODHRADIE | 2020 | 26,66 A | 4,45 A | 12 A | 1,68 A | 34,16 A | 1,73 A | 5,71 A | 5,33 A | A | |
| | | 2021 | 33,33 A | 4,46 A | 12 A | 1,76 A | 32,04 A | 1,62 A | 5,21 A | 5,33 A | A | |
| 290690 | BRZOTIN | 2020 | 14,28 A | 1,18 A | 4,8 A | 3,45 A | 11,6 A | 6,43 A | 2,4 A | 23,52 A | A | |
| | | 2021 | 25 A | 1,78 A | 12 A | 4,66 A | 17,42 A | 6,23 A | 3,75 A | 40 A | A | |
| 290990 | PLESIVEC - JUH | 2020 | 14,28 A | 0,82 C | 12 A | 1,33 A | 10,04 A | 2,23 A | 5 A | 11,76 A | C | NO ₃ ⁻ |
| | | 2021 | 20 A | 0,79 C | 8 A | 1,34 A | 9,57 A | 2,29 A | 2,5 A | 13,33 A | C | NO ₃ ⁻ |
| 308590 | HRHOV | 2020 | 7,14 A | 2,7 A | 5,71 A | 1,3 A | 10,46 A | 1,92 A | 3,15 A | 26,66 A | A | |
| | | 2021 | 7,14 A | 2,68 A | 12 A | 1,26 A | 9,86 A | 1,92 A | 3,33 A | 40 A | A | |

M – 130 Mezozoikum západnej časti Slovenského krasu. Železnického predhoria a časti Licínskej pahorkatiny

plocha: 215.0 km²

NM – 131 Neogén Gemerskej pahorkatiny

plocha: 121.0 km²

| č. objektu | lokality | rok | NH ₄ ⁺ | NO ₃ ⁻ | CHSK _{Mn} | vodivosť | Cl ⁻ | SO ₄ ²⁻ | TOC | As | bil.stav | ukazovateľ |
|------------|----------|------|------------------------------|------------------------------|--------------------|----------|-----------------|-------------------------------|--------|------|----------|------------|
| 539190 | COLTOVO | 2020 | 16,66 A | 24,87 A | 12 A | 4,09 A | 151,51 A | 12,69 A | 2,72 A | 40 A | A | |
| | | 2021 | 25 A | 21,18 A | 4,28 A | 4,16 A | 152,43 A | 12,31 A | 2,72 A | 40 A | A | |

Q – 132 Kwartér Rimavskej kotliny

plocha: 173.5 km²

| č. objektu | lokality | rok | NH ₄ ⁺ | NO ₃ ⁻ | CHSK _{Mn} | vodivosť | Cl ⁻ | SO ₄ ²⁻ | TOC | As | bil.stav | ukazovateľ |
|------------|-----------------|------|------------------------------|------------------------------|--------------------|----------|-----------------|-------------------------------|--------|---------|----------|--|
| 91090 | COLTOVO | 2020 | 2,94 A | 18,58 A | 1,76 A | 1,04 B | 2,52 A | 2,32 A | 0,96 B | 6,66 A | B | vodivosť, TOC |
| | | 2021 | 2,85 A | 59,88 A | 1,93 A | 1,01 B | 2,51 A | 2,51 A | 0,98 B | 7,69 A | B | vodivosť, TOC |
| 91490 | VCELINCE | 2020 | 40 A | 0,6 C | 3,33 A | 1,12 A | 4,93 A | 2,16 A | 1,76 A | 8,33 A | C | NO ₃ ⁻ |
| | | 2021 | 16,66 A | 0,61 C | 2,5 A | 1,1 A | 5,68 A | 1,9 A | 1,36 A | 8,33 A | C | NO ₃ ⁻ |
| 94690 | RIMAVSKA SOBOTA | 2020 | 20 A | 2,88 A | 2,85 A | 1,37 A | 5,39 A | 1,55 A | 1,42 A | 14,28 A | A | |
| | | 2021 | 20 A | 2,03 A | 2,5 A | 1,34 A | 6,28 A | 1,66 A | 1,2 A | 11,76 A | A | |
| 95990 | JANICE | 2020 | 1,96 A | 100 A | 1,81 A | 1,11 A | 8,11 A | 1,96 A | 0,86 C | 23,52 A | C | TOC |
| | | 2021 | 1,63 A | 3,19 A | 1,87 A | 1,1 A | 14,2 A | 1,89 A | 0,89 C | 40 A | C | TOC |
| 96590 | RIMAVSKA SEC | 2020 | 12,5 A | 12,73 A | 3 A | 1,29 A | 4,77 A | 1,14 A | 1,39 A | 9,52 A | A | |
| | | 2021 | 7,14 A | 15,33 A | 3,52 A | 1,58 A | 7,38 A | 1,29 A | 1,62 A | 17,39 A | A | |
| 97290 | ZIAR | 2020 | 1,02 B | 39,84 A | 2 A | 1,03 B | 3,58 A | 0,85 C | 1,36 A | 3,84 A | C | SO ₄ ²⁻ |
| | | 2021 | 1,2 A | 46,08 A | 1,71 A | 1,02 B | 3,78 A | 0,84 C | 1,11 A | 6,25 A | C | SO ₄ ²⁻ |
| 196799 | VLKYNA | 2020 | 16,66 A | 0,45 C | 4,28 A | 0,84 C | 3,61 A | 1,57 A | 1,87 A | 14,28 A | C | NO ₃ ⁻ , vodivosť |
| | | 2021 | 50 A | 0,59 C | 5 A | 0,99 B | 5,78 A | 1,82 A | 1,66 A | 40 A | C | NO ₃ ⁻ |
| 291390 | GEMERSKA PANICA | 2020 | 11,11 A | 4,57 A | 5 A | 1,53 A | 3,62 A | 2,09 A | 2,5 A | 16 A | A | |
| | | 2021 | 16,66 A | 3,69 A | 2,6 A | 1,53 A | 3,89 A | 2,22 A | 2,14 A | 26,66 A | A | |
| 292090 | CIZ | 2020 | 1,26 A | 100 A | 3 A | 1,21 A | 3,79 A | 1,25 A | 1,39 A | 7,14 A | A | |
| | | 2021 | 1,29 A | 1,72 A | 3,15 A | 1,22 A | 9,15 A | 1,34 A | 1,22 A | 8,69 A | A | |
| 292190 | LENARTOVCE | 2020 | 2,38 A | 100 A | 2,72 A | 1,93 A | 10,16 A | 2,18 A | 1,76 A | 6,25 A | A | |
| | | 2021 | 4 A | 100 A | 0,68 C | 1,95 A | 10,5 A | 2,27 A | 1,42 A | 8,33 A | C | CHSK _{Mn} |
| 296190 | VELKY BLH | 2020 | 5,88 A | 12,19 A | 0,58 C | 1,23 A | 2,17 A | 3,34 A | 0,54 C | 7,4 A | C | CHSK _{Mn} , TOC |
| | | 2021 | 0,8 C | 100 A | 1,76 A | 0,76 C | 1,08 B | 2,89 A | 0,89 C | 4,34 A | C | NH ₄ ⁺ , vodivosť, TOC |

NV – 133 Neogén východnej časti Rimavskej kotliny a Blžská tabuľa

plocha: 228.9 km²

| č. objektu | lokality | rok | NH ₄ ⁺ | NO ₃ ⁻ | CHSK _{Mn} | vodivosť | Cl ⁻ | SO ₄ ²⁻ | TOC | As | bil.stav | ukazovateľ |
|------------|--------------|------|------------------------------|------------------------------|--------------------|----------|-----------------|-------------------------------|--------|--------|----------|---|
| 514690 | VYSNE VALICE | 2020 | 0,06 C | 30,86 A | 0,54 C | 0,56 C | 0,65 C | 3,62 A | 0,25 C | 0,62 C | C | NH ₄ ⁺ , CHSK _{Mn} , vodivosť, Cl ⁻ , TOC, As |
| | | 2021 | 0,06 C | 27,47 A | 0,6 C | 0,63 C | 0,68 C | 2,67 A | 0,24 C | 0,87 C | C | NH ₄ ⁺ , CHSK _{Mn} , vodivosť, Cl ⁻ , TOC, As |

NV – 134 Neogén západnej časti Rimavskej kotliny a Pokoradzská tabuľaplocha: 225.0 km²

| č. objektu | lokality | rok | NH ₄ ⁺ | NO ₃ ⁻ | CHSK _{5m} | vodivosť | Cl ⁻ | SO ₄ ²⁻ | TOC | As | bil.stav | ukazovateľ |
|------------|----------------|------|------------------------------|------------------------------|--------------------|----------|-----------------|-------------------------------|--------|--------|----------|---|
| 195799 | VYS.SKALNIK | 2020 | 16,66 A | 6,17 A | 6 A | 4,84 A | 107,75 A | 22,72 A | 3,75 A | 40 A | A | |
| | | 2021 | 16,66 A | 6,09 A | 12 A | 4,88 A | 123,76 A | 19,53 A | 3,75 A | 40 A | A | |
| 503990 | HORNE ZAHORANY | 2020 | 16,66 A | 1,25 A | 12 A | 4,73 A | 12,95 A | 59,66 A | 60 A | 40 A | A | |
| | | 2021 | 50 A | 1,22 A | 12 A | 4,59 A | 12,07 A | 40,45 A | 7,5 A | 40 A | A | |
| 514290 | BOTTOVO | 2020 | 0,03 C | 10 A | 0,23 C | 0,28 C | 0,2 C | 8,09 A | 0,08 C | 2,85 A | C | NH ₄ ⁺ , CHSK _{5m} , vodivosť, Cl ⁻ , TOC, As |
| | | 2021 | 0,05 C | 100 A | 0,28 C | 0,28 C | 0,24 C | 5,15 A | 0,1 C | 1,58 A | C | NH ₄ ⁺ , CHSK _{5m} , vodivosť, Cl ⁻ , TOC, As |
| 514790 | KRASKOVO | 2020 | 10 A | 8,88 A | 12 A | 8,59 A | 206,61 A | 116,27 A | 60 A | 40 A | A | |
| | | 2021 | 100 A | 9,92 A | 12 A | 8,38 A | 500 A | 164,47 A | 30 A | 40 A | A | |

NV – 135 Neogén východnej časti Cerovej vrchovinyplocha: 265.9 km²

| č. objektu | lokality | rok | NH ₄ ⁺ | NO ₃ ⁻ | CHSK _{5m} | vodivosť | Cl ⁻ | SO ₄ ²⁻ | TOC | As | bil.stav | ukazovateľ |
|------------|-------------------|------|------------------------------|------------------------------|--------------------|----------|-----------------|-------------------------------|--------|--------|----------|------------|
| 543590 | GEMERSKY JABLONEC | 2020 | 2 A | 100 A | 1,2 A | 1,06 B | 6,9 A | 17,6 A | 0,63 C | 1,35 A | C | TOC |
| | | 2021 | 1,92 A | 100 A | 1,66 A | 1,06 B | 7,04 A | 11,46 A | 0,65 C | 1,61 A | C | TOC |

N – 136 Neogén východnej časti Oždianskej pahorkatinyplocha: 124.7 km²**G – 137 Paleozoikum Volovských vrchov v povodí Bodvy**plocha: 253.8 km²

| č. objektu | lokality | rok | NH ₄ ⁺ | NO ₃ ⁻ | CHSK _{5m} | vodivosť | Cl ⁻ | SO ₄ ²⁻ | TOC | As | bil.stav | ukazovateľ |
|------------|-----------------------|------|------------------------------|------------------------------|--------------------|----------|-----------------|-------------------------------|--------|---------|----------|------------|
| 109090 | MEDZEV /NIZNY MEDZEV/ | 2020 | 12,5 A | 2,13 A | 6,31 A | 3,04 A | 18,11 A | 8,56 A | 2,85 A | 20 A | A | |
| | | 2021 | 18,18 A | 2,34 A | 5 A | 3,81 A | 20,4 A | 10,35 A | 2,4 A | 26,66 A | A | |

NQ – 138 Neogén a kvartér Košickej kotliny a Abovskej pahorkatiny v povodí Bodvyplocha: 351.1 km²

| č. objektu | lokality | rok | NH ₄ ⁺ | NO ₃ ⁻ | CHSK _{5m} | vodivosť | Cl ⁻ | SO ₄ ²⁻ | TOC | As | bil.stav | ukazovateľ |
|------------|--------------------|------|------------------------------|------------------------------|--------------------|----------|-----------------|-------------------------------|--------|---------|----------|------------------------------|
| 100590 | BUDULOV | 2020 | 14,28 A | 1,76 A | 12 A | 2,41 A | 6,47 A | 5,64 A | 6 A | 40 A | A | |
| | | 2021 | 7,69 A | 1,7 A | 8 A | 2,29 A | 8,19 A | 5,3 A | 4,28 A | 40 A | A | |
| 101190 | POD HALDOU - SENA | 2020 | 25 A | 1,57 A | 6,31 A | 1,62 A | 3,58 A | 1,62 A | 3,15 A | 26,66 A | A | |
| | | 2021 | 14,28 A | 1,46 A | 3 A | 1,74 A | 3,87 A | 1,48 A | 2,3 A | 21,05 A | A | |
| 109490 | RUDNIK | 2020 | 12,5 A | 6,33 A | 12 A | 2,97 A | 7,69 A | 5,05 A | 5 A | 40 A | A | |
| | | 2021 | 12,5 A | 5,24 A | 12 A | 2,71 A | 5,31 A | 5,11 A | 4,28 A | 40 A | A | |
| 309390 | MOLDAVA NAD BODVOU | 2020 | 14,28 A | 0,49 C | 7,05 A | 0,91 B | 0,99 B | 3,01 A | 20 A | 14,28 A | C | NO ₃ ⁻ |
| | | 2021 | 10 A | 0,52 C | 12 A | 0,94 B | 1,09 B | 2,99 A | 7,5 A | 40 A | C | NO ₃ ⁻ |
| 513990 | BUZICA | 2020 | 8,33 A | 0,71 C | 12 A | 2,2 A | 5,26 A | 3,09 A | 3,75 A | 9,09 A | C | NO ₃ ⁻ |
| | | 2021 | 10 A | 0,71 C | 12 A | 2,15 A | 5,02 A | 2,86 A | 3,33 A | 9,09 A | C | NO ₃ ⁻ |

QG – 139 Kryštalinikum časti Vysokých Tatier a kvartér ich predpolaplocha: 446.6 km²

| č. objektu | lokality | rok | NH ₄ ⁺ | NO ₃ ⁻ | CHSK _{5m} | vodivosť | Cl ⁻ | SO ₄ ²⁻ | TOC | As | bil.stav | ukazovateľ |
|------------|---------------------|------|------------------------------|------------------------------|--------------------|----------|-----------------|-------------------------------|--------|---------|----------|---------------------------|
| 97890 | BUSOVCE | 2020 | 33,33 A | 1,94 A | 7,05 A | 1,7 A | 14 A | 5,03 A | 5,45 A | 40 A | A | |
| | | 2021 | 14,28 A | 1,46 A | 5,45 A | 1,64 A | 11,31 A | 6,11 A | 3,15 A | 16,66 A | A | |
| 98490 | SVIT | 2020 | 50 A | 18,48 A | 2,6 A | 0,63 C | 0,65 C | 3,83 A | 1,2 A | 5,12 A | C | vodivosť, Cl ⁻ |
| | | 2021 | 20 A | 20,79 A | 3,52 A | 0,69 C | 0,7 C | 4,35 A | 1,3 A | 40 A | C | vodivosť, Cl ⁻ |
| 98890 | STRBSKE PLESO | 2020 | 20 A | 11,45 A | 7,05 A | 14,61 A | 322,58 A | 44,96 A | 3,75 A | 40 A | A | |
| | | 2021 | 16,66 A | 16,18 A | 4,28 A | 23,58 A | 235,84 A | 58,96 A | 3,33 A | 40 A | A | |
| 239799 | TATR.MATLIARE | 2020 | 50 A | 11,65 A | 12 A | 26,04 A | 500 A | 42,08 A | 6 A | 40 A | A | |
| | | 2021 | 25 A | 12,34 A | 12 A | 28,08 A | 500 A | 31,52 A | 5 A | 40 A | A | |
| 299390 | KEZMAROK | 2020 | 20 A | 2,9 A | 5 A | 1,62 A | 33,92 A | 3,06 A | 2,4 A | 40 A | A | |
| | | 2021 | 13,33 A | 3,23 A | 3,75 A | 1,6 A | 35,73 A | 3,18 A | 2 A | 40 A | A | |
| 890190 | NOVA POLIANKA NPH-1 | 2020 | 16,66 A | 24,15 A | 12 A | 27,47 A | 500 A | 35,84 A | 40 A | 40 A | A | |
| | | 2021 | 10 A | 25,77 A | 7,05 A | 27,17 A | 500 A | 46,33 A | 12 A | 40 A | A | |
| 890690 | STARA LESNA LH-6 | 2020 | 20 A | 13,08 A | 5,71 A | 13,73 A | 201,61 A | 19,08 A | 2,6 A | 40 A | A | |
| | | 2021 | 20 A | 9,52 A | 2,26 A | 13,96 A | 200 A | 23,14 A | 2,5 A | 40 A | A | |

M – 140 Mezozoikum časti Kozích chrbtovplocha: 72.4 km²

| č. objektu | lokalita | rok | NH ₄ ⁺ | NO ₃ ⁻ | CHSK _{ΣIn} | vodivosť | Cl ⁻ | SO ₄ ²⁻ | TOC | As | bil.stav | ukazovateľ |
|------------|----------------|------|------------------------------|------------------------------|---------------------|----------|-----------------|-------------------------------|--------|---------|----------|------------|
| 239999 | VYSNA SUNAVA | 2020 | 22,22 A | 5,59 A | 12 A | 2,73 A | 500 A | 14,72 A | 6,66 A | 40 A | A | |
| | | 2021 | 14,28 A | 6,4 A | 8,88 A | 2,76 A | 500 A | 14,53 A | 3,63 A | 40 A | A | |
| 514090 | SVIT - LUCIVNA | 2020 | 25 A | 8,25 A | 12 A | 2,29 A | 52,96 A | 10,77 A | 6,66 A | 14,28 A | A | |
| | | 2021 | 25 A | 8,68 A | 8,27 A | 2,41 A | 100,1 A | 12,93 A | 3,33 A | 18,6 A | A | |

PQ – 141 Paleogén Spišskej Magury. Ľubovnianskej vrchoviny. SZ časti Spišsko-šarišského medzihoria a Pieninplocha: 798.3 km²

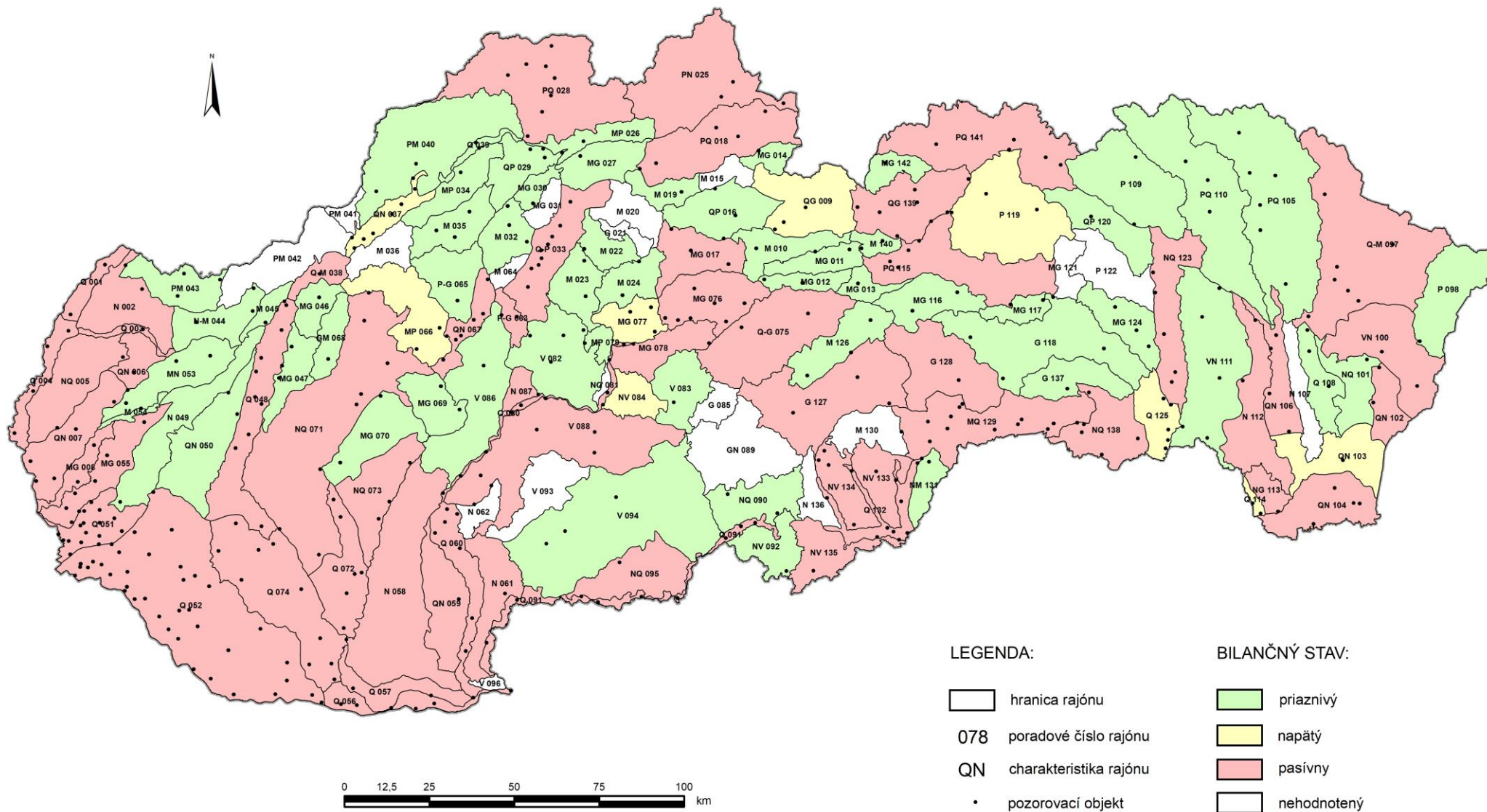
| č. objektu | lokalita | rok | NH ₄ ⁺ | NO ₃ ⁻ | CHSK _{ΣIn} | vodivosť | Cl ⁻ | SO ₄ ²⁻ | TOC | As | bil.stav | ukazovateľ |
|------------|----------|------|------------------------------|------------------------------|---------------------|----------|-----------------|-------------------------------|--------|---------|----------|------------------------------|
| 97790 | PLAVNICA | 2020 | 20 A | 1,25 A | 8 A | 1,31 A | 6,17 A | 5,69 A | 3,15 A | 40 A | A | |
| | | 2021 | 14,28 A | 1,43 A | 4,61 A | 1,47 A | 12,88 A | 7,68 A | 2,4 A | 40 A | A | |
| 137690 | HНИЕЗDNE | 2020 | 12,5 A | 11,22 A | 4,61 A | 1,42 A | 3,22 A | 13,43 A | 3,52 A | 13,79 A | A | |
| | | 2021 | 5,88 A | 60,97 A | 4 A | 1,08 B | 1,43 A | 12,46 A | 2,6 A | 16,66 A | B | vodivosť |
| 235399 | JEZERSKO | 2020 | 25 A | 25,77 A | 12 A | 3,31 A | 500 A | 7,93 A | 7,5 A | 40 A | A | |
| | | 2021 | 25 A | 16,77 A | 12 A | 3,67 A | 500 A | 8,86 A | 6 A | 40 A | A | |
| 297690 | PLAVEC | 2020 | 12,5 A | 13,56 A | 5,71 A | 2,08 A | 58,2 A | 14,08 A | 3,33 A | 40 A | A | |
| | | 2021 | 11,11 A | 16,83 A | 12 A | 2,14 A | 43,32 A | 13,55 A | 3,75 A | 40 A | A | |
| 521690 | JARABINA | 2020 | 0,8 C | 100 A | 12 A | 1,95 A | 52,19 A | 250 A | 5 A | 8,33 A | C | NH ₄ ⁺ |
| | | 2021 | 0,84 C | 42,37 A | 12 A | 1,98 A | 45,04 A | 250 A | 5 A | 9,09 A | C | NH ₄ ⁺ |

MG – 142 Mezozoikum a príľahlé kryštalinikum Vysokých a Belianskych Tatierplocha: 140.2 km²

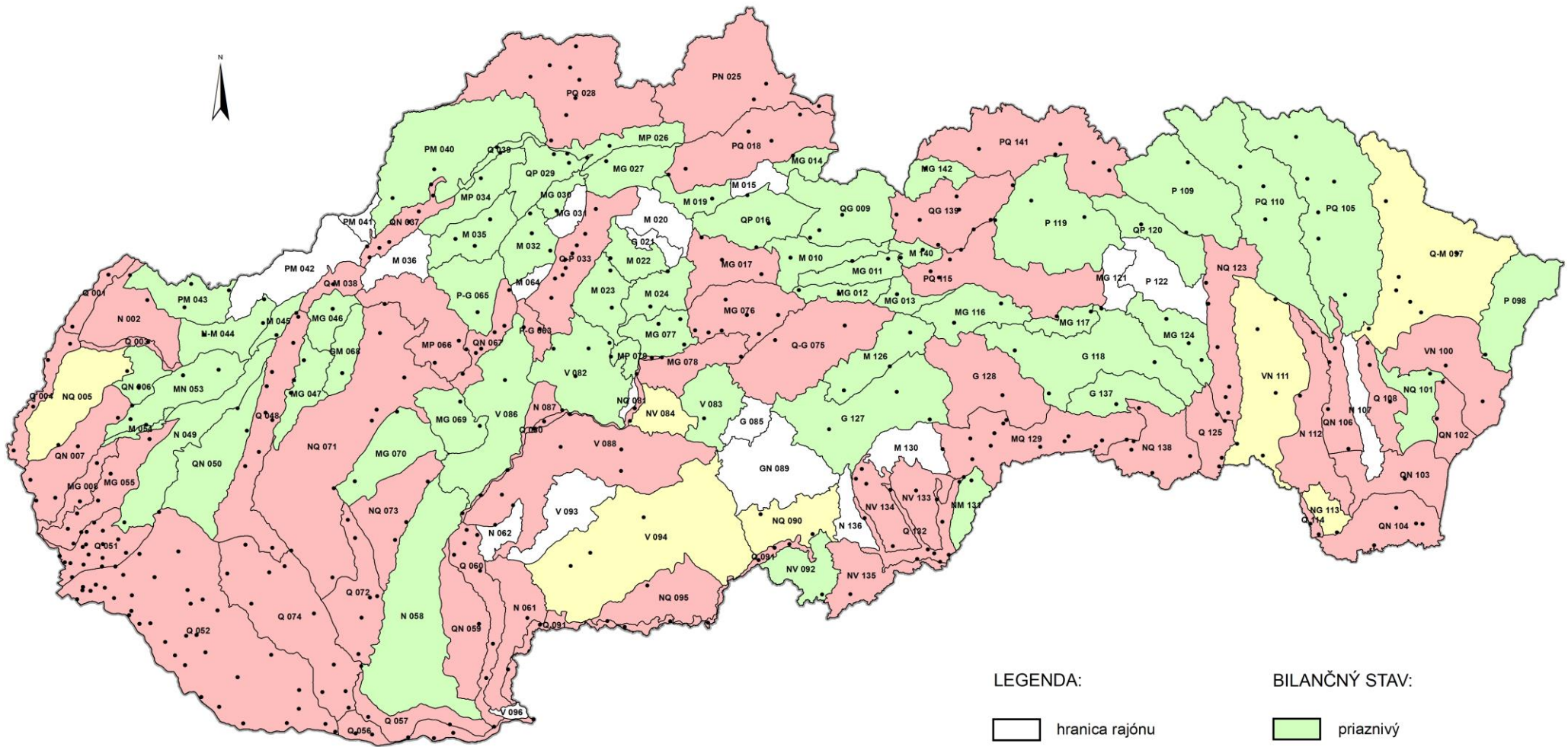
| č. objektu | lokalita | rok | NH ₄ ⁺ | NO ₃ ⁻ | CHSK _{ΣIn} | vodivosť | Cl ⁻ | SO ₄ ²⁻ | TOC | As | bil.stav | ukazovateľ |
|------------|----------|------|------------------------------|------------------------------|---------------------|----------|-----------------|-------------------------------|--------|------|----------|------------|
| 235799 | JAVORINA | 2020 | 25 A | 13,19 A | 7,5 A | 4,86 A | 500 A | 45,57 A | 4,13 A | 40 A | A | |
| | | 2021 | 25 A | 15,24 A | 4,21 A | 5,18 A | 500 A | 41,68 A | 3,52 A | 40 A | A | |

7. MAPOVÁ PRÍLOHA

BILANČNÝ STAV KVALITY PODZEMNÝCH VÔD NA SLOVENSKU V ROKU 2020



BILANČNÝ STAV KVALITY PODZEMNÝCH VÔD NA SLOVENSKU V ROKU 2021

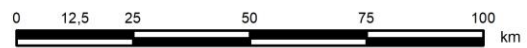


LEGENDA:

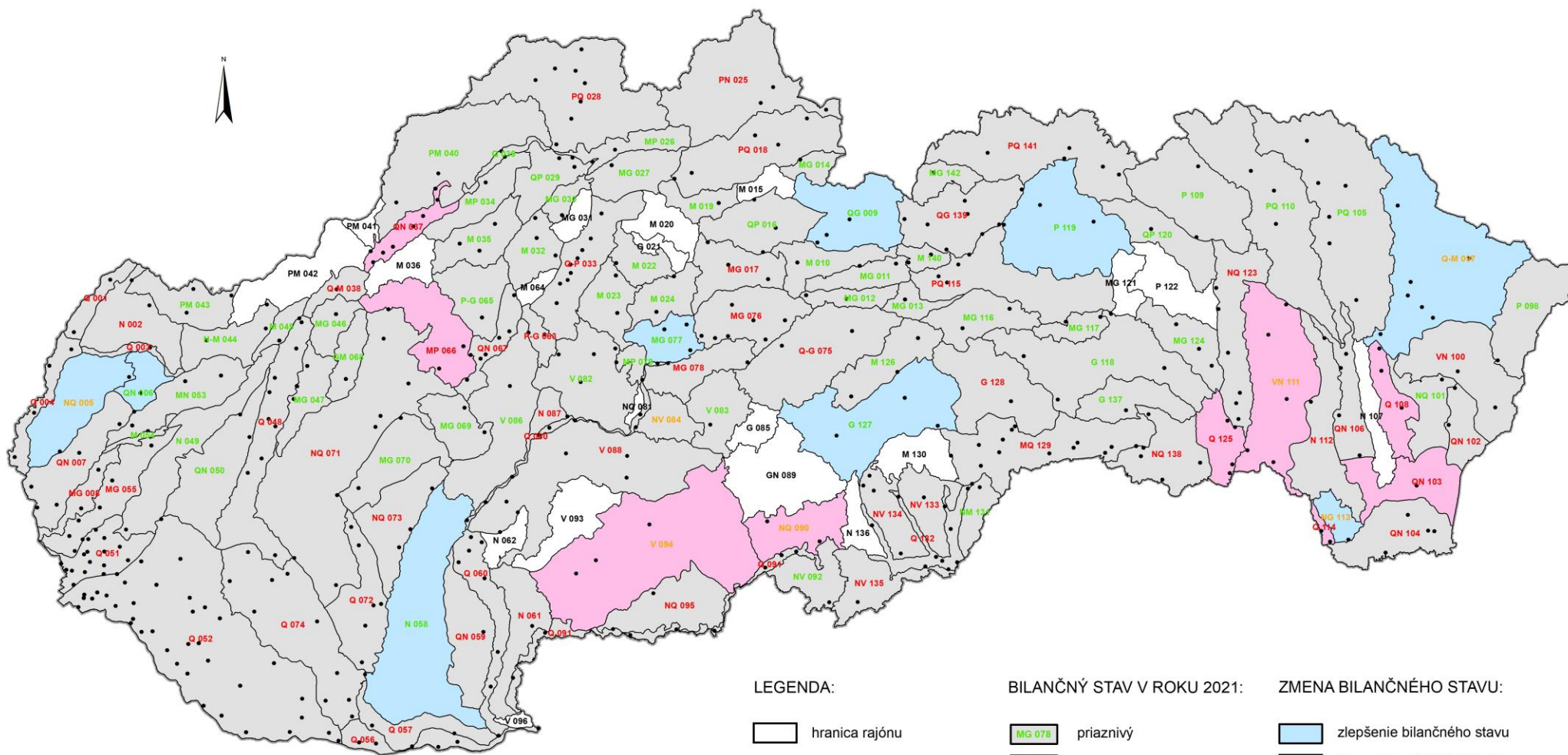
- hranica rajónu
- 078 poradové číslo rajónu
- QN charakteristika rajónu
- pozorovací objekt

BILANČNÝ STAV:

- priaznivý
- napätý
- pasívny
- nehodnotený



ZMENA BILANČNÉHO STAVU KVALITY PODZEMNÝCH VÔD NA SLOVENSKU V ROKU 2021 V POROVNANÍ S ROKOM 2020







LEGENDA:

-  hranica rajónu
- 078 poradové číslo rajónu
- QN charakteristika rajónu
- pozorovací objekt

BILANČNÝ STAV V ROKU 2021:

-  MG 078 priaznivý
-  MG 078 napätý
-  MG 078 pasívny
-  MG 078 nehodnotený

ZMENA BILANČNÉHO STAVU:

-  zlepšenie bilančného stavu
-  bez zmeny bilančného stavu
-  zhoršenie bilančného stavu
-  nehodnotený bilančný stav

8. AKTUALIZÁCIA HODNOTENIA VHB KVALITY PODZEMNEJ VODY

8.1 Návrh aktualizácie hodnotenia VHB kvality PzV

V súčasnosti sa v zmysle Vyhlášky MPŽPaRR č. 418/2010 Z.z., §19 ods. 9 hodnotenie bilančného stavu vykonáva v hydrogeologických rajónoch, v nadväznosti na smernicu 2000/60/ Európskeho parlamentu (ďalej RSV) sa pripravuje aktualizácia hodnotenia bilančných stavov v útvaroch podzemných vôd. Zoznam pozorovacích objektov v hydrogeologických rajónoch so zaradením do útvarov PzV je uvedený v Tabuľke č. 8.1 a znázornený na mapách, ktoré zobrazujú prekrytie hydrogeologických rajónov útvarmi podzemných vôd.

Tabuľka č. 8.1: Zoznam pozorovacích objektov v hydrogeologických rajónoch so zaradením do útvarov PzV

| HG rajón | Názov HG rajónu | Č. objektu | Lokalita | Typ objektu | Útvar PzV | Názov útvaru PzV |
|----------|---|------------|--------------------------------|-------------|------------|--|
| Q 001 | KVARTER MORAVY PO BRODSKE | 200290 | HOLIC | sonda | SK1000100P | Medzizrnové podzemné vody kvartérnych náplavov Viedenskej panvy |
| | | 700590 | BRODSKE | sonda | SK1000100P | Medzizrnové podzemné vody kvartérnych náplavov Viedenskej panvy |
| N 002 | NEOGEN CHVOJNICKEJ PAHORKATINY | 399 | RADOSOVCE | prameň | SK2000200P | Medzizrnové podzemné vody západnej časti Viedenskej panvy |
| | | 599 | SKALICA | prameň | SK2000200P | Medzizrnové podzemné vody západnej časti Viedenskej panvy |
| Q 003 | KVARTER MYJAVY | 8190 | SENICA N/MYJAVOU | sonda | SK1000100P | Medzizrnové podzemné vody kvartérnych náplavov Viedenskej panvy |
| Q 004 | KVARTER MORAVY OD BRODSKEHO PO VYSOKU PRI MORAVE | 201690 | MORAVSKY SVATY JAN - SEKULE | sonda | SK1000100P | Medzizrnové podzemné vody kvartérnych náplavov Viedenskej panvy |
| | | 209090 | ZAHORSKA VES | sonda | SK1000100P | Medzizrnové podzemné vody kvartérnych náplavov Viedenskej panvy |
| | | 209590 | GAJARY | sonda | SK1000100P | Medzizrnové podzemné vody kvartérnych náplavov Viedenskej panvy |
| | | 500190 | KUTY | sonda | SK2000200P | Medzizrnové podzemné vody západnej časti Viedenskej panvy |
| NQ 005 | NEOGEN CENTRALNEJ CASTI BORSKEJ NIZINY | 2790 | MALACKY KOZANEK | sonda | SK2000200P | Medzizrnové podzemné vody západnej časti Viedenskej panvy |
| | | 7490 | BILKOVE HUMENCE | sonda | SK2000200P | Medzizrnové podzemné vody západnej časti Viedenskej panvy |
| QN 006 | KVARTER A NEOGEN SV CASTI BORSKEJ NIZINY | 7099 | PLAVECKY PETER | prameň | SK2000400P | Medzizrnové podzemné vody východnej časti Viedenskej panvy |
| | | 207390 | PLAVECKY MIKULAS | sonda | SK1000100P | Medzizrnové podzemné vody kvartérnych náplavov Viedenskej panvy |
| QN 007 | KVARTER A NEOGEN J A JV CASTI BORSKEJ NIZINY | 3190 | DEVINSKE JAZERO | sonda | SK1000100P | Medzizrnové podzemné vody kvartérnych náplavov Viedenskej panvy |
| | | 3290 | STUPAVA | sonda | SK1000100P | Medzizrnové podzemné vody kvartérnych náplavov Viedenskej panvy |
| | | 6990 | SOLOSICA | sonda | SK1000100P | Medzizrnové podzemné vody kvartérnych náplavov Viedenskej panvy |
| | | 206790 | PERNEK | sonda | SK1000100P | Medzizrnové podzemné vody kvartérnych náplavov Viedenskej panvy |
| | | 209490 | VYSOKA PRI MORAVE | sonda | SK1000100P | Medzizrnové podzemné vody kvartérnych náplavov Viedenskej panvy |
| MG 008 | KRYSTALINIKUM A MEZOZOIKUM JZ CASTI MALÝCH KARPAT | 14399 | BORINKA-PROPADLE | prameň | SK200010FK | Puklinové a krasovo - puklinové podzemné vody Pezinských a Devinských Karpát čiastkového povodia Moravy a Dunaja |
| | | 554199 | PERNEK | prameň | SK200010FK | Puklinové a krasovo - puklinové podzemné vody Pezinských a Devinských Karpát čiastkového povodia Moravy a Dunaja |
| Q-G 009 | KRYSTALINIKUM ZAPADNYCH TATIER A KVARTER V CASTI LIPTOVskej KOTLINY | 34690 | VAVRISOVO | sonda | SK1000500P | Medzizrnové podzemné vody kvartérnych náplavov horného toku Váhu a jeho prítokov |
| | | 611199 | HRDOVO | prameň | SK2003300F | Puklinové podzemné vody podtatranskej skupiny a Liptovskej kotliny |
| | | 611990 | VAVRISOVO | sonda | SK1000500P | Medzizrnové podzemné vody kvartérnych náplavov horného toku Váhu a jeho prítokov |
| M 010 | MEZOZOIKUM CHOCSKEHO PRIKROVU SV SVAHOV NIZKYCH TATIER A KOZICH CHRBTŮV | 31099 | SVARIN | prameň | SK200340KF | Dominantné krasovo - puklinové podzemné vody severu Nízkych Tatier |
| | | 35299 | LIPT. JAN - PRI STANIS. JAS. 1 | prameň | SK200340KF | Dominantné krasovo - puklinové podzemné vody severu Nízkych Tatier |

| HG rajón | Názov HG rajónu | Č. objektu | Lokalita | Typ objektu | Útvar PzV | Názov útvaru PzV |
|----------|--|------------|--------------------------------|-------------|------------|--|
| MG 011 | PALEOZOIKUM A MEZOZOIKUM - MELAFYROVA SERIA SV SVAHOV NIZKYCH TATIER A KOZICH CHRBTOV | 32999 | VYSNA SUNAVA, ZEMSKA C. 1 | prameň | SK200360FK | Puklinové a krasovo - puklinové podzemné vody severovýchodu Nízkych Tatier |
| MG 012 | MEZOZOIKUM SERIE VEĽKEHO BOKU - Z A STREDNA CAST A PRILAHLE KRYSTALINIKUM SV SVAHOV NIZKYCH TATIER | 31499 | MALUZINA | prameň | SK200360FK | Puklinové a krasovo - puklinové podzemné vody severovýchodu Nízkych Tatier |
| | | 32899 | VYSNA BOCA | prameň | SK200360FK | Puklinové a krasovo - puklinové podzemné vody severovýchodu Nízkych Tatier |
| MG 013 | MEZOZOIKUM SERIE VEĽKEHO BOKU - V CAST A PRILAHLE KRYSTALINIKUM SV SVAHOV NIZKYCH TATIER | 30399 | LIPT.TEPLICKA | prameň | SK200410KF | Dominantné krasovo - puklinové podzemné vody východu Nízkych Tatier |
| MG 014 | MEZOZOIKUM A PRILAHLE KRYSTALINIKUM ZAPADNYCH TATIER V POVODI ORAVY | 523190 | ZUBEREC | sonda | SK200270KF | Dominantné krasovo - puklinové podzemné vody Veľkej Fatry, Chočských vrchov a Západných Tatier |
| QP 016 | PALEOGEN A KVARTER ZAPADNEJ A STREDNEJ CASTI LIPTOVskej KOTLINY | 37499 | PROSIEK - PROSIEC. DOL. | prameň | SK2003300F | Puklinové podzemné vody podtatranskej skupiny a Liptovskej kotliny |
| | | 40999 | LAZISKO | prameň | SK2003300F | Puklinové podzemné vody podtatranskej skupiny a Liptovskej kotliny |
| | | 248690 | LIPT.MIKULAS-PALUDZKA | sonda | SK1000500P | Medzizrnové podzemné vody kvartérnych náplavov horného toku Váhu a jeho prítokov |
| MG 017 | MEZOZOIKUM A KRYSTALINIKUM SZ SVAHOV NIZKYCH TATIER | 40299 | DEMANOVSKA DOLINA - ZADNA VODA | prameň | SK200300FK | Puklinové a krasovo - puklinové podzemné vody severozápadu Nízkych Tatier |
| | | 41499 | PART. LUPCA | prameň | SK200300FK | Puklinové a krasovo - puklinové podzemné vody severozápadu Nízkych Tatier |
| | | 43599 | LUDROVA - MOCIDLA | prameň | SK200300FK | Puklinové a krasovo - puklinové podzemné vody severozápadu Nízkych Tatier |
| PQ 018 | PALEOGEN ORAVSKEJ VRCHOVINY, SKORUSINY A CASTI ORAVSKEJ MAGURY | 43190 | LIESEK | sonda | SK2001800F | Puklinové podzemné vody západnej časti flyšového pásma a podtatranskej skupiny |
| | | 43490 | PODBIEL | sonda | SK1000500P | Medzizrnové podzemné vody kvartérnych náplavov horného toku Váhu a jeho prítokov |
| | | 242990 | VELICNA | sonda | SK1000500P | Medzizrnové podzemné vody kvartérnych náplavov horného toku Váhu a jeho prítokov |
| | | 243590 | PARNICA | sonda | SK1000500P | Medzizrnové podzemné vody kvartérnych náplavov horného toku Váhu a jeho prítokov |
| | | 521190 | ORAV.BIELY POTOK P-11 | sonda | SK2001800F | Puklinové podzemné vody západnej časti flyšového pásma a podtatranskej skupiny |
| M 019 | MEZOZOIKUM Z CASTI CHOCSKYCH VRCHOV | 41799 | LUCKY | prameň | SK200270KF | Dominantné krasovo - puklinové podzemné vody Veľkej Fatry, Chočských vrchov a Západných Tatier |
| M 022 | MEZOZOIKUM VEĽKEJ FATRY V OBLASTI MEDZI SMREKOVICOU A PLOSKOU | 67599 | NECPALY - LASCE | prameň | SK200270KF | Dominantné krasovo - puklinové podzemné vody Veľkej Fatry, Chočských vrchov a Západných Tatier |
| M 023 | MEZOZOIKUM CHOCSKEHO PRIKROVU JZ CASTI VEĽKEJ FATRY | 67499 | BLATNICA | prameň | SK200270KF | Dominantné krasovo - puklinové podzemné vody Veľkej Fatry, Chočských vrchov a Západných Tatier |
| | | 132599 | HARMANEC - ZALAMANA I | prameň | SK200250KF | Dominantné krasovo - puklinové podzemné vody Veľkej Fatry |
| M 024 | MEZOZOIKUM VEĽKEJ FATRY A NIZKYCH TATIER MEDZI PLOSKOU A V OKOLI DONOVALOV | 38299 | L.REVUCE | prameň | SK200270KF | Dominantné krasovo - puklinové podzemné vody Veľkej Fatry, Chočských vrchov a Západných Tatier |
| | | 127999 | MOTYCKY,pr.GEN.CUNDERLIKA | prameň | SK200250KF | Dominantné krasovo - puklinové podzemné vody Veľkej Fatry |

| HG rajón | Názov HG rajónu | Č. objektu | Lokalita | Typ objektu | Útvar PzV | Názov útvaru PzV |
|----------|--|------------|------------------------|-------------|------------|---|
| PN 025 | PALEOGEN POVODIA BIELEJ ORAVY A NEOGEN ORAVSKEJ KOTLINY | 45299 | NAMESTOVO-pr.JEDLICNIK | prameň | SK2001800F | Puklinové podzemné vody západnej časti flyšového pásma a podtatranskej skupiny |
| | | 45799 | HLADOVKA | prameň | SK2003200P | Medzizrnové podzemné vody Oravskej kotliny |
| | | 514490 | BOBROV | sonda | SK2003200P | Medzizrnové podzemné vody Oravskej kotliny |
| MP 026 | MEZOZOIKUM BRADLOVEHO PASMA A PALEOGEN V POVODI VARINKY | 34790 | ZLIEN | sonda | SK2001800F | Puklinové podzemné vody západnej časti flyšového pásma a podtatranskej skupiny |
| MG 027 | MEZOZOIKUM A KRYSTALINIKUM KRIVANSKEJ FATRY | 68099 | BELA - PRI VARINE | prameň | SK200240FK | Puklinové a krasovo - puklinové podzemné vody Malej Fatry |
| PQ 028 | PALEOGEN A KVARTER POVODIA KYSUCE | 41190 | BRODNO | sonda | SK1000500P | Medzizrnové podzemné vody kvartérnych náplavov horného toku Váhu a jeho prítokov |
| | | 41690 | DUNAJOV | sonda | SK1000500P | Medzizrnové podzemné vody kvartérnych náplavov horného toku Váhu a jeho prítokov |
| | | 42090 | KRASNO NAD KYSUCOU | sonda | SK1000500P | Medzizrnové podzemné vody kvartérnych náplavov horného toku Váhu a jeho prítokov |
| | | 42190 | CADCA | sonda | SK1000500P | Medzizrnové podzemné vody kvartérnych náplavov horného toku Váhu a jeho prítokov |
| | | 42390 | CIERNE | sonda | SK1000500P | Medzizrnové podzemné vody kvartérnych náplavov horného toku Váhu a jeho prítokov |
| | | 42690 | RAKOVA - ZAPAD | sonda | SK1000500P | Medzizrnové podzemné vody kvartérnych náplavov horného toku Váhu a jeho prítokov |
| | | 241490 | KYSUCKE NOVE MESTO | sonda | SK1000500P | Medzizrnové podzemné vody kvartérnych náplavov horného toku Váhu a jeho prítokov |
| | | 242790 | PODVYSOKA | sonda | SK2001800F | Puklinové podzemné vody západnej časti flyšového pásma a podtatranskej skupiny |
| QP 029 | PALEOGEN A KVARTER CASTI ZILINSKEJ KOTLINY A V OKRAJA SULOVSKEJ VRCHOV | 31690 | ZILINA | sonda | SK1000500P | Medzizrnové podzemné vody kvartérnych náplavov horného toku Váhu a jeho prítokov |
| | | 32190 | MOJS | sonda | SK1000500P | Medzizrnové podzemné vody kvartérnych náplavov horného toku Váhu a jeho prítokov |
| | | 32990 | KRASNANY | sonda | SK1000500P | Medzizrnové podzemné vody kvartérnych náplavov horného toku Váhu a jeho prítokov |
| | | 231990 | TEPLICKA NAD VAHOM | sonda | SK1000500P | Medzizrnové podzemné vody kvartérnych náplavov horného toku Váhu a jeho prítokov |
| MG 030 | KRYSTALINIKUM A MEZOZOIKUM SZ SVAHOV LUCANSKEJ FATRY | 79599 | KUNERAD | prameň | SK200240FK | Puklinové a krasovo - puklinové podzemné vody Malej Fatry |
| M 032 | MEZOZOIKUM J CASTI LUCANSKEJ FATRY | 64299 | KLASTOR POD ZNIEVOM | prameň | SK200140KF | Dominantné krasovo - puklinové podzemné vody severnej časti Strážovských vrchov a Lúčanskej Malej Fatry |
| | | 77799 | RAJECKA LESNA | prameň | SK200140KF | Dominantné krasovo - puklinové podzemné vody severnej časti Strážovských vrchov a Lúčanskej Malej Fatry |
| | | 77999 | KAMENNA PORUBA - HORNY | prameň | SK200140KF | Dominantné krasovo - puklinové podzemné vody severnej časti Strážovských vrchov a Lúčanskej Malej Fatry |
| Q-P 033 | PALEOGEN, NEOGEN A KVARTER TURCIANSKEJ KOTLINY | 45890 | KOSTANY | sonda | SK1000500P | Medzizrnové podzemné vody kvartérnych náplavov horného toku Váhu a jeho prítokov |
| | | 46390 | KLASTOR POD ZNIEVOM | sonda | SK1000500P | Medzizrnové podzemné vody kvartérnych náplavov horného toku Váhu a jeho prítokov |
| | | 46690 | IVANCINA | sonda | SK1000500P | Medzizrnové podzemné vody kvartérnych náplavov horného toku Váhu a jeho prítokov |

| HG rajón | Názov HG rajónu | Č. objektu | Lokalita | Typ objektu | Útvar PzV | Názov útvaru PzV |
|----------|---|------------|---------------------------|-------------|------------|---|
| Q-P 033 | PALEOGEN, NEOGEN A KVARTER TURCIANSKEJ KOTLINY | 46790 | BLAZOVCE | sonda | SK1000500P | Medzizrnové podzemné vody kvartérnych náplavov horného toku Váhu a jeho prítokov |
| | | 61499 | JAZERNICA | prameň | SK2002100P | Medzizrnové podzemné vody Turčianskej kotliny |
| | | 245590 | MARTIN - PRIEKOPA | sonda | SK1000500P | Medzizrnové podzemné vody kvartérnych náplavov horného toku Váhu a jeho prítokov |
| Q-P 033 | PALEOGEN, NEOGEN A KVARTER TURCIANSKEJ KOTLINY | 246090 | PRIBOVCE- BENICE | sonda | SK1000500P | Medzizrnové podzemné vody kvartérnych náplavov horného toku Váhu a jeho prítokov |
| | | 246290 | LEZIACHOV | sonda | SK1000500P | Medzizrnové podzemné vody kvartérnych náplavov horného toku Váhu a jeho prítokov |
| | | 610690 | DUBOVE | sonda | SK1000500P | Medzizrnové podzemné vody kvartérnych náplavov horného toku Váhu a jeho prítokov |
| MP 034 | PALEOGEN A MEZOZOIKUM BRADLOVEHO PASMA SULOVSKÝCH VRCHOV A PODMANINSKEJ PAHORKATINY | 80999 | POVAZSKA TEPLA | prameň | SK2001800F | Puklinové podzemné vody západnej časti flyšového pásma a podtatranskej skupiny |
| M 035 | MEZOZOIKUM S CASTI STRAZOVSKÝCH VRCHOV | 81899 | DOM.LEHOTA-MLYN NA BARIN. | prameň | SK200140KF | Dominantné krasovo - puklinové podzemné vody severnej časti Strážovských vrchov a Lúčanskej Malej Fatry |
| | | 88199 | PRUZINA-BYKY | prameň | SK200140KF | Dominantné krasovo - puklinové podzemné vody severnej časti Strážovských vrchov a Lúčanskej Malej Fatry |
| | | 89099 | MOJTIN-UHLISKA C.1 | prameň | SK200140KF | Dominantné krasovo - puklinové podzemné vody severnej časti Strážovských vrchov a Lúčanskej Malej Fatry |
| QN 037 | KVARTER A NEOGEN ILAVSKEJ KOTLINY | 16590 | KLUCOVE | sonda | SK1000500P | Medzizrnové podzemné vody kvartérnych náplavov horného toku Váhu a jeho prítokov |
| | | 16690 | DUBNICA NAD VAHOM | sonda | SK1000500P | Medzizrnové podzemné vody kvartérnych náplavov horného toku Váhu a jeho prítokov |
| | | 17090 | PRILES | sonda | SK1000500P | Medzizrnové podzemné vody kvartérnych náplavov horného toku Váhu a jeho prítokov |
| | | 18990 | SAVCINA | sonda | SK1000500P | Medzizrnové podzemné vody kvartérnych náplavov horného toku Váhu a jeho prítokov |
| | | 19490 | DOBRA PRAMEN-JAZERO | sonda | SK1000500P | Medzizrnové podzemné vody kvartérnych náplavov horného toku Váhu a jeho prítokov |
| | | 19590 | PUCHOV | sonda | SK1000500P | Medzizrnové podzemné vody kvartérnych náplavov horného toku Váhu a jeho prítokov |
| | | 217190 | HOROVCE | sonda | SK1000500P | Medzizrnové podzemné vody kvartérnych náplavov horného toku Váhu a jeho prítokov |
| | | 217890 | DOLNE KOCKOVCE | sonda | SK1000500P | Medzizrnové podzemné vody kvartérnych náplavov horného toku Váhu a jeho prítokov |
| Q-M 038 | KVARTER TRENCIANSKEJ KOTLINY A PRILAHLE MEZOZOIKUM TRENCIANSKEJ VRCHOVINY | 16090 | VELKE BIEROVCE | sonda | SK1000500P | Medzizrnové podzemné vody kvartérnych náplavov horného toku Váhu a jeho prítokov |
| Q 039 | KVARTER BYTCIANSKEJ KOTLINY | 217990 | HRABOVE | sonda | SK1000500P | Medzizrnové podzemné vody kvartérnych náplavov horného toku Váhu a jeho prítokov |
| | | 218090 | BYTCA | sonda | SK1000500P | Medzizrnové podzemné vody kvartérnych náplavov horného toku Váhu a jeho prítokov |
| PM 040 | PALEOGEN A MEZOZOIKUM BRADLOVEHO PASMA JAVORNIKOV A SV CASTI BIELÝCH KARPAT | 83799 | IHRISTE | prameň | SK2001800F | Puklinové podzemné vody západnej časti flyšového pásma a podtatranskej skupiny |
| | | 86599 | C.KAMEN | prameň | SK2001800F | Puklinové podzemné vody západnej časti flyšového pásma a podtatranskej skupiny |

| HG rajón | Názov HG rajónu | Č. objektu | Lokalita | Typ objektu | Útvar PzV | Názov útvaru PzV |
|----------|---|------------|---------------------------|-------------|------------|--|
| PM 043 | PALEOGEN A MEZOZOIKUM BRADLOVEHO PASMA Z CASTI BIELYCH KARPAT | 2399 | STARA MYJAVA | prameň | SK2000700F | Puklinové podzemné vody západnej časti flyšového pásma |
| | | 5099 | VRBOVCE | prameň | SK2000700F | Puklinové podzemné vody západnej časti flyšového pásma |
| | | 5299 | SOBOTISTE | prameň | SK2000700F | Puklinové podzemné vody západnej časti flyšového pásma |
| N-M 044 | NEOGEN AZ KRIEDA MYJAVSKEJ PAHORKATINY JZ OD BRADLOVEHO PASMA | 3399 | BREZ.P.BRADLOM | prameň | SK2000400P | Medzizrnové podzemné vody východnej časti Viedenskej panvy |
| | | 95699 | LUBINA | prameň | SK2000900F | Puklinové podzemné vody Myjavskej pahorkatiny |
| | | 99899 | VADOVCE | prameň | SK2000900F | Puklinové podzemné vody Myjavskej pahorkatiny |
| M 045 | MEZOZOIKUM CACHTICKYCH KARPAT A CASTI BIELOKARPATSKEHO PODHORIA | 13290 | CACHTICE | sonda | SK200080KF | Dominantné krasovo - puklinové podzemné vody Pezinských, Brezovských a Čachtických Karpát čiastkového povodia Váhu |
| MG 046 | MEZOZOIKUM A PALEOZOIKUM SZ CASTI POVAZSKEHO INOVCA | 514890 | SELEC | sonda | SK200120FK | Puklinové a krasovo - puklinové podzemné vody severnej časti Považského Inovca |
| MG 047 | MEZOZOIKUM STREDNEJ A J CASTI POVAZSKEHO INOVCA | 98099 | LUKA N/VAHOM | prameň | SK200110KF | Dominantné krasovo - puklinové podzemné vody južnej časti Považského Inovca |
| | | 98999 | BANKA - VAPENISTE | prameň | SK200110KF | Dominantné krasovo - puklinové podzemné vody južnej časti Považského Inovca |
| Q 048 | KVARTER VAHU V PODUNAJSKEJ NIZINE S OD CIARY SALA - GALANTA | 13390 | KOCURICE | sonda | SK1000400P | Medzizrnové podzemné vody kvartérnych náplavov dolného toku Váhu, Nitra a ich prítokov |
| | | 14090 | DOLNE VODERADY | sonda | SK1000400P | Medzizrnové podzemné vody kvartérnych náplavov dolného toku Váhu, Nitra a ich prítokov |
| | | 14290 | DRAHOVCE | sonda | SK1000400P | Medzizrnové podzemné vody kvartérnych náplavov dolného toku Váhu, Nitra a ich prítokov |
| | | 14390 | MALY OSTROV - ORVISTE | sonda | SK1000400P | Medzizrnové podzemné vody kvartérnych náplavov dolného toku Váhu, Nitra a ich prítokov |
| | | 18590 | POVAZANY | sonda | SK1000400P | Medzizrnové podzemné vody kvartérnych náplavov dolného toku Váhu, Nitra a ich prítokov |
| | | 20790 | BRESTOVANY | sonda | SK1000400P | Medzizrnové podzemné vody kvartérnych náplavov dolného toku Váhu, Nitra a ich prítokov |
| | | 22190 | SOPORNA-STRKOVEC | sonda | SK1000400P | Medzizrnové podzemné vody kvartérnych náplavov dolného toku Váhu, Nitra a ich prítokov |
| | | 214490 | MORAVANY | sonda | SK1000400P | Medzizrnové podzemné vody kvartérnych náplavov dolného toku Váhu, Nitra a ich prítokov |
| | | 215290 | NOVE MESTO NAD VAHOM | sonda | SK1000400P | Medzizrnové podzemné vody kvartérnych náplavov dolného toku Váhu, Nitra a ich prítokov |
| | | 220890 | SULEKOVO | sonda | SK1000400P | Medzizrnové podzemné vody kvartérnych náplavov dolného toku Váhu, Nitra a ich prítokov |
| | | 531490 | NOVE MESTO N/VAH. M-14 | sonda | SK2001000P | Medzizrnové podzemné vody centrálnej časti Podunajskej panvy a jej výbežkov |
| N 049 | NEOGEN TRNAVSKEJ PAHORKATINY | 6290 | NIZNA - HUC-10/1 | sonda | SK2001000P | Medzizrnové podzemné vody centrálnej časti Podunajskej panvy a jej výbežkov |
| | | 501090 | CHORVATSKY GROB - HUC-1/1 | sonda | SK2001000P | Medzizrnové podzemné vody centrálnej časti Podunajskej panvy a jej výbežkov |
| QN 050 | KVARTER TRNAVSKEJ PAHORKATINY | 4590 | ZLKOVCE RATKOVCE | sonda | SK2001000P | Medzizrnové podzemné vody centrálnej časti Podunajskej panvy a jej výbežkov |

| HG rajón | Názov HG rajónu | Č. objektu | Lokalita | Typ objektu | Útvar PzV | Názov útvaru PzV |
|----------|-------------------------------------|------------|----------------------------|---|------------|---|
| Q 051 | KVARTER Z OKRAJA PODUNAJSKEJ ROVINY | 71390 | VAJNORY-STRKOVISKO | sonda | SK1000300P | Medzizrnové podzemné vody kvartérnych náplavov centrálnej časti Podunajskej panvy |
| | | 71690 | BA - RUZINOVSKA ULICA | sonda | SK1000300P | Medzizrnové podzemné vody kvartérnych náplavov centrálnej časti Podunajskej panvy |
| | | 210890 | ZALESIE | sonda | SK1000300P | Medzizrnové podzemné vody kvartérnych náplavov centrálnej časti Podunajskej panvy |
| | | 270390 | SPRINCLOV MAJER | sonda | SK1000300P | Medzizrnové podzemné vody kvartérnych náplavov centrálnej časti Podunajskej panvy |
| | | 270790 | BA - ZA DYNAMITKOU | sonda | SK1000300P | Medzizrnové podzemné vody kvartérnych náplavov centrálnej časti Podunajskej panvy |
| | | 272690 | BA - PALENISKO | sonda | SK1000300P | Medzizrnové podzemné vody kvartérnych náplavov centrálnej časti Podunajskej panvy |
| | | 273190 | BA - VRAKUNA | sonda | SK1000300P | Medzizrnové podzemné vody kvartérnych náplavov centrálnej časti Podunajskej panvy |
| | | 279490 | BA - PETRZALKA - COLNICA | sonda | SK1000200P | Medzizrnové podzemné vody kvartérnych náplavov západnej časti Podunajskej panvy |
| | | 344990 | BA - RUZINOV | sonda | SK1000300P | Medzizrnové podzemné vody kvartérnych náplavov centrálnej časti Podunajskej panvy |
| | | 601691 | ROVINKA | sonda | SK1000300P | Medzizrnové podzemné vody kvartérnych náplavov centrálnej časti Podunajskej panvy |
| | | 601692 | ROVINKA | sonda | SK1000300P | Medzizrnové podzemné vody kvartérnych náplavov centrálnej časti Podunajskej panvy |
| | | 603491 | JAROVCE | sonda | SK1000200P | Medzizrnové podzemné vody kvartérnych náplavov západnej časti Podunajskej panvy |
| | | 603492 | JAROVCE | sonda | SK1000200P | Medzizrnové podzemné vody kvartérnych náplavov západnej časti Podunajskej panvy |
| | | 712590 | BA - PETRZALKA | sonda | SK1000200P | Medzizrnové podzemné vody kvartérnych náplavov západnej časti Podunajskej panvy |
| | | 716690 | PETRZALKA | sonda | SK1000200P | Medzizrnové podzemné vody kvartérnych náplavov západnej časti Podunajskej panvy |
| | | 720090 | PODUNAJSKE BISKUPICE | sonda | SK1000300P | Medzizrnové podzemné vody kvartérnych náplavov centrálnej časti Podunajskej panvy |
| | | 720190 | BRATISLAVA - VLCIE HRDLO | sonda | SK1000200P | Medzizrnové podzemné vody kvartérnych náplavov západnej časti Podunajskej panvy |
| | | 721591 | MALINOVO | sonda | SK1000300P | Medzizrnové podzemné vody kvartérnych náplavov centrálnej časti Podunajskej panvy |
| 721592 | MALINOVO | sonda | SK1000300P | Medzizrnové podzemné vody kvartérnych náplavov centrálnej časti Podunajskej panvy | | |
| 721593 | MALINOVO | sonda | SK1000300P | Medzizrnové podzemné vody kvartérnych náplavov centrálnej časti Podunajskej panvy | | |
| Q 052 | KVARTER JZ CASTI PODUNAJSKEJ ROVINY | 66790 | BAKA | sonda | SK1000300P | Medzizrnové podzemné vody kvartérnych náplavov centrálnej časti Podunajskej panvy |
| | | 69490 | KALINKOVO | sonda | SK1000200P | Medzizrnové podzemné vody kvartérnych náplavov západnej časti Podunajskej panvy |
| | | 69590 | MILOSLAVOV - ALZBETIN DVOR | sonda | SK1000300P | Medzizrnové podzemné vody kvartérnych náplavov centrálnej časti Podunajskej panvy |
| | | 72990 | CUNOVO | sonda | SK1000200P | Medzizrnové podzemné vody kvartérnych náplavov západnej časti Podunajskej panvy |

| HG rajón | Názov HG rajónu | Č. objektu | Lokalita | Typ objektu | Útvar PzV | Názov útvaru PzV |
|----------|--------------------------------------|------------|---------------------|---|------------|---|
| Q 052 | KVARTER JZ CASTI PODUNAJSKJEJ ROVINY | 204790 | BLATNE | sonda | SK1000300P | Medzizrnové podzemné vody kvartérnych náplavov centrálnej časti Podunajskej panvy |
| | | 260290 | KOMARNO | sonda | SK1000200P | Medzizrnové podzemné vody kvartérnych náplavov západnej časti Podunajskej panvy |
| | | 260490 | KOMARNO | sonda | SK1000300P | Medzizrnové podzemné vody kvartérnych náplavov centrálnej časti Podunajskej panvy |
| | | 261190 | KAMENICNA - PIESKY | sonda | SK1000300P | Medzizrnové podzemné vody kvartérnych náplavov centrálnej časti Podunajskej panvy |
| | | 264290 | OKOC - ASZOD | sonda | SK1000300P | Medzizrnové podzemné vody kvartérnych náplavov centrálnej časti Podunajskej panvy |
| | | 264791 | KLIZSKA NEMA | sonda | SK1000200P | Medzizrnové podzemné vody kvartérnych náplavov západnej časti Podunajskej panvy |
| | | 264792 | KLIZSKA NEMA | sonda | SK1000200P | Medzizrnové podzemné vody kvartérnych náplavov západnej časti Podunajskej panvy |
| | | 600491 | VELKY MEDER | sonda | SK1000200P | Medzizrnové podzemné vody kvartérnych náplavov západnej časti Podunajskej panvy |
| | | 600492 | VELKY MEDER | sonda | SK1000200P | Medzizrnové podzemné vody kvartérnych náplavov západnej časti Podunajskej panvy |
| | | 600493 | VELKY MEDER | sonda | SK1000200P | Medzizrnové podzemné vody kvartérnych náplavov západnej časti Podunajskej panvy |
| | | 600691 | DVORNIKY NA OSTROVE | sonda | SK1000300P | Medzizrnové podzemné vody kvartérnych náplavov centrálnej časti Podunajskej panvy |
| | | 600692 | DVORNIKY NA OSTROVE | sonda | SK1000300P | Medzizrnové podzemné vody kvartérnych náplavov centrálnej časti Podunajskej panvy |
| | | 600693 | DVORNIKY NA OSTROVE | sonda | SK1000300P | Medzizrnové podzemné vody kvartérnych náplavov centrálnej časti Podunajskej panvy |
| | | 601092 | DOBROHOST | sonda | SK1000200P | Medzizrnové podzemné vody kvartérnych náplavov západnej časti Podunajskej panvy |
| | | 601095 | DOBROHOST | sonda | SK1000200P | Medzizrnové podzemné vody kvartérnych náplavov západnej časti Podunajskej panvy |
| | | 601096 | DOBROHOST | sonda | SK1000200P | Medzizrnové podzemné vody kvartérnych náplavov západnej časti Podunajskej panvy |
| | | 601191 | OLDZA | sonda | SK1000300P | Medzizrnové podzemné vody kvartérnych náplavov centrálnej časti Podunajskej panvy |
| | | 601192 | OLDZA | sonda | SK1000300P | Medzizrnové podzemné vody kvartérnych náplavov centrálnej časti Podunajskej panvy |
| | | 601195 | OLDZA | sonda | SK1000300P | Medzizrnové podzemné vody kvartérnych náplavov centrálnej časti Podunajskej panvy |
| | | 601291 | VLKY | sonda | SK1000300P | Medzizrnové podzemné vody kvartérnych náplavov centrálnej časti Podunajskej panvy |
| | | 601292 | VLKY | sonda | SK1000300P | Medzizrnové podzemné vody kvartérnych náplavov centrálnej časti Podunajskej panvy |
| | | 601293 | VLKY | sonda | SK1000300P | Medzizrnové podzemné vody kvartérnych náplavov centrálnej časti Podunajskej panvy |
| | | 601391 | KALINKOVO | sonda | SK1000200P | Medzizrnové podzemné vody kvartérnych náplavov západnej časti Podunajskej panvy |
| 601392 | KALINKOVO | sonda | SK1000200P | Medzizrnové podzemné vody kvartérnych náplavov západnej časti Podunajskej panvy | | |

| HG rajón | Názov HG rajónu | Č. objektu | Lokalita | Typ objektu | Útvar PzV | Názov útvaru PzV |
|----------|-------------------------------------|------------|----------------------------|-------------|------------|---|
| Q 052 | KVARTER JZ CASTI PODUNAJSKEJ ROVINY | 601393 | KALINKOVO | sonda | SK1000200P | Medzizrnové podzemné vody kvartérnych náplavov západnej časti Podunajskej panvy |
| | | 601591 | DUNAJSKA LUZNA - KOSARISKA | sonda | SK1000300P | Medzizrnové podzemné vody kvartérnych náplavov centrálnej časti Podunajskej panvy |
| | | 601592 | DUNAJSKA LUZNA - KOSARISKA | sonda | SK1000300P | Medzizrnové podzemné vody kvartérnych náplavov centrálnej časti Podunajskej panvy |
| | | 601593 | DUNAJSKA LUZNA - KOSARISKA | sonda | SK1000300P | Medzizrnové podzemné vody kvartérnych náplavov centrálnej časti Podunajskej panvy |
| | | 602891 | RUSOVCE - MOKRAD | sonda | SK1000200P | Medzizrnové podzemné vody kvartérnych náplavov západnej časti Podunajskej panvy |
| | | 602892 | RUSOVCE - MOKRAD | sonda | SK1000200P | Medzizrnové podzemné vody kvartérnych náplavov západnej časti Podunajskej panvy |
| | | 602893 | RUSOVCE - MOKRAD | sonda | SK1000200P | Medzizrnové podzemné vody kvartérnych náplavov západnej časti Podunajskej panvy |
| | | 602991 | RUSOVCE | sonda | SK1000200P | Medzizrnové podzemné vody kvartérnych náplavov západnej časti Podunajskej panvy |
| | | 602992 | RUSOVCE | sonda | SK1000200P | Medzizrnové podzemné vody kvartérnych náplavov západnej časti Podunajskej panvy |
| | | 602993 | RUSOVCE | sonda | SK1000200P | Medzizrnové podzemné vody kvartérnych náplavov západnej časti Podunajskej panvy |
| | | 603091 | CUNOVO | sonda | SK1000200P | Medzizrnové podzemné vody kvartérnych náplavov západnej časti Podunajskej panvy |
| | | 603092 | CUNOVO | sonda | SK1000200P | Medzizrnové podzemné vody kvartérnych náplavov západnej časti Podunajskej panvy |
| | | 603093 | CUNOVO | sonda | SK1000200P | Medzizrnové podzemné vody kvartérnych náplavov západnej časti Podunajskej panvy |
| | | 603191 | JELKA | sonda | SK1000300P | Medzizrnové podzemné vody kvartérnych náplavov centrálnej časti Podunajskej panvy |
| | | 603192 | JELKA | sonda | SK1000300P | Medzizrnové podzemné vody kvartérnych náplavov centrálnej časti Podunajskej panvy |
| | | 603291 | GABCIKOVO | sonda | SK1000300P | Medzizrnové podzemné vody kvartérnych náplavov centrálnej časti Podunajskej panvy |
| | | 603292 | GABCIKOVO | sonda | SK1000300P | Medzizrnové podzemné vody kvartérnych náplavov centrálnej časti Podunajskej panvy |
| | | 603391 | MLIECANY | sonda | SK1000300P | Medzizrnové podzemné vody kvartérnych náplavov centrálnej časti Podunajskej panvy |
| | | 603392 | MLIECANY | sonda | SK1000300P | Medzizrnové podzemné vody kvartérnych náplavov centrálnej časti Podunajskej panvy |
| | | 605990 | CALOVEC - KAMENICNA | sonda | SK1000300P | Medzizrnové podzemné vody kvartérnych náplavov centrálnej časti Podunajskej panvy |
| | | 724191 | KVETOSLAVOV | sonda | SK1000300P | Medzizrnové podzemné vody kvartérnych náplavov centrálnej časti Podunajskej panvy |
| | | 724192 | KVETOSLAVOV | sonda | SK1000300P | Medzizrnové podzemné vody kvartérnych náplavov centrálnej časti Podunajskej panvy |
| | | 724590 | SAMORIN | sonda | SK1000200P | Medzizrnové podzemné vody kvartérnych náplavov západnej časti Podunajskej panvy |
| | | 725491 | HORNA POTON | sonda | SK1000300P | Medzizrnové podzemné vody kvartérnych náplavov centrálnej časti Podunajskej panvy |

| HG rajón | Názov HG rajónu | Č. objektu | Lokalita | Typ objektu | Útvar PzV | Názov útvaru PzV |
|----------|-------------------------------------|------------|--------------------|---|------------|---|
| Q 052 | KVARTER JZ CASTI PODUNAJSKÉJ ROVINY | 725492 | HORNA POTON | sonda | SK1000300P | Medzizrnové podzemné vody kvartérnych náplavov centrálnej časti Podunajskej panvy |
| | | 725493 | HORNA POTON | sonda | SK1000300P | Medzizrnové podzemné vody kvartérnych náplavov centrálnej časti Podunajskej panvy |
| | | 726591 | SAMORIN - MLIECNO | sonda | SK1000200P | Medzizrnové podzemné vody kvartérnych náplavov západnej časti Podunajskej panvy |
| | | 726592 | SAMORIN - MLIECNO | sonda | SK1000200P | Medzizrnové podzemné vody kvartérnych náplavov západnej časti Podunajskej panvy |
| | | 726593 | SAMORIN - MLIECNO | sonda | SK1000200P | Medzizrnové podzemné vody kvartérnych náplavov západnej časti Podunajskej panvy |
| | | 727491 | VOJKA | sonda | SK1000200P | Medzizrnové podzemné vody kvartérnych náplavov západnej časti Podunajskej panvy |
| | | 727492 | VOJKA | sonda | SK1000200P | Medzizrnové podzemné vody kvartérnych náplavov západnej časti Podunajskej panvy |
| | | 727493 | VOJKA | sonda | SK1000200P | Medzizrnové podzemné vody kvartérnych náplavov západnej časti Podunajskej panvy |
| | | 727791 | ROHOVCE - STRKOVEC | sonda | SK1000300P | Medzizrnové podzemné vody kvartérnych náplavov centrálnej časti Podunajskej panvy |
| | | 727793 | ROHOVCE - STRKOVEC | sonda | SK1000300P | Medzizrnové podzemné vody kvartérnych náplavov centrálnej časti Podunajskej panvy |
| | | 727794 | ROHOVCE - STRKOVEC | sonda | SK1000300P | Medzizrnové podzemné vody kvartérnych náplavov centrálnej časti Podunajskej panvy |
| | | 729391 | VELKE BLAHOVO | sonda | SK1000300P | Medzizrnové podzemné vody kvartérnych náplavov centrálnej časti Podunajskej panvy |
| | | 729394 | VELKE BLAHOVO | sonda | SK1000300P | Medzizrnové podzemné vody kvartérnych náplavov centrálnej časti Podunajskej panvy |
| | | 729492 | ORECHOVA POTON | sonda | SK1000300P | Medzizrnové podzemné vody kvartérnych náplavov centrálnej časti Podunajskej panvy |
| | | 729493 | ORECHOVA POTON | sonda | SK1000300P | Medzizrnové podzemné vody kvartérnych náplavov centrálnej časti Podunajskej panvy |
| | | 731291 | KOSTOLNE - KRACANY | sonda | SK1000300P | Medzizrnové podzemné vody kvartérnych náplavov centrálnej časti Podunajskej panvy |
| | | 731292 | KOSTOLNE - KRACANY | sonda | SK1000300P | Medzizrnové podzemné vody kvartérnych náplavov centrálnej časti Podunajskej panvy |
| | | 731890 | HORNY BAR | sonda | SK1000300P | Medzizrnové podzemné vody kvartérnych náplavov centrálnej časti Podunajskej panvy |
| | | 733691 | VRAKUN | sonda | SK1000300P | Medzizrnové podzemné vody kvartérnych náplavov centrálnej časti Podunajskej panvy |
| | | 733693 | VRAKUN | sonda | SK1000300P | Medzizrnové podzemné vody kvartérnych náplavov centrálnej časti Podunajskej panvy |
| | | 733695 | VRAKUN | sonda | SK1000300P | Medzizrnové podzemné vody kvartérnych náplavov centrálnej časti Podunajskej panvy |
| | | 736591 | PALKOVICOVO - SAP | sonda | SK1000200P | Medzizrnové podzemné vody kvartérnych náplavov západnej časti Podunajskej panvy |
| | | 736592 | PALKOVICOVO - SAP | sonda | SK1000200P | Medzizrnové podzemné vody kvartérnych náplavov západnej časti Podunajskej panvy |
| 736593 | PALKOVICOVO - SAP | sonda | SK1000200P | Medzizrnové podzemné vody kvartérnych náplavov západnej časti Podunajskej panvy | | |

| HG rajón | Názov HG rajónu | Č. objektu | Lokalita | Typ objektu | Útvar PzV | Názov útvaru PzV |
|----------|---|------------|-------------------------|-------------|------------|--|
| Q 052 | KVARTER JZ CASTI PODUNAJSKEJ ROVINY | 736691 | KLUCOVEC | sonda | SK1000200P | Medzizrnové podzemné vody kvartérnych náplavov západnej časti Podunajskej panvy |
| | | 736692 | KLUCOVEC | sonda | SK1000200P | Medzizrnové podzemné vody kvartérnych náplavov západnej časti Podunajskej panvy |
| | | 736693 | KLUCOVEC | sonda | SK1000200P | Medzizrnové podzemné vody kvartérnych náplavov západnej časti Podunajskej panvy |
| | | 738191 | ZLATNA NA OSTROVE | sonda | SK1000200P | Medzizrnové podzemné vody kvartérnych náplavov západnej časti Podunajskej panvy |
| MN 053 | MEZOZOIKUM S CASTI PEZINSKYCH KARPAT A BREZOVSKÝCH KARPAT | 4399 | JABLONICA | prameň | SK200060KF | Dominantné krasovo - puklinové podzemné vody Pezinských a Brezovských Karpát čiastkového povodia Moravy |
| | | 8199 | PLAV.PODHRADIE | prameň | SK200060KF | Dominantné krasovo - puklinové podzemné vody Pezinských a Brezovských Karpát čiastkového povodia Moravy |
| | | 23199 | CHTELNICA | prameň | SK200080KF | Dominantné krasovo - puklinové podzemné vody Pezinských, Brezovských a Čachtických Karpát čiastkového povodia Váhu |
| M 054 | MEZOZOIKUM KRIZNANSKEHO PRIKROVU MALYCH KARPAT | 24399 | HORNE ORESANY | prameň | SK200080KF | Dominantné krasovo - puklinové podzemné vody Pezinských, Brezovských a Čachtických Karpát čiastkového povodia Váhu |
| MG 055 | KRYSTALINIKUM A MEZOZOIKUM JV CASTI PEZINSKYCH KARPAT | 20799 | JUR PRI BRAT | prameň | SK200030FK | Puklinové a krasovo - puklinové podzemné vody Pezinských Karpát čiastkového povodia Váhu |
| | | 21599 | ZELEZNA STUDNICKA | prameň | SK200010FK | Puklinové a krasovo - puklinové podzemné vody Pezinských a Devínskych Karpát čiastkového povodia Moravy a Dunaja |
| | | 21699 | RACA-ZBOJNICKA | prameň | SK200010FK | Puklinové a krasovo - puklinové podzemné vody Pezinských a Devínskych Karpát čiastkového povodia Moravy a Dunaja |
| | | 23099 | PEZINOK - KNAZOVE DIERY | prameň | SK200030FK | Puklinové a krasovo - puklinové podzemné vody Pezinských Karpát čiastkového povodia Váhu |
| | | 24499 | DOLANY | prameň | SK200030FK | Puklinové a krasovo - puklinové podzemné vody Pezinských Karpát čiastkového povodia Váhu |
| | | 144590 | BA - GASTANOVY HAJIK | sonda | SK1000300P | Medzizrnové podzemné vody kvartérnych náplavov centrálnej časti Podunajskej panvy |
| | | 402290 | BRATISLAVA | sonda | SK2000500P | Medzizrnové podzemné vody južnej časti Podunajskej panvy |
| Q 056 | KVARTER DUNAJA V USEKU KOMARNO - CHLABA | 52990 | IZA - BOKROS | sonda | SK1000600P | Medzizrnové podzemné vody kvartérnych náplavov východnej časti Podunajskej panvy |
| | | 86990 | CHLABA-USTIE | sonda | SK1000600P | Medzizrnové podzemné vody kvartérnych náplavov východnej časti Podunajskej panvy |
| | | 251490 | MUZLA - KENDELES | sonda | SK1000600P | Medzizrnové podzemné vody kvartérnych náplavov východnej časti Podunajskej panvy |
| | | 602390 | IZA | sonda | SK1000600P | Medzizrnové podzemné vody kvartérnych náplavov východnej časti Podunajskej panvy |
| | | 602690 | KRAVANY | sonda | SK1000600P | Medzizrnové podzemné vody kvartérnych náplavov východnej časti Podunajskej panvy |
| Q 057 | KVARTER DUNAJSKYCH TERAS NA UPATI HRONSKEJ PAHORKATINY | 28199 | MUZLA | prameň | SK2000500P | Medzizrnové podzemné vody južnej časti Podunajskej panvy |
| | | 53190 | CHOTIN | sonda | SK1000600P | Medzizrnové podzemné vody kvartérnych náplavov východnej časti Podunajskej panvy |
| | | 602490 | MOCA | sonda | SK1000600P | Medzizrnové podzemné vody kvartérnych náplavov východnej časti Podunajskej panvy |
| N 058 | NEOGEN HRONSKEJ PAHORKATINY | 22690 | BAJC | sonda | SK2001000P | Medzizrnové podzemné vody centrálnej časti Podunajskej panvy a jej výbežkov |

| HG rajón | Názov HG rajónu | Č. objektu | Lokalita | Typ objektu | Útvar PzV | Názov útvaru PzV |
|----------|--|------------|-----------------------------|-------------|------------|---|
| QN 059 | KVARTER HRONSKÝCH TERAS V PODUNAJSKEJ NIZINE | 57190 | ZELIEZOVCE | sonda | SK1000700P | Medzizrnové podzemné vody kvartérnych náplavov Hrona a jeho prítokov |
| Q 060 | KVARTER NIVY HRONA V PODUNAJSKEJ NIZINE | 50690 | STUROVO | sonda | SK1000700P | Medzizrnové podzemné vody kvartérnych náplavov Hrona a jeho prítokov |
| | | 56090 | BINA | sonda | SK1000700P | Medzizrnové podzemné vody kvartérnych náplavov Hrona a jeho prítokov |
| | | 56990 | SALOV - DOMASA | sonda | SK1000700P | Medzizrnové podzemné vody kvartérnych náplavov Hrona a jeho prítokov |
| | | 58590 | LEVICE - MAJER GENA | sonda | SK1000700P | Medzizrnové podzemné vody kvartérnych náplavov Hrona a jeho prítokov |
| | | 58790 | KALNICA | sonda | SK1000700P | Medzizrnové podzemné vody kvartérnych náplavov Hrona a jeho prítokov |
| | | 59490 | HRONSKÉ KOSIHY | sonda | SK1000700P | Medzizrnové podzemné vody kvartérnych náplavov Hrona a jeho prítokov |
| | | 59790 | VELKE KOZMALOVCE - STANICA | sonda | SK1000700P | Medzizrnové podzemné vody kvartérnych náplavov Hrona a jeho prítokov |
| | | 259190 | STARÝ TEKOV | sonda | SK1000700P | Medzizrnové podzemné vody kvartérnych náplavov Hrona a jeho prítokov |
| N 061 | NEOGEN STREDNEJ A J CASTI IPELSKEJ PAHORKATINY | 503890 | KUBANOVO | sonda | SK2002300P | Medzizrnové podzemné vody východnej časti Podunajskej panvy a Ipeľskej kotliny |
| P-G 063 | KRYSTALINIKUM, MEZOZOIKUM A PALEOGEN JZ CASTI POHORIA ŽIAR A HANDLOVSKEJ KOTLINY | 114599 | RAZTOCNO | prameň | SK200190FK | Puklinové a krasovo - puklinové podzemné vody pohoria Žiar |
| | | 514390 | MALÁ CAUSA | sonda | SK200190FK | Puklinové a krasovo - puklinové podzemné vody pohoria Žiar |
| P-G 065 | MEZOZOIKUM A PALEOGEN V CASTI STRAZOVSKÝCH VRCHOV | 113699 | DLZIN | prameň | SK200160FK | Puklinové a krasovo - puklinové podzemné vody južnej časti Strážovských vrchov |
| MP 066 | MEZOZOIKUM A PALEOGEN J CASTI STRAZOVSKÝCH VRCHOV | 26690 | HRADISTE -SEVER | sonda | SK200140KF | Dominantné krasovo - puklinové podzemné vody severnej časti Strážovských vrchov a Lúčanskej Malej Fatry |
| | | 108199 | NITR.SUCANY-PODV RATNA DOL. | prameň | SK200140KF | Dominantné krasovo - puklinové podzemné vody severnej časti Strážovských vrchov a Lúčanskej Malej Fatry |
| | | 110199 | DOLNE MOTESICE - JAZERO | prameň | SK200140KF | Dominantné krasovo - puklinové podzemné vody severnej časti Strážovských vrchov a Lúčanskej Malej Fatry |
| QN 067 | NEOGEN A KVARTER HORNONITRIANSKEJ KOTLINY | 25690 | NOVAKY - SEVER | sonda | SK1000400P | Medzizrnové podzemné vody kvartérnych náplavov dolného toku Váhu, Nitry a ich prítokov |
| | | 25890 | BYSTRICANY | sonda | SK1000400P | Medzizrnové podzemné vody kvartérnych náplavov dolného toku Váhu, Nitry a ich prítokov |
| | | 225290 | PRIEVIDZA - NECPALY | sonda | SK1000400P | Medzizrnové podzemné vody kvartérnych náplavov dolného toku Váhu, Nitry a ich prítokov |
| | | 225390 | PRIEVIDZA - LETISKO | sonda | SK1000400P | Medzizrnové podzemné vody kvartérnych náplavov dolného toku Váhu, Nitry a ich prítokov |
| | | 225790 | NOVAKY | sonda | SK1000400P | Medzizrnové podzemné vody kvartérnych náplavov dolného toku Váhu, Nitry a ich prítokov |
| | | 226490 | NITRIANSKE SUCANY | sonda | SK200170FP | Puklinové a medzizrnové podzemné vody neovulkanitov a terciérnych náplavov Hornonitrianskej kotliny |
| | | 514590 | NITRIANSKE PRAVNO | sonda | SK200170FP | Puklinové a medzizrnové podzemné vody neovulkanitov a terciérnych náplavov Hornonitrianskej kotliny |
| GM 068 | KRYSTALINIKUM A MEZOZOIKUM V CASTI POVAZSKEHO INOVCA | 115999 | ZAVADA | prameň | SK200120FK | Puklinové a krasovo - puklinové podzemné vody severnej časti Považského Inovca |

| HG rajón | Názov HG rajónu | Č. objektu | Lokalita | Typ objektu | Útvar PzV | Názov útvaru PzV |
|----------|--|------------|----------------------|-------------|------------|--|
| MG 069 | MEZOZOIKUM A PALEOZOIKUM SV CASTI TRIBCA | 113499 | BRODZANY | prameň | SK200150FK | Puklinové a krasovo - puklinové podzemné vody Tribeča |
| | | 140899 | VELKE POLE - STUDNA | prameň | SK200150FK | Puklinové a krasovo - puklinové podzemné vody Tribeča |
| MG 070 | KRYSTALINIKUM A MEZOZOIKUM J A STREDNEJ CASTI TRIBCA | 108999 | TOPOLCANY - SADOK | prameň | SK200150FK | Puklinové a krasovo - puklinové podzemné vody Tribeča |
| | | 116299 | PODHORANY | prameň | SK200150FK | Puklinové a krasovo - puklinové podzemné vody Tribeča |
| NQ 071 | NEOGEN NITRIANSKEJ PAHORKATINY | 27590 | OSTRATICE | sonda | SK1000400P | Medzizrnové podzemné vody kvartérnych náplavov dolného toku Váhu, Nitra a ich prítokov |
| | | 28290 | TOPOLCANY | sonda | SK1000400P | Medzizrnové podzemné vody kvartérnych náplavov dolného toku Váhu, Nitra a ich prítokov |
| | | 28590 | NITRIANSKA STREDA | sonda | SK1000400P | Medzizrnové podzemné vody kvartérnych náplavov dolného toku Váhu, Nitra a ich prítokov |
| | | 30990 | RASTISLAVICE | sonda | SK2001000P | Medzizrnové podzemné vody centrálnej časti Podunajskej panvy a jej výbežkov |
| | | 114099 | VELKE DRZKOVCE | prameň | SK2001300P | Medzizrnové podzemné vody Bánovskej kotliny |
| | | 222090 | SALA-MOCENOK | sonda | SK2001000P | Medzizrnové podzemné vody centrálnej časti Podunajskej panvy a jej výbežkov |
| | | 229690 | DRAZOVCE | sonda | SK1000400P | Medzizrnové podzemné vody kvartérnych náplavov dolného toku Váhu, Nitra a ich prítokov |
| Q 072 | KVARTER NITRY OD MESTA NITRA PO NOVE ZAMKY | 30290 | DOLNE KRSKANY | sonda | SK1000400P | Medzizrnové podzemné vody kvartérnych náplavov dolného toku Váhu, Nitra a ich prítokov |
| | | 30490 | IVANKA PRI NITRE | sonda | SK1000400P | Medzizrnové podzemné vody kvartérnych náplavov dolného toku Váhu, Nitra a ich prítokov |
| | | 36490 | ULANY NAD ZITAVOU | sonda | SK1000400P | Medzizrnové podzemné vody kvartérnych náplavov dolného toku Váhu, Nitra a ich prítokov |
| | | 37990 | NOVE ZAMKY-JUH | sonda | SK1000400P | Medzizrnové podzemné vody kvartérnych náplavov dolného toku Váhu, Nitra a ich prítokov |
| | | 602190 | BANOV | sonda | SK1000400P | Medzizrnové podzemné vody kvartérnych náplavov dolného toku Váhu, Nitra a ich prítokov |
| | | 602290 | SURANY | sonda | SK1000400P | Medzizrnové podzemné vody kvartérnych náplavov dolného toku Váhu, Nitra a ich prítokov |
| NQ 073 | NEOGEN ZITAVSKEJ PAHORKATINY | 35390 | ZLATE MORAVCE | sonda | SK1000400P | Medzizrnové podzemné vody kvartérnych náplavov dolného toku Váhu, Nitra a ich prítokov |
| | | 35790 | DYCKA | sonda | SK1000400P | Medzizrnové podzemné vody kvartérnych náplavov dolného toku Váhu, Nitra a ich prítokov |
| | | 235690 | NOVA VES NAD ZITAVOU | sonda | SK1000400P | Medzizrnové podzemné vody kvartérnych náplavov dolného toku Váhu, Nitra a ich prítokov |
| Q 074 | KVARTER MEDZIRIECIA PODUNAJSKJEJ ROVINY | 12790 | MOSTOVA | sonda | SK1000400P | Medzizrnové podzemné vody kvartérnych náplavov dolného toku Váhu, Nitra a ich prítokov |
| | | 12890 | KRALOV BROD | sonda | SK1000400P | Medzizrnové podzemné vody kvartérnych náplavov dolného toku Váhu, Nitra a ich prítokov |
| | | 12990 | DIAKOVCE | sonda | SK1000400P | Medzizrnové podzemné vody kvartérnych náplavov dolného toku Váhu, Nitra a ich prítokov |
| | | 23590 | SALA | sonda | SK1000400P | Medzizrnové podzemné vody kvartérnych náplavov dolného toku Váhu, Nitra a ich prítokov |

| HG rajón | Názov HG rajónu | Č. objektu | Lokalita | Typ objektu | Útvar PzV | Názov útvaru PzV |
|----------|---|------------|---------------------------|-------------|------------|--|
| Q 074 | KVARTER MEDZIRIECIA PODUNAJSKEJ ROVINY | 25090 | NESVADY | sonda | SK1000400P | Medzizrnové podzemné vody kvartérnych náplavov dolného toku Váhu, Nitry a ich prítokov |
| | | 38690 | HURBANOVO-MALY VEK | sonda | SK1000600P | Medzizrnové podzemné vody kvartérnych náplavov východnej časti Podunajskej panvy |
| | | 211990 | GALANTA | sonda | SK1000400P | Medzizrnové podzemné vody kvartérnych náplavov dolného toku Váhu, Nitry a ich prítokov |
| | | 224490 | VRBOVA N/V - VELKY KINDES | sonda | SK1000400P | Medzizrnové podzemné vody kvartérnych náplavov dolného toku Váhu, Nitry a ich prítokov |
| | | 237490 | PALARIKOVO | sonda | SK1000400P | Medzizrnové podzemné vody kvartérnych náplavov dolného toku Váhu, Nitry a ich prítokov |
| | | 253890 | KOMARNO - KOMOCIN | sonda | SK1000600P | Medzizrnové podzemné vody kvartérnych náplavov východnej časti Podunajskej panvy |
| Q-G 075 | PALEOZOIKUM A MLADŠIE UTVARY CASTI POVODIA HORNEHO HRONA PO PIESOK | 89690 | BREZNO | sonda | SK200280FK | Puklinové a krasovo - puklinové podzemné vody Nízkych Tatier a Slovenského rudohoria |
| | | 89890 | POLOMKA-HAMOR | sonda | SK200280FK | Puklinové a krasovo - puklinové podzemné vody Nízkych Tatier a Slovenského rudohoria |
| MG 076 | KRYSTALINIKUM A MEZOZOIKUM JZ SVAHOV NIZKYCH TATIER | 122699 | VALASKA - VYVIERACKA | prameň | SK200280FK | Puklinové a krasovo - puklinové podzemné vody Nízkych Tatier a Slovenského rudohoria |
| | | 126199 | MEDZIBROD - TRSTIE | prameň | SK200290FK | Puklinové a krasovo - puklinové podzemné vody južných svahov Nízkych Tatier |
| | | 130699 | MYTO POD DUMBIEROM | prameň | SK200280FK | Puklinové a krasovo - puklinové podzemné vody Nízkych Tatier a Slovenského rudohoria |
| | | 130799 | JASENIE | prameň | SK200290FK | Puklinové a krasovo - puklinové podzemné vody južných svahov Nízkych Tatier |
| | | 131199 | DOLNA LEHOTA-UHLISTE | prameň | SK200280FK | Puklinové a krasovo - puklinové podzemné vody Nízkych Tatier a Slovenského rudohoria |
| | | 132899 | BRUSNO | prameň | SK200290FK | Puklinové a krasovo - puklinové podzemné vody južných svahov Nízkych Tatier |
| | | 450190 | DUBOVA - ZAMOSTIE | sonda | SK200290FK | Puklinové a krasovo - puklinové podzemné vody južných svahov Nízkych Tatier |
| MG 077 | MEZOZOIKUM A PALEOZOIKUM STAROHORSKYCH VRCHOV A S CASTI ZVOLENSKEJ KOTLINY | 130999 | MOSTENICA - KYSLA | prameň | SK200280FK | Puklinové a krasovo - puklinové podzemné vody Nízkych Tatier a Slovenského rudohoria |
| | | 132199 | BALAZE,pr.PODKALISTE | prameň | SK200280FK | Puklinové a krasovo - puklinové podzemné vody Nízkych Tatier a Slovenského rudohoria |
| | | 538290 | LUCATIN | sonda | SK200280FK | Puklinové a krasovo - puklinové podzemné vody Nízkych Tatier a Slovenského rudohoria |
| MG 078 | MEZOZOIKUM A PREDMEZOZOICKE UTVARY SV CASTI ZVOLENSKEJ KOTL. A SZ CASTI VEPORSKYCH VRCHOV | 122199 | OSRBLIE - TEPLICA | prameň | SK200280FK | Puklinové a krasovo - puklinové podzemné vody Nízkych Tatier a Slovenského rudohoria |
| | | 620490 | BANSKA BYSTRICA-SALKOVA | sonda | SK200280FK | Puklinové a krasovo - puklinové podzemné vody Nízkych Tatier a Slovenského rudohoria |
| MP 079 | MEZOZOIKUM KREMNICKYCH VRCHOV A Z CASTI ZVOLENSKEJ KOTLINY | 128799 | KRALIKY | prameň | SK200250KF | Dominantné krasovo - puklinové podzemné vody Veľkej Fatry |
| Q 080 | KVARTER NIVY HRONA A SLATINY OD SLOVENSKEJ LUPCE PO TLMACE | 76290 | LOVCA | sonda | SK1000700P | Medzizrnové podzemné vody kvartérnych náplavov Hrona a jeho prítokov |
| | | 76790 | DOLNA ZDANA - HLINIK N.H. | sonda | SK1000700P | Medzizrnové podzemné vody kvartérnych náplavov Hrona a jeho prítokov |
| | | 77990 | RUDNO NAD HRONOM | sonda | SK1000700P | Medzizrnové podzemné vody kvartérnych náplavov Hrona a jeho prítokov |

| HG rajón | Názov HG rajónu | Č. objektu | Lokalita | Typ objektu | Útvar PzV | Názov útvaru PzV |
|----------|--|------------|--------------------------|-------------|------------|---|
| Q 080 | KVARTER NIVY HRONA A SLATINY OD SLOVENSKEJ LUPCE PO TLMACE | 78590 | TEKOVSKA BREZNICA | sonda | SK1000700P | Medzizrnové podzemné vody kvartérnych náplavov Hrona a jeho prítokov |
| | | 78990 | KOZAROVCE - ZA MLYNOM | sonda | SK1000700P | Medzizrnové podzemné vody kvartérnych náplavov Hrona a jeho prítokov |
| | | 88890 | BANSKA BYSTRICA-MAJER | sonda | SK1000700P | Medzizrnové podzemné vody kvartérnych náplavov Hrona a jeho prítokov |
| | | 90090 | KREMnickKA | sonda | SK1000700P | Medzizrnové podzemné vody kvartérnych náplavov Hrona a jeho prítokov |
| | | 286190 | SASOVSKÉ PODHRADIE | sonda | SK1000700P | Medzizrnové podzemné vody kvartérnych náplavov Hrona a jeho prítokov |
| | | 286690 | SLIAC | sonda | SK1000700P | Medzizrnové podzemné vody kvartérnych náplavov Hrona a jeho prítokov |
| V 082 | NEOVULKANITY KREMnickKYCH VRCHOV | 46990 | TURCEK - KV-15A | sonda | SK200200FP | Puklinové a medzizrnové podzemné vody neovulkanitov pohoria Vtáčnik a Kremnických vrchov |
| | | 106399 | HANDLOVA REMATA | prameň | SK200200FP | Puklinové a medzizrnové podzemné vody neovulkanitov pohoria Vtáčnik a Kremnických vrchov |
| | | 129299 | KORDIKY | prameň | SK200220FP | Puklinové a medzizrnové podzemné vody severnej časti stredoslovenských neovulkanitov |
| | | 138699 | HORNA VES | prameň | SK200220FP | Puklinové a medzizrnové podzemné vody severnej časti stredoslovenských neovulkanitov |
| V 083 | NEOVULKANITY POHORIA POLANY A CASTI ZVOLENSKEJ KOTLINY | 511690 | DETVA - KOSTOLNA VN-16 | sonda | SK200220FP | Puklinové a medzizrnové podzemné vody severnej časti stredoslovenských neovulkanitov |
| NV 084 | NEOGEN ZVOLENSKEJ KOTLINY - V CAST | 75390 | ZVOLEN | sonda | SK200220FP | Puklinové a medzizrnové podzemné vody severnej časti stredoslovenských neovulkanitov |
| V 086 | NEOVULKANITY POHORI VTACNIK A POHRONSKY INOVEC | 513890 | LEHOTA POD VTACNIK.VN-38 | sonda | SK200170FP | Puklinové a medzizrnové podzemné vody neovulkanitov a terciérnych náplavov Hornonitrianskej kotliny |
| N 087 | NEOGEN ZIARSKEJ KOTLINY | 554490 | ZIAR NAD HRONOM | sonda | SK200220FP | Puklinové a medzizrnové podzemné vody severnej časti stredoslovenských neovulkanitov |
| V 088 | NEOVULKANITY S SVAHOV STIAVNICKYCH VRCHOV A JAVORIA | 87290 | DOBRA NIVA | sonda | SK200220FP | Puklinové a medzizrnové podzemné vody severnej časti stredoslovenských neovulkanitov |
| | | 87390 | PODZAMCOK | sonda | SK200220FP | Puklinové a medzizrnové podzemné vody severnej časti stredoslovenských neovulkanitov |
| | | 139499 | PODHORIE | prameň | SK200220FP | Puklinové a medzizrnové podzemné vody severnej časti stredoslovenských neovulkanitov |
| | | 142399 | BREHY | prameň | SK200220FP | Puklinové a medzizrnové podzemné vody severnej časti stredoslovenských neovulkanitov |
| | | 145899 | PUKANEC. pr. ERGI STOLNA | prameň | SK200220FP | Puklinové a medzizrnové podzemné vody severnej časti stredoslovenských neovulkanitov |
| | | 539290 | NOVA DEDINA-GONDOVO | sonda | SK200220FP | Puklinové a medzizrnové podzemné vody severnej časti stredoslovenských neovulkanitov |
| NQ 090 | NEOGEN LUCENSKEJ KOTLINY | 85590 | VELKE DRAVCE - FIL.PUSTA | sonda | SK2003100P | Medzizrnové podzemné vody Lučeneckej kotliny a západnej časti Cerovej vrchoviny |
| | | 284990 | TOMASOVCE | sonda | SK2003100P | Medzizrnové podzemné vody Lučeneckej kotliny a západnej časti Cerovej vrchoviny |

| HG rajón | Názov HG rajónu | Č. objektu | Lokalita | Typ objektu | Útvar PzV | Názov útvaru PzV |
|----------|---|------------|-------------------------------|-------------|------------|--|
| Q 091 | KVARTER IPLA | 80190 | MALE KOSIHY | sonda | SK1000800P | Medzizrnové podzemné vody kvartérnych náplavov Ipľa a jeho prítokov |
| | | 80590 | VYSKOVCE NAD IPLOM | sonda | SK1000800P | Medzizrnové podzemné vody kvartérnych náplavov Ipľa a jeho prítokov |
| | | 81490 | SELESTANY - SLOVENSKE DARMOTY | sonda | SK1000800P | Medzizrnové podzemné vody kvartérnych náplavov Ipľa a jeho prítokov |
| | | 83490 | KOVACOVCE | sonda | SK1000800P | Medzizrnové podzemné vody kvartérnych náplavov Ipľa a jeho prítokov |
| | | 84390 | VELKA NAD IPLOM | sonda | SK1000800P | Medzizrnové podzemné vody kvartérnych náplavov Ipľa a jeho prítokov |
| | | 85090 | HOLISA | sonda | SK1000800P | Medzizrnové podzemné vody kvartérnych náplavov Ipľa a jeho prítokov |
| | | 158499 | VELKA VES N IPLOM,pr.CURGO | prameň | SK2002300P | Medzizrnové podzemné vody východnej časti Podunajskej panvy a Ipeľskej kotliny |
| | | 281190 | KOSIHY NAD IPLOM | sonda | SK1000800P | Medzizrnové podzemné vody kvartérnych náplavov Ipľa a jeho prítokov |
| | | 284590 | MIKUSOVCE | sonda | SK1000800P | Medzizrnové podzemné vody kvartérnych náplavov Ipľa a jeho prítokov |
| NV 092 | NEOGEN Z CASTI CEROVEJ VRCHOVINY | 150899 | RADZOVCE | prameň | SK2003100P | Medzizrnové podzemné vody Lučeneckej kotliny a západnej časti Cerovej vrchoviny |
| V 094 | NEOVULKANITY KRUPINSKEJ PLANINY, OSTROZOK A POTORSKEJ PAHORKATINY | 157799 | SENOHRAD | prameň | SK200260FP | Puklinové a medzizrnové podzemné vody južnej časti stredoslovenských neovulkanitov |
| | | 512290 | MEDOVARCE VN-22 | sonda | SK200260FP | Puklinové a medzizrnové podzemné vody južnej časti stredoslovenských neovulkanitov |
| | | 620690 | HONTIANSKE TESARE | sonda | SK200260FP | Puklinové a medzizrnové podzemné vody južnej časti stredoslovenských neovulkanitov |
| NQ 095 | NEOGEN IPELSKEJ KOTLINY | 157599 | CEBOVCE | prameň | SK2002300P | Medzizrnové podzemné vody východnej časti Podunajskej panvy a Ipeľskej kotliny |
| Q-M 097 | PALEOGEN A KVARTER POVODIA LABORCA PO BREKOV A MEZOZOIKUM HUMENSKÝCH VRCHOV | 113890 | VYSNE CABINY - KRASNY BROD | sonda | SK1001600P | Medzizrnové podzemné vody kvartérnych náplavov horného toku Laborca a jeho prítokov |
| | | 133690 | ROVNE | sonda | SK1001600P | Medzizrnové podzemné vody kvartérnych náplavov horného toku Laborca a jeho prítokov |
| | | 135090 | KOSKOVCE | sonda | SK1001600P | Medzizrnové podzemné vody kvartérnych náplavov horného toku Laborca a jeho prítokov |
| | | 160799 | CUKALOVCE | prameň | SK2005700F | Puklinové podzemné vody podtatranskej skupiny a flyšového pásma čiastkového povodia Bodrogu |
| | | 314190 | LUBISA | sonda | SK1001600P | Medzizrnové podzemné vody kvartérnych náplavov horného toku Laborca a jeho prítokov |
| | | 314390 | BREKOV | sonda | SK1001500P | Medzizrnové podzemné vody kvartérnych náplavov Bodrogu, Latorice, dolného toku Ondavy, dolného toku Laborca a ich prítokov |
| | | 314890 | DLHE N/ CIROCHOU | sonda | SK1001500P | Medzizrnové podzemné vody kvartérnych náplavov Bodrogu, Latorice, dolného toku Ondavy, dolného toku Laborca a ich prítokov |
| P 098 | PALEOGEN POVODIA UHU | 165599 | RUSKA BYSTRA - POD DIELOM | prameň | SK2005700F | Puklinové podzemné vody podtatranskej skupiny a flyšového pásma čiastkového povodia Bodrogu |
| VN 100 | NEOVULKANITY VIHORLATSKÝCH VRCHOV | 169599 | PORUBKA - MOCIDLA | prameň | SK200590FP | Puklinové a medzizrnové podzemné vody neovulkanitov Vihorlatu |
| | | 522790 | PORUBA POD VIHORLATOM | sonda | SK200590FP | Puklinové a medzizrnové podzemné vody neovulkanitov Vihorlatu |

| HG rajón | Názov HG rajónu | Č. objektu | Lokalita | Typ objektu | Útvar PzV | Názov útvaru PzV |
|----------|---|------------|------------------------------|-------------|------------|--|
| NQ 101 | NEOGEN VYCHODOSLOVENSKEJ NIZINY MEDZI LABORCOM A CIERNOU VODOU | 124090 | JOVSA | sonda | SK2005800P | Medzizrnové podzemné vody Východoslovenskej panvy |
| QN 102 | KVARTER SV CASTI VYCHODOSLOVENSKEJ NIZINY POD VIHORLATOM A POPRICNYM | 125190 | BLATNA POLIANKA | sonda | SK1001500P | Medzizrnové podzemné vody kvartérnych náplavov Bodrogu, Latorice, dolného toku Ondavy, dolného toku Laborca a ich prítokov |
| | | 324290 | UBREZ | sonda | SK1001500P | Medzizrnové podzemné vody kvartérnych náplavov Bodrogu, Latorice, dolného toku Ondavy, dolného toku Laborca a ich prítokov |
| QN 103 | KVARTER DOLNEJ CASTI TOKOV UH, LABOREC, ONDAVA A PRAVEJ STRANY LATORICE | 133990 | CICAROVCE | sonda | SK1001500P | Medzizrnové podzemné vody kvartérnych náplavov Bodrogu, Latorice, dolného toku Ondavy, dolného toku Laborca a ich prítokov |
| QN 104 | KVARTER JV CASTI VYCHODOSLOVENSKEJ NIZINY | 120290 | VELKY HORES | sonda | SK1001500P | Medzizrnové podzemné vody kvartérnych náplavov Bodrogu, Latorice, dolného toku Ondavy, dolného toku Laborca a ich prítokov |
| | | 120490 | POLANY | sonda | SK1001500P | Medzizrnové podzemné vody kvartérnych náplavov Bodrogu, Latorice, dolného toku Ondavy, dolného toku Laborca a ich prítokov |
| | | 120990 | BOTANY-KOLONIA | sonda | SK1001500P | Medzizrnové podzemné vody kvartérnych náplavov Bodrogu, Latorice, dolného toku Ondavy, dolného toku Laborca a ich prítokov |
| | | 503290 | BACKA N-32 | sonda | SK2005800P | Medzizrnové podzemné vody Východoslovenskej panvy |
| PQ 105 | PALEOGEN POVODIA ONDAVY PO KUCIN | 137990 | MINOVCE | sonda | SK1001400P | Medzizrnové podzemné vody kvartérnych náplavov horného toku Ondavy a jej prítokov |
| | | 172999 | BUKOVCE | prameň | SK2005700F | Puklinové podzemné vody podtatranskej skupiny a flyšového pásma čiastkového povodia Bodrogu |
| | | 173599 | BELEJOVCE - PASTIVNIK | prameň | SK2005700F | Puklinové podzemné vody podtatranskej skupiny a flyšového pásma čiastkového povodia Bodrogu |
| | | 173999 | JASENOVCE | prameň | SK2005700F | Puklinové podzemné vody podtatranskej skupiny a flyšového pásma čiastkového povodia Bodrogu |
| | | 334590 | STROCIN | sonda | SK1001400P | Medzizrnové podzemné vody kvartérnych náplavov horného toku Ondavy a jej prítokov |
| | | 334690 | STROPKOV-SITNIK | sonda | SK1001400P | Medzizrnové podzemné vody kvartérnych náplavov horného toku Ondavy a jej prítokov |
| QN 106 | KVARTER ONDAVY A TOPLE OD SLOVENSKEJ KAJNE PO TREBISOV | 115690 | VRANOV NAD TOPLOU - HENCOVCE | sonda | SK1001500P | Medzizrnové podzemné vody kvartérnych náplavov Bodrogu, Latorice, dolného toku Ondavy, dolného toku Laborca a ich prítokov |
| | | 116390 | HRIADKY | sonda | SK1001500P | Medzizrnové podzemné vody kvartérnych náplavov Bodrogu, Latorice, dolného toku Ondavy, dolného toku Laborca a ich prítokov |
| | | 327790 | TREBISOV-OLSINA | sonda | SK1001500P | Medzizrnové podzemné vody kvartérnych náplavov Bodrogu, Latorice, dolného toku Ondavy, dolného toku Laborca a ich prítokov |
| | | 630490 | SACUROV | sonda | SK1001500P | Medzizrnové podzemné vody kvartérnych náplavov Bodrogu, Latorice, dolného toku Ondavy, dolného toku Laborca a ich prítokov |
| Q 108 | KVARTER LABORCA OD STRAZSKEHO PO STRETAVU | 117090 | STRAZSKE | sonda | SK1001500P | Medzizrnové podzemné vody kvartérnych náplavov Bodrogu, Latorice, dolného toku Ondavy, dolného toku Laborca a ich prítokov |
| | | 123190 | MICHALOVCE - MEDOV | sonda | SK1001500P | Medzizrnové podzemné vody kvartérnych náplavov Bodrogu, Latorice, dolného toku Ondavy, dolného toku Laborca a ich prítokov |
| | | 318290 | NACINA VES | sonda | SK1001500P | Medzizrnové podzemné vody kvartérnych náplavov Bodrogu, Latorice, dolného toku Ondavy, dolného toku Laborca a ich prítokov |
| P 109 | PALEOGEN CERGOVA | 184699 | KRIVE | prameň | SK2005700F | Puklinové podzemné vody podtatranskej skupiny a flyšového pásma čiastkového povodia Bodrogu |
| | | 226999 | JAKUBOVANY | prameň | SK2004900F | Puklinové podzemné vody podtatranskej skupiny a flyšového pásma čiastkového povodia Hornádu |

| HG rajón | Názov HG rajónu | Č. objektu | Lokalita | Typ objektu | Útvar PzV | Názov útvaru PzV |
|----------|--|------------|-------------------------|-------------|------------|--|
| PQ 110 | PALEOGEN NIZKYCH BESKYD V POVODI TOPLE | 131190 | KOMAROV | sonda | SK2005700F | Puklinové podzemné vody podtatranskej skupiny a flyšového pásma čiastkového povodia Bodrogu |
| | | 131390 | DUBINNE | sonda | SK1001300P | Medzizrnové podzemné vody kvartérnych náplavov Tople a jej prítokov |
| | | 135990 | MARHAN | sonda | SK1001300P | Medzizrnové podzemné vody kvartérnych náplavov Tople a jej prítokov |
| VN 111 | NEOVULKANITY SLANSKYCH VRCHOV | 177799 | HERMANOVCE N/T | prameň | SK200550FP | Puklinové a medzizrnové podzemné vody neovulkanitov Slanských vrchov čiastkového povodia Bodrogu |
| | | 182199 | SLANSKA HUTA | prameň | SK200550FP | Puklinové a medzizrnové podzemné vody neovulkanitov Slanských vrchov čiastkového povodia Bodrogu |
| | | 228799 | KOS.KLECENOV | prameň | SK200540FP | Puklinové a medzizrnové podzemné vody neovulkanitov Slanských vrchov čiastkového povodia Hornádu |
| | | 229199 | NIZNA MYSLA - KOSCELEK | prameň | SK200530FP | Puklinové a medzizrnové podzemné vody neovulkanitov Slanských vrchov čiastkového povodia Hornádu |
| | | 229299 | LUCINA | prameň | SK200540FP | Puklinové a medzizrnové podzemné vody neovulkanitov Slanských vrchov čiastkového povodia Hornádu |
| N 112 | NEOGEN Z CASTI VYCHODOSLOVENSKEJ NIZINY | 184899 | CAKLOV | prameň | SK2005800P | Medzizrnové podzemné vody Východoslovenskej panvy |
| | | 513190 | BACKOV | sonda | SK2005800P | Medzizrnové podzemné vody Východoslovenskej panvy |
| N-G 113 | PALEOZOIKUM A MLADSIE HORNINY ZEMPLINSKYCH VRCHOV | 522690 | LADMOVCE | sonda | SK200560FK | Puklinové a krasovo - puklinové podzemné vody zemplanika |
| Q 114 | KVARTER DOLNEHO TOKU RONVY | 121690 | SLOVENSKE NOVE MESTO | sonda | SK1001500P | Medzizrnové podzemné vody kvartérnych náplavov Bodrogu, Latorice, dolného toku Ondavy, dolného toku Laborca a ich prítokov |
| | | 337090 | BORSA | sonda | SK1001500P | Medzizrnové podzemné vody kvartérnych náplavov Bodrogu, Latorice, dolného toku Ondavy, dolného toku Laborca a ich prítokov |
| PQ 115 | PALEOGEN HORNADSKÉJ A CASTI POPRADSKEJ KOTLINY | 137590 | VELKA LOMNICA | sonda | SK2004700F | Puklinové podzemné vody podtatranskej skupiny a flyšového pásma čiastkového povodia Dunajca a Popradu |
| | | 210499 | MATEJOVCE N/H | prameň | SK2004900F | Puklinové podzemné vody podtatranskej skupiny a flyšového pásma čiastkového povodia Hornádu |
| | | 212999 | KRAVANY | prameň | SK2004900F | Puklinové podzemné vody podtatranskej skupiny a flyšového pásma čiastkového povodia Hornádu |
| | | 299990 | POPRAD | sonda | SK2004700F | Puklinové podzemné vody podtatranskej skupiny a flyšového pásma čiastkového povodia Dunajca a Popradu |
| | | 514190 | SPISSKE BYSTRE | sonda | SK2004300F | Puklinové podzemné vody Nízkyh Tatier a Kozích chrbtov |
| | | 554090 | KVETNICA K-40 | sonda | SK2004300F | Puklinové podzemné vody Nízkyh Tatier a Kozích chrbtov |
| MG 116 | MEZOZOIKUM SLOVENSKEHO RAJA A HAVRANICH VRCHOV S PRILAHLYM PALEOZOIKOM | 211799 | SMIZANY | prameň | SK200460KF | Dominantné krasovo - puklinové podzemné vody Slovenského raja a Galmusu |
| | | 215499 | D.LAD.JASK. | prameň | SK200460KF | Dominantné krasovo - puklinové podzemné vody Slovenského raja a Galmusu |
| MG 117 | MEZOZOIKUM GALMUSU S PRILAHLYM PALEOZOIKOM | 210799 | SPISSKE VLACHY - U JANA | prameň | SK200460KF | Dominantné krasovo - puklinové podzemné vody Slovenského raja a Galmusu |

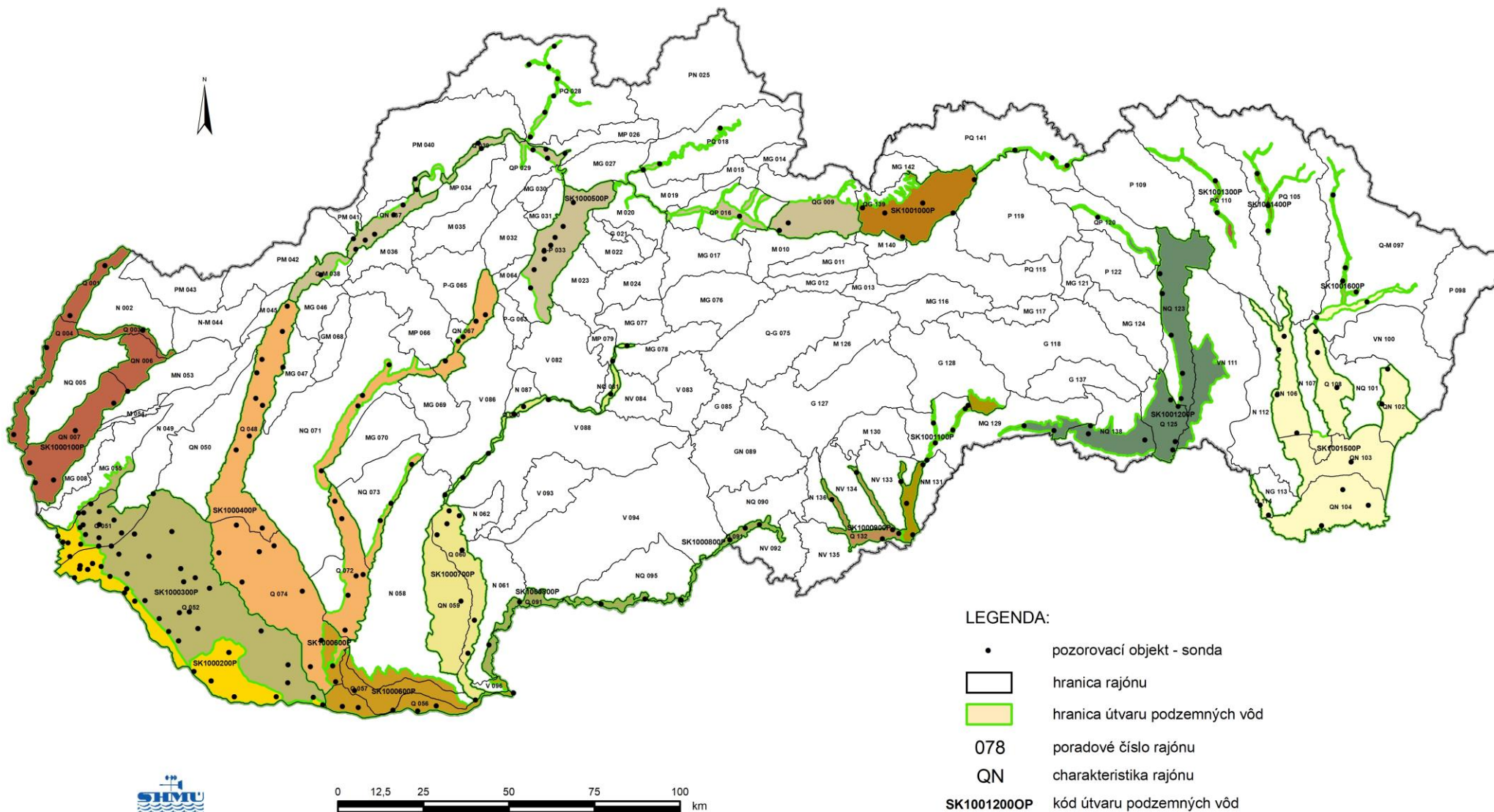
| HG rajón | Názov HG rajónu | Č. objektu | Lokalita | Typ objektu | Útvar PzV | Názov útvaru PzV |
|----------|--|------------|-------------------------------|-------------|------------|---|
| G 118 | PALEOZOIKUM SLOVENSKEHO RUDOHORIA V POVODI HORNADU | 216399 | UHORNA - POD JAVOROM | prameň | SK200500FK | Puklinové a krasovo - puklinové podzemné vody Slovenského rudohoria |
| | | 223099 | OPATKA | prameň | SK200500FK | Puklinové a krasovo - puklinové podzemné vody Slovenského rudohoria |
| | | 322390 | KOLINOVCE | sonda | SK200500FK | Puklinové a krasovo - puklinové podzemné vody Slovenského rudohoria |
| | | 553690 | NALEPKOVO K-36 | sonda | SK200500FK | Puklinové a krasovo - puklinové podzemné vody Slovenského rudohoria |
| P 119 | PALEOGEN LEVOCSKYCH VRCHOV | 99490 | KEZMAROK | sonda | SK2004700F | Puklinové podzemné vody podtatranskej skupiny a flyšového pásma čiastkového povodia Dunajca a Popradu |
| | | 234799 | TICHY POTOK - BUJACIAREN | prameň | SK2004900F | Puklinové podzemné vody podtatranskej skupiny a flyšového pásma čiastkového povodia Hornádu |
| | | 243099 | IHLANY - ZIMNA STUDNA | prameň | SK2004700F | Puklinové podzemné vody podtatranskej skupiny a flyšového pásma čiastkového povodia Dunajca a Popradu |
| QP 120 | PALEOGEN SPISSKO-SARISSKEHO MEDZIHORIA, BACHURNE A SARISSKEJ VRCHOVINY V POVODI TORYSY | 306390 | ROZKOVANY | sonda | SK1001200P | Medzizimné podzemné vody kvartérnych náplavov Hornádu, Bodvy a ich prítokov |
| NQ 123 | NEOGEN V CASTI KOSICKEJ KOTLINY | 103090 | KOSICKA POLIANKA | sonda | SK1001200P | Medzizimné podzemné vody kvartérnych náplavov Hornádu, Bodvy a ich prítokov |
| | | 103490 | ROZHANOVCE | sonda | SK1001200P | Medzizimné podzemné vody kvartérnych náplavov Hornádu, Bodvy a ich prítokov |
| | | 104490 | LEMESANY-CHABZANY | sonda | SK1001200P | Medzizimné podzemné vody kvartérnych náplavov Hornádu, Bodvy a ich prítokov |
| | | 126290 | PRESOV-HANISKA | sonda | SK1001200P | Medzizimné podzemné vody kvartérnych náplavov Hornádu, Bodvy a ich prítokov |
| | | 227399 | KOSICKE OLSANY | prameň | SK2005300P | Medzizimné podzemné vody Košickej kotliny |
| | | 311890 | PRESOV | sonda | SK1001200P | Medzizimné podzemné vody kvartérnych náplavov Hornádu, Bodvy a ich prítokov |
| MG 124 | MEZOZOIKUM A KRYSTALINIKUM CIERNEJ HORY | 122790 | DRUZSTEVNA - P.H. - M. VIESKA | sonda | SK200510KF | Dominantné krasovo - puklinové podzemné vody Braniska a Čiernej hory |
| | | 223199 | MIKLUSOVCE - POD OBISIANKOU | prameň | SK200510KF | Dominantné krasovo - puklinové podzemné vody Braniska a Čiernej hory |
| | | 322490 | VELKA LODINA | sonda | SK200510KF | Dominantné krasovo - puklinové podzemné vody Braniska a Čiernej hory |
| Q 125 | KVARTER HORNADU V KOSICKEJ KOTLINE | 107890 | CANA | sonda | SK1001200P | Medzizimné podzemné vody kvartérnych náplavov Hornádu, Bodvy a ich prítokov |
| | | 107990 | TRSTENE PRI HORNADE | sonda | SK1001200P | Medzizimné podzemné vody kvartérnych náplavov Hornádu, Bodvy a ich prítokov |
| | | 112290 | KOSICE-KRASNA | sonda | SK1001200P | Medzizimné podzemné vody kvartérnych náplavov Hornádu, Bodvy a ich prítokov |
| | | 302890 | KOSICE pod /KRASNA/ | sonda | SK1001200P | Medzizimné podzemné vody kvartérnych náplavov Hornádu, Bodvy a ich prítokov |
| | | 308090 | SENA | sonda | SK1001200P | Medzizimné podzemné vody kvartérnych náplavov Hornádu, Bodvy a ich prítokov |
| M 126 | MEZOZOIKUM MURANSKEJ PLANINY A V CASTI HELPIANSKEHO PODOLIA A PRILAHLE KRYSTALINIKUM | 120499 | SUMIAC | prameň | SK200390KF | Dominantné krasovo - puklinové podzemné vody Muránskej planiny |
| | | 190799 | MURAN - POD HRADOM | prameň | SK200390KF | Dominantné krasovo - puklinové podzemné vody Muránskej planiny |

| HG rajón | Názov HG rajónu | Č. objektu | Lokalita | Typ objektu | Útvar PzV | Názov útvaru PzV |
|----------|--|------------|-----------------------------|-------------|------------|--|
| M 126 | MEZOZOIKUM MURANSKEJ PLANINY A V CASTI HELPIANSKEHO PODOLIA A PRILAHLE KRYSTALINIKUM | 195299 | TISOVEC | prameň | SK200390KF | Dominantné krasovo - puklinové podzemné vody Muránskej planiny |
| G 127 | KRYSTALINIKUM STOLICKÝCH VRCHOV A REVUCKEJ VRCHOVINY V POVODI SLANEJ | 93890 | REVUCA | sonda | SK200280FK | Puklinové a krasovo - puklinové podzemné vody Nízkych Tatier a Slovenského rudohoria |
| | | 94090 | JELSAVA | sonda | SK200280FK | Puklinové a krasovo - puklinové podzemné vody Nízkych Tatier a Slovenského rudohoria |
| | | 197399 | KLENOVEC | prameň | SK200280FK | Puklinové a krasovo - puklinové podzemné vody Nízkych Tatier a Slovenského rudohoria |
| G 128 | PALEOZOIKUM REVUCKEJ VRCHOVINY A VOLOVSKÝCH VRCHOV V POVODI SLANEJ | 90390 | BETLIAR | sonda | SK200280FK | Puklinové a krasovo - puklinové podzemné vody Nízkych Tatier a Slovenského rudohoria |
| MQ 129 | MEZOZOIKUM CENTRALNEJ A V CASTI SLOVENSKEHO KRASU | 90490 | ROZNAVA | sonda | SK1001100P | Medzizimné podzemné vody kvartérnych náplavov Slanej a jej prítokov |
| | | 92390 | SLAVEC | sonda | SK1001100P | Medzizimné podzemné vody kvartérnych náplavov Slanej a jej prítokov |
| | | 93590 | PASKOVA | sonda | SK1001100P | Medzizimné podzemné vody kvartérnych náplavov Slanej a jej prítokov |
| | | 94390 | SIVETICE | sonda | SK200480KF | Dominantné krasovo - puklinové podzemné vody Slovenského krasu |
| | | 125890 | JABLONOV NAD TURNOU/HRUSOV/ | sonda | SK200480KF | Dominantné krasovo - puklinové podzemné vody Slovenského krasu |
| | | 130590 | TRNA NAD BODVOU | sonda | SK1001200P | Medzizimné podzemné vody kvartérnych náplavov Hornádu, Bodvy a ich prítokov |
| | | 186499 | SLAVEC | prameň | SK200480KF | Dominantné krasovo - puklinové podzemné vody Slovenského krasu |
| | | 201799 | DRIENOVEC-HLAVNY | prameň | SK200480KF | Dominantné krasovo - puklinové podzemné vody Slovenského krasu |
| | | 203899 | HRHOV-VELKA HLAVA | prameň | SK200480KF | Dominantné krasovo - puklinové podzemné vody Slovenského krasu |
| | | 205899 | TURNIANSKE PODHRADIE | prameň | SK200480KF | Dominantné krasovo - puklinové podzemné vody Slovenského krasu |
| | | 290690 | BRZOTIN | sonda | SK1001100P | Medzizimné podzemné vody kvartérnych náplavov Slanej a jej prítokov |
| | | 290990 | PLESIVEC - JUH | sonda | SK1001100P | Medzizimné podzemné vody kvartérnych náplavov Slanej a jej prítokov |
| | | 308590 | HRHOV | sonda | SK1001200P | Medzizimné podzemné vody kvartérnych náplavov Hornádu, Bodvy a ich prítokov |
| NM 131 | NEOGEN GEMERSKEJ PAHORKATINY | 539190 | COLTOVO | sonda | SK2004500P | Medzizimné podzemné vody Gemerskej pahorkatiny |
| Q 132 | KVARTER RIMAVSKEJ KOTLINY | 91090 | COLTOVO | sonda | SK1001100P | Medzizimné podzemné vody kvartérnych náplavov Slanej a jej prítokov |
| | | 91490 | VCELINCE | sonda | SK1001100P | Medzizimné podzemné vody kvartérnych náplavov Slanej a jej prítokov |
| | | 94690 | RIMAVSKA SOBOTA | sonda | SK1000900P | Medzizimné podzemné vody kvartérnych náplavov Rimavy a jej prítokov |
| | | 95990 | JANICE | sonda | SK1000900P | Medzizimné podzemné vody kvartérnych náplavov Rimavy a jej prítokov |
| | | 96590 | RIMAVSKA SEC | sonda | SK1000900P | Medzizimné podzemné vody kvartérnych náplavov Rimavy a jej prítokov |

| HG rajón | Názov HG rajónu | Č. objektu | Lokalita | Typ objektu | Útvar PzV | Názov útvaru PzV |
|----------|---|------------|-----------------------|-------------|------------|---|
| Q 132 | KVARTER RIMAVSKEJ KOTLINY | 97290 | ZIAR | sonda | SK1001100P | Medzizrnové podzemné vody kvartérnych náplavov Slanej a jej prítokov |
| | | 196799 | VLKYNA | prameň | SK2003700P | Medzizrnové podzemné vody Rimavskej kotliny, Oždianskej pahorkatiny a východnej časti Cerovej vrchoviny |
| | | 291390 | GEMERSKA PANICA | sonda | SK1001100P | Medzizrnové podzemné vody kvartérnych náplavov Slanej a jej prítokov |
| | | 292090 | CIZ | sonda | SK1000900P | Medzizrnové podzemné vody kvartérnych náplavov Rimavy a jej prítokov |
| | | 292190 | LENARTOVCE | sonda | SK1001100P | Medzizrnové podzemné vody kvartérnych náplavov Slanej a jej prítokov |
| | | 296190 | VELKY BLH | sonda | SK1000900P | Medzizrnové podzemné vody kvartérnych náplavov Rimavy a jej prítokov |
| NV 133 | NEOGEN V CASTI RIMAVSKEJ KOTLINY A BLZSKA TABULA | 514690 | VYSNE VALICE | sonda | SK2003700P | Medzizrnové podzemné vody Rimavskej kotliny, Oždianskej pahorkatiny a východnej časti Cerovej vrchoviny |
| NV 134 | NEOGEN Z CASTI RIMAVSKEJ KOTLINY A POKORADZKA TABULA | 195799 | VYS.SKALNIK | prameň | SK2004000P | Medzizrnové podzemné vody Valickej pahorkatiny |
| | | 503990 | HORNE ZAHORANY | sonda | SK200380FP | Puklinové a medzizrnové podzemné vody neovulkanitov Pokoradzskej tabule |
| | | 514290 | BOTTOVO | sonda | SK2004000P | Medzizrnové podzemné vody Valickej pahorkatiny |
| | | 514790 | KRASKOVO | sonda | SK200380FP | Puklinové a medzizrnové podzemné vody neovulkanitov Pokoradzskej tabule |
| NV 135 | NEOGEN V CASTI CEROVEJ VRCHOVINY | 543590 | GEMERSKY JABLONEC | sonda | SK2003700P | Medzizrnové podzemné vody Rimavskej kotliny, Oždianskej pahorkatiny a východnej časti Cerovej vrchoviny |
| G 137 | PALEOZOIKUM VOLOVSKYCH VRCHOV V POVODI BODVY | 109090 | MEDZEV /NIZNY MEDZEV/ | sonda | SK200500FK | Puklinové a krasovo - puklinové podzemné vody Slovenského rudohoria |
| NQ 138 | NEOGEN A KVARTER KOSICKEJ KOTLINY A ABOVSKEJ PAHORKATINY V POVODI BODVY | 100590 | BUDULOV | sonda | SK1001200P | Medzizrnové podzemné vody kvartérnych náplavov Hornádu, Bodvy a ich prítokov |
| | | 101190 | POD HALDOU - SENA | sonda | SK1001200P | Medzizrnové podzemné vody kvartérnych náplavov Hornádu, Bodvy a ich prítokov |
| | | 109490 | RUDNIK | sonda | SK2005300P | Medzizrnové podzemné vody Košickej kotliny |
| | | 309390 | MOLDAVA NAD BODVOU | sonda | SK1001200P | Medzizrnové podzemné vody kvartérnych náplavov Hornádu, Bodvy a ich prítokov |
| | | 513990 | BUZICA | sonda | SK2005200P | Medzizrnové podzemné vody Abovskej pahorkatiny |
| QG 139 | KRYSTALINIKUM CASTI VYSOKÝCH TATIER A KVARTER ICH PREDPOLIA | 97890 | BUSOVCE | sonda | SK1001000P | Medzizrnové podzemné vody kvartérnych náplavov Dunajca a Popradu a ich prítokov |
| | | 98490 | SVIT | sonda | SK1001000P | Medzizrnové podzemné vody kvartérnych náplavov Dunajca a Popradu a ich prítokov |
| | | 98890 | STRBSKE PLESO | sonda | SK1001000P | Medzizrnové podzemné vody kvartérnych náplavov Dunajca a Popradu a ich prítokov |
| | | 239799 | TATR.MATLIARE | prameň | SK2004700F | Puklinové podzemné vody podtatranskej skupiny a flyšového pásma čiastkového povodia Dunajca a Popradu |
| | | 299390 | KEZMAROK | sonda | SK1001000P | Medzizrnové podzemné vody kvartérnych náplavov Dunajca a Popradu a ich prítokov |
| | | 890190 | NOVA POLIANKA NPH-1 | sonda | SK1001000P | Medzizrnové podzemné vody kvartérnych náplavov Dunajca a Popradu a ich prítokov |
| | | 890690 | STARA LESNA LH-6 | sonda | SK1001000P | Medzizrnové podzemné vody kvartérnych náplavov Dunajca a Popradu a ich prítokov |

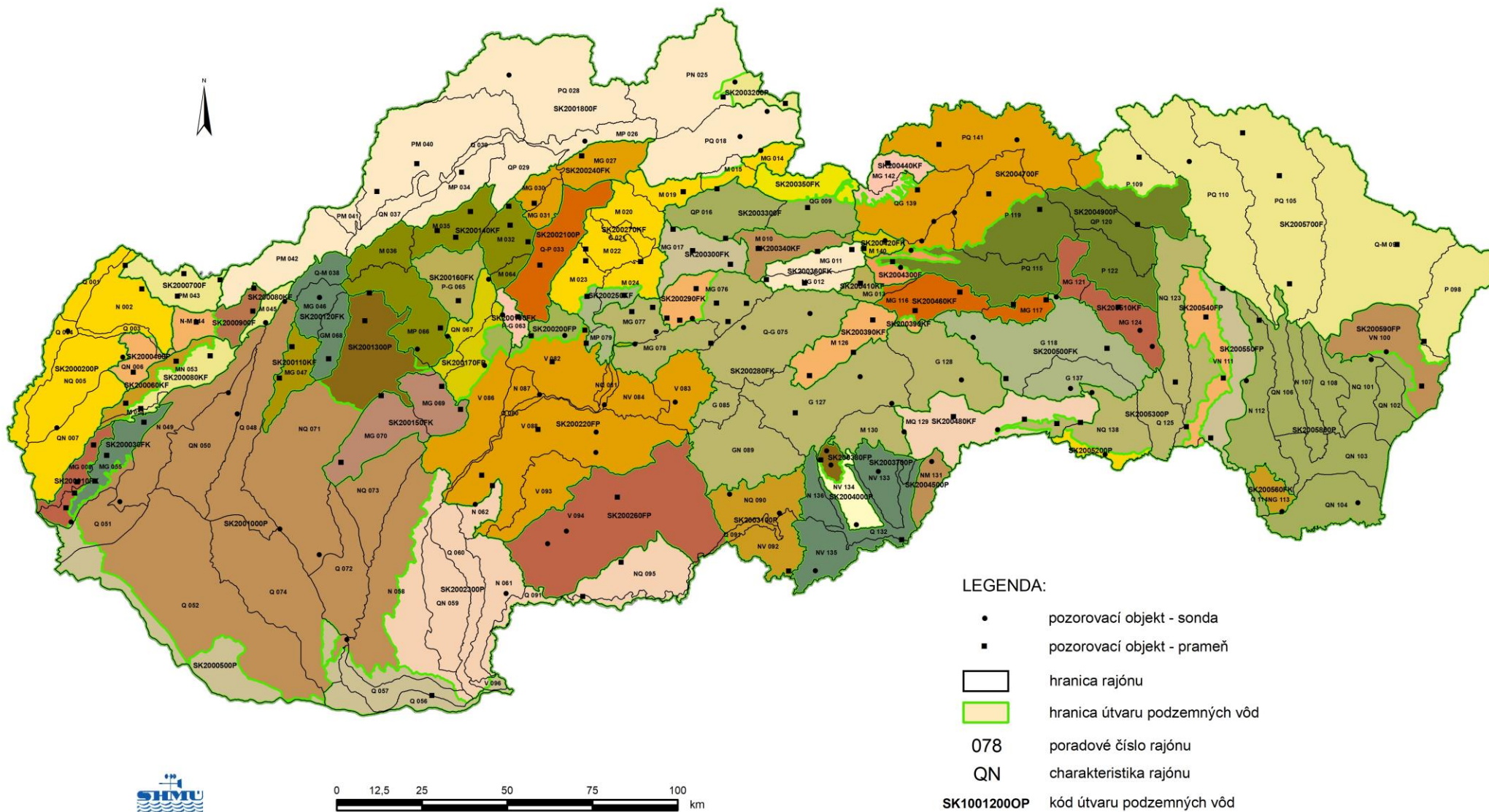
| HG rajón | Názov HG rajónu | Č. objektu | Lokalita | Typ objektu | Útvar PzV | Názov útvaru PzV |
|----------|--|------------|----------------|-------------|------------|---|
| M 140 | MEZOZOIKUM CASTI KOZICH CHRBTOV | 239999 | VYSNA SUNAVA | prameň | SK200420FK | Puklinové a krasovo - puklinové podzemné vody severnej časti Kozích chrbtov |
| | | 514090 | SVIT - LUCIVNA | sonda | SK200420FK | Puklinové a krasovo - puklinové podzemné vody severnej časti Kozích chrbtov |
| PQ 141 | PALEOGEN SPISSKEJ MAGURY, LUBOVNIANSKEJ VRCHOVINY A SZ CASTI SPISSKO-SARISSKEHO MEDZIHORIA A PIENIN | 97790 | PLAVNICA | sonda | SK1001000P | Medzizrnové podzemné vody kvartérnych náplavov Dunajca a Popradu a ich prítokov |
| | | 137690 | HNIEZDNE | sonda | SK1001000P | Medzizrnové podzemné vody kvartérnych náplavov Dunajca a Popradu a ich prítokov |
| | | 235399 | JEZERSKO | prameň | SK2004700F | Puklinové podzemné vody podtatranskej skupiny a flyšového pásma čiastkového povodia Dunajca a Popradu |
| | | 297690 | PLAVEC | sonda | SK1001000P | Medzizrnové podzemné vody kvartérnych náplavov Dunajca a Popradu a ich prítokov |
| | | 521690 | JARABINA | sonda | SK2004700F | Puklinové podzemné vody podtatranskej skupiny a flyšového pásma čiastkového povodia Dunajca a Popradu |
| MG 142 | MEZOZOIKUM A PRILAHLE KRYSTALINIKUM VYSOKÝCH A BELIANSKYCH TATIER | 235799 | JAVORINA | prameň | SK200440KF | Dominantné krasovo - puklinové podzemné vody Tatier čiastkového povodia Dunajca a Popradu |

POZOROVACIE OBJEKTY KVALITY PODZEMNÝCH VÔD V HYDROGEOLOGICKÝCH RAJÓNOCH A KVARTÉRNÝCH ÚTVAROCH NA SLOVENSKU V ROKU 2021



- LEGENDA:**
- pozorovací objekt - sonda
 - ▭ hranica rajónu
 - ▭ hranica útvaru podzemných vôd
 - 078 poradové číslo rajónu
 - QN charakteristika rajónu
 - SK1001200P kód útvaru podzemných vôd

POZOROVACIE OBJEKTY KVALITY PODZEMNÝCH VÔD V HYDROGEOLOGICKÝCH RAJÓNOCH A PREDKVARTÉRNÝCH ÚTVAROCH NA SLOVENSKU V ROKU 2021





**MINISTERSTVO ŽIVOTNÉHO PROSTREDIA SR
SLOVENSKÝ HYDROMETEOROLOGICKÝ ÚSTAV**



VODOHOSPODÁRSKA BILANCIA KVALITY PODZEMNEJ VODY SR V ROKU 2021

Vydal Slovenský hydrometeorologický ústav
Jeséniova 17, 833 15 Bratislava

Poverený výkonom funkcie generálneho riaditeľa: RNDr. Martin Benko, PhD.
Riaditeľ Úseku hydrologická služba: Ing. Jana Poórová, PhD.
Vedúci Odboru podzemné vody: Ing. Eugen Kullman, PhD.
Zodpovedný riešiteľ: Ing. Jaroslava Urbancová
Spolupracovali: Mgr. D. Krumpolcová, Mgr. A. Euptáková, Mgr. A. Molnárová, Mgr. E. Molnár,
RNDr. V. Slivová, PhD., Ing. J. Urbancová

Text neprešiel jazykovou úpravou
Vytlačilo reprografické pracovisko SHMÚ v roku 2022

Účelová publikácia, 84 strán
náklad 3 výtlačkov, 5 ks CD